

Automatisierte Reaktionsüberwachung und -beeinflussung
mit Mikrocontrollern auf dem Weg zum „Internet of Lab“

Dissertation

zur Erlangung des Grades "Doktor der Naturwissenschaften"
im Promotionsfach Chemie am Fachbereich Chemie, Pharmazie und Geowissenschaften
der Johannes Gutenberg-Universität Mainz

vorgelegt von **Dipl.-Chem. Julian Heinrich**
geb. in Mainz

Mainz, den 13. August 2018

Dekan: [REDACTED]

1. Berichterstatter: [REDACTED]

2. Berichterstatter: [REDACTED]

Tag der mündlichen Prüfung: 26. September 2018

Erklärung der Selbstständigkeit

Die vorliegende Dissertation wurde im Zeitraum vom 01. Februar 2015 bis zum 13. August 2018 am Institut für Organische Chemie des Fachbereichs 09 für Chemie, Pharmazie und Geowissenschaften der Johannes Gutenberg-Universität Mainz unter Betreuung von XXXXXXXXXX angefertigt.

Hiermit versichere ich, Julian Heinrich, dass ich die vorliegende Arbeit selbstständig verfasst und keine anderen Quellen und Hilfsmittel als die angegebenen verwendet habe.

Mainz, den 13. August 2018,

Julian Heinrich

Meiner Familie gewidmet.

Danksagung

Inhaltsverzeichnis

1	Theoretische Grundlagen	3
1.1	Mikroreaktoren	3
1.2	Segmentgeneratoren	4
1.3	Mikrocontroller	7
2	Sensoren	9
2.1	Temperatursensoren	9
2.1.1	Pyrometer	10
2.2	Optoelektronische Sensoren	21
2.2.1	Reflexionslichtschranken	22
2.2.2	Transmissionslichtschranken	33
3	Aktoren	35
3.1	Potentiostat	35
3.1.1	Durchflusszelle	36
3.1.2	Ardustat	47
3.2	Phasentrenner	65
3.2.1	Aufbau	69
3.2.2	Funktionsweise	70
3.2.3	Technische Realisierung	70
3.2.4	Software	74
3.3	Fraktionierer	91
3.3.1	Funktionsweise	92
3.3.2	Technische Realisierung	92
3.3.3	Software	93
4	Steuerungssoftware	97
4.1	Pumpensteuerung	97
5	Internet of Lab	105
6	Ausblick	111

A Quelltexte	113
A.1 Pyrometer	113
A.2 Pumpensteuerung	120
B Datenblätter	169
Literaturverzeichnis	170

Einleitung

Seit den ersten ausführlich dokumentierten Chargenprozessen während der Zeit der Renaissance [1] werden diese zur Durchführung chemischer Produktionsverfahren stetig weiterentwickelt und sind doch immer dem gleichen Prinzip treu geblieben. Neben der Optimierung der Reaktionsgefäße, der Entwicklung und fortlaufenden Verbesserung analoger Messinstrumente zur Bestimmung von Reaktionsparametern wie Thermometern, Barometern oder (Überdruck-)Ventilen stieg auch die Chargengröße, die innerhalb bestimmter Sicherheitsgrenzen handhabbar ist, bis hin zum heutigen industriellen Maßstab an. Seit dem letzten Drittel des vergangenen Jahrhunderts beschäftigt man sich darüber hinaus mit der Mikroprozessertechnik oder auch Mikroreaktionstechnik, welche eine Abkehr vom herkömmlichen Chargenprozess, hin zu einer kontinuierlichen Synthese bedeutet. Speziell durch den weltweiten Siegeszug der Mikroelektronik konnte auch die Mikroprozessertechnik in den letzten 20 Jahren eine weite Verbreitung finden [2–4].

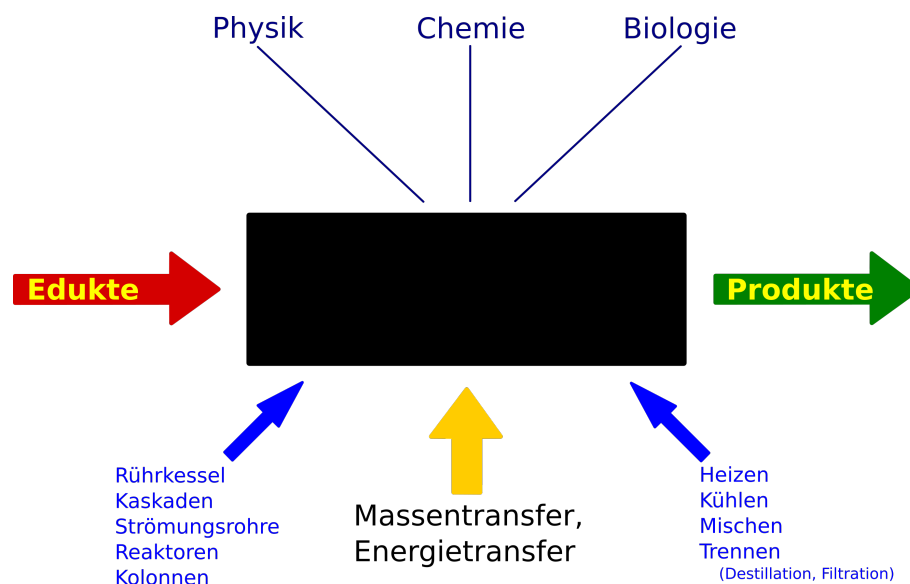


Abbildung 1: Schema des grundlegenden Aufbaus einer chemischen Reaktion in Form einer *Blackbox*, die die Veränderungsfunktion zur Umsetzung der Edukte zu den Produkten enthält.

Allen Verfahren bleibt jedoch ein Grundprinzip gemein, wie es Abbildung 1 anschaulich darstellt: Auf die Edukte, ob in einem Kolben, einem großtechnischen Rührkesselreaktor, in einer Kapillare oder in einem Tropfen wird ein Verfahren angewendet, welches die Edukte zum Produkt oder den Produkten umwandelt. Dieses Verfahren kann von einer einfachen Temperaturänderung bis hin zu einem mehrstufigen Prozess reichen, welchen man selbst in solche Einzelschritte aufteilen kann.

Wirft man einen Blick auf die Informatik und die daraus hervorgegangenen Programmiersprachen, so entdeckt man das identische Grundprinzip auch hier: Ein oder mehrere Werte (Edukte) werden in einer Variablen (Reaktionsgefäß) gespeichert und erfahren im Rahmen einer auf sie angewandten Funktion eine Veränderung, welche als Resultat der Funktion hinterher in eben dieser Variablen oder in einer anderen Variablen abrufbar ist (Reaktionsprodukt). Diese Analogie in den Grundpfeilern beider Disziplinen befeuert das interdisziplinäre Arbeiten und die Verknüpfung von Informationstechnologie mit chemischen Reaktionen: So, wie für uns Chemiker das Entziffern von Retrosynthesereaktionen aus dem Endprodukt bis hin zu den typischen Edukten der chemischen Industrie beliebt ist, stellt jede Softwareprogrammierung vergleichbare Herausforderungen, da man ein Programmierziel vor Augen hat und dieses mit den vorhandenen (Mess-)Daten erreichen muss.

Diese Arbeit setzt daher ihren Schwerpunkt nicht auf die Entwicklung neuer Reaktionen oder Reaktionswege für bekannte Verfahren, sondern möchte durch die Entwicklung neuer informationstechnischer Verfahren (Software) in Kombination mit der Entwicklung von Verknüpfungsstellen (Sensoren und Aktoren) mit chemischen Reaktionssystemen diese besser erfassbar machen und so zur Verbesserung des Laboralltags (Laborsicherheit, Reaktionsüberwachung und -automatisierung) beitragen. Daher wendet sich die Arbeit bewusst an Chemiker, welche eine Grundkenntnis elektronischer Bauteile und die Offenheit für einfache Programmiersprachen mitbringen sollten.

Kapitel 1

Theoretische Grundlagen

1.1 Mikroreaktoren

Die fortschreitende Miniaturisierung chemischer Reaktionssysteme bringt eine Vielzahl von verfahrens- und reaktionstechnischen Vorteilen und kommt in den letzten Jahren zunehmend nicht nur in der akademischen Forschung und Entwicklung, sondern auch im industriellen Umfeld zum Einsatz. Die kontinuierliche Prozessführung findet in Kanälen, häufig Kapillaren, deren Durchmesser im Mikrometerbereich liegen, statt. Hiermit ist ein entscheidendes Merkmal der Mikrofluidik, dass die Reaktion in kleinen Volumina stattfindet [5], gewährleistet. Auch wenn eine Reaktion innerhalb eines Tröpfchens stattfindet, kann man dieses ebenfalls als Mikrobatchreaktor bezeichnen.

Das Spektrum an Einsatzmöglichkeiten für die Mikroprozessertechnik ist sehr weit und umfasst neben der Synthese von Pharmazeutika und anderen hochreinen Feinchemikalien auch die Partikelherstellung mit definierbaren Größen im Mikro- und Nanobereich, sowie die Nutzung in der Analytik, darunter für High-Throughput-Screenings (HTS), Lab-on-Chip-Anwendungen und automatisierte Analysensysteme [6–13].

Durch die Verringerung der räumlichen Dimensionen im Vergleich zu herkömmlichen Reaktionssystemen steigen per se die Oberflächen-zu-Volumen-Verhältnisse stark an und können Werte bis zu mehrere Hunderttausend $\text{m}^2 \text{m}^{-3}$ erreichen, wohingegen in herkömmlichen Reaktorsystemen lediglich Verhältnisse in der Größenordnung von 100–1000 $\text{m}^2 \text{m}^{-3}$ erreicht werden [14].

Weitere Vorteile gegenüber konventionellen Syntheseverfahren erwachsen aus den enormen spezifischen Oberflächen und der damit verbundenen Intensivierung von Stoff- und Wärmetransportprozessen, was gerade bei stark exothermen oder Mischungssensitiven Reaktionen zum Tragen kommt. Neben der Sicherheit können auch die Selektivität, Ausbeute und Produktqualität signifikant verbessert werden. Manche Reaktionen bzw. Reaktionsprodukte

sind auf diesem Wege überhaupt erst zugänglich [5, 6, 8]. Durch die Miniaturisierung sinkt das Gefährdungspotential beim Einsatz von sehr hohen Temperaturen und/oder Drücken, was neue Synthesewege öffnet [15–17]. Die Mikroprozessertechnik erlaubt neben der Kontrolle der Reaktionszeit darüber hinaus eine Verweilzeitkontrolle, welche es ermöglicht, hochreaktive oder auch instabile Zwischenprodukte zu handhaben und gezielt umzusetzen [18].

Die reine Miniaturisierung eines bestehenden Reaktionssystems macht dieses nicht zwingend zu einem Mikroreaktor, erst die Kombination von einzelnen Elementen in denen verfahrenstechnische Grundoperationen wie Mischen, Reagieren, Kühlen etc., beim Durchfluss einer Reaktionslösung kontrolliert und vor allem schnell ablaufen, macht ein System zu jenem. Zum Betrieb sind Kenntnisse wichtiger Betriebs- und Reaktionsbedingungen des mikrofluidischen Systems notwendig. Neben dem Druck, der Zusammensetzung, der Temperatur und der Konzentration der einzelnen Komponenten wird die Reaktion auch von der Fluidodynamik, der Mischeffizienz und der Verweilzeitverteilung stark beeinflusst. Insbesondere ein Missverhältnis der Verweilzeit von Reaktanden wirkt sich direkt und maßgeblich auf die Selektivität und Reaktorleistung und damit den Umsatz und die Produktausbeute einer mikrofluidischen Reaktion aus. Nur bei genauem Wissen um die Verweilzeitverteilung kann ein Mikroreaktor effizient für einen kontinuierlichen chemischen Prozess eingesetzt werden [19].

Umso wichtiger ist es, von Beginn an Reaktionsparameter zu optimieren und möglichst umfassend über die Auswirkung von Parameteränderungen in die ein oder andere Richtung Bescheid zu wissen. Die in dieser Arbeit vorgestellten Bausteine eines mikrofluidischen Systems unterstützen den Experimentator bei der Ermittlung dieser wichtigen Reaktionsparameter. Mit Hilfe von Sensoren zur Parametererfassung und Aktoren zur Parameteranpassung und einer zentralen Koordinierungsstelle (Computer) erfolgt die Automatisierung des vollständigen Reaktionszyklus. Kombiniert mit einer sich daran anschließenden automatisierten Produktanalytik kann ein zeit- und kostensparendes Parameterscreening durchgeführt werden.

1.2 Segmentgeneratoren

Zunehmender Beliebtheit erfreuen sich tropfenbasierte Reaktionen im kontinuierlichen Fluss, da diese gerade bei Reaktionen, deren Reaktionsparameter eine besondere Kontrolle und Handhabung erfordern, ihre Stärken ausspielen. Wie bereits erwähnt, stellt bei solchen Reaktionen jeder Tropfen einen eigenständigen Mikrobatchreaktor¹ dar, sodass

¹Abgeleitet vom Batchreaktor ist der auf einen Tropfen verkleinerte Mikrobatchreaktor in seinen Reaktionsparametern scharf definierbar, sodass insbesondere schwer zugängliche Reaktionspfade erreichbar werden.

in jedem Tropfen immer gleiche Bedingungen vorherrschen. Solche tropfenbasierte Reaktionen sind vergleichbar der Flaschengärung von Sekt oder Champagner. In jede Flasche werden die gleichen Edukte eingefüllt; jede Flasche ist ein eigener (Mikro)reaktor zur alkoholischen Gärung; am Ende erhält man in jeder Flasche das identische Produkt einer Charge. Übertragen auf die Mikrofluidik bedeutet dies, dass man mit tropfenbasierten Reaktionssystemen viele Hundert, Tausend oder gar Hunderttausend in sich geschlossene, eigenständige Mikrobatchreaktionen durchführt und eben diese hinterher wieder zu einem Endprodukt zusammenführen kann.

Neben dieser skalierbaren, immer gleichen Mikroreaktornutzung lassen sich tropfenbasierte Systeme darüber hinaus hervorragend zum Parameterscreening chemischer Reaktionen nutzen. Da jeder Tropfen einen abgeschlossenen Mikroreaktor darstellt, kann neben der Reproduzierbarkeit einer Reaktion über viele Tropfen hinweg auch eine schnelle Parameteränderung je Tropfen oder über ein Tropfenensemble hinweg geschehen. Dies erfordert keine Veränderung oder langwierige Spülprozesse nach Parameteränderung für eine bestimmte Reaktion, da die häufigsten veränderlichen Parameter wie Temperatur, Zusammensetzung der Edukte, Verweilzeit und Spannung bzw. Stromstärke bei elektrochemischen Reaktionen komfortabel und schnell für kleine Volumina variiert werden können.

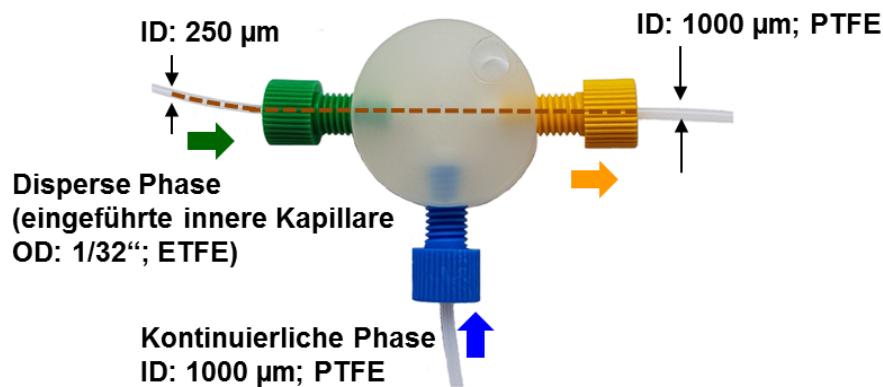


Abbildung 1.1: Aufbau eines koaxialen Tropfengenerators

Zur Segmentgeneration eignen sich verschiedene mikrofluidische Bauteile. Die bekannten T- und Y-Verbinder, welche sich durch das direkte bzw. rechtwinklige Aufeinandertreffen der Tropfenphase mit der kontinuierlichen Phase nur bedingt zur Tropfengeneration eignen, da die Tropfendispersität zwischen einem Spray und einem Slug² variieren kann, insbesondere wenn es innerhalb des Systems zu Druckschwankungen kommt. Deutlich besser eignet sich ein schon in [20–23] vorgestellter, aus mehreren koaxialen Kapillaren aufgebauter Tropfengenerator. In vereinfachter Form für zweiphasige Systeme, in welcher

²Verformter Tropfen in einem zweiphasigen Fluss, dessen Länge größer als der Kanaldurchmesser ist.

eine Kapillare mit geringem Durchmesser in eine größere Kapillare eingebracht wird, wird der an der Austrittsöffnung der inneren Kapillare entstehende Reaktionstropfen durch die von außen umspülende kontinuierliche Phase abgerissen. In einem solchen System lässt sich durch Anpassung des Flussratenverhältnisses und der Gesamtflussrate die Größe der entstehenden Tropfen sehr genau definieren.

Die generierten Tropfen lassen sich nicht nur als eigenständige Mikroreaktoren in einer kontinuierlichen Phase nutzen, sondern durch das große Oberflächen-zu-Volumen-Verhältnis auch hervorragend für Phasengrenzflächenreaktionen verwenden[20]. Eine Weiterentwicklung stellt der Janus-Tropfengenerator dar, der für elektrochemische Reaktionen im kontinuierlichen Fluss in Kapitel 3.1 entwickelt wurde. Durch die Anordnung zweier sehr kleiner Kapillaren nebeneinander innerhalb einer Kapillare größeren Durchmessers, entstehen sogenannte Janustropfen³.

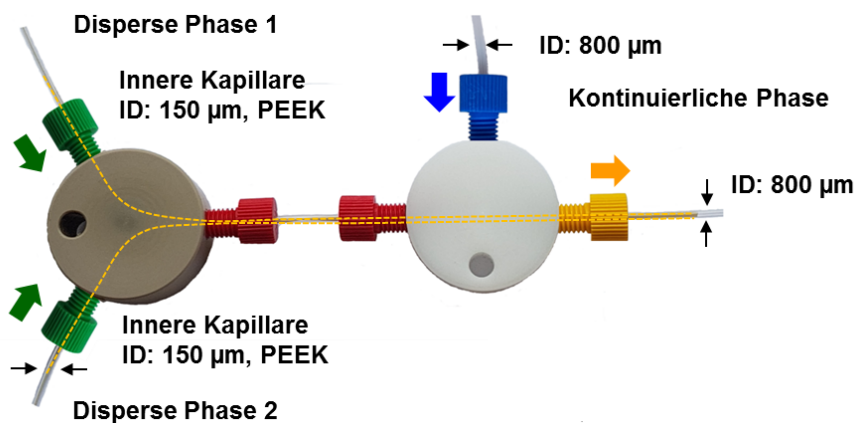
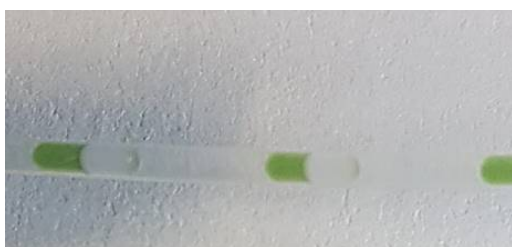


Abbildung 1.2: Aufbau eines koaxialen Janustropfengenerators



(a) Janustropfen aus Wasser (grün) und FC-40[®] in Toluol



(b) Janustropfen aus Wasser (grün) und Dichlorethan (rot) in FC-40[®]

Abbildung 1.3: Beispiele für mit obigem Tropfengenerator generierte Janustropfen

³Janustropfen [24–28] bestehen, vergleichbar mit Januspartikeln, aus zwei Teilen, die, nicht mischbar, den Tropfen bilden. Zwischen den beiden Teilen besteht eine direkte Kontaktfläche, die nicht durch die den Tropfen umgebende kontinuierliche Phase unterbrochen wird.

1.3 Mikrocontroller

Unter dem Begriff Mikrocontroller versteht man ein meistens auf einem Halbleiterchip integrierten Prozessor mitsamt unterschiedlichen, teilweise spezialisierten Zusatzkomponenten. Dazu zählen neben dem Arbeits- und Permanentenspeicher auch digitale und analoge Ein- und Ausgänge, Timer und weitere elektronische Schaltungen und Schnittstellen wie beispielsweise *UART*⁴, *I²C*⁵, *1-Wire*⁶ oder *SPI*⁷.

Die Benennung von Mikrocontrollern erfolgt häufig nach der Bit-Zahl ihres internen Datenbusses: 4, 8, 16 oder 32 Bit. Die Bit-Zahl entspricht der Länge der Daten die der Mikrocontroller in einem einzigen Befehl verarbeiten kann. So können die in dieser Arbeit überwiegend verwendeten 8 Bit-Mikrocontroller⁸ in einem Befehl immer nur Zahlen bis 255 verarbeiten. Zur Bearbeitung größerer Zahlen sind mehrere Befehle hintereinander nötig, was längere Ausführungszeit in Anspruch nimmt. Durch diese Einschränkung sind die reinen Rechengrenzen des Prozessors eines Mikrocontrollers schnell erreicht, was jedoch nicht dem Anwendungszweck eines Mikrocontrollers entspricht. Der Mikrocontroller spielt seine Stärken durch die Integration von Zusatzkomponenten aus, die neben der schnellen Aufnahme und Abgabe von digitalen und analogen Zuständen, ermöglicht durch die direkt an den Prozessor angebundene digitalen und analogen Ein- und Ausgänge, eine Abarbeitung einfacher Aufgaben in Echtzeit erlaubt. Diese Fähigkeit muss heutigen PCs erst mit darauf spezialisierten Echtzeit-Betriebssystemen aufwändig erneut beigebracht werden⁹, um ein deterministisches zeitliches Verhalten zurück zu gewinnen.

Die in vielen Einzelprojekten dieser Arbeit genutzte Arduino-Plattform[29–34] ist eine im Jahre 2005 von Massimo Banzi und David Cuartielles vorgestellte[35], quell-offene Hard-

⁴*UART*, Abkürzung für *Universal Asynchronous Receiver Transmitter*, einer elektronischen Schaltung zur Bereitstellung von digitalen seriellen Schnittstellen

⁵*I²C*, Abkürzung für *Inter-Integrated Circuit*, ein von Philips 1982 vorgestellter serieller Datenbus mit Master-Slave-Architektur, beispielsweise zur Anbindung von Displays (siehe Kapitel 2.2.1.1, Aufbau eines Tropfenzählers)

⁶*1-Wire*, der sogenannte Eindrahtbus, ist eine von Dallas Semiconductor entwickelte serielle Schnittstelle, welche mit einer einzelnen Datenader (neben der Masse) sowohl für die Sende- als auch die Empfangsrichtung arbeitet (siehe Kapitel 2.1, Temperatursensoren).

⁷*SPI*, Abkürzung für *Serial Peripheral Interface* ist ein hauptsächlich geräteintern genutzter serieller Datenbus mit Master-Slave-Architektur, der Anfang der 1980er Jahre von Motorola entwickelt wurde (siehe Kapitel 3.2, Phasentrenner).

⁸8 Bit ergibt 1 Byte und entspricht einem im Dezimalsystem darstellbaren Wert zwischen 0 und 255

⁹Herkömmliche Betriebssysteme können eine Reaktion auf eine zufällige Eingabe innerhalb einer festgelegten, sehr kurzen Reaktionszeit nicht garantieren, da sie mit Lese- und Schreibpuffern arbeiten, die Datenverarbeitung verlangsamen und die erforderliche Abarbeitung nach Eingangsreihenfolge nicht garantieren können. Echtzeitbetriebssysteme (RTOS - Real Time Operating Systems) sind speziell für solche zeitkritischen Szenarien entwickelt, wie sie im Maschinenbau, der Medizintechnik und anderen Bereichen mit zeitkritischen Anwendungen vorkommen.

und Softwareplattform für einfache Mikrocontroller mit analogen und digitalen Ein- und Ausgängen. Die Mikrocontroller können über eine leicht verständliche Entwicklungsumgebung, die Arduino-IDE¹⁰, in der Programmiersprache *Processing*, einer Vereinfachung der Programmiersprache Java¹¹, programmiert werden. Die Arduino-IDE erlaubt eine direkte Programmierung des Mikrocontrollers, ohne dass separate Programmieradapter notwendig sind. Arduino-Boards sind so aufgebaut, dass sie auf Grund ihrer einheitlichen Größe und Buchsenleisten leicht um weitere Platinen, sogenannte Shields, durch Aufstecken eben dieser erweitert werden können, welche den Mikrocontroller um zusätzliche Funktionen ergänzen. So ist es beispielsweise möglich, den Mikrocontroller um die nötige Hardware zum Speichern von Messdaten auf SD-Karten oder zur Ansteuerung von Motoren, Messgeräten und Pumpen zu erweitern.

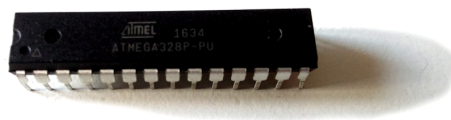


Abbildung 1.4: Mikrocontroller ATMEGA328P

Die aktuelle Generation der 8-Bit-Arduino-Plattform, der Arduino Uno¹², basiert auf einem ATMEGA328P der Firma Atmel. Auf dem Board sind 14 digitale Ein- und Ausgänge, wovon 6 Pulsweitenmodulations-Signale (kurz: PWM-Signale), vergleichbar analogen Ausgängen, ausgeben können, direkt auf Buchsenleisten heraus geführt. Zusätzlich sind 6 analoge Eingänge über einen im Mikrocontroller integrierten Analog-Digital-Wandler¹³ zugänglich, die unter anderem für das Auslesen analoger Sensoren nötig sind. Der Arduino Uno verfügt über I^2C -, *SPI*- und *1-Wire*-Schnittstellen, um weitere Peripheriegeräte in Form von ICs¹⁴ anzubinden. Die analogen Ein- und Ausgänge können bei Bedarf auch als digitale Ein- und Ausgänge genutzt werden. Der Arduino kann wahlweise über die USB-Schnittstelle eines angeschlossenen Computers oder mittels separatem 9V-Netzteil mit Strom versorgt werden. Über den USB-Anschluss kommuniziert der Arduino mit einem Computer und wird darüber hinaus mit Programmcode bestückt. Zur einfachen Datenvisualisierung, Datenspeicherung, Programmierung und Übertragung des Programmcodes steht die bereits erwähnte Arduino-IDE zur Verfügung.

¹⁰*IDE*: integrierte Entwicklungsumgebung, vom engl. *Integrated Development Environment*, Softwareumgebung zum Erstellen von Programmen für den Arduino Mikrocontroller[29]

¹¹Java ist eine 1995 von Sun Microsystems entwickelte objektorientierte Programmiersprache, die heute zu den weltweit beliebtesten Programmiersprachen zählt.

¹²Datenblatt des Arduino Uno siehe Anhang B

¹³Der im Arduino Uno integrierte Analog-Digital-Wandler hat eine Auflösung von 10 Bit, was einer Unterscheidung einer Spannung zwischen 0 und 5 Volt in 1024 Schritte entspricht.

¹⁴IC, engl. *Integrated Circuit*, integrierter Schaltkreis, typischerweise realisiert als eigenständiger Chip mit einer standardisierten Bauform und Anzahl an Anschlüssen.

Kapitel 2

Sensoren

Sensoren sind Messgeräte und somit die Datenlieferanten für Mikrocontroller und Computer. Mit ihrer Hilfe können Daten dem Steuerungssystem zugeführt werden: auch eine Tastatur lässt sich als eine Ansammlung vieler Druck- bzw. kapazitiver Sensoren beschreiben. In diesem Kapitel werden unterschiedliche Sensoren, wie sie zur Reaktionsüberwachung eingesetzt werden können, und deren Aufbau betrachtet. Neben dem Thermometer, dem analogen wie digitalen Sensor zur chemischen Reaktionskontrolle schlechthin, braucht man bei der automatisierten Kontrolle von Reaktionen weitere Möglichkeiten, unterschiedlichste Reaktionsparameter kontinuierlich zu ermitteln und im Verlauf mittels Aktoren auch steuern zu können.

2.1 Temperatursensoren

Zur digitalen Messung von Temperaturen werden üblicherweise Widerstandsthermometer verwendet. Dies sind elektrische Bauteile, deren Widerstandswert sich mit der Temperatur ändert. Naheliegenderweise eignen sich hierfür reine Metalle, beispielsweise Platin, deren Widerstandsänderung eine lineare Temperaturabhängigkeit aufweisen. Heute lassen sich auch aus Keramiken und Halbleitern solche Widerstandsthermometer, sogenannte Thermistoren, herstellen. Diese sind um einen Faktor 10 empfindlicher, als herkömmliche auf Metallen basierende Thermometer. Man unterscheidet zwischen zwei Gruppen von Thermistoren, den Heißleitern und den Kaltleitern. Bei Heißleitern steigt die Leitfähigkeit mit Erhöhung der Temperatur, sie besitzen somit einen negativen Temperaturkoeffizienten. Kaltleiter hingegen haben einen positiven Temperaturkoeffizienten: die Leitfähigkeit sinkt und der Widerstand steigt mit steigender Temperatur. Kaltleiter werden in der Elektrotechnik bevorzugt als Überlastungsschutz bei Geräten im Dauerbetrieb eingesetzt: sie begrenzen bei zu starker Erwärmung den Stromdurchfluss und schützen das Gerät vor Überhitzung. Mit Heißleitern hingegen lassen sich heute Temperaturen bis 150°C präzise messen. Nach vorheriger Kalibrierung (innerhalb der Messsoftware) lässt sich die Temperatur direkt aus dem gemessenen Widerstand bestimmen.

Eine Weiterentwicklung dieses Prinzips, welches sich leichter in einen Mikrochip integrieren lässt, ist die Temperaturermittlung mittels eines sogenannten *switched-capacitor integrator*, einem als Integrierer eingesetzten Operationsverstärker mit geschalteten Kondensatoren. Die geschalteten Kondensatoren arbeiten hier äquivalent zu Widerständen. Bei der Chip-Herstellung wird neben dem sowieso erforderlichen Prozessschritt für Kondensatoren auf den zusätzlichen Prozessschritt für Widerstände verzichtet.



(a) Verkapselte Form des DS18S20



(b) TO-92 Form des DS18S20

Abbildung 2.1: Temperatursensor Maxim Integrated DS18S20

Der in dieser Arbeit zur Temperaturermittlung eingesetzte Temperatursensor **DS18S20**¹ stammt von *Maxim Integrated* (früher *Dallas Semiconductor*) und nutzt die in [36] beschriebene *direct-to-digital thermometer*-Technologie zur Temperaturermittlung. Der Sensor ist mit der von *Dallas Semiconductor* entwickelten 1-Wire-Schnittstelle (auch One-Wire geschrieben) ausgestattet, welche mittels einer einfachen seriellen Kommunikation über eine einzelne Datenleitung (zuzüglich einer Masseleitung und einer optionalen Leitung für die Betriebsspannung) von seinem Gegenüber abgefragt wird. An dieser Datenschnittstelle können beliebig viele weitere 1-Wire-Komponenten hängen, da jede über eine eindeutige ID auf dem Datenbus identifiziert und angesprochen wird. Durch die weite Verbreitung des Sensors und gute Unterstützung des 1-Wire-Busses auf diversen Mikrocontroller-Plattformen und bei Kleinstcomputern ist eine Einbindung dieses Temperatursensors in unterschiedlichste Systeme sehr einfach. Der Sensor ist sowohl in offener TO-92-Bauform als auch fertig flüssigkeitsdicht verkapselt preiswert am Markt verfügbar. In der verkapselten Bauweise kommt der Temperatursensor direkt zur Temperaturmessung in Wärme- oder Kältebädern, im Luftstrom oder an Kühlkörpern zum Einsatz.

2.1.1 Pyrometer

Neben der Bestimmung der Temperatur von Wärme- und Kältebädern, durch welche Kapillaren führen, in denen die kontinuierliche Reaktion stattfindet, ist für manche Reaktionen auch die direkte Kontrolle der Reaktionstemperatur interessant. Diese lässt sich sehr einfach mit Hilfe eines Pyrometers bestimmen. Verfügt es über eine Vielzahl einzelner Infrarotsensoren und ist dazu in der Lage, die gewonnenen Informationen zu einem Bild

¹Datenblatt des DS18S20 siehe Anhang B

zusammensetzen, spricht man von einer Thermografie- oder Wärmebildkamera. Da die Anschaffung solcher Geräte mit hohen Kosten verbunden ist, wurde für diese Arbeit eine Möglichkeit gesucht, durch Selbstbau einer Thermografiekamera die zeitliche Veränderung der Temperatur und damit den Verlauf von Reaktionen zu kontrollieren. Zur digitalen Verarbeitung im Mikrocontroller ist nur die Messung der Temperaturwerte jedes einzelnen Bildpunkts nötig, eine Umwandlung zu einer kolorierten Wiedergabe kann bei Bedarf lokal im Mikrocontroller zur grafischen Ausgabe auf einem Display oder innerhalb der Controller-Software am Client-Computer erfolgen.

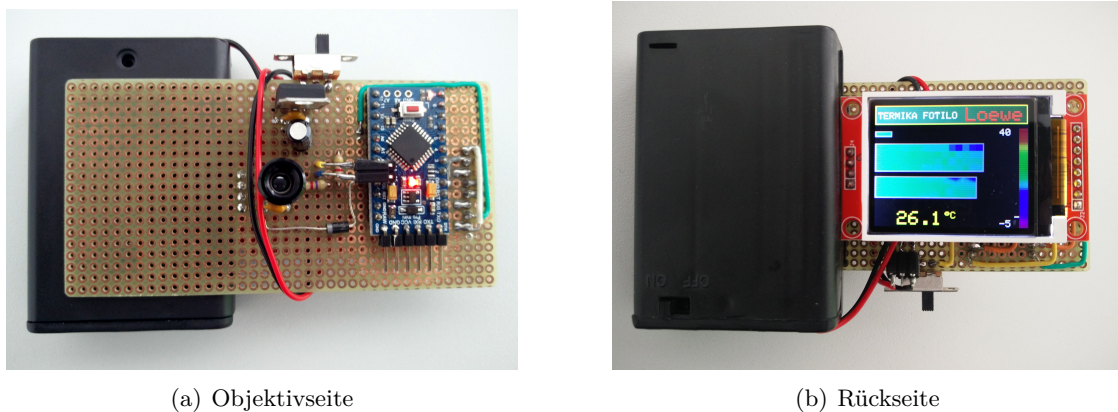


Abbildung 2.2: Fertig gelötete Termika Fotilo, mit Batteriefach und Display

Die im Folgenden vorgestellte Wärmebildkamera entstammt einem Projekt zum Selbstbau einer Wärmebildkamera aus der Zeitschrift *Make* 3/2017 mit dem Titel *Termika Fotilo* [37]. Das Projekt basiert auf dem Chip MLX90261² von Melexis, einem Infrarot-Mess-Chip mit einer Matrix aus 16 mal 4 Messpunkten für einen Temperaturbereich bis 300°C. Abbildung 2.2 (a) zeigt den Chip in seinem runden Gehäuse mittig auf der Platine. Die fertige Wärmebildkamera verfügt neben der Echtzeitanzeige der gemessenen Temperaturwerte auch über eine serielle Übertragung dieser Werte direkt auf einen via USB angeschlossenen Computer. Dort werden die Daten wahlweise direkt weiterverarbeitet oder in Form einer Logdatei dauerhaft gespeichert.

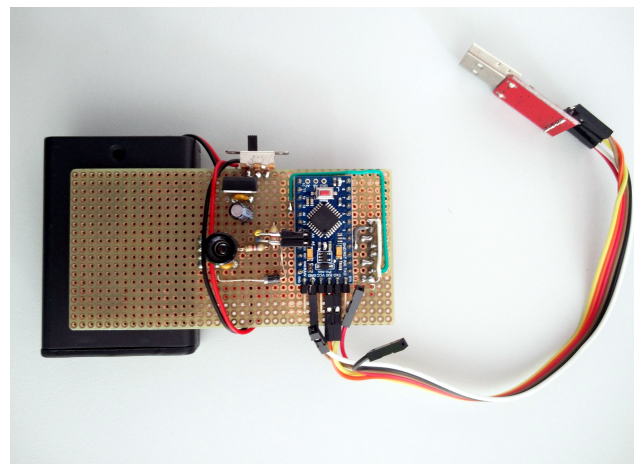


Abbildung 2.3: Termika Fotilo mit angeschlossenem USB-Seriell-Wandler zur Datenübertragung

Dort werden die Daten wahlweise direkt weiterverarbeitet oder in Form einer Logdatei dauerhaft gespeichert.

²Datenblatt des MLX90261 siehe Anhang B

2.1.1.1 Technische Realisierung

Der gesamte Aufbau der Wärmebildkamera befindet sich auf einer beidseitig bestückten Lochrasterplatine, worauf neben dem IR-Chip und dem Display zur Visualisierung der Messwerte auch der verwendete Mikrocontroller Arduino Pro Mini³ und ein Batteriefach zur portablen Stromversorgung Platz finden. Der Schaltplan ist in Abbildung 2.4 gezeigt. Da der MLX90261 innerhalb eines Spannungsbereichs zwischen 2,6 V und 3,2 V arbeitet und initial bei 2,6 V kalibriert wurde, müssen alle verwendeten Bauteile für eine Spannung unter 3,3 V ausgelegt sein. Der hier verwendete Arduino Pro Mini ist in einer speziellen 3,3 V-Version erhältlich. Bei dieser Spannung läuft der ATMEGA328P-Prozessor nur mit einem Takt von 8 MHz, was keine umfangreichen Berechnungen lokal auf dem Mikrocontroller zulässt. Auch das verwendete 1,8" TFT-Display, basierend auf dem ST7735-Chip, ist für die niedrige Betriebsspannung geeignet.

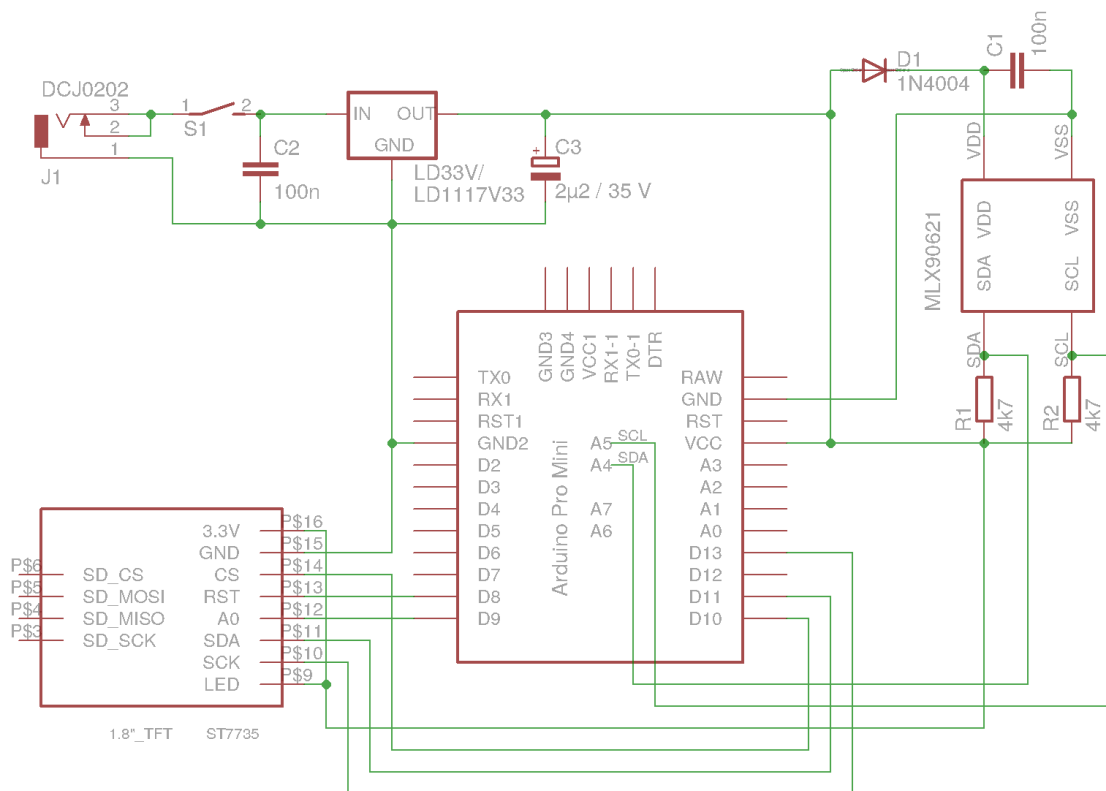


Abbildung 2.4: Schaltplan des Pyrometers auf Basis des MLX90621

³Der Arduino Pro Mini nutzt den identischen Microcontroller ATMEGA328P von Atmel, besitzt jedoch eine stark verringerte Bauform und kann neben 5 V auch mit einer Betriebsspannung von 3,3 V bei verringerter Taktfrequenz betrieben werden.

2.1.1.2 Software

Zusätzlich zu den zwei Standardbibliotheken `SPI.h` und `TFT.h` wird noch die im Anhang A.1 vollständig gezeigte und von der Make-Redaktion online zur Verfügung gestellte Bibliothek zur Ansteuerung des MLX90621, `mlx90621.h` und `mlx90621.cpp`, benötigt. Neben der Initialisierung verschiedener Parameter lässt sich innerhalb der Initialisierungsroutine auch der für die grafische Ausgabe wichtige zu erwartende Temperaturbereich angeben (`MINTEMP` und `MAXTEMP`).

Listing 2.1: Quellcodeausschnitt: Initialisierungsroutine - Pyrometer

```
1  /* ursprüngliche Quelle: Make 3/2017, "Termika Fotilo"      */
2  /* keine weitere Lizenz durch die Originalquelle angegeben */
3  #include <SPI.h>
4  #include <TFT.h>
5  #include "mlx90621.h"
6  uint8_t CS_ = 10;
7  uint8_t DC_ = 9;
8  uint8_t RST_ = 8;
9  int8_t MINTEMP = -5;
10 uint8_t MAXTEMP = 30;
11 uint16_t HUEMAX = 320;
12 uint8_t ZOOM = 7;
13 void StartScreen(void);
14 void OutAmbientTemp(void);
15 void HSVtoRGB(float &, float &, float &, float, float, float);
16 void OutTempField(void);
17 float LinInterpol(float, float, uint8_t, uint8_t, uint8_t);
18 float FindMinTemp(float *); float FindMaxTemp(float *);
19 TFT TFTscreen = TFT(CS_, DC_, RST_);
20 MLX90621 MLXtemp;
21 void setup() { }
```

Der Großteil der auf dem Mikrocontroller laufenden Software wurde in separate Funktionen ausgelagert, so sorgt die Funktion `StartScreen` für die Initialisierung und den Grundaufbau der grafischen Ausgabe auf dem Display, die Funktion `OutAmbientTemp` sorgt für die Anzeige der Umgebungstemperatur, mittels der Funktion `OutTempField` wird nach der linearen Interpolation der Temperaturwerte durch `LinInterpol` und der Umrechnung in RGB-Werte (`HSVtoRGB`) das Wärmebild auf dem Display und als Rohdaten über die serielle Schnittstelle ausgegeben.

Listing 2.2: Quellcodeausschnitt: Ausgelagerte Funktionen - Pyrometer

```

1  /* ursprüngliche Quelle: Make 3/2017, "Termika Fotilo"    */
2  /* keine weitere Lizenz durch die Originalquelle angegeben */
3  void StartScreen(void) {
4      uint8_t i;
5      float R, G, B;
6      float gradstep;
7      char puffer[10];
8      TFTscreen.begin ();
9      TFTscreen.background (0, 0, 0);
10     TFTscreen.stroke (0, 0xFF, 0xFF);
11     TFTscreen.fill (50, 100, 20);
12     TFTscreen.rect (0, 0, 159, 20);
13     TFTscreen.stroke (0,0,255);
14     TFTscreen.setTextSize (2);
15     TFTscreen.text ("Loewe",95,3);
16     TFTscreen.stroke (0xFF , 0xFF, 0xFF);
17     TFTscreen.setTextSize (1);
18     TFTscreen.text ("TERMIKA FOTILO",3,7);
19     TFTscreen.stroke (0x50, 0x50, 0xFF);
20     TFTscreen.setTextSize (1);
21     TFTscreen.text (" Init ... ", 0, 112);
22     TFTscreen.text (" Please wait ", 0, 120);
23     TFTscreen.stroke (127, 127, 127);
24     TFTscreen.fill (100, 0, 0);
25     TFTscreen.rect (0, 27, 16+2, 4+2);
26     TFTscreen.rect (0, 40, 16*ZOOM+2, 4*ZOOM+2);
27     TFTscreen.rect (0, 75, 15*ZOOM+2, 3*ZOOM+2);
28     for (i=0; i < 103; i++) {
29         HSVtoRGB (R, G, B, i * (HUEMAX/103.0), 1, .5);
30         TFTscreen.stroke (B * 255, G * 255, R * 255);
31         TFTscreen.line (150, i+25, 159, i+25);
32     }
33     TFTscreen.stroke (0xFF , 0xFF, 0xFF);
34     TFTscreen.setTextSize (1);
35     itoa (MINTEMP, puffer , 10);
36     TFTscreen.text (puffer , 130, 120);
37     itoa (MAXTEMP, puffer , 10);
38     TFTscreen.text (puffer , 130, 25);
39     gradstep = (MAXTEMP + abs(MINTEMP)) / 103.0;
40     i = 25 + (uint8_t)(MAXTEMP / gradstep);
41     TFTscreen.line (145, i, 150, i);
42 }
43
44 void OutAmbientTemp(void) {
45     float t = MLXtemp.get_ptat ();
46     char puffer[10];
47     TFTscreen.stroke (0, 0, 0);

```

```
48 TFTscreen.fill (0, 0, 0);
49 TFTscreen.rect (0, 112, 70, 128-112);
50 TFTscreen.stroke (0, 0xFF, 0xFF);
51 TFTscreen.setTextSize (2);
52 dtostrf (t, 6, 1, puffer);
53 TFTscreen.text (puffer, 0, 112);
54 TFTscreen.setTextSize (1);
55 TFTscreen.text ("\xF7", 74, 112);
56 TFTscreen.text ("C", 80, 112);
57 }
58
59 void HSVtoRGB(float &r, float &g, float &b, float h, float s, float v
60 ) {
61     int i;
62     float f, p, q, t;
63     if( s == 0 ) {
64         r = g = b = v;
65         return;
66     }
67     h /= 60;
68     i = floor( h );
69     f = h - i;
70     p = v * ( 1 - s );
71     q = v * ( 1 - s * f );
72     t = v * ( 1 - s * ( 1 - f ) );
73     switch( i ) {
74         case 0: r = v; g = t; b = p; break;
75         case 1: r = q; g = v; b = p; break;
76         case 2: r = p; g = v; b = t; break;
77         case 3: r = p; g = q; b = v; break;
78         case 4: r = t; g = p; b = v; break;
79         default: r = v; g = p; b = q; break;
80     }
81 }
82
83 void OutTempField(void) {
84     int8_t x, y, xmod, xorg1, xorg2, ymod, yorg1, yorg2;
85     char puffer[10];
86     float temps[16][4];
87     float i, i1, i2;
88     float hue;
89     float R, G, B;
90     float interpoltemp;
91     MLXtemp.read_all_irfield (temps);
92     for (y = 0; y < 4; y++) {
93         for (x = 0; x < 8; x++) {
94             i = temps[15 - x][y];
95             temps[15 - x][y] = temps[x][y];
96             temps[x][y] = i;
```

```

96     }
97   }
98   for (y = 0; y < 4; y++) {
99     for (x = 0; x < 16; x++) {
100       hue = HUEMAX - (temps[x][y] + abs(MINTEMP)) * (HUEMAX / (float)
(MAXIEMP + abs(MINTEMP)));
101       HSVtoRGB (R, G, B, hue, 1, .5);
102       TFTscreen.stroke (B * 255, G * 255, R * 255);
103       TFTscreen.fill (B * 255, G * 255, R * 255);
104       TFTscreen.point (x + 1, y + 28);
105       TFTscreen.rect (x * ZOOM + 1, y * ZOOM + 41, ZOOM, ZOOM);
106       dtostrf (temps[x][y], 6, 1, puffer);
107       Serial.print (puffer);
108     }
109     Serial.println();
110   }
111   Serial.println(" ***");
112   for(x = 0; x < (ZOOM * 15); x++) {
113     for(y = 0; y < (ZOOM * 3); y++) {
114       xmod = x % ZOOM;
115       xorg1 = x - xmod;
116       xorg2 = xorg1 + ZOOM;
117       ymod = y % ZOOM;
118       yorg1 = y - ymod;
119       yorg2 = yorg1 + ZOOM;
120       i1 = LinInterpol (temps[x / ZOOM][y / ZOOM], temps[x / ZOOM +
1]
[y / ZOOM], xorg1, xorg2, x);
121       i2 = LinInterpol (temps[x / ZOOM][y / ZOOM + 1], temps[x / ZOOM
+ 1]
[y / ZOOM + 1], xorg1, xorg2, x);
122       interpoltemp = LinInterpol (i1, i2, yorg1, yorg2, y);
123       hue = HUEMAX - (interpoltemp + abs(MINTEMP)) * (HUEMAX / (float)
)
(MAXIEMP + abs(MINTEMP)));
124       HSVtoRGB (R, G, B, hue, 1, .5);
125       TFTscreen.stroke (B * 255, G * 255, R * 255);
126       TFTscreen.fill (B * 255, G * 255, R * 255);
127       TFTscreen.point (x + 1, y + 75 + 1);
128     }
129   }
130 }
131
132 float LinInterpol (float t1, float t2, uint8_t x1, uint8_t x2,
uint8_t x) {
133   return t1 * (x2 - x) / ZOOM + t2 * (x - x1) / ZOOM;
134 }
135
136 float FindMinTemp (float temperatures []) {
137   uint8_t i;
138   float temp = 300.0;
139   for (i = 0; i < 64; i++) {

```

```
140     if (temperatures[i] < temp)
141         temp = temperatures[i];
142     }
143     return temp;
144 }
145
146 float FindMaxTemp (float temperatures []) {
147     uint8_t i;
148     float temp = -20.0;
149     for (i = 0; i < 64; i++) {
150         if (temperatures[i] > temp)
151             temp = temperatures[i];
152     }
153     return temp;
154 }
```

Innerhalb der Wiederholungsroutine wird mit jedem Zyklus die Schnittstelle und der Wärmebildchip initialisiert, die Ausgabe am Display vorbereitet, die Umgebungstemperatur gemessen und dann das Wärmebild aufgenommen, zur Anzeige am Display aufbereitet, über die serielle Schnittstelle übertragen und am Ende auf dem Display ausgegeben. All dies geschieht über den Aufruf der zuvor deklarierten Funktionen.

Listing 2.3: Quellcodeausschnitt: Wiederholungsroutine - Pyrometer

```
1  /* ursprüngliche Quelle: Make 3/2017, "Termika Fotilo"      */
2  /* keine weitere Lizenz durch die Originalquelle angegeben */
3
4  void loop() {
5      Serial.begin(9600);
6      Serial.println("Starting....");
7      StartScreen();
8      while (!MLXtemp.init())          // MLX90620 init failed
9          delay(100);
10     while (1) {
11         OutAmbientTemp();
12         OutTempField();
13         delay(100);
14     }
15 }
```

2.1.1.3 Anwendungsbeispiel

Zur Prüfung der Verwendbarkeit der Termika Fotilo unter Laborbedingungen wurde der bereits in der Arbeit von Raoul Axinte[38] aus dem Jahr 2009 beschriebene Versuch der kontinuierlichen Synthese von 1-Ethyl-3-methylimidazolium ethylsulfat ([EMIM]EtOSO₃) aus 1-Methylimidazol (MIM) und Diethylsulfat (DES) durchgeführt. In einem ersten Versuch wurden analog der Vorschrift mittels zweier Spritzenpumpen die beiden Edukte äquimolar jeweils bei einer Flussrate von 40 µL/min in einem T-Stück vereint und der Start der exothermen Reaktion in der Kapillare⁴ beobachtet. Die Termika Fotilo wurde nach empirischer Ermittlung des maximalen Temperaturanstiegs in einem Abstand von ca. 7 cm vom T-Stück (≡ einer Verweilzeit von 15 Sekunden), an dem die beiden Edukte zusammentreffen, auf die Kapillare fokussiert. Die Reaktion wurde nach 25 cm Kapillarlänge (≡ einer Verweilzeit von 95 Sekunden) in einem Becherglas mit Wasser gequencht, das entstandene Produkt jedoch weder aufbereitet noch analysiert, da der Umsatz für die Einsatzprüfung der Termika Fotilo nicht von Belang war.

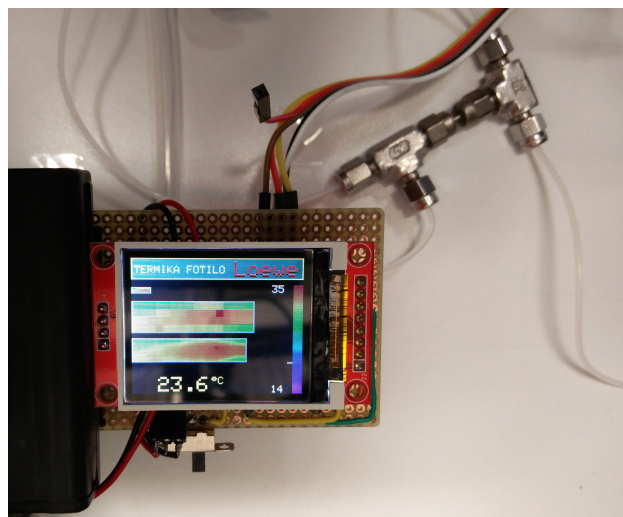


Abbildung 2.5: Momentaufnahme der Temperatur bei der kontinuierlichen Synthese von [EMIM]EtOSO₃
(Erläuterungen zum Display siehe Abbildung 2.6)

Im weiteren Verlauf wurde das Reaktionsgemisch zusätzlich über ein T-Stück mit Einspeisung von FC-40[®] (Flussrate: 100 µL/min) in einzelne Tropfen segmentiert, um die Wärmeerzeugung in jedem einzelnen Tropfen beobachten zu können. Darüber hinaus diente die kontinuierliche Phase aus FC-40[®] der Kühlung der Kapillare, um eine Fehlinterpretation der Messdaten durch einen Temperaturgradienten der Kapillare über die Laufzeit

⁴Verwendet wurde eine 1/16" Kapillare mit einem Innendurchmesser von 800 µm aus FEP, welches eine besonders gute IR-Durchlässigkeit im Vergleich zu Kapillaren aus PTFE aufweist.

der Reaktion zu vermeiden. Durch den Einbau des zweiten T-Stücks erweiterte sich das Verweilelement in Form der Kapillare um weitere 7 cm, wodurch unter Berücksichtigung der gesteigerten summierten Flussrate der Abstand des maximalen Temperaturanstiegs erneut bei ca. 7 cm Distanz zu letzten T-Stück lag.

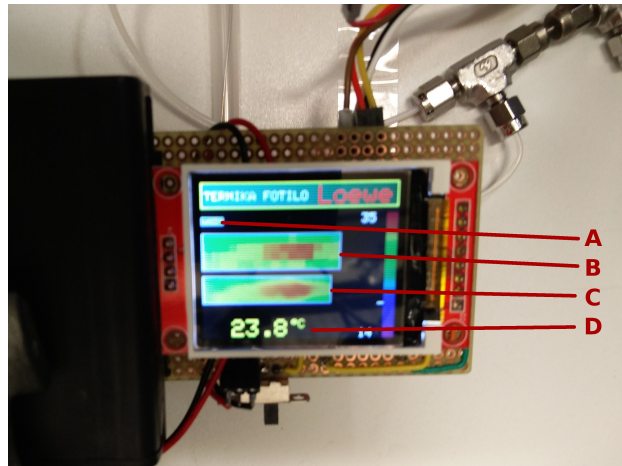


Abbildung 2.6: Momentaufnahme der Temperatur bei der segmentierten kontinuierlichen Synthese von $[\text{EMIM}]\text{EtOSO}_3$

- A** Temperaturarray in Originalgröße (4x16 Pixel)
- B** Temperaturarray vergrößert (16x64 Pixel)
- C** Temperaturarray interpoliert (13x61 Pixel)
- D** aktuelle Umgebungstemperatur

Die Daten der Messungen wurden direkt über einen Seriell-zu-USB-Wandler an einen Computer übertragen. Bei den übertragenen Daten handelt es sich je Messung um ein Array aus 4 mal 16 Temperaturen, die, bei korrekter Fokussierung der Termika Fotilo auf die Kapillare, dem Temperaturdurchschnitt von $200 \times 200 \mu\text{m}$ großen Flächen, somit also einer messbaren Kapillarlänge von $3,2 \mu\text{m}$ entsprechen. In Abbildung 2.7 ist der Rohdatensatz einer Messung, umgewandelt in Farbwerte von grün (\equiv kalt) bis rot (\equiv warm) zu sehen, welcher mittels Interpolation⁵ der Temperatur- und damit auch Farbwerte auf ein Array aus 13 mal 61 Temperaturen erweitert wurde. Hierdurch wird der zuvor nur schlecht erkennbare Temperaturverlauf innerhalb der Kapillare unter Verlust der Bildschärfe deutlich.

⁵Unter Interpolation versteht man in der Bildbearbeitung die Erweiterung der Anzahl der vorhandenen Pixel durch Berechnung von Farbwerten möglicher weiterer Pixel zwischen zwei benachbarten Pixeln. Diese Interpolation geht immer mit dem Verlust von Bildschärfeinformationen einher, erlaubt jedoch die bessere Visualisierung digital abgebildeter Objekte.

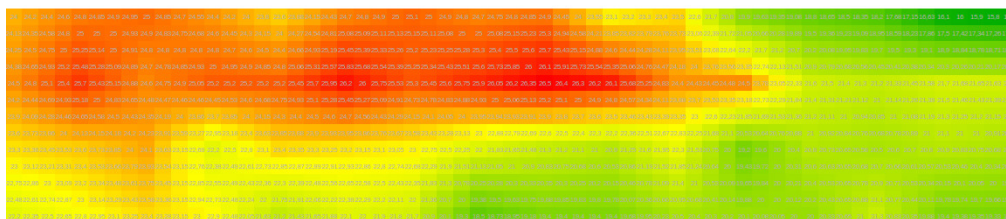
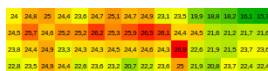


Abbildung 2.7: Visualisierung der gemessenen Temperaturwerte (Originalwerte, 4x16 Werte, oben, Vergleich Abbildung 2.6, **A**) durch Interpolation (Interpoliertes Bild, 13x61 Werte, unten, Vergleich Abbildung 2.6, **C**)

Der Einsatz von Pyrometern zur Temperaturmessung im kontinuierlichen Fluss erlaubt eine berührungslose Temperaturbestimmung in Echtzeit für einen definierten Bereich des Systems. So können nicht nur Temperaturunterschiede innerhalb der Kapillare, beispielsweise zwischen dem Zentrum dieser und wandnahen Bereichen sichtbar gemacht werden, sondern auch der Reaktionsverlauf visualisiert werden. Handelt es sich wie bei der hier gezeigten Synthese von $[\text{EMIM}]\text{EtOSO}_3$ um eine stark exotherme Reaktion, kann beispielsweise der Reaktionsbeginn durch den sichtbaren Temperaturanstieg im Tropfen genau bestimmt werden. Unter Verwendung von Infrarot-Sensor-Chips mit höherer Auflösung lassen sich wahlweise größere Bereiche des Reaktionssystems abbilden oder noch detailliertere Messungen der Temperatur eines Kapillarabschnitts machen, ohne das Reaktionssystem innerlich verändern zu müssen.

2.2 Optoelektronische Sensoren

Neben der digitalen Erfassung von Temperaturen ist, insbesondere bei tropfenbasierten Reaktionen, die Überwachung des Durchflusses mittels Lichtschranken eine einfache und berührungslose Methode. Eine Tropfenerkennung im Fluss erlaubt nicht nur die Messung der Länge eines jeden Tropfens, sondern daraus resultierend auch die Berechnung seines Volumens. Sind Flussrate und Kapillarlänge bekannt, so lässt sich jeder Tropfen als eigenständiges Reaktionssystem über die gesamte Reaktionsdauer behandeln. Denkbare Anwendungen sind gepluste elektrochemische Reaktionen oder Photoinitiierungsreaktionen mit gepulstem Licht.

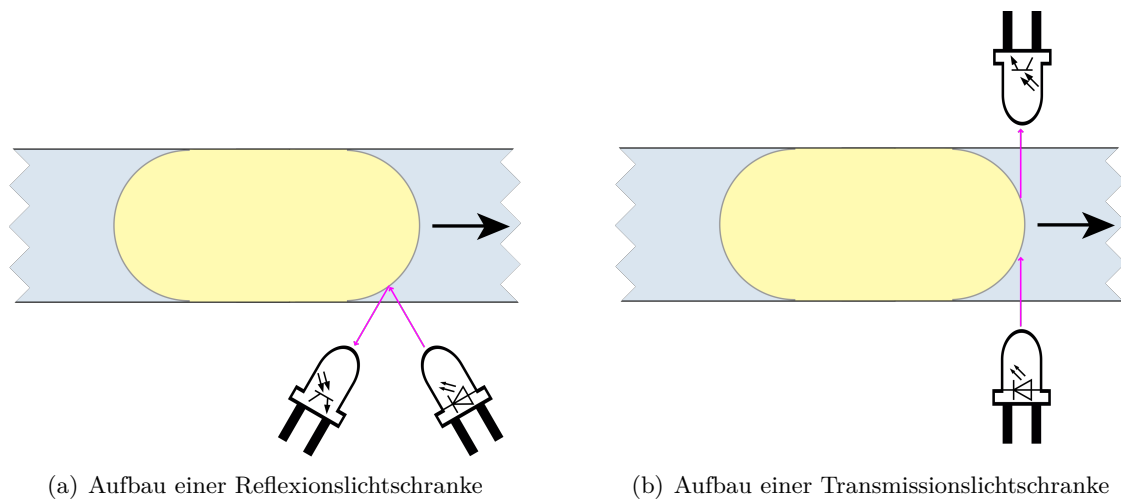


Abbildung 2.8: Vereinfachter Aufbau von Reflexions- und Transmissionslichtschranken

Im Folgenden werden zwei unterschiedliche Messmethoden der Tropfenerkennung mittels Lichtschranke vorgestellt: die Reflexionsmessung und die Transmissionsmessung einer Lichtquelle an einer Kapillare.

Die Funktionsweise von Transmissionslichtschranken und Reflexionslichtschranken ist zwar grundlegend identisch, jedoch sind die Anwendungsbereiche beider Lichtschrankentypen unterschiedlich: Reflexionslichtschranken haben durch die gewinkelte Anordnung von LED und Phototransistor eine eng begrenzte Fokusdistanz, sehen also beispielsweise nicht sehr weit in eine Kapillare hinein. Für sie ist dadurch aber die Dicke des Körpers nur nebensächlich, sofern die zu detektierenden Tropfen innerhalb der Fokusdistanz die Lichtschranke passieren. Die Transmissionslichtschranke ist hingegen dazu in der Lage, selbst über größere Abstände von LED und Phototransistor Transmissionsunterschiede zu erkennen, wobei mit steigender Distanz die Auflösung der Lichtschranke abnimmt. Ein weiterer wichtiger Unterschied beider Lichtschranken ist der bei der Transmissionslichtschranke baubedingte größere Lichteinfallkegel als bei der winkligen Reflexionslichtschranke. Durch Verwendung von Fokuslinsen oder sogar Laserlichtquellen kann dieser Nachteil bei Transmissionslichtschranken aufgehoben werden.

2.2.1 Reflexionslichtschranken

2.2.1.1 Technische Realisierung - Tropfenzähler

Der Aufbau einer Reflexionslichtschranke ist denkbar einfach: wie in Abbildung 2.8 (a) dargestellt, besteht diese aus zwei Bauteilen, einer LED, die in die Kapillare⁶ Licht einstrahlt und einem Phototransistor⁷, dessen elektrischer Widerstand von der Intensität des in der Kapillare am Tropfen reflektierten Lichts abhängt. Dieser Spannungswert wird dann durch einen Mikrocontroller gemessen und interpretiert.

Fertige Reflexionslichtschranken mit LED und Phototransistor, die in einem Gehäuse mit festem Winkel fixiert sind, sind bis hinunter zu Fokusdistanzen von 0,7 mm erhältlich⁸. Produktiv verwendet wurden die Reflexlichtschranken Everlight ITR9904⁹ (Abbildung 2.9), welche eine Fokusdistanz von 3,0 mm haben. Durch diese breite Fokusdistanz lässt sich selbst beim Einsatz von 1/8" Kapillaren der Fokus der Lichtschranke problemlos auf die Mitte der Kapillare justieren.

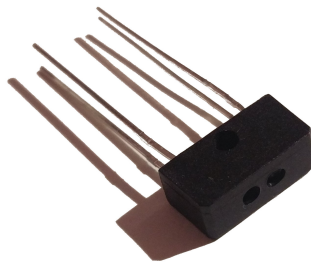


Abbildung 2.9: Everlight ITR9904⁹ Kompaktlichtschranke

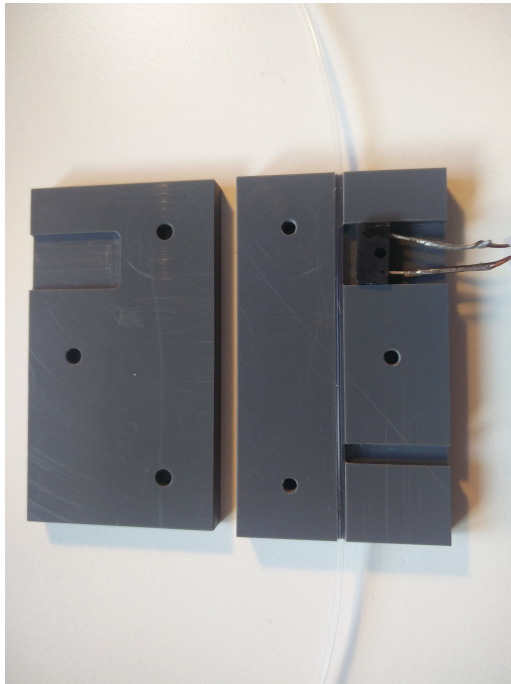
Außer der Software und dem zum Anschluss der Lichtschranke an den Mikrocontroller notwendigen Schaltplan wurde eine spezielle Halterung (Abbildung 2.11 (a)) entwickelt, die einerseits die Flexibilität der Fokussierung der Lichtschranke auf den Tropfen in der Kapillare erlaubt, aber dennoch einen Abschnitt der Kapillare durch den blockartigen Aufbau absolut geradlinig führt und damit gut vom Umgebungslicht abschirmt, sodass es innerhalb der Lichtschranke nicht zu Fehlmessungen durch einfallendes Umgebungslicht kommt.

⁶Statt herkömmlichen Kapillaren aus PTFE kamen 1/16" FEP-Kapillaren mit einem ID von 1000 µm zum Einsatz, da durch die bessere Transparenz des Materials eine geringere Streuung des Lichts im Kapillarmantel stattfindet.

⁷An Stelle eines Phototransistors kann auch ein einfacher Photowiderstand verwendet werden.

⁸Es fanden testweise Everlight ITR8307⁹ Verwendung, welche eine Fokusdistanz von 0,7 mm ab Gehäusekante aufweisen, siehe auch der untere Teil der Messzelle in Abbildung 2.11 (a).

⁹Datenblätter des ITR8307 und ITR9904 siehe Anhang B



(a) Geöffnete Messzelle mit Lichtschranke



(b) Steuerungseinheit mit Display und Button

Abbildung 2.11: Aufbau des einfachen Tropfenzählers

2.2.1.2 Software (Mikrocontroller)

Die Software des Tropfenzählers ist zweigeteilt: Neben der auf dem Mikrocontroller laufenden Software zur Abfrage der Lichtschranken und Ansteuerung des Displays und des Buttons wurde zusätzlich ein Programm zur grafischen Darstellung der Messwerte in Echtzeit auf einem direkt angeschlossenen PC übertragen. Dieses Programm ist auch in der Programmiersprache *Processing*¹² geschrieben und kann sowohl für Windows, macOS, Linux und Android aus der Entwicklungsumgebung[39] heraus übersetzt werden. Auf dem Zielsystem ist zur Ausführung eine installierte Java Laufzeitumgebung erforderlich.

Die auf dem Arduino laufende Software ist im Folgenden in ihren beiden Teilen, der Initialisierungsroutine und der Wiederholungsroutine, dargestellt. Der größte Teil des Quellcodes befasst sich mit der Ansteuerung des angeschlossenen Displays zur Ausgabe der aktuellen Tropfensumme. Hierzu sind auch die im Kopfteil geladenen Standardbibliotheken `Wire.h` und `LiquidCrystal_I2C.h` notwendig, die die notwendigen Routinen zur Ansteuerung des Displays beinhalten.

¹²Die in der Entwicklungsumgebung *Processing* verwendete namensgleiche Programmiersprache ist nicht nur identisch der innerhalb der Arduino-IDE verwendeten, auf einem vereinfachten Java basierenden objektorientierten Programmiersprache, sondern wird auch, speziell für die grafische Ausgabe, Simulation oder Animation von Messdaten aus Mikrocontrollern, zur Entwicklung von Software und Apps für verschiedene Betriebssysteme genutzt.

Die wichtigsten Parameter, welche im Kopfteil gesetzt werden, sind neben der I^2C -Adresse des Displays der analoge Eingang, an dem die Lichtschranke angeschlossen ist (`analogInPin`) und die empirisch zu ermittelnde Unterscheidungsgrenze¹³ (`limit`). Die hier festgelegte Unterscheidungsgrenze ist nur für die interne Tropfenzählung und Darstellung auf dem angeschlossenen Display relevant, da über die serielle Schnittstelle des Mikrocontrollers die gemessenen Rohdaten auf einen angeschlossenen Computer übertragen und von der dort laufenden Software ausgewertet werden. So kann auch die initiale Kalibrierung der Unterscheidungsgrenze über einen angeschlossenen Computer erfolgen.

Listing 2.4: Quellcodeausschnitt: Initialisierungsroutine - Lichtschranke

```
1  #include <Wire.h>
2  #include <LiquidCrystal_I2C.h>
3  LiquidCrystal_I2C lcd(0x27,16,2); // Set the LCD I2C address
4  const int analogInPin = A0;      // analog input of the lightbarrier
5  const int limit = 130;
6  int sensorValue = 0;
7  int outputValue = 0;
8  int buttonValue = 0;
9  int oldbuttonValue = 0;
10 float lastByte = 0;
11 long counter = 0;
12
13 void setup() {
14     Serial.begin(9600);
15     pinMode(8, INPUT);
16     lcd.init();
17     lcd.backlight();
18     lcd.setCursor(0,0);
19     lcd.print("  Mr. Bubble  ");
20     lcd.setCursor(0,1);
21     lcd.print(" Bubbles: ");
22 }
```

In der Wiederholungsroutine der Mikrocontroller-Software wird periodisch der Widerstandswert des Phototransistors der Lichtschranke abgefragt, in einen Wert zwischen 0 und 255 umgerechnet und mit der vorher festgelegten Unterscheidungsgrenze verglichen. Liegt der Wert darüber, so befindet sich gerade ein Tropfen auf Höhe der Lichtschranke. Um nicht den selben Tropfen mehrfach zu zählen, findet direkt im Anschluss an die Tropfenkennung ein Vergleich mit dem Messwert der vorherigen Messung statt. Wurde zuletzt auch ein Tropfen erkannt, löst die aktuelle Messung keine erneute Zählung eines Tropfens aus. Es handelt sich um den gleichen Tropfen, der zuvor schon gezählt wurde. Wurde zuvor hingegen kein Tropfen erkannt, handelt es sich um einen noch nicht gezählten Tropfen. Der

¹³Die Unterscheidungsgrenze hängt von der korrekten Fokussierung der Lichtschranke, der Transparenz der Kapillare, der Lichtbrechung des verwendeten Laufmittels und der Brechung des Tropfens ab.

Zähler wird um eins erhöht. Anschließend wird der Messwert lokal gespeichert, um bei der folgenden Messung als Vergleichswert zu dienen. Nun folgt die Übertragung des Messwerts über die serielle Schnittstelle und die Ausgabe des Zählerstands auf dem Display. Wird im Betrieb der Reset-Button gedrückt, wird innerhalb einer entprellenden Funktion¹⁴ der Zählerstand zurückgesetzt und der Wert auf dem Display genullt.

Neben der hier gezeigten Ausgabe via serieller Schnittstelle und auf dem Display ist auch eine direkte Übertragung über einen digitalen Ausgang des Arduino ohne großen Aufwand umsetzbar, sodass die Erkennung eines Tropfens in Echtzeit an einen anderen Mikrocontroller gemeldet wird und dieser daraufhin beispielsweise ein Ventil schaltet.

Listing 2.5: Quellcodeausschnitt: Wiederholungsroutine - Lichtschranke

```

1 void loop() {
2   sensorValue = analogRead(analogInPin);
3   buttonValue = digitalRead(8);
4   outputValue = map(sensorValue, 0, 1023, 0, 255);
5   if (buttonValue != oldbuttonValue) { // Define when to reset
6     oldbuttonValue = buttonValue;
7     delay(10);
8     counter = 0;
9     lcd.setCursor(8, 1);
10    lcd.print("      ");
11  }
12  if (outputValue > limit) { // Define when to count
13    if (lastByte < limit) {
14      counter++;
15    }
16  }
17  lastByte = outputValue;
18  Serial.println(sensorValue);
19  if(counter > 999999999)
20    lcd.setCursor(6, 1);
21  else if(counter > 99999999)
22    lcd.setCursor(7, 1);
23  else if(counter > 9999999)
24    lcd.setCursor(8, 1);
25  else if(counter > 999999)
26    lcd.setCursor(9, 1);
27  else if(counter > 99999)

```

¹⁴Unter Prellen versteht man bei elektromechanischen Schaltern das ungewollte erneute Auslösen des Schalters während des Drückens: Statt des einmaligen Auslösens eines Ereignisses in der Software beim Betätigen des mechanischen Schalters wird das Ereignis mehrfach gestartet, als ob ein sogenanntes elastisches Zurückprallen vorläge. Programmiertechnisch kann die Abfrage des Zustands eines Druckschalters dadurch entprellt werden, dass der Schalterzustand gespeichert wird und das wiederholende Auslösen so erkannt wird. Dies verhindert das erneute Absenden eines dadurch getriggerten Ereignisses. Einfache Entprellungsroutinen basieren auf einer kurzen Zeitverzögerung vor der erneuten Zustandsabfrage des Druckschalters. Auch die oben erläuterte Tropfenerkennung macht sich das Entprellen zu Nutze und speichert den vorher gemessenen Wert, um nicht erneut denselben Tropfen zu detektieren.

```
28     lcd.setCursor(10, 1);
29     else if(counter > 9999)
30         lcd.setCursor(11, 1);
31     else if(counter > 999)
32         lcd.setCursor(12, 1);
33     else if(counter > 99)
34         lcd.setCursor(13, 1);
35     else if(counter > 9)
36         lcd.setCursor(14, 1);
37     else
38         lcd.setCursor(15, 1);
39     lcd.print(counter);
40     delay(10);
41 }
```

2.2.1.3 Software (PC)

Der folgende Quellcode lässt sich zu einer auf Windows- und Linux-Betriebssystemen lauffähigen Software übersetzen, welche vom ersten seriellen Anschluss¹⁵ des Rechners Daten entgegen nimmt und diese in einem dynamischen Koordinatensystem darstellt. Abbildung 2.12 zeigt die grafische Auftragung der Messwerte der Lichtschranke: die x-Achse entspricht der Zeitachse, die dynamisch weiter wandert, auf der y-Achse wird der Messwert aufgetragen. Übersteigt dieser ein vorgegebenes Limit (`limit`, Zeile 5), wird der Raum unterhalb des Messpunktes rot eingefärbt, liegt der Messwert unterhalb des Limits bleibt es bei einer grünen Einfärbung. Zugleich wird analog der Software auf dem Mikrocontroller eine Zählung der detektierten Tropfen durchgeführt.

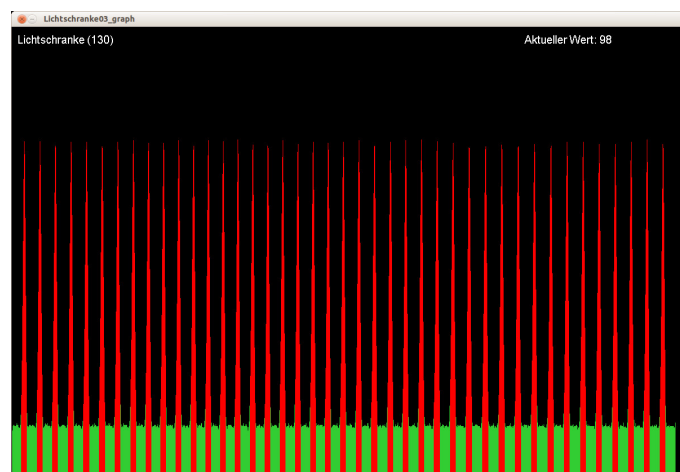


Abbildung 2.12: Screenshot der grafischen Darstellung der Lichtschrankenmesswerte am PC

¹⁵Ein über USB angeschlossener Arduino Mikrocontroller wird von gängigen Betriebssystemen als per USB angebundene serielle Schnittstelle erkannt.

Da sich der hier gezeigte Quellcode erweitern lässt, sind unzählige Anwendungsmöglichkeiten denkbar: neben der reinen Visualisierung der die Lichtschranke passierenden Tropfen ist beispielsweise eine Volumenberechnung der Tropfen¹⁶, eine Fraktionierung eines vorher festgelegten Ensembles von Tropfen oder die individuelle, gepulste Behandlung eines jeden Tropfens in Echtzeit umsetzbar.

Durch die Nutzung der selben Programmiersprache ist der Quellcode der PC-Software dem der Arduino-Software sehr ähnlich: nach der Initialisierung der Startparameter und der seriellen Schnittstelle erfolgt analog der Arduino-Software die Tropfenerkennung und -zählung. Statt der Ausgabe auf einem angeschlossenen Display wird zur grafischen Ausgabe der Daten am Computer ein Bild gemalt, welches neben einem Hintergrundrechteck aus den vertikalen Linien eines jeden Messwerts, eingefärbt in Abhängigkeit vom vorher eingestellten Unterscheidungslimit, besteht. Darüber wird in der rechten oberen Ecke des Bildes noch der aktuelle Messwert eingebettet, alternativ kann hier auch die bisherige Anzahl an detektierten Tropfen ausgegeben werden.

Listing 2.6: Quellcodeausschnitt: PC-Software - Grafische Messwertauswertung label

```

1  import processing.serial.*;
2  Serial myPort;
3  int xPos = 1;
4  PFont f;
5  int limit = 130;           // Define limit for drop or not
6  float lastByte = 0;
7  int counter = 0;
8
9  void setup () {
10     size(1200, 800);       // Set the window size
11     println(Serial.list());
12     // Open whatever port is the one you're using.
13     // (Windows: [1], Linux: [0])
14     myPort = new Serial(this, Serial.list()[0], 9600);
15     myPort.bufferUntil('\n');
16     background(0);
17 }
18
19 void draw () { }
20
21 void serialEvent (Serial myPort) {
22     String inString = myPort.readStringUntil('\n');
23     if (inString != null) {
24         inString = trim(inString);
25         float inByte = float(inString);

```

¹⁶Das Tropfenvolumen (Ellipsoid) ist für jeden Tropfen individuell anhand der Flussrate, dem Kapillardurchmesser und der Abtastrate der Lichtschranke mittels einfacher mathematischer Formeln berechenbar.

```
26     inByte = (inByte/1.5);
27     inByte = map(inByte, 0, 1023, 0, height);
28     f = loadFont ("ArialMT-20.vlw");
29     textFont(f,20);
30     noStroke();
31     fill(0);
32     rect(width-300,0,300,80);
33     stroke(0);
34     fill(255);
35     text("Lichtschranke "+limit+",10,30);
36     if (counter > 10) {
37         stroke(127,50,255);
38         fill(127);
39     }
40     text("Anzahl der Ereignisse: "+counter, width-290,30);
41     stroke(0);
42     fill(255);
43     if (inByte > limit) {
44         stroke(255,0,0);
45         line(xPos, height, xPos, height - inByte);
46         if (lastByte < limit) {
47             counter++;
48         }
49     }
50     else {
51         stroke(50,205,50);
52         line(xPos, height, xPos, height - inByte);
53     }
54     lastByte = inByte;
55     if (xPos >= width) {
56         xPos = 0;
57         background(0);
58     }
59     else {
60         xPos++;
61     }
62 }
63 }
```

2.2.1.4 Doppелеmulsionsdetektion

Neben der bisher vorgestellten Tropfendetektion mittels einer einzelnen Lichtschranke, wurde im Rahmen dieser Arbeit auch die Detektion komplexer Tropfensysteme unter Verwendung von mehreren Lichtschranken durchgeführt. Hierzu entspricht sowohl der Grundaufbau, als auch Teile der Software der zuvor erläuterten Umsetzung. Es wurde eine zu Abbildung 2.11 (a) vergleichbare Halterung mit der Aufnahmemöglichkeit für bis zu 3 Lichtschranken in unterschiedlicher Ausrichtung angefertigt, wie Abbildung 2.13 zeigt.

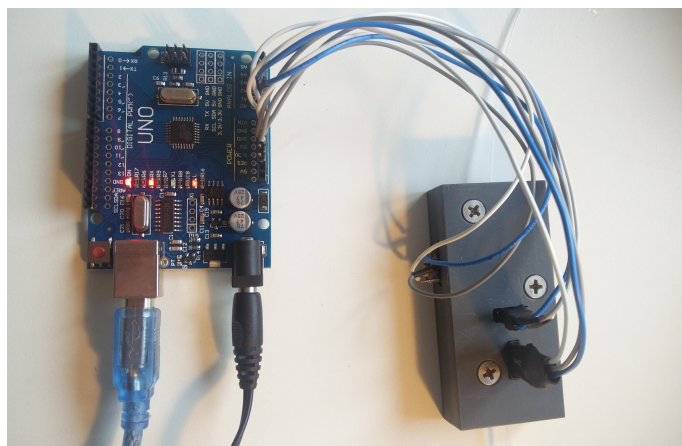


Abbildung 2.13: Messzelle mit 3 unterschiedlich angeordneten Lichtschranken (seitlich, längs und quer zur Kapillare) und dem Arduino Mikrocontroller

Die Anordnung der Lichtschranken ist bei der hier gezeigten Messzelle bewusst so gewählt, dass alle Lichtschranken einen anderen Blick auf die Kapillare haben. Dies diente der Untersuchung, ob ein anderer Messwinkel¹⁷ das Messergebnis nachvollziehbar beeinflusst. Wie erwartet liefert nur die um 90° gedrehte Anordnung der Lichtschranke (quer der Kapillare) zu den anderen beiden Lichtschranken unterschiedliche Messwerte. Die Messwerte dieser gedrehten Lichtschranke liefern zwar auch sichtbare Peaks, jedoch ist deren Intensität weitaus geringer, als die der längs angeordneten Lichtschranken (Vergleich auch in Abbildung 2.15 (b), die gelbe Linie der Messwerte der quer angeordneten Lichtschranke). Dies lässt sich auf die zusätzliche Streuung des Lichts durch die gekrümmte Kapillaroberfläche bei der um 90° gedrehten Lichtschranke zurückführen (Abbildung 2.14), was in einer stark verringerten messbaren Lichtintensität resultiert.

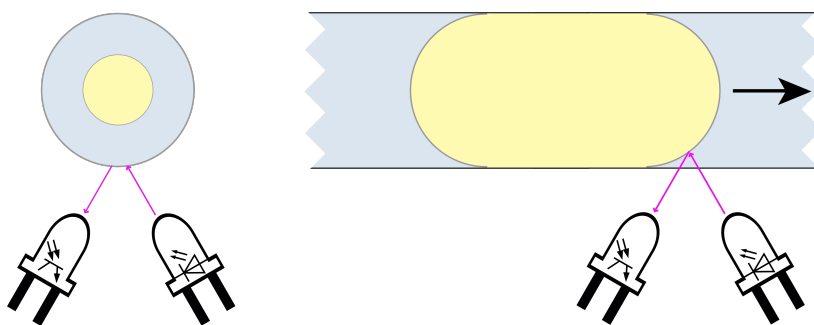
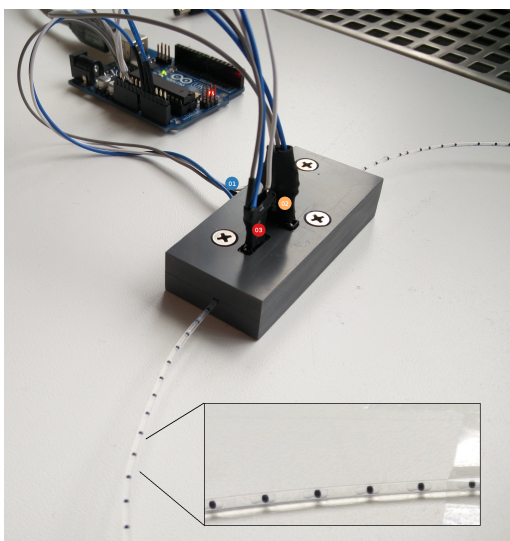


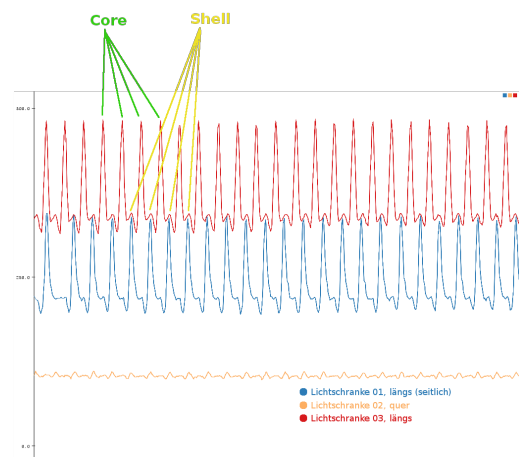
Abbildung 2.14: Unterschied der Messanordnung der Lichtschranken: quer oder längs zur Kapillare

¹⁷Wie in Abbildung 2.13 sichtbar, ist eine Lichtschranke seitlich längs der Kapillare, zwei Lichtschranken mit Aufsicht auf die Kapillare angeordnet, wovon eine längs der Kapillare und eine quer der Kapillare eingebaut ist.

Trotzdem liefern alle 3 Lichtschranken bei korrekter Fokussierung die gewünschten Ergebnisse: Ein Messaufbau zur Ermittlung der Verhältnisse zwischen dem Kerntropfen (Core) und dem ihn umgebenden Tropfen (Shell) in Doppelemulsionen ist in Abbildung 2.15 (a) gezeigt. Die Messergebnisse (Abbildung 2.15 (b)) zeigen eindeutig die Erkennung der Doppelemulsionen durch die Lichtschranken. Die Abbildung zeigt auch, dass die erkannten Tropfen nicht zwingend unterschiedliche Farbe oder Transparenz aufweisen müssen - selbst zwei farblose Flüssigkeiten, wie der in diesem Versuch verwendete Toluoltropfen in FC-40[®] als kontinuierlicher Phase ist, wenn auch mit weitaus geringerer Intensität als der mit Tinte blau angefärbte Kerntropfen, deutlich in der Auftragung der Messwerte über die Zeit sichtbar.



(a) Versuchsaufbau mit drei Lichtschranken



(b) Messwerte der drei Lichtschranken

Abbildung 2.15: Messung von Core-Shell-Doppelemulsionen, Kerntropfen besteht aus mit Tinte angefärbtem Wasser, der Hüllentropfen aus Toluol und die kontinuierliche Phase aus FC-40[®], Verschiebung der Messwerte bedingt durch die unterschiedliche absolute Position der Lichtschranken an der Kapillare

Die Nutzung von Reflexionslichtschranken in Kombination mit Mikrocontrollern ermöglicht die intelligente und nicht-invasive Detektion von Tropfen in Kapillaren. Findet mehr als eine Lichtschranke Verwendung, lässt sich durch geschickte Fokussierung dieser nicht nur der einzelne Tropfen erkennen, sondern auch Systeme mit mehreren ineinander verschachtelten Tropfen einzeln aufgelöst betrachten. Somit ist jeder Tropfen (Shell) mit seinem Kerntropfen (Core) individuell und zerstörungsfrei vermessbar.

2.2.2 Transmissionslichtschranken

Auch der Aufbau einer Transmissionslichtschranke ist so intuitiv, wie der der Reflexionslichtschranken: wie Abbildung 2.8 (b), Seite 21, zeigt, ist die Kapillare oder der betrachtete Volumenkörper zwischen der LED und dem Phototransistor¹⁸, dessen elektrischer Widerstand von der Intensität des in der Kapillare am Tropfen reflektierten Lichts abhängt, positioniert. Analog der Reflexionslichtschranke wird der an dem Phototransistor anliegende Spannungswert durch einen Mikrocontroller gemessen und interpretiert.

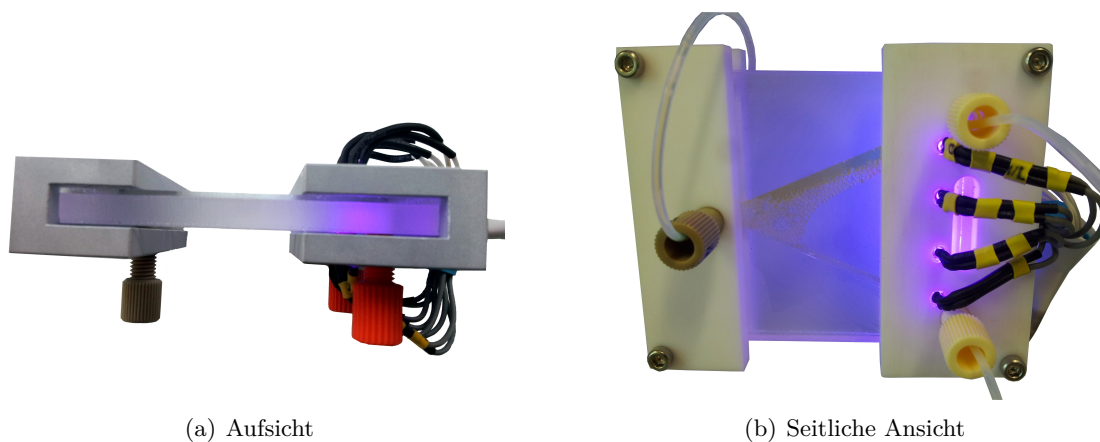


Abbildung 2.16: Beispiel für die Nutzung von Transmissionslichtschranken: die Phasengrenzflächenerkennung in der Phasentrennkammer des autonomen Phasentrenners, Details dazu siehe Kapitel 3.2

Durch den größeren Lichteinfallwinkel stellt die Krümmung der Kapillaroberfläche, vergleichbar der quer verbauten Reflexionslichtschranke, (siehe Abbildung 2.14, vorheriger Abschnitt) ein großes Problem bei der Detektion von Tropfen in Kapillaren dar. Die Brechung und Streuung des Lichts im Kapillarmantel sorgt für eine Erhöhung der gemessenen Grundintensität, sodass die Auflösung der Detektion bei Transmissionslichtschranken in dünnen Kapillaren stark begrenzt bis nahezu unbrauchbar ist.

Ihre Stärken spielt die Verwendung von Transmissionslichtschranken bei flachen Glaskörpern aus, in denen beispielsweise die Veränderung der Phasengrenzfläche detektiert werden soll. So fanden Transmissionslichtschranken bei der Entwicklung des autonomen Phasentrenners, Kapitel 3.2, Seite 65 ff, Verwendung. Auch hier wird die Intensitätsveränderung durch einen Arduino-Mikrocontroller gemessen und dient der Bestimmung der Lage und Veränderung der Phasengrenze innerhalb der Trennkammer des Phasentrenners.

¹⁸An Stelle eines Phototransistors kann auch hier ein einfacher Photowiderstand verwendet werden.

Kapitel 3

Aktoren

Unter Aktoren versteht man das signalwandlerbezogene Gegenstück zu den Sensoren: ein Aktor wandelt ein elektrisches Signal in eine physikalische Größe, beispielsweise die Bewegung eines Motors, die Veränderung von Druck, Temperatur oder des elektrischen Potentials. Der in der Mikrofluidik wahrscheinlich bedeutendste Aktor ist die Pumpe, die mit definierter Flussrate eine Reaktion mit Edukt(en) speist. Darüber hinaus zählen auch Heizbäder, Kryostaten, Ventile, Potentiostaten und Galvanostaten zu den häufig eingesetzten Aktoren innerhalb der Mikrofluidik. Im Gegensatz zu den Heizbädern und Kryostaten handelt es sich bei Potentiostaten und Galvanostaten um inkludierte Aktoren, deren Elektroden direkt mit dem Reaktionsgemisch in Kontakt stehen müssen. Ventile gelten zwar auch als inkludierte Aktoren, sorgen aber im Reaktionsverlauf nur für die Dosierung und Reaktionswegeleitung und sind nicht Teil der eigentlichen Reaktion.

Dieses Kapitel beleuchtet die Entwicklung eines Potentiostaten, eines Fraktionssammlers und die Weiterentwicklung des bereits in [40] vorgestellten autonomen Phasentrenners. Alle drei Gerätschaften basieren auf dem Arduino Mikrocontroller und können bzw. müssen zur Steuerung und Überwachung über die USB-Schnittstelle mit einem Computer verbunden werden.

3.1 Potentiostat

Die präparative Elektrochemie hat in den vergangenen Jahren eine Renaissance erlebt und an vielen Stellen Einzug in das Standardrepertoire beim Reaktionsdesign in der organischen Chemie erhalten. Neben der klassischen Elektrochemie in einer einfachen oder geteilten elektrochemischen Zelle, teilweise auch in einem Rundkolben versehen mit Elektroden, spielt auch im kontinuierlichen Fluss die Elektrochemie eine immer größere Rolle.

Die Umsetzung von elektrochemischen Reaktionen in mikrofluidischen Systemen bietet durch die auf Grund der Miniaturisierung kleinen Elektrodenabstände die Möglichkeit

sehr hoher Stromdichten und geringer kapazitiver Effekte zwischen den Elektroden. Um die an den Elektroden die gewünschte Spannung einzustellen, wird ein elektronischer Regelverstärker, ein sogenannter Potentiostat, benötigt. Dieser stellt den Strom zwischen der zu regulierenden Arbeitselektrode und der Gegenelektrode so ein, dass das gewünschte Potential erreicht wird. Dies wird über die Referenzelektrode, deren Potential aus der elektrochemischen Spannungsreihe bekannt ist, als Referenzpunkt ermöglicht. Dazu ist es notwendig, dass durch die Referenzelektrode selbst kein Strom fließt.

In diesem Teil des Kapitels wird die Herstellung einer einfachen und doppelten elektrochemischen Durchflusszelle, Versuche zu verschiedenen chemischen Reaktionen mit eben diesen Durchflusszellen (kontinuierlich und tropfenbasiert) und die Entwicklung eines auf dem Arduino Mikrocontroller basierenden Potentiostaten beschrieben.

3.1.1 Entwicklung einer elektrochemischen Durchflusszelle

Neben der in einem späteren Abschnitt dieses Kapitels beschriebenen Entwicklung eines einfachen, auf dem Arduino Mikrocontroller basierenden Potentiostaten, bedurfte es auch dem Bau einer elektrochemischen Durchflusszelle, der Schnittstelle des Mikroreaktionssystems mit dem Potentiostaten.

Bei der Auswahl der Bauart dieser Durchflusszelle standen zwei grundverschiedene Varianten zur Auswahl. Eine Möglichkeit stellt der kontinuierliche Fluss der Reaktionslösung zwischen zwei vergleichbar einem Plattenkondensator angeordneten Elektroden rechts und links an der Kanalwand dar. Dieser Typ Durchflusszelle mit langen, in Flussrichtung angeordneten Elektroden, hat nicht nur den Nachteil eines über die Länge abfallenden und damit nicht konstanten Elektrodenpotentials, sondern ist in dieser Form darüber hinaus nur bedingt für Reaktionen in tropfenbasierten Systemen geeignet, da der gleichzeitige Kontakt zweier Tropfen zwischen den Elektroden zu keiner reproduzierbaren und einzeln mess- und auswertbaren Reaktion innerhalb der Tropfen führt. Bereits dadurch, dass der in Flussrichtung erste Tropfen die Elektroden früher erreicht hat, sorgt für eine -wenn auch geringfügig- andere Konzentration der Edukte innerhalb des ersten Tropfens im Vergleich zum zweiten Tropfen, da schon Produkt gebildet wurde. Alleine durch diese Verschiedenartigkeit der Tropfen und das auf die Elektrodenlänge abfallende Elektrodenpotential lässt sich keine verlässliche Aussage mehr über die Verteilung des Stromflusses zwischen erstem und zweitem Tropfen bei gleichzeitiger Elektrodenberührung machen.

Die alternative Möglichkeit ist die Nutzung von Mikroelektroden¹, welche entweder ver-

¹In diesem Kapitel wird die aus der Biotechnologie bekannte Bezeichnung *Mikroelektrode* genutzt, obwohl es sich dort um Elektroden mit Durchmessern von bis zu 0,1 μm , also korrekterweise Nanoelektroden, zur Messung elektrischer Potentialdifferenzen in lebenden Zellen handelt. Die hier verwendeten Platin-Drähte haben einen Durchmesser von 300 μm und tragen somit den Namen der Mikroelektrode zurecht.

gleichbar den länglichen Elektroden rechts und links des Kanals angeordnet sind oder, wie im Folgenden beschrieben, quer zur Flussrichtung im Kanal stehen.

Den Vorteilen bei der Verwendung von Mikroelektroden, wie die Nachweisbarkeit sehr kleiner Konzentrationen bei potentiostatischen Messungen, die vernachlässigbar kleinen kapazitiven Effekte und die Realisierbarkeit sehr hoher Stromdichten, steht der Nachteil des sehr kleinen Gesamtstromes gegenüber[41]. Die Ausbeute in elektrochemischen Reaktionen, deren Umsatz gesamtstromabhängig ist, fällt dementsprechend gering aus. Abhilfe schafft hier die Reihenschaltung mehrerer solcher Durchflusszellen, die, bei Einhaltung des mindestens Doppelten des Abstandes, den die Elektroden einer Zelle zueinander haben, auch keine Einflüsse unter den Durchflusszellen ausüben. So kann die Reihenschaltung von mehreren Durchflusszellen neben den tropfenbasierten Reaktionen auch im kontinuierlichen Fluss ohne Einschränkung Anwendung finden. Ein Beispiel für den Bau einer doppelten Durchflusszelle ist Teil der folgenden Beschreibungen.

3.1.1.1 Aufbau

Der Grundaufbau einer elektrochemischen Durchflusszelle setzt sich aus einem Flusskanal, welcher aus einer herkömmlichen Kapillare bestehen kann, und drei Elektroden, im einfachsten Falle drei dünne Platindrähte zusammen. Die drei Drähte müssen einen kleineren Durchmesser als den Innendurchmesser der Kapillare aufweisen, um ein Umfließen der Elektroden zu ermöglichen. Darüber hinausgehend ist der korrekte Abstand der Elektroden zueinander wichtig, um gerade bei tropfenbasierten Reaktionen die Position des Tropfens unter Berührung aller Elektroden sicherzustellen,

da andernfalls kein Strom fließt und somit keine Reaktion stattfindet. Die in die Kapillare eingebrachten Platinelektroden müssen an der Eintritts- und Austrittsstelle dicht mit der Kapillarwand abschließen bzw. muss durch Verkleben das Auslaufen von Reaktionslösung verhindert werden.

Der in Abbildung 3.1 gezeigte erste Prototyp einer doppelten Durchflusszelle wurde noch unter der Verwendung von Silberdraht als jeweils dritter (mittlerer) Elektrode zur späteren Herstellung einer Silberchloridoberfläche und Nutzung als Ag/AgCl-Referenzelektrode

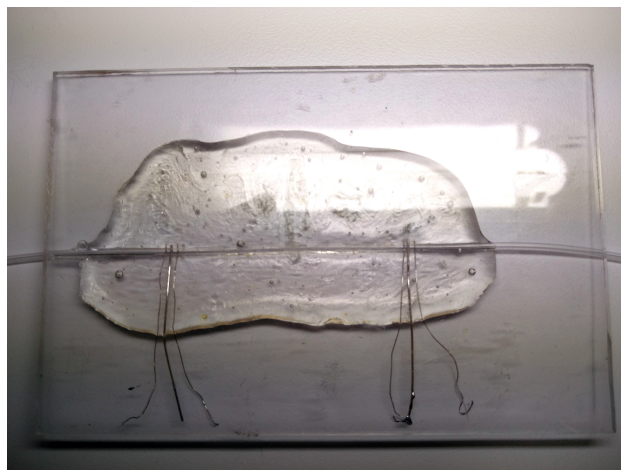


Abbildung 3.1: Prototyp einer doppelten Durchflusszelle: Kapillare 1/16" OD, 800 μm ID; Elektrode 1, 3, 4, 6: 300 μm Platindraht, Elektrode 2 und 5: 500 μm Silberdraht; in Epoxydharz auf PMMA eingegossen

gebaut. Die Herstellung einer Ag/AgCl-Elektrode aus einem einfachen Silberdraht direkt in der Zelle stellte sich jedoch als nicht umsetzbar dar. In weiteren darauf folgend hergestellten Durchflusszellen wurde daher entweder die Möglichkeit geschaffen, die Referenzelektrode durch einen Schraubverschluss wechselbar zu gestalten oder ganz auf die Verwendung eines Standardpotentials an der Referenzelektrode verzichtet, indem wie an Anode und Kathode ein Platindraht eingebaut wurde. Zusätzlich wurde auch von der Möglichkeit Gebrauch gemacht, die Anode oder Kathode als Referenzelektrode einzusetzen (2-Elektrodensystem), was einen Potential von 0 V gegenüber der Arbeitselektrode entspricht.



Abbildung 3.2: 3D-Konstruktion einer einfachen Durchflusszelle mit schraubbarer Referenzelektrode und schraubbarer Abdichtung von Anode und Kathode, siehe Text

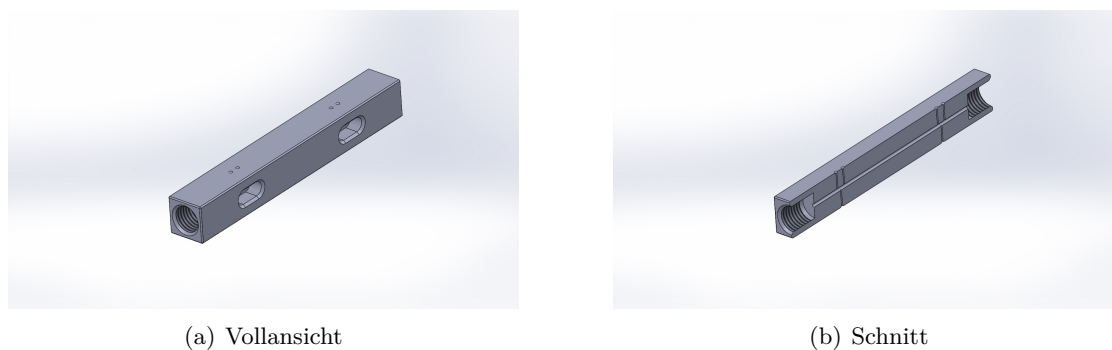
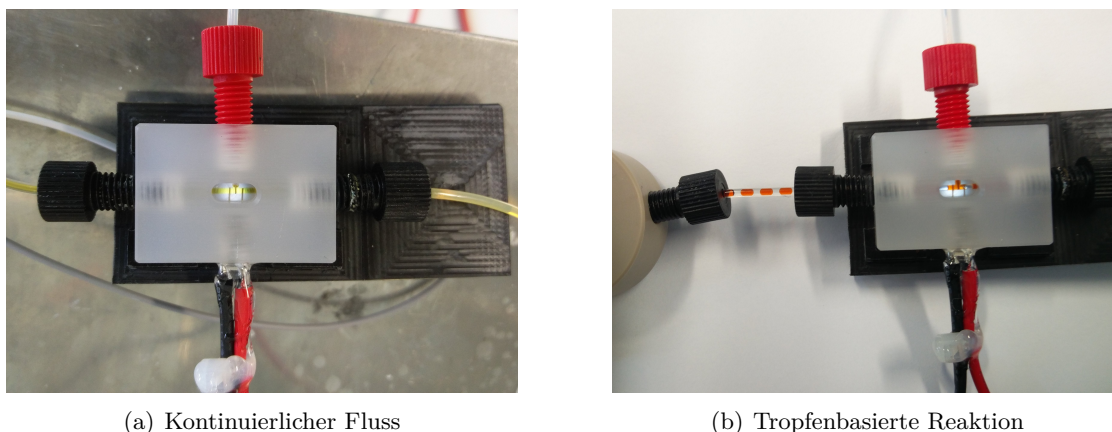


Abbildung 3.3: 3D-Konstruktion einer doppelten Durchflusszelle für je drei Platinelektroden, siehe Text

Die Durchflusszellen wurden aus PCTFE² mit einem Kanalinnendurchmesser von 800 μm und einem Elektrodenabstand von 850 μm (Abstand Anode zu Kathode somit 2 mm) gefertigt. Die Bohrungen zur Aufnahme der Elektroden haben einen Bohrdurchmesser von 300 μm . Der Mittenabstand zwischen den beiden Zellen der doppelten Durchflusszelle be-

²Polychlortrifluorethylen (PCTFE) ist ein chemisch sehr beständiger Kunststoff, der unter den Fluorkunststoffen die höchste Härte und Festigkeit aufweist und gerade im Miniaturbereich gut fräs- und bohrbar ist. Der Handelsname lautet Kel-F[®], Datenblatt siehe Anhang B.

trägt 4 cm, um eine leichtere Handhabbarkeit im Laboralltag zu gewährleisten. Hier sind auch deutlich kleinere Abstände (mind. 4 mm) der Zellen zueinander möglich. Die Durchflusszellen sind an beiden Enden mit Gewindeanschlüssen für handelsübliche Fittinge 1/16" (Gewinde 1/4" -28) ausgestattet, um diese leicht in mikrofluidische Systeme zu integrieren. Beim Einsatz in tropfenbasierten Systemen muss auf einen gratfreien Übergang zwischen Fitting und Durchflusszelle geachtet werden, um eine Beeinflussung der Tropfen bzw. der kontinuierlichen Phase zu vermeiden. Wenn ein in Kapitel 2.2.1.1 beschriebener Tropfenzähler der Durchflusszelle vorgeschaltet ist, so muss auf das exakte Ausmessen der Distanz zwischen Tropfenzähler und Tropfenmitteposition in der Durchflusszelle geachtet werden, um eine gepulste elektrochemische Messung oder Reaktion durchführen zu können.



(a) Kontinuierlicher Fluss

(b) Tropfenbasierte Reaktion

Abbildung 3.4: Einfache Durchflusszelle mit Platinelektroden und Hintergrundbeleuchtung bei der potentiostatischen Messung der Reduktion von Ferrocen (unterschiedliche Farben auf Grund unterschiedlicher Ferrocen-Konzentrationen)

Nach der Ausformung des PCTFE-Körpers in einem gekühlten Fräs- und Bohrprozess³ und dem anschließenden Entgraten werden die knickfreien Platindrähte in die Bohrlöcher eingeführt und kurz vor dem Erreichen der Endposition mit einem kleinen Tropfen Epoxydharz⁴ versehen, um eine Abdichtung der Drahteinführung zu gewährleisten. An die drei Enden der Platindrähte wurde nach Aushärtung des Epoxydharzes vorsichtig jeweils ein Kabel zum Anschluss der Elektrode an einen Potentiostaten angelötet. Die in Abbildung 3.4 gezeigte Durchflusszelle verfügt über eine schraubbare Zuführung der mittleren Elektrode, um den Einbau einer separaten Mikroreferenzelektrode⁵ zu ermöglichen. Al-

³Es ist wichtig, dass das PCTFE-Material nur bei ausreichender Kühlung mit geringen Fräs- und Bohrgeschwindigkeiten hergestellt wird, da eine lokale Überhitzung des Materials zu Haarrissen führt und die Druckstabilität der Durchflusszelle beeinträchtigt.

⁴Es wurde das Epoxydharz *EPOT5.S25* der Firma *Gluetec*, Handelsname *WIKO 2-K-Epoxy Kleber 5 min*, in der Zusammensetzung von 92% Bisphenol-A-Epichlorhydrinharz ($M_W > 700$) und 8% Bisphenol F-Epoxydharz verwendet, Datenblatt siehe Anhang B.

⁵Beispielsweise eine Silber/Silberchlorid-Mikroreferenzelektrode mit $\varnothing = 2$ mm von *Sensolytics*

ternativ kann auch ein durch eine 300 μm -Bohrung in einem Blind-Fitting eingeführter Platindraht als Referenzelektrode dienen.

3.1.1.2 Experimente

Die im vorherigen Abschnitt beschriebenen Durchflusszellen wurden mit Hilfe eines einfachen Versuchs auf Funktion geprüft: die elektrochemische Oxidation von Ferrocen zum Ferriciniumkation ($E_{NHE}^0 = 0,4\text{ V}$). Hierzu wurden mit dem in Kapitel 1.2 auf Seite 4 vorgestellten und in Abbildung 3.5 gezeigten Segmentgenerator kontinuierlich Ferrocen-tropfen ($80\ \mu\text{L min}^{-1}$), bestehend aus in Dichlorethan gelöstem Ferrocen unterschiedlicher Konzentration versetzt mit dem Leitsalz Tetrabutylammoniumhydrogensulfat ($1\ \text{mol L}^{-1}$), in einer kontinuierlichen, nicht-leitenden Phase aus FC-40[®] ($30\ \mu\text{L min}^{-1}$) erzeugt. Diese wurden in der unmittelbar verbundenen Durchflusszelle potentiostatisch gemessen.

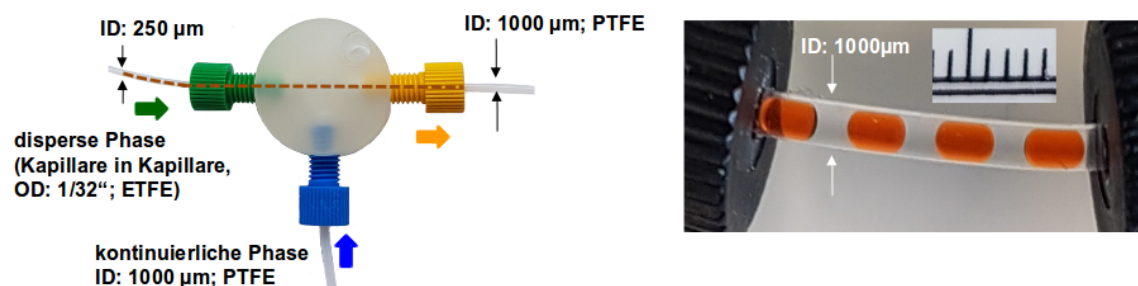


Abbildung 3.5: Kapillare-in-Kapillare Segmentgenerator (siehe Kapitel 1.2, Seite 4) zur Herstellung von Ferrocen-Tropfen in einer kontinuierlichen FC-40[®]-Phase

In einem ersten Messaufbau wurde ein Potential von +500 mV (gegen Platin) an der Arbeitselektrode (Abk. *WE* für working electrode) angelegt und jeweils Versuchsreihen für die Ferrocenkonzentrationen von $10\ \mu\text{mol L}^{-1}$, $100\ \mu\text{mol L}^{-1}$, $1,0\ \text{mmol L}^{-1}$ und $10\ \text{mmol L}^{-1}$ gemessen. Dies entspricht bei einem ungefähren Tropfenvolumen von $2,3\ \mu\text{L}$ absoluten Ferrocenmengen zwischen $4,3\ \text{ng}$ ($10\ \mu\text{mol L}^{-1}$) und $4,3\ \mu\text{g}$ ($10\ \text{mmol L}^{-1}$). Wie in der Auftragung in Abbildung 3.8 zu sehen, sind selbst die geringsten hier verwendeten Ferrocenkonzentrationen deutlich messbar.

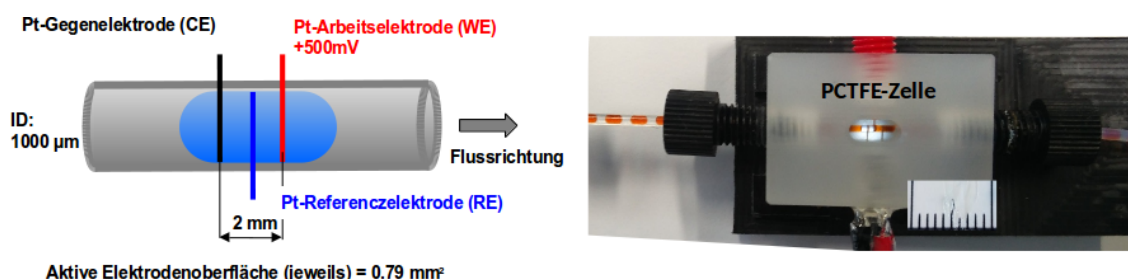


Abbildung 3.6: Aufbau der Durchflusszelle mit Elektrodenanordnung

Am Beispiel der potentiostatischen Messung einer Ferrocenkonzentration von $1,0 \text{ mmol L}^{-1}$ (Ferrocen tropfen ($80 \text{ } \mu\text{L min}^{-1}$), bestehend aus in Dichlorethan gelöstem Ferrocen versetzt mit dem Leitsalz Tetrabutylammoniumhydrogensulfat (1 mol L^{-1}), in einer kontinuierlichen, nicht-leitenden Phase aus FC-40[®] ($30 \text{ } \mu\text{L min}^{-1}$)) und der daraus resultierenden Auftragung der Stromstärke gegen die Zeit (Abbildung 3.7) lässt sich der charakteristische Stromstärkeverlauf drei Ereignissen zuordnen: Die kurze Stromstärkerhöhung bei der ersten elektrischen Verbindung der beiden Elektroden durch den leitfähigen Tropfen, verursacht durch eben diesen Einschaltstrom, verbunden mit der umgehend beginnenden Elektrodenbelegung. Dieser Stromstärkeverlauf ist bei höheren Konzentrationen (Vergleich Abbildung 3.8) nicht erkennbar, da es bei höheren Konzentrationen zu erhöhten Elektrodenbelegungen kommt und diese den Peak des Einschaltstromes stark dämpfen.

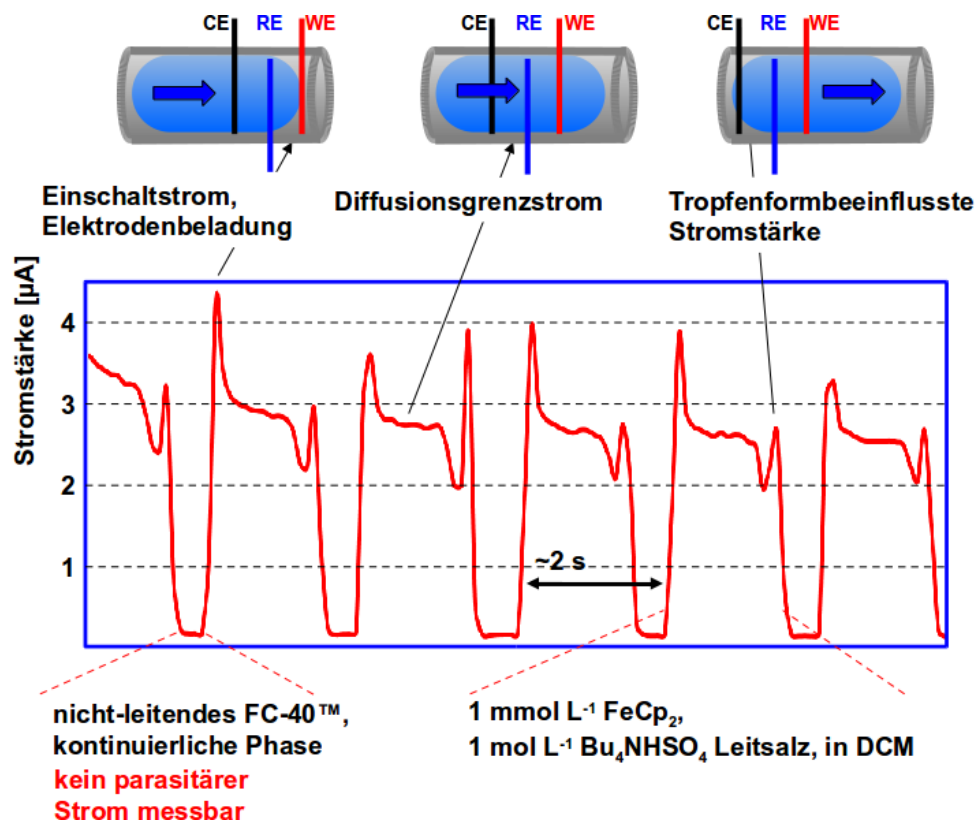


Abbildung 3.7: Zeitlicher Stromstärkeverlauf der tropfenbasierten Umsetzung von Ferrocen (1 mmol L^{-1}) zum Ferriciniumkation mit einem Potential von $+500 \text{ mV}$

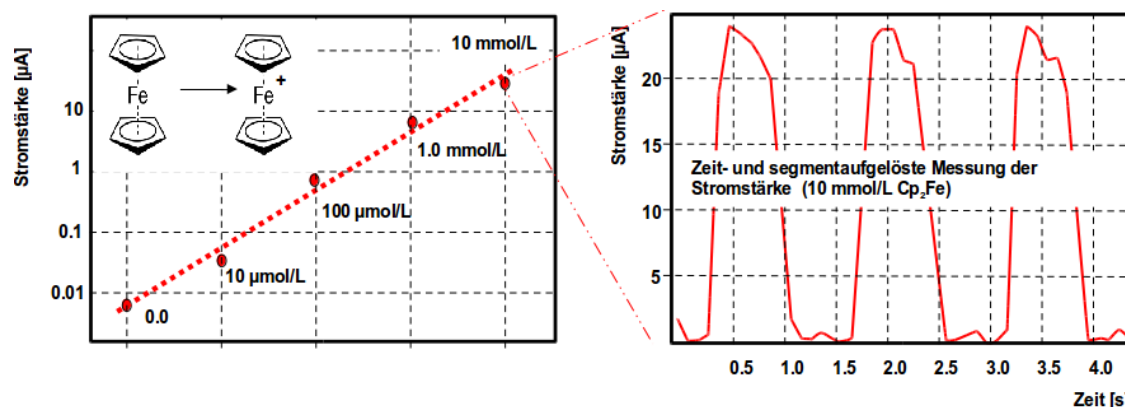
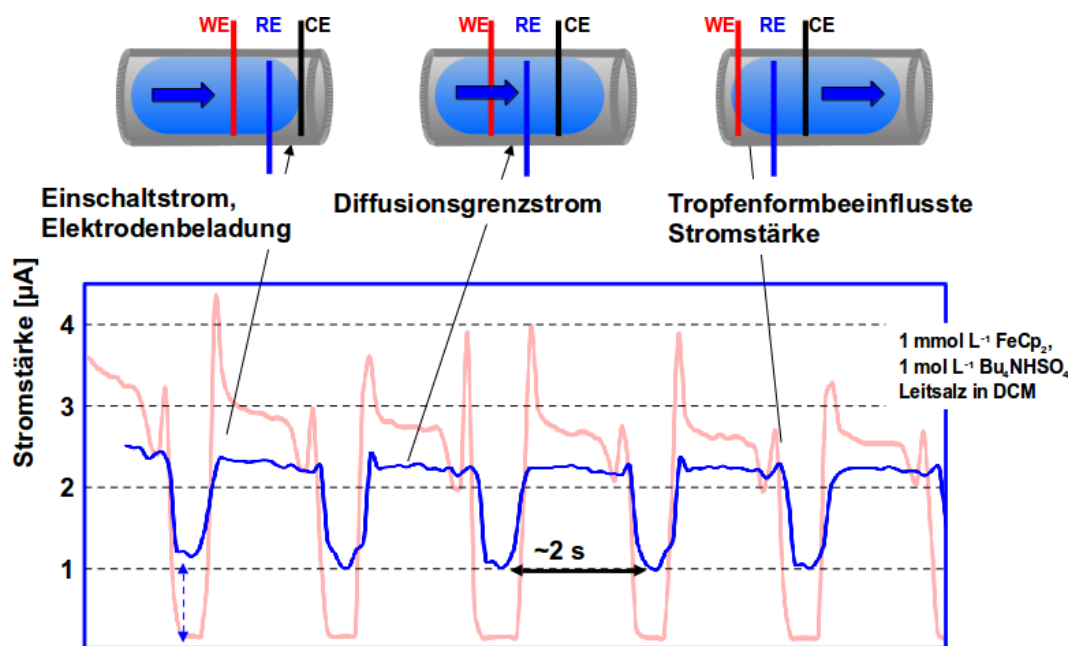


Abbildung 3.8: Auftragung der gemessenen Stromstärke bei der Umsetzung von Ferrocen in DCE für unterschiedliche Konzentrationen bei einem Potential von +500 mV

Auf den kurzen Peak des Einschaltstromes folgt dann ein Bereich konstanter Stromstärke, bedingt durch die Umsetzung des Ferrocens mit anschließendem Abfall nach vollständiger Umsetzung der elektrodennahen Ferrocenmoleküle⁶, welcher am Ende des Tropfens, bedingt durch die Tropfenform, erneut einen kurzen Anstieg erfährt. Erwartungsgemäß bricht die Stromstärke zwischen zwei Tropfen ein, da in der kontinuierlichen Phase das nicht-leitende FC-40[®] Verwendung findet. Durch den Zusatz eines fluoridierten Leitsalzes zur kontinuierlichen Phase kann das Auftreten des Einschaltimpulses zu Beginn der Messung eines jeden Tropfens verhindert werden.

In einem nächsten Versuchsschritt wurde der Einfluss der Elektrodenanordnung auf das Messresultat geprüft. Hierzu wurde erneut die kontinuierliche potentiostatische Messung von Tröpfchen mit einer Ferrocenkonzentration von $1,0 \text{ mmol L}^{-1}$ neben der in allen anderen Versuchen verwendeten Reihung der Elektroden *Gegenelektrode - Referenzelektrode - Arbeitselektrode* (Abbildung 3.7) diesmal in umgekehrter Reihung *Arbeitselektrode - Referenzelektrode - Gegenelektrode* (Abbildung 3.9) durchgeführt. Der Peak durch den Einschaltstrom bleibt nahezu vollständig aus, da durch Verunreinigungen der kontinuierlichen Phase in der hier vorgestellten Messung der Stromfluss zwischen zwei Tropfen nicht unterbrochen wurde. Dennoch zeigt sich ein im Vergleich zu Abbildung 3.7 anderer Verlauf, da durch die Kontakttherstellung zwischen Arbeitselektrode und Referenzelektrode bereits ein Stromfluss einsetzt und durch diese im Vorfeld gestartete Elektrodenbelegung der Arbeitselektrode der Stromfluss während der gesamten Messung gehemmt wird.

⁶Aufgrund der sehr kurzen Verweildauer der Tropfen in der elektrochemischen Durchflusszelle ist die Diffusion der Ferrocenmoleküle in dieser Zeit vernachlässigbar. Eine weitere extern induzierte Durchmischung findet nicht statt, sodass nur elektrodennahe Ferrocenmoleküle zum Ferriciniumkation umgesetzt werden.



nicht-leitendes FC-40™, kontinuierliche Phase, aber messbarer parasitärer Strom

Abbildung 3.9: Zeitlicher Stromstärkeverlauf der tropfenbasierten Umsetzung von Ferrocen zum Ferriciniumkation mit einem Potential von +500 mV bei Vertauschung von Gegenelektrode und Arbeitselektrode

Durch die Erweiterung des Versuchsaufbaus um eine weitere Durchflusszelle konnte die bereits aus dem zeitlichen Verlauf der Stromstärke bei der Umsetzung des Ferrocens gemachte Annahme, dass nur ein sehr geringer Umsatz eben von den elektrodennahen Molekülen stattfindet, bestätigt werden: In der zweiten Durchflusszelle wurde versucht, die zuvor hergestellten Ferriciniumkationen wieder zum Ferrocen umzusetzen.

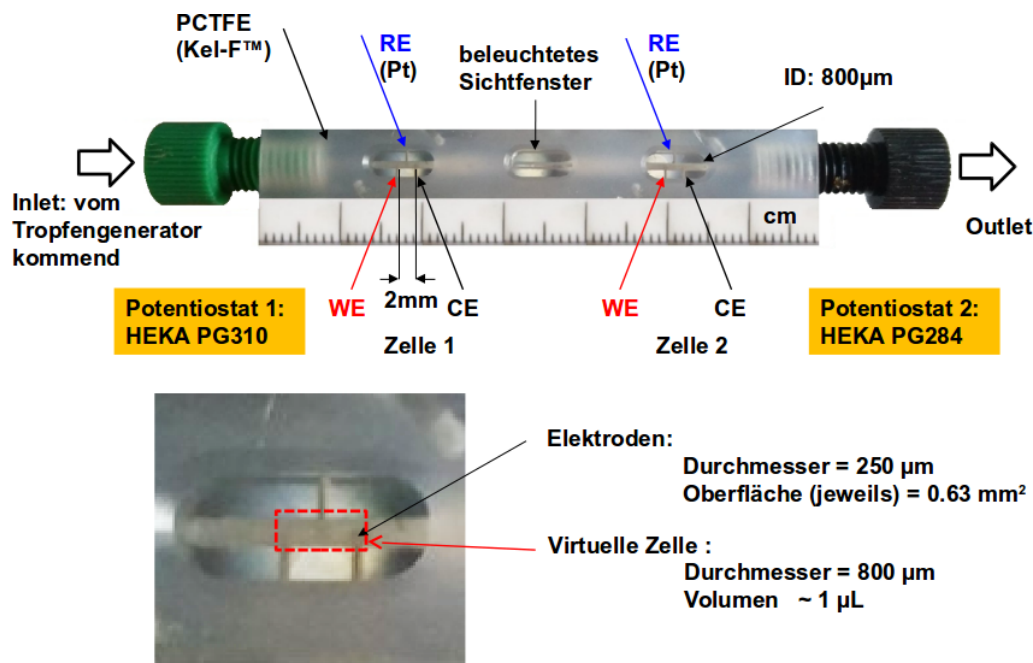


Abbildung 3.10: Aufbau zur potentiostatischen Messung der Hin- und Rückreaktion in einer doppelten Durchflusszelle

Abbildung 3.11 zeigt den zeitlichen Verlauf der Stromstärke im Rahmen der Rückreaktion. Im Gegensatz zu den bisherigen Diagrammen handelt es sich um Stromstärken im Nanoampere-Bereich. Die einzelnen Tropfen sind zwar erkennbar, jedoch ist die Rückreaktion verschwindend gering. Dies lässt sich nicht nur dadurch erklären, dass zuvor eine geringe Umsetzung von Ferrocen zum Ferrociniumkation stattgefunden hat, sondern auch verbunden mit der Distanz zwischen den beiden Durchflusszellen von über 30 mm (dem 15-fachen Elektrodenabstand bzw. der 15-fachen Tropfengröße, siehe Abbildung 3.10), welche Zeit zur Diffusion innerhalb des Tropfens erlaubt. Darüber hinaus sorgen die im Kanal befindlichen Elektroden beider Durchflusszellen für Turbulenzen innerhalb des Tropfens nach Verlassen des Bereichs der Elektroden in der ersten Zelle und beim ersten Kontakt mit den Elektroden der zweiten Zelle. So ist das zuvor erzeugte Ferrociniumkation homogen im gesamten Tropfen verteilt und steht nur zu einem sehr geringen Teil zur Rückreaktion zur Verfügung. Ein Test von zuvor im Batch-Versuch hergestelltem Ferrociniumkation in entsprechend höherer Konzentration liefert das erwartete Ergebnis im Mikroampere-Bereich analog der Hinreaktion.

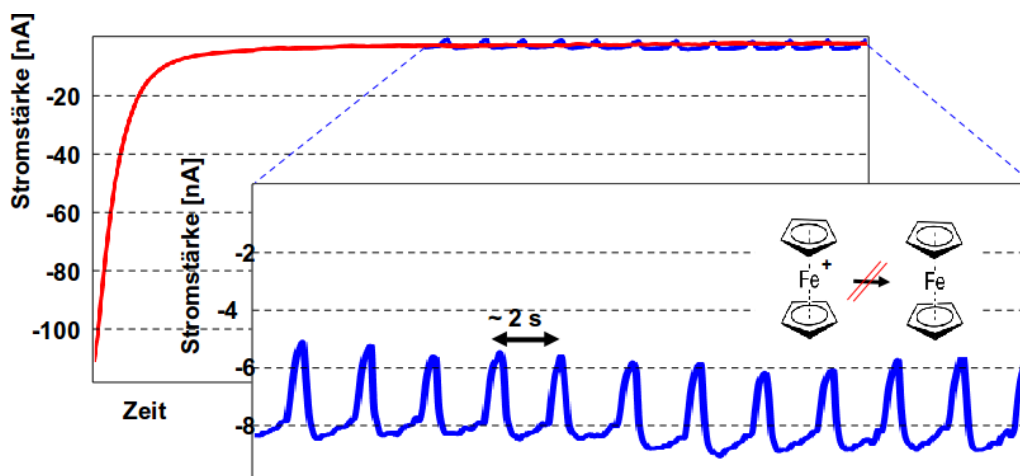


Abbildung 3.11: Messung der entsprechenden Rückreaktion der Umsetzung von Ferrocen zum Ferriciniumkation (siehe Text)

Die einfachen Messreihen zur elektrochemischen Umsetzung von Ferrocen zum Ferriciniumkation zeigen die uneingeschränkte Funktionalität der hier entwickelten kontinuierlichen Durchflusszelle für elektrochemische Mikroreaktionen. Die kurzen Verweilzeiten der einzelnen Tropfen innerhalb der Zelle bei üblichen Flussraten von mehr als $100 \mu\text{L min}^{-1}$ und die geringe Durchmischung innerhalb des Tropfens in der Zelle bedingen einen nur sehr geringen Umsatz. Für elektroinduzierte chemische Reaktionen stellt dies kein Problem dar, auch nicht, wenn es um die reine cyclovoltammetrische Messung der Einzeltropfen geht. Ist das Ziel jedoch der maximale Umsatz zum gewünschten Produkt durch entsprechende Reaktion an den Elektroden, so ist durch die Serialisierung weiterer Zellen eine Steigerung des Umsatzes in jedem Tropfen möglich, was sich durch die preiswerte Herstellung und die standardisierten Anschlüsse der Zellen leicht umsetzen lässt. Da für jede Durchflusszelle ein eigener Anschluss an einem Potentiostat bzw. ein eigener Potentiostat benötigt wird, diese Geräte gerade im Laborbedarf keine preiswerte Massenware sind, musste eine kostengünstige Lösung gefunden werden, welche darüber hinaus noch die zentrale Steuerung vieler solcher Potentiostaten durch einen einzelnen Computer ermöglicht. Auf die Entwicklung dieses sogenannten Ardustat geht das folgende Kapitel ein.

3.1.2 Ardustat

Potentiostaten und Galvanostaten gehören wegen ihrer Messempfindlichkeit und ihrer Einsatzbandbreite zu den teureren Geräten in einem Elektrosyntheselabor. Aufgrund der nur in sehr engen Grenzen nutzbaren und auf veraltete Computertechnik aufsetzenden Software der im Labor zur Verfügung stehenden Potentiostaten Heka PG284 (Software für MS-DOS) und Heka PG310⁷ (Software für MS Windows XP) wurde nach alternativen, kostengünstigen und (quell)offenen Potentiostatsystemen gesucht. Ein besonderes Augenmerk galt dem in den Jahren 2007 bis 2010 von Daniel A. Steingart aus dem Institut für Maschinenbau und Luftfahrttechnik der Universität Princeton entwickelten Ardustat[42, 43], einem auf dem Arduino Uno aufsetzenden, selbstentwickelten Shield, welches innerhalb der Spannungsgrenzen des Arduino Uno potentiostatische und galvanostatische Messungen ermöglicht. Durch die Verwendung der Arduino-Plattform, welche auch in vielen anderen in dieser Arbeit vorgestellten Projekten zum Aufbau des Internet of Lab zum Einsatz kommt, erschließt sich ein weiteres Anwendungsfeld unter Beibehaltung der Hardwarebasis, was die Programmierung vereinheitlicht und durch Weiterverwendung von Hardwarekomponenten Kosten reduziert.

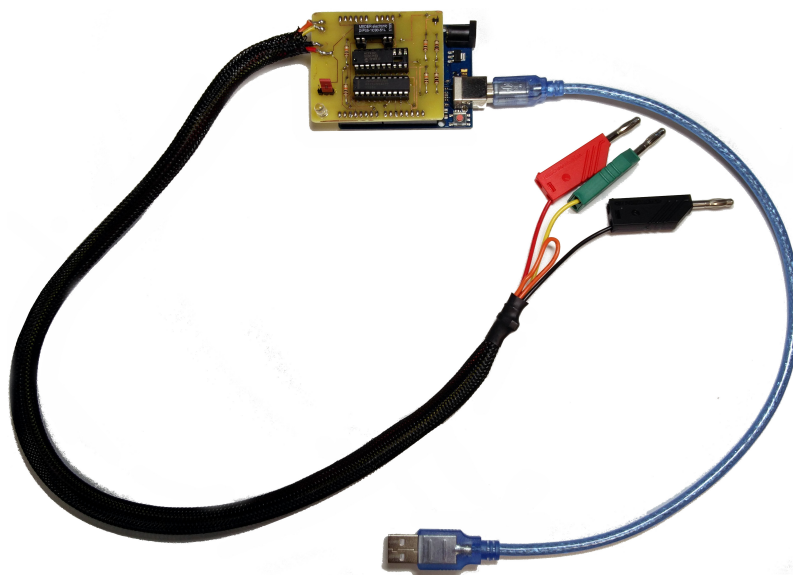


Abbildung 3.12: Gesamtansicht des Ardustat

Im Folgenden wird der Hardwareaufbau des arduino-basierten Potentiostats *Ardustat*, wie von Daniel A. Steingart ursprünglich entwickelt, vorgestellt. Zusätzlich wurde eine neue, eigene Software programmiert, die Fehler und Probleme der ursprünglichen Software, welche eine nicht öffentliche Client-Software für macOS erfordert, behebt und sich einfacher in das Internet of Lab integriert.

⁷Der Heka PG310 wurde freundlicherweise zur Verfügung gestellt vom Fraunhofer-Institut für Mikroelektronik und Mikrosysteme IMM, Mainz.

3.1.2.1 Funktionsweise

Der Ardustat entspricht einem vollwertigen Potentiostaten, welcher mit identischer Hardware auch als Galvanostat betrieben werden kann, der auf den Spannungsbereich des Arduino Uno (0 V bis +4,75 V⁸) beschränkt ist. Abhängig von der Bauteilqualität der aktiven Bauteile, wie dem digitalen Potentiometer und dem Digital-Analog-Konverter, variiert zusätzlich die Messgenauigkeit innerhalb des Spannungsbereichs. Sind diese Einschränkungen akzeptabel, erhält man dafür einen vollwertigen Potentiostaten, welcher durch seine offene Softwarestruktur leicht mittels eigener PC-Software steuerbar ist und problemlos in Gesamtsysteme wie das Internet of Lab integrierbar ist.

3.1.2.2 Technische Realisierung

Da der Mikrocontroller nicht mit negativen Spannungen arbeiten kann, aber dennoch neben der Möglichkeit im Spannungsbereich von 0 V bis +4,75 V⁸ zu arbeiten auch negative Spannungen möglich sein sollen, wird für eine solche Arbeitsweise statt der Masse des Arduino als Massenreferenz der zweite Ausgang des Digital-Analog-Konverters mit einem Spannungsausgang in Höhe von +2,5 V genutzt. So sind Spannungen an den Elektroden zwischen +2,25 V (entspricht +4,75 V⁸ am Arduino) und -2,5 Volt (entspricht 0 V am Arduino) erreichbar.

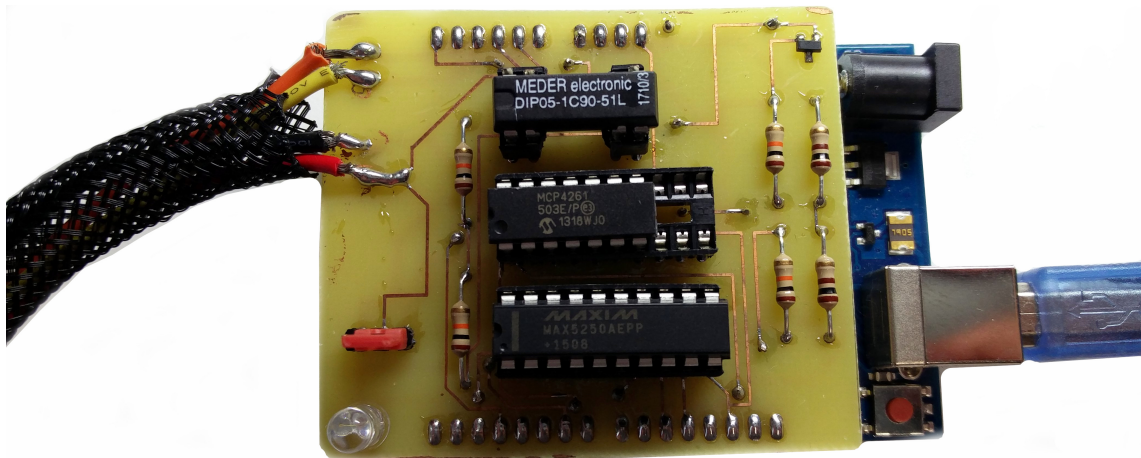


Abbildung 3.13: Bestückte Platine des Potentiostaten, vorne links der Jumper (rot) zur Moduswahl, mittig die drei ICs DIP05-1C90-51L, Meder Electronic: Relay, MCP4261, Microchip: Digitalpotentiometer und MAX5250AEPP, Maxim: Digital-Analog-Konverter

Neben der Auswahl des Betriebsmodus im Quellcode muss dieser zusätzlich durch korrektes Setzen einer Steckbrücke (Jumper) auf dem Ardustat-Shield (siehe Abbildung 3.14, JP oben rechts, Verbindung 1→2 = -2,5 V bis +2,25 V; Verbindung 2→3 = 0 V bis +4,75 V⁸).

⁸Der Spannungsbereich wird bewusst nicht auf das Maximum von 5 V ausgereizt, da in Abhängigkeit der Güte der eingesetzten Spannungsversorgung die Maximalspannung von 5 V am Arduino nicht konstant ist und somit etwaige Spannungsschwankungen die Messungen verfälschen würden.

3.1.2.3 Software

Die im originalen Projekt-Repository enthaltene Software zeigte nicht die gewünschte und beschriebene Funktion, sodass auf der Basis der selben Software-Bibliotheken eine vollständig neue Software geschrieben wurde.

Im Kopfteil der Software werden, wie üblich, diverse wichtige Parameter zum Programmablauf festgelegt. In der hier gezeigten Version legt man auch den Spannungsverlauf über die Messzeit im Quellcode fest. Das Beispiel in Abbildung 3.15 zeigt die Zuordnung der einzelnen Parameter zu den entsprechenden Positionen im Ablauf. Der Verlauf der beiden Rampen wird in der Software zur Laufzeit aus der Spannung zu Beginn der Rampe und am Ende eben dieser berechnet. Übersteigt die vorgegebene Anzahl der Punkte des Spannungsverlaufs die gewünschte Anzahl, so können alle weiteren Spannungen auf einen konstanten Wert gesetzt und die Zeiten auf null Sekunden reduziert werden.

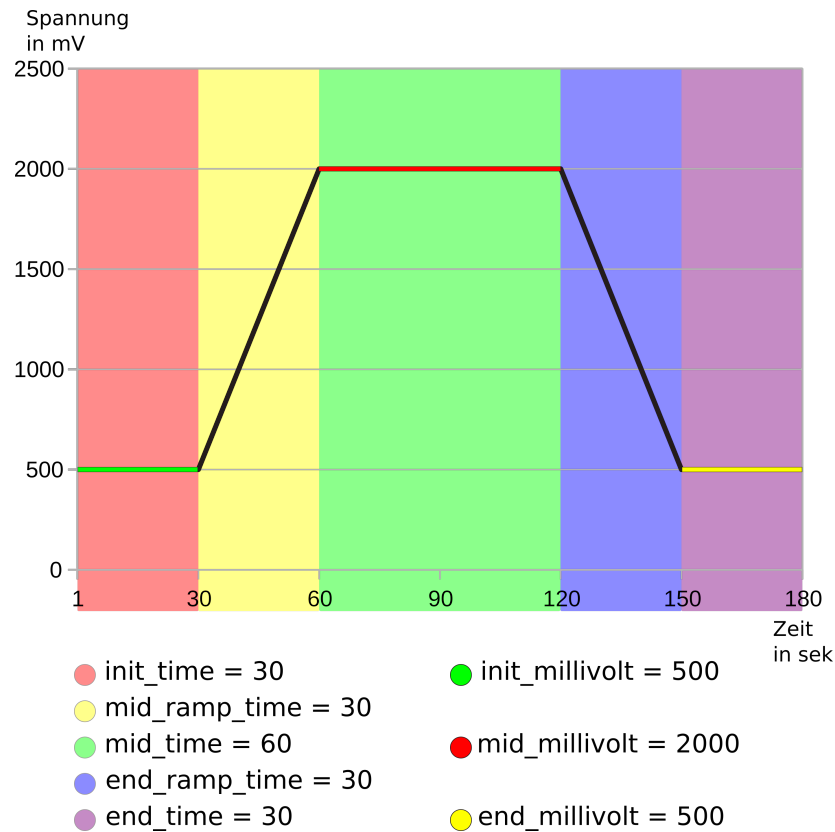


Abbildung 3.15: Beispielhafter Spannungsverlauf des Ardustat

Neben dem Spannungsverlauf stellt die Einstellung des Modus im Kopfteil des Quellcodes den wichtigsten Parameter dar. Hier ist, wie schon im Abschnitt 3.1.2.2 auf Seite 48 erklärt, die Auswahl des Spannungsbereichs entweder zwischen 0 und +4,75 V (mode = 1) oder zwischen -2,5 V und +2,25 V (mode = 2) möglich.

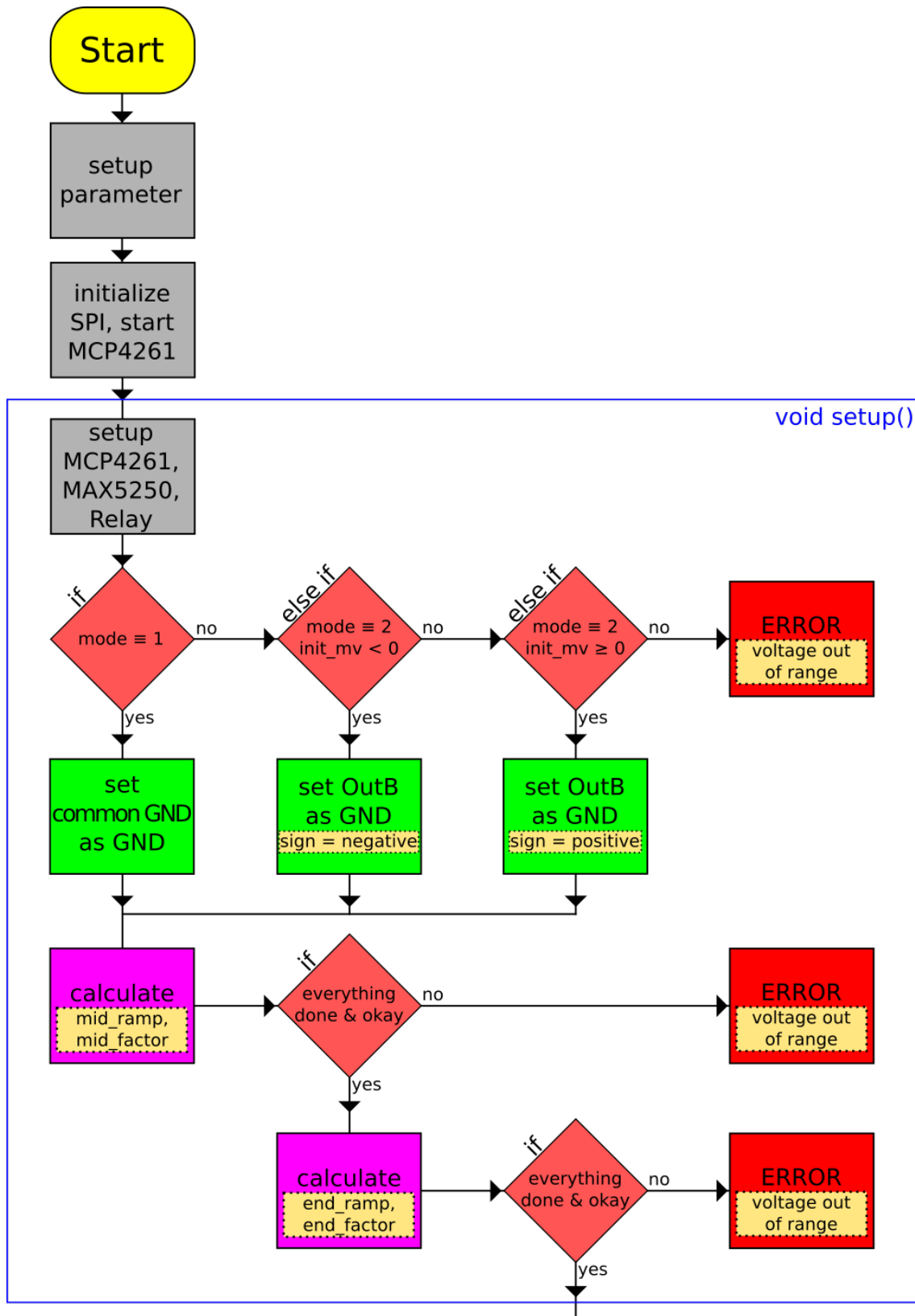


Abbildung 3.16: Programmablaufplan des Ardustat Potentiostaten, Initialisierungsroutine

Der übrige Teil der Initialisierungsroutine befasst sich mit der Variablendeklaration, der Initialisierung des Digital-Analog-Konverters und des Digitalpotentiometers, gefolgt von der Prüfung der eingegebenen Spannungs- und Zeitwerte mit anschließender Berechnung der Steigungen beider Rampen `mid_factor` und `end_factor`.

Listing 3.1: Quellcodeausschnitt: Initialisierungsroutine - Ardustat

```

1 //working modes:
2 //      1 = only positive potential between 0 and 4750 mV
3 //      2 = potential between -2500 and + 2250 mV
4 int mode = 2;
5
6 //data aquisition rate factor: 1 = every 10ms; 10 = every 100ms ...
7 int dataratefactor = 10; // maximum 1000; minimum 1;
8
9 //initial potential with delay
10 int init_millivolt = -1000; // maximum 4750 mV; minimum -2500 mV;
11 int init_time = 1000; // time until ramp starts
12
13 // mid-potential (raise or fall) with its delay
14 int mid_millivolt = 2000; // maximum 4750 mV; minimum -2500 mV;
15 int mid_ramp_time = 1000; // time ramp should take (in mV/ms)
16 int mid_time = 1000; // time after ramp reached until next
17
18 // end-potential (raise or fall) with its delay
19 int end_millivolt = 100; // maximum 4750 mV; minimum -2500 mV;
20 int end_ramp_time = 1000; // time ramp should take (in mV/ms)
21 int end_time = 1000; // time after last ramp reached
22
23 #include <EEPROM.h>
24 #include <SPI.h>
25 #include <McpDigitalPot.h>
26
27 #define DATAOUT 11 // MOSI
28 #define DATAIN 12 // MISO - not used, but part of SPI
29 #define SPICLOCK 13 // SCK
30 #define SS_DAC 10 // SLAVESELECT for MAX5250
31 #define SS_POT 7 // SLAVESELECT for MCP4261
32 #define CLEARPIN 2 // CL for MAX5250
33 #define RELAYPIN 3 // PIN for activating Relay
34
35 int adc;
36 int adc_real;
37 int outa;
38 int outb;
39 int adcgnd;
40 int adcref;
41 int adcref_real;

```

```
42 int refvolt;
43 unsigned long timer = 0;
44 unsigned long timer_m = 0;
45 int firstdac = 0;
46 int seconddac = 0;
47 int sign = 0; // positive (1) or negative (-1) sign
48 int init_sign = 0; // positive (1) or negative (-1) sign
49 int mid_sign = 0; // positive (1) or negative (-1) sign
50 int end_sign = 0; // positive (1) or negative (-1) sign
51 float mid_factor = 0.0;
52 float end_factor = 0.0;
53 int correction = 0;
54 float rAB_ohms = 49100; // 49.1k Ohm
55 float rW_ohms = 110; // 110 Ohm
56 McpDigitalPot digitalPot = McpDigitalPot(SS_POT, rAB_ohms, rW_ohms);
57
58 int millivolt_A_set = 0; // maximum 4750 mV; minimum -2500 mV; OutA
59 int millivolt_B_set = 0; // no need to set; OutB
60
61 int newvolt = 0;
62
63 float current = 0;
64 float refcurrent = 0;
65
66 int res_rel = 100; // relative resistance of digital pot:
67 // 100% = 49.1k Ohm | 0% = 24.6k Ohm)
68 float res_ohm = 0; // absolute resistance: (calculated
69 // from relative resistance later)
70
71 void setup() {
72     Serial.begin(57600);
73     Serial.println("Starting....");
74     pinMode(DATAOUT, OUTPUT);
75     pinMode(RELAYPIN, OUTPUT);
76     pinMode(DATAIN, INPUT);
77     pinMode(SPICLOCK, OUTPUT);
78     pinMode(SS_DAC, OUTPUT);
79     pinMode(5, OUTPUT);
80     pinMode(6, OUTPUT);
81     pinMode(SS_POT, OUTPUT);
82     pinMode(CLEARPIN, OUTPUT);
83     digitalWrite(SS_DAC, HIGH);
84     digitalWrite(SS_POT, HIGH);
85     digitalWrite(CLEARPIN, LOW);
86     delay(1000);
87     digitalWrite(CLEARPIN, HIGH);
88     digitalWrite(DATAOUT, LOW);
89     digitalWrite(SPICLOCK, LOW);
90     digitalWrite(RELAYPIN, HIGH);
```

```
91   delay(500);
92   SPI.begin();
93   digitalPot.setPosition(0, 0);
94   digitalPot.setPosition(1, 0);
95   digitalPot.scale = 100.0;
96
97   // blink when ready
98   digitalWrite(5, HIGH);
99   digitalWrite(6, LOW);
100  delay(500);
101  digitalWrite(5, LOW);
102  digitalWrite(6, LOW);
103
104  // check data rate factor
105  if (dataratefactor <= 0 || dataratefactor > 1000) {
106    dataratefactor = 1;
107  }
108  // convert millivolt to output
109  if (init_millivolt >= 0 && init_millivolt <= 4750 && mode == 1) {
110    newvolt = init_millivolt;
111    millivolt_A_set = init_millivolt;
112    init_sign = 1;
113  }
114  else if (init_millivolt >= -2500 && init_millivolt < 0 && mode ==
115           2) {
116    // set OutB to 2500 mV as new GND
117    millivolt_B_set = 2500;
118    newvolt = init_millivolt;
119    millivolt_A_set = init_millivolt + 2500;
120    init_sign = -1;
121  }
122  else if (millivolt_A_set >= 0 && millivolt_A_set <= 2250 && mode ==
123           2) {
124    // set OutB to 2500 mV as new GND
125    millivolt_B_set = 2500;
126    newvolt = init_millivolt;
127    millivolt_A_set = init_millivolt + 2500;
128    init_sign = 1;
129  }
130  else {
131    Serial.println("Initial voltage out of range!");
132    digitalWrite(5, HIGH);
133    digitalWrite(6, LOW);
134    delay(500);
135    digitalWrite(5, LOW);
136    digitalWrite(6, LOW);
137    delay(500);
138    exit(0);
139  }
```

```
138 // calculate mid_factor and end_factor for ramps
139 if (mid_millivolt >= 0 && mid_millivolt <= 4750 && mode == 1) {
140     if (mid_ramp_time > 0) {
141         mid_factor = ((float)mid_millivolt - (float)init_millivolt) / (
142             float)mid_ramp_time;
143     }
144     else {
145         mid_factor = 0;
146     }
147     mid_sign = 1;
148 }
149 else if (mid_millivolt >= -2500 && mid_millivolt < 0 && mode == 2)
150 {
151     init_millivolt = init_millivolt + 2500;
152     mid_millivolt = mid_millivolt + 2500;
153     if (mid_ramp_time > 0) {
154         mid_factor = ((float)mid_millivolt - (float)init_millivolt) / (
155             float)mid_ramp_time;
156     }
157     else {
158         mid_factor = 0;
159     }
160     mid_sign = -1;
161 }
162 else if (mid_millivolt >= 0 && mid_millivolt <= 2250 && mode == 2)
163 {
164     init_millivolt = init_millivolt + 2500;
165     mid_millivolt = mid_millivolt + 2500;
166     if (mid_ramp_time > 0) {
167         mid_factor = ((float)mid_millivolt - (float)init_millivolt) / (
168             float)mid_ramp_time;
169     }
170     else {
171         mid_factor = 0;
172     }
173     mid_sign = 1;
174 }
175 else {
176     Serial.println("Middle voltage out of range!");
177     digitalWrite(5, HIGH);
178     digitalWrite(6, LOW);
179     delay(500);
180     digitalWrite(5, LOW);
181     digitalWrite(6, LOW);
182     delay(500);
183     exit(0);
184 }
185 Serial.println(mid_factor);
186
```

```
182 if (end_millivolt >= 0 && end_millivolt <= 4750 && mode == 1) {
183   if (end_ramp_time > 0) {
184     end_factor = ((float)end_millivolt - (float)mid_millivolt) / (
(float)end_ramp_time;
185   }
186   else {
187     end_factor = 0;
188   }
189   end_sign = 1;
190 }
191 else if (end_millivolt >= -2500 && end_millivolt < 0 && mode == 2)
{
192   end_millivolt = end_millivolt + 2500;
193   if (end_ramp_time > 0) {
194     end_factor = ((float)end_millivolt - (float)mid_millivolt) / (
(float)end_ramp_time;
195   }
196   else {
197     end_factor = 0;
198   }
199   end_sign = -1;
200 }
201 else if (end_millivolt >= 0 && end_millivolt <= 2250 && mode == 2)
{
202   end_millivolt = end_millivolt + 2500;
203   if (end_ramp_time > 0) {
204     end_factor = ((float)end_millivolt - (float)mid_millivolt) / (
(float)end_ramp_time;
205   }
206   else {
207     end_factor = 0;
208   }
209   end_sign = 1;
210 }
211 else {
212   Serial.println("End voltage out of range!");
213   digitalWrite(5, HIGH);
214   digitalWrite(6, LOW);
215   delay(500);
216   digitalWrite(5, LOW);
217   digitalWrite(6, LOW);
218   delay(500);
219   exit(0);
220 }
221 Serial.println(end_factor);
222 delay(500);
223 }
```

Innerhalb der Software des Potentiostaten lassen sich nur wenige Funktionen sinnvoll auslagern. Hierbei handelt es sich um die beiden Funktionen zum Ansprechen der zentralen Regelungskomponenten Digital-Analog-Konverter und Digital-Potentiometer.

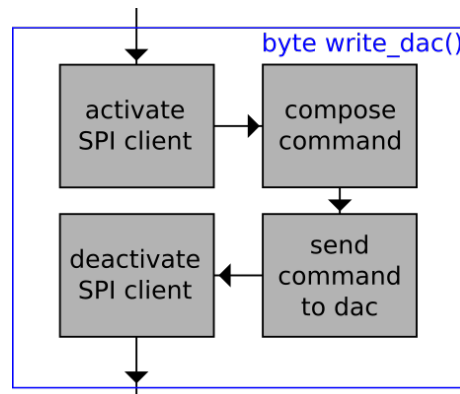


Abbildung 3.17: Programmablaufplan des Ardustat Potentiostaten, ausgelagerte Funktionen

Zum Einstellen einer bestimmten Ausgangsspannung an einem Ausgang des Digital-Analog-Konverters muss dieser erst initialisiert werden. Dies geschieht in der Funktion `write_dac()`, bevor dort die zuvor erzeugte Bytefolge mit Informationen zum gewünschten Ausgangsport `address` mit dem Spannungswert `value` auf den Chip übertragen wird. In Anschluss muss die Verbindung zum Chip ordnungsgemäß terminiert werden, damit ein erneuter Aufruf der Funktion nicht wegen einer noch offen gehaltenen Verbindung mit einem Fehler abbricht. Die Funktion `write_pot()` stellt nur eine zentrale Umrechnungsfunktion des gewünschten, menschenlesbaren Widerstandswerts auf den korrelierenden, chipspezifischen Wert dar.

Listing 3.2: Quellcodeausschnitt: Einstellfunktionen DAC und POT - Ardustat

```

1 byte write_dac(int address, int value) {
2   SPI.beginTransaction(SPISettings(10000000, MSBFIRST, SPI_MODE0));
3   firstdac = (address << 6) + (3 << 4) + (value >> 6);
4   seconddac = (value << 2) & 255;
5   digitalWrite(SS_DAC, LOW);
6   delay(1);
7   SPI.transfer(firstdac);
8   SPI.transfer(seconddac);
9   digitalWrite(SS_DAC, HIGH);
10  SPI.endTransaction();
11 }
12 byte write_pot(int address, int value) {
13   digitalPot.setResistance(address, 100 - value);
14 }
  
```

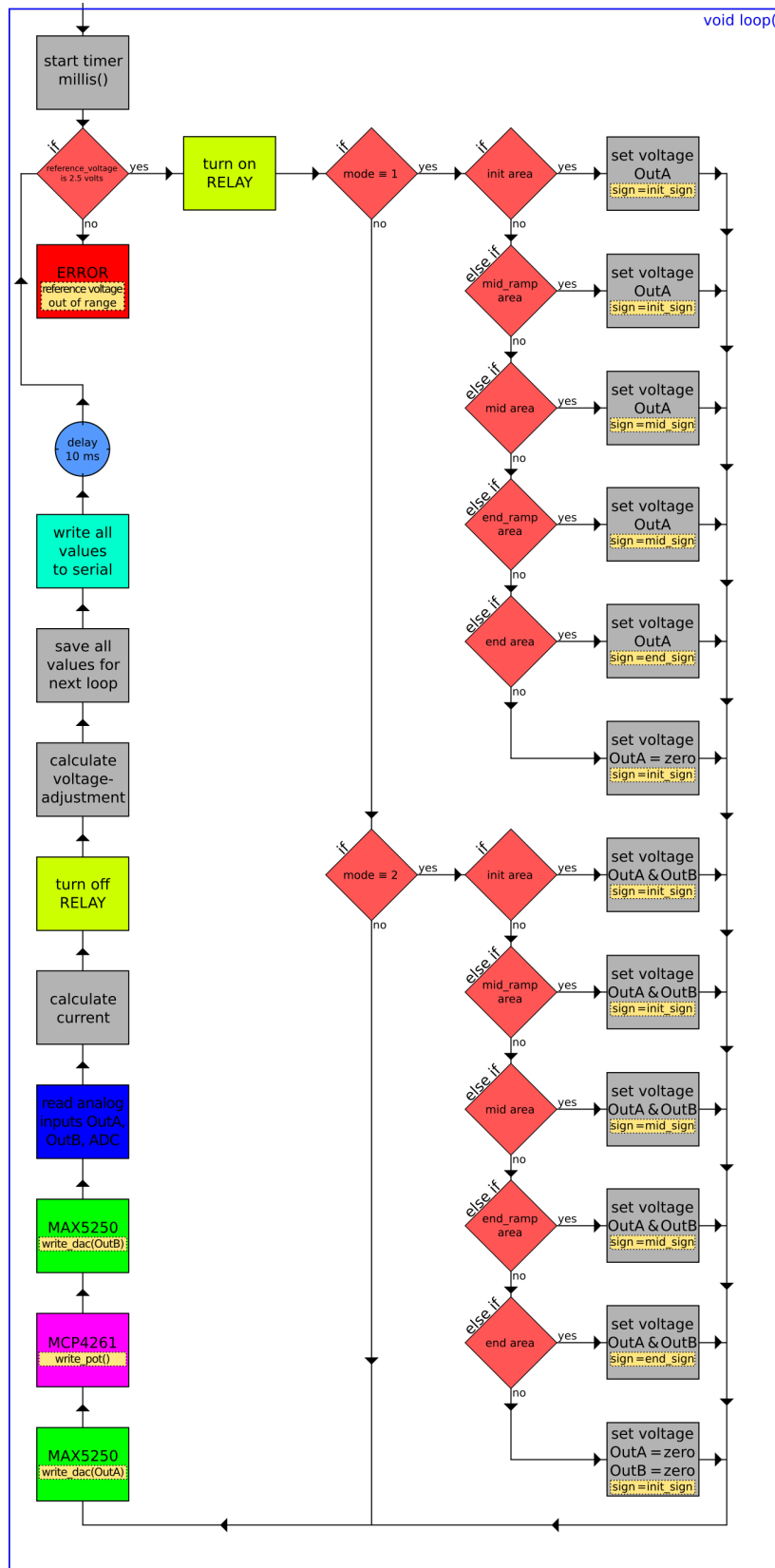


Abbildung 3.18: Programmablaufplan des Ardustat Potentiostaten, Wiederholungsroutine

Der Programmablaufplan der Wiederholungsroutine ist deutlich umfangreicher und unterscheidet zwischen den beiden Betriebsmodi mit Spannungsbereichen entweder zwischen 0 und +4,75 V (mode = 1) oder zwischen -2,5 V und +2,25 V (mode = 2), einstellbar in der Variablendeklaration im Kopfteil der Software. Nach der Spannungseinstellung in Abhängigkeit vom Betriebsmodus wird die Stromstärke durch die Einstellung eines Widerstands am digitalen Potentiometer und die Messung der daraus resultierenden Spannung durch einen analogen Eingang des Arduino über die Gleichung

$$I = \frac{U}{R} \quad (3.1)$$

berechnet. Dies geschieht sowohl für die Arbeitselektrode als auch für die Referenzelektrode. Darauf folgend wird die Spannungsadaptierung für den nächsten Zyklus berechnet und alle Werte über die serielle Schnittstelle des Arduino an den Steuerungscomputer ausgegeben.

Listing 3.3: Quellcodeausschnitt: Wiederholungsroutine - Ardustat

```

1 void loop() {
2   timer_m = millis();
3   refvolt = analogRead(5); // reference voltage from LM50
4   if (500 < refvolt < 524) {
5     digitalWrite(RELAYPIN, HIGH);
6     if (mode == 1) {
7       correction = 11;
8       if (timer <= init_time) {
9         sign = init_sign;
10      }
11      else if (timer > init_time && timer <= (init_time+mid_ramp_time
12 )) {
13        millivolt_A_set = (mid_factor * (timer - init_time)) +
14        init_millivolt;
15        newvolt = millivolt_A_set;
16        sign = init_sign;
17      }
18      else if (timer > (init_time+mid_ramp_time) && timer <= (
19        init_time+mid_ramp_time+mid_time)) {
20        sign = mid_sign;
21      }
22      else if (timer > (init_time+mid_ramp_time+mid_time) && timer <=
23        (init_time+mid_ramp_time+mid_time+end_ramp_time)) {
24        millivolt_A_set = (end_factor * (timer - (init_time +
25        mid_ramp_time + mid_time))) + mid_millivolt;
26        newvolt = millivolt_A_set;
27        sign = end_sign;
28      }
29      else if (timer > (init_time+mid_ramp_time+mid_time+
30        end_ramp_time) && timer <= (init_time+mid_ramp_time+mid_time+

```

```
end_ramp_time+end_time)) {
25     sign = end_sign;
26 }
27 else {
28     millivolt_A_set = 0;
29     newvolt = millivolt_A_set;
30     sign = init_sign;
31 }
32 }
33 else if (mode == 2) {
34     if (timer <= init_time) {
35         sign = init_sign;
36         correction = -6;
37     }
38     else if (timer > init_time && timer <= (init_time+mid_ramp_time
)) {
39         millivolt_A_set = (mid_factor * (timer - init_time)) +
init_millivolt;
40         newvolt = millivolt_A_set - 2500;
41         sign = init_sign;
42         if (mid_factor > 0) { correction = -15; } else { correction =
-6; }
43     }
44     else if (timer > (init_time+mid_ramp_time) && timer <= (
init_time+mid_ramp_time+mid_time)) {
45         sign = mid_sign;
46     }
47     else if (timer > (init_time+mid_ramp_time+mid_time) && timer <=
(init_time+mid_ramp_time+mid_time+end_ramp_time)) {
48         millivolt_A_set = (end_factor * (timer - (init_time +
mid_ramp_time + mid_time))) + mid_millivolt;
49         newvolt = millivolt_A_set - 2500;
50         sign = end_sign;
51         if (end_factor > 0) { correction = -15; } else { correction =
-1; }
52     }
53     else if (timer > (init_time+mid_ramp_time+mid_time+
end_ramp_time) && timer <= (init_time+mid_ramp_time+mid_time+
end_ramp_time+end_time)) {
54         sign = end_sign;
55     }
56     else {
57         millivolt_A_set = 0;
58         millivolt_B_set = 0;
59         newvolt = millivolt_A_set;
60         sign = init_sign;
61     }
62 }
63 write_dac(0,map(millivolt_A_set , 0, 4750, 0, 1023));
```

```

64 write_pot(0,res_rel);
65 write_dac(1,map(millivolt_B_set , 0, 4750, 0, 1023));
66
67 adc = map(analogRead(0), 0, 1023, 0, (5045 + map(res_rel, 0, 100,
68 0, 25)));
69 outa = map(analogRead(1), 0, 1023, 0, 5070);
70 outb = map(analogRead(2), 0, 1023, 0, 5070);
71 adcref = map(analogRead(3), 0, 1023, 0, 5070);
72 adcgnd = map(analogRead(4), 0, 1023, 0, 5070);
73
74 res_ohm = 24600 + map(res_rel, 0, 100, 0, 24500);
75 current = (outa - adc) / (res_ohm / 1000);
76 refcurrent = (adc - adcref);
77 refcurrent = refcurrent/100;
78
79 digitalWrite(RELAYPIN, LOW);
80 adc_real = -1 * (outb - adc + correction);
81 adcref_real = -1 * (outb - adcref);
82
83 if (abs(adc_real) < abs(newvolt) && (abs(newvolt) - abs(adc_real)
84 ) >= 20) {
85     millivolt_A_set = millivolt_A_set + (10 * sign);
86 }
87 else if (abs(adc_real) < abs(newvolt) && (abs(newvolt) - abs(
88 adc_real)) < 20) {
89     millivolt_A_set = millivolt_A_set + (1 * sign);
90 }
91 else if (abs(adc_real) > abs(newvolt) && (abs(adc_real) - abs(
92 newvolt)) >= 20) {
93     millivolt_A_set = millivolt_A_set - (10 * sign);
94 }
95 else if (abs(adc_real) > abs(newvolt) && (abs(adc_real) - abs(
96 newvolt)) < 20) {
97     millivolt_A_set = millivolt_A_set - (1 * sign);
98 }
99
100 if (timer % dataratefactor == 0) { // data acquisition rate
101     Serial.println();
102 // csv-output
103     Serial.print(timer*10);    Serial.print("\t");
104     Serial.print(newvolt);    Serial.print("\t");
105     Serial.print(outa);       Serial.print("\t");
106     Serial.print(adc_real);   Serial.print("\t");
107     Serial.print(adcref_real); Serial.print("\t");
108     Serial.print(current,4);  Serial.print("\t");
109     Serial.print(refcurrent,4);
110 }
111 timer++;
112 }

```

```
108     else {
109         Serial.println("Reference voltage out of range!");
110         digitalWrite(5, HIGH);
111         digitalWrite(6, LOW);
112         delay(500);
113         digitalWrite(5, LOW);
114         digitalWrite(6, LOW);
115         delay(500);
116     }
117     delay(10-(millis() - timer_m)); // delay for loop-time of 10ms
118 }
```

Die hier gezeigte Software beherrscht nur die Möglichkeit potentiostatischer Messungen. Sowohl die Hardware, also auch die originäre von Daniel Steingart programmierte Software erlaubt auch galvanostatische Messungen, welche jedoch für diese Arbeit nicht benötigt wurden. Softwareanpassungen bzw. -weiterentwicklungen der hier gezeigten Software, um einen zusätzlichen galvanostatischen Betriebsmodus zu erlauben sind ausdrücklich erwünscht.

3.1.2.4 Messungen

Nach Fertigstellung der Hardware des Ardustat-Shields und Übertragung der Software auf den Arduino Uno wurden erste Messungen durchgeführt. Hierzu wurde erneut auf die elektrochemische Standardreaktion der Umsetzung von Ferrocen zum Ferriciniumkation zurückgegriffen.

Abbildung 3.19 zeigt das resultierende Cyclovoltammogramm einer solchen Messung ohne Glättungsfunktion. Diese Messung entstand jedoch nicht unter Verwendung der Durchflusszelle, sondern in einer herkömmlichen elektrochemischen Einzelzelle in einem 100 mL-Becherglas, welches mit 50 mL 0,01-molarer Ferrocen-Lösung in Dichlorethan (Leitsalz Tetrabutylammoniumhydrogensulfat) befüllt und mit drei Platinblech-Elektroden bestückt war.

Man erkennt, dass bei dem Selbstbaupotentiostaten unter Verwendung günstiger Bauteile gegenüber den zuvor gezeigten Messungen ein starkes Rauschen der Messwerte herrscht. Dies ist neben der Bauteilqualität der ICs auch auf die zu geringen Taktgeschwindigkeiten sowohl des verwendeten Arduino Mikrocontrollers als auch der Verbindung zu den ICs und die schlechte Entkopplung der genutzten Schaltnetzteile vom 50 Hz Wechselstromnetz zurückzuführen. Dennoch ist das Cyclovoltammogramm gut erkennbar. Bei der Verringerung der Ferrocenkonzentration bzw. der Messung im kontinuierlichen, segmentierten Fluss sinkt die absolute Ferrocenmenge soweit ab, dass keine aussagekräftige Messung mit dem Ardustat mehr möglich ist.

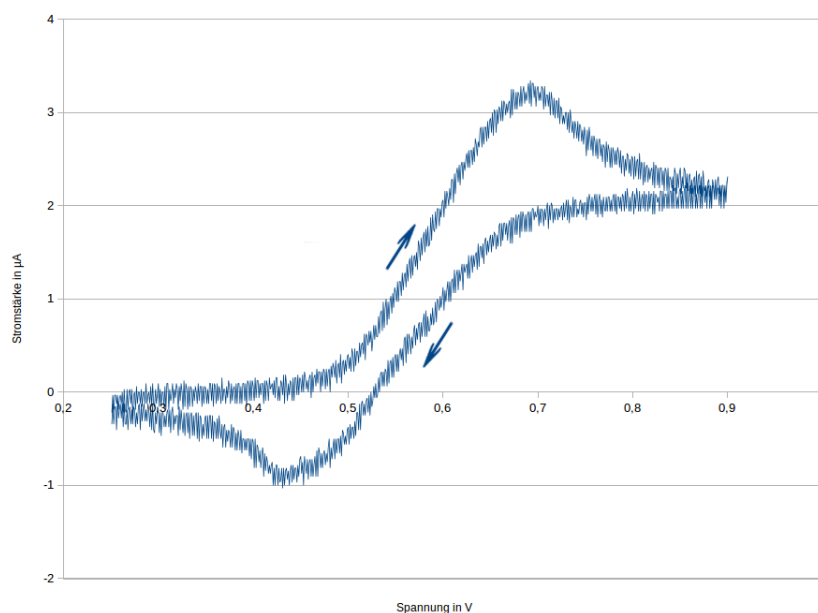


Abbildung 3.19: Ungeglättetes Cyclovoltammogramm von 0.01 M Ferrocen in DCE, gemessen mit Platinelektroden (WE, RE, CE), verbunden mit dem Ardustat-Shield und der oben gezeigten Arduino-Software

Zusammenfassend kann der hier entwickelte arduinobasierte Potentiostat zwar grundsätzlich bei potentiostatischen Messungen als preiswerte Alternative zum Einsatz kommen, ist jedoch für den Anwendungszweck in einer elektrochemischen Mikrodurchflusszelle unter Verwendung der hier eingesetzten Bauteile nicht geeignet. Die entwickelten Durchflusszellen erlauben elektrochemische Reaktionen im kontinuierlichen und segmentierten Fluss, der Umsatz der einzelnen Zelle im Fluss ist auf Grund der zeitlich sehr kurzen Spannungseinwirkung aber gering. Dies kann durch mehrere hintereinander geschaltete Durchflusszellen optimiert werden. Elektroindizierte chemische Reaktionen können schon mit Verwendung einer einzelnen Durchflusszelle durchgeführt werden.

3.2 Phasentrenner

In mehrstufigen organischen Synthesen wird oftmals im Rahmen der Aufarbeitung einzelner Reaktionsschritte eine Phasenseparation benötigt. Im herkömmlichen Chargenprozess wird hierzu im Labor ein Scheidetrichter und großtechnisch ein Absetzbecken (Settler) verwendet, sofern die zu trennenden Phasen die nötige Dichtedifferenz, eine geeignete Grenzflächenspannung und eine geringe Viskosität zur selbstständigen Entmischung aufweisen. Da bei mikrochemischen Reaktionen ein geschlossenes und druckstabiles Gesamtsystem bevorzugt wird, besteht der Bedarf nach einem Phasentrenner innerhalb des kontinuierlich betriebenen Systems.

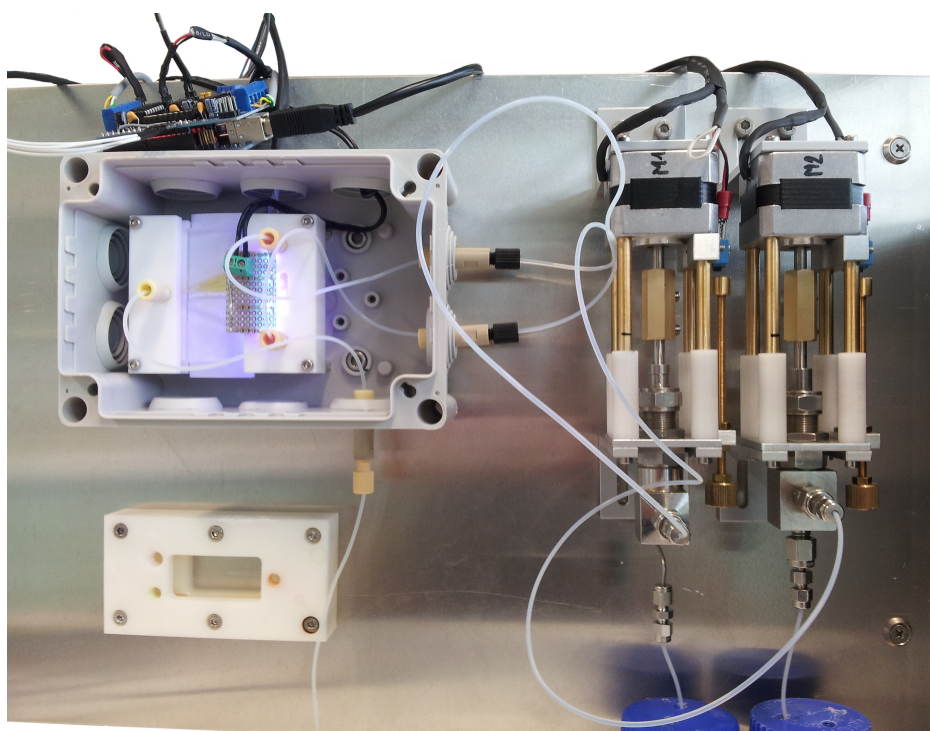


Abbildung 3.20: Entwurfsaufbau des autonomen Phasentrenners

Derzeit beschränkt sich der Markt der kommerziell erhältlichen Phasentrenner auf passive Systeme. Die Trennverfahren dieser Systeme sind sehr unterschiedlich: Es gibt Phasentrenner keilförmiger Geometrie[44], die alleine durch Gravitation für eine Trennung der Phasen sorgen. Um eine gute Trennleistung zu erzielen, welche nicht durch Kapillareffekte beeinflusst wird, ist ein im Verhältnis zu den üblichen Mikrokanälen großer Trennraum notwendig. Ein weiteres Trennverfahren besteht in der Trennung durch unterschiedliche Benetzungsfähigkeit von Oberflächen durch hydrophile und lipophile Phasen[45]. Solche Phasentrenner sind meist halbseitig aus Polytetrafluorethylen (PTFE) und auf der entsprechend anderen Seite aus Glas aufgebaut. Das Koaleszenzverhalten wird durch die Geschwindigkeitsdifferenz innerhalb des Trennsystems auf Grund der unterschiedlichen Wandbeschaffenheit begünstigt.

Ein drittes Trennverfahren beruht auf einem ähnlichen Effekt: Man verwendet einen Extraktor mit Trennmembran[46, 47], in welchem die Membran selektiv unter Nutzung von Kapillarkräften eine Phasentrennung begünstigt.

Die hier genannten Systeme werden vielfach zur Phasentrennung in kontinuierlichen Systemen eingesetzt, bringen jedoch entscheidende Nachteile mit sich. Die meisten Systeme sind durch den Einsatz spezieller Materialien auf Wandoberflächen oder als Membran auf die Trennung bestimmter Flüssigkeiten festgelegt, alle Systeme können nur so lange eine Phasentrennung durchführen, wie ein gleichmäßiger Fluss beider Phasen erfolgt. Sobald eine Veränderung des Verhältnisses der zu trennenden Phasen eintritt, versagt die Phasenseparation der hier genannten Systeme, da allen eine Ausflussteuerung fehlt.

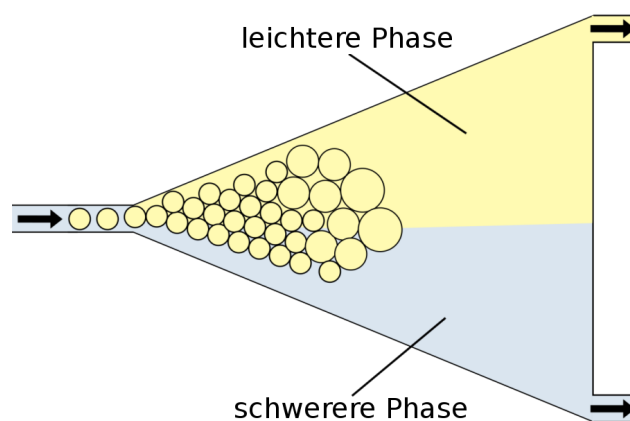


Abbildung 3.21: Schema einer dreieckigen Trennkammer

Um diesen Nachteilen zu entgehen wurde ein Phasentrennsystem geschaffen, welches die Separation zweier Phasen, die nicht zwingend in einem festen Volumenflussverhältnis vorliegen, ermöglicht. Hierzu wurde eine Phasentrennkammer mittels CFD-Berechnungen entwickelt, die eine passive Trennung zweier Phasen durch Gravitation ermöglicht. Um die Trennleistung auch bei Änderungen des Verhältnisses der Volumina beider Phasen zueinander aufrecht zu erhalten, wurde die Trennkammer mit einer aktiven Ventilsteuerung ausgestattet, die abhängig von der Lage der Phasengrenzfläche in Echtzeit eine autonome Regulierung der Auslässe ermöglicht. Die autonome Steuerung des Systems findet durch einen Mikrocontroller statt.

Das Konzept des autonomen Phasentrenners⁹ wurde im Rahmen dieser Arbeit weiterentwickelt. Die ursprünglich aus Polydimethylsilan (PDMS) hergestellte dreieckige Trennkammer

⁹Erste Entwürfe des autonomen Phasentrenners wurden bereits 2014 in meiner Diplomarbeit[40] vorgestellt.

mer wurde durch die LTF GmbH¹⁰, als Glaskörper hergestellt, sodass dieser eine weitaus bessere chemische Beständigkeit und Formstabilität gegenüber einer PDMS-Trennkammer aufweist.

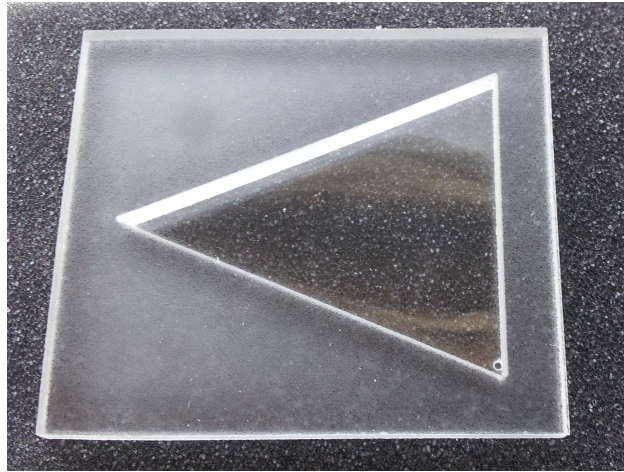


Abbildung 3.22: Dreieckige Trennkammer aus Glas, hergestellt von Little Things Factory GmbH, Elsoff

Die anfangs aus Heizungsthermostaten gebauten Ventilsteuerungen wurden durch marktübliche Nadelventile¹¹ ersetzt und mit Hochleistungsschrittmotoren¹² für den professionellen Einsatz versehen.

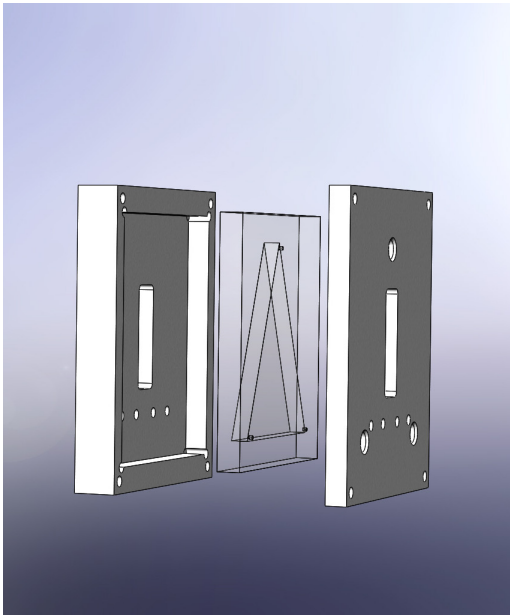
Zum Schutz der Trennkammer aus Glas und zur dichten Befestigung der Ein- und Auslässe am Glaskörper wurde eine spezielle Halterung entwickelt und aus Polyetheretherketon (PEEK) angefertigt. Die Halterung verfügt neben den Gewindeanschlüssen für handelsübliche Fittings 1/16" (Gewinde 1/4"-28) und den Bohrungen für die Transmissionslichtschranken auch über ein Sichtfenster auf beiden Seiten, welche eine direkte Beobachtung der Phasentrennung durch den Experimentator ermöglicht.

Ebenso wurde der bewegliche Schlitten mit Ventilaufnahme und Motorhalterung für die Schrittmotoren, versehen mit einer elektrischen Endabschaltung, angefertigt. Die Endabschaltung muss bei der Ersteinrichtung der Ventilsteuerung manuell auf die Position justiert werden, dass bei Erreichen des geschlossenen Zustands des Ventils eine Rückmeldung an den Mikrocontroller erfolgt. Dies entspricht in der Software dem Nullpunkt der Ventilstellung.

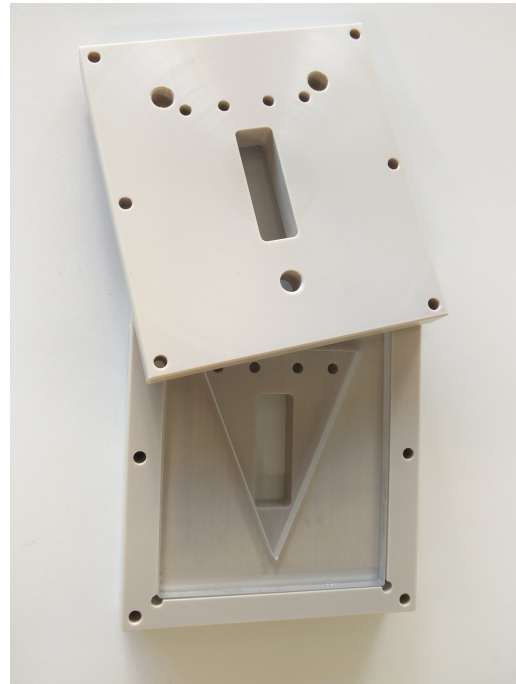
¹⁰Little Things Factory GmbH, Elsoff, Deutschland, <http://www.ltf-gmbh.com>

¹¹Im ersten Prototypen wurden jeweils Whitey SS-22RS2(-A) Nadelventile verbaut, da diese auf Grund ihrer linearen Abhängigkeit zwischen den Umdrehungen des Ventils und dem Durchflusskoeffizienten ideal für eine automatisierte Softwaresteuerung sind. Diese Ventile werden Stand 2017 nicht mehr hergestellt, als Nachfolger wurden seitens Swagelok die Ventile Swagelok SS-SS2(-A) benannt.

¹²Schrittmotoren von Adafruit Industries[48], Product ID 324, 200 Schritte/Umdrehung, 12V, 350mA, NEMA-17, Datenblatt siehe Anhang B

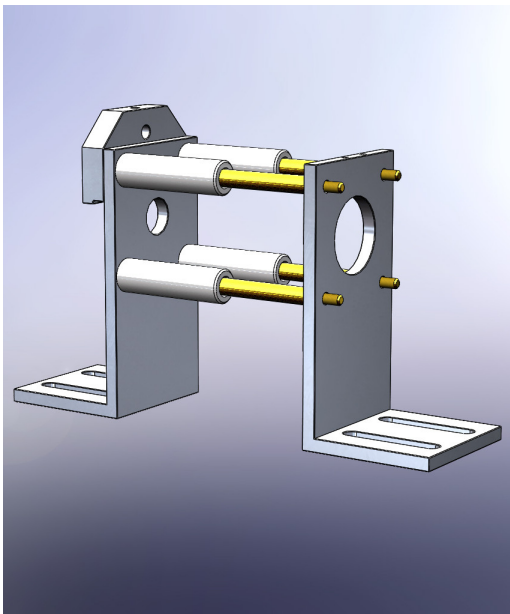


(a) 3D-Konstruktion

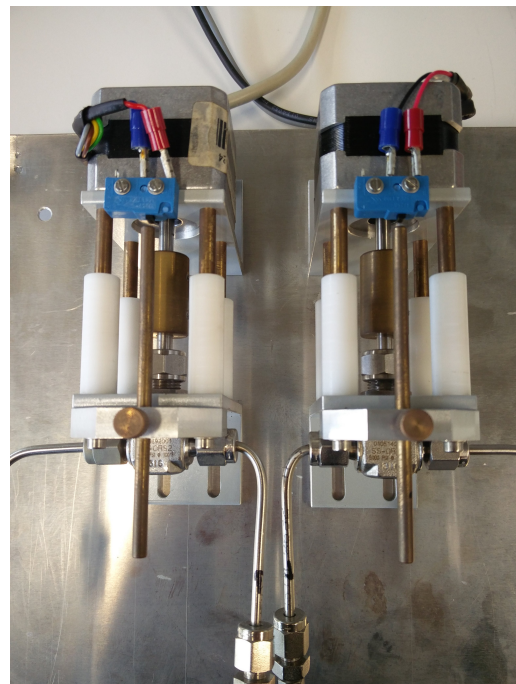


(b) Fertige Trennkammerhalterung

Abbildung 3.23: Trennkammerhalterung mit innen liegendem Glaskörper



(a) 3D-Konstruktion



(b) Fertige Ventilhalterung

Abbildung 3.24: Ventilhalterung mit Schrittmotoren und Endabschaltung

3.2.1 Aufbau

Eine 1/8" oder 1/16" Kapillare, die das zu trennende Phasengemisch führt, wird direkt mit der Trennkammer verbunden. Diese verfügt über einen oberen und einen unteren Ausgang, der jeweils zu einem elektronisch angesteuerten Nadelventil zur Regelung der Austrittsmenge beider Ausgänge führt. Am Ausgang der Nadelventile steht sowohl die schwerere als auch die leichtere Phase unabhängig voneinander für weitere Syntheschritte zur Verfügung.

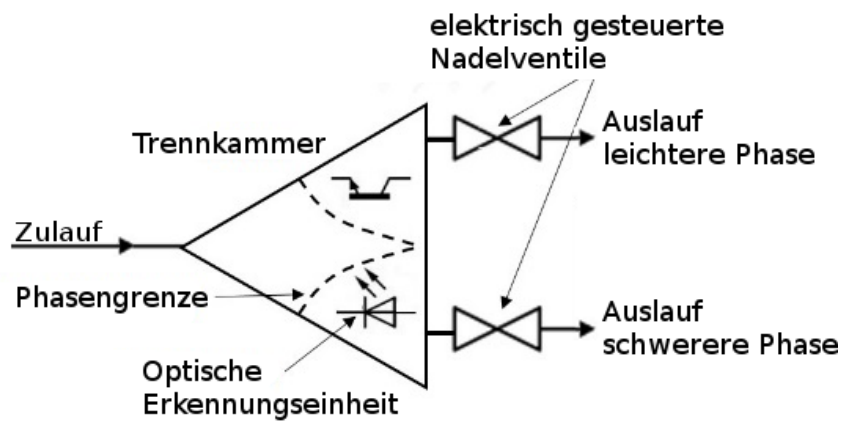


Abbildung 3.25: Fließbild der Trennkammer des Phasentrenners

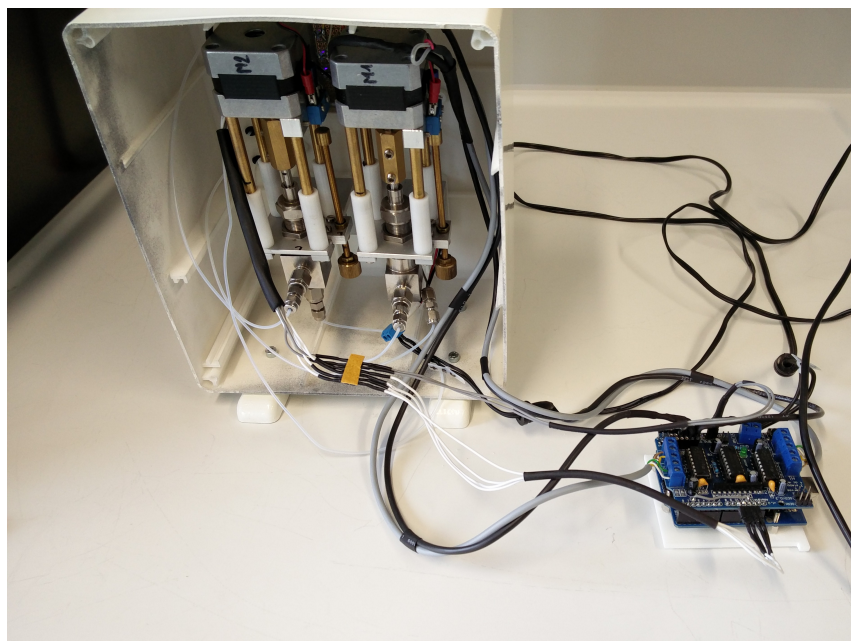


Abbildung 3.26: Rückansicht des Phasentrenners, eingebaut in ein durch selektives Lasersintern (MMT GmbH) hergestelltes Gehäuse.

3.2.2 Funktionsweise

Innerhalb der Trennkammer findet eine physikalische Trennung beider Phasen statt. Dabei stellt sich abhängig von dem Volumenverhältnis der beiden getrennten Substanzen zueinander eine horizontale Phasengrenzfläche auf entsprechender Höhe am Ende der Trennkammer ein. Durch die hier verbauten Transmissionslichtschranken wird nach vorheriger Kalibrierung die Position der Phasengrenze innerhalb der Trennkammer bestimmt. Die auf dem Mikrocontroller laufende Software stellt diese Berechnung an und reguliert daraus resultierend den Durchfluss des oberen und unteren Auslassventils. Hiermit ist gewährleistet, dass auch dynamische Volumenverhältnisse der zu trennenden Phasen effizient separiert werden können, bis hin zum einphasigen Durchfluss bei gleichzeitigem Verschluss des entsprechend anderen Auslasses.

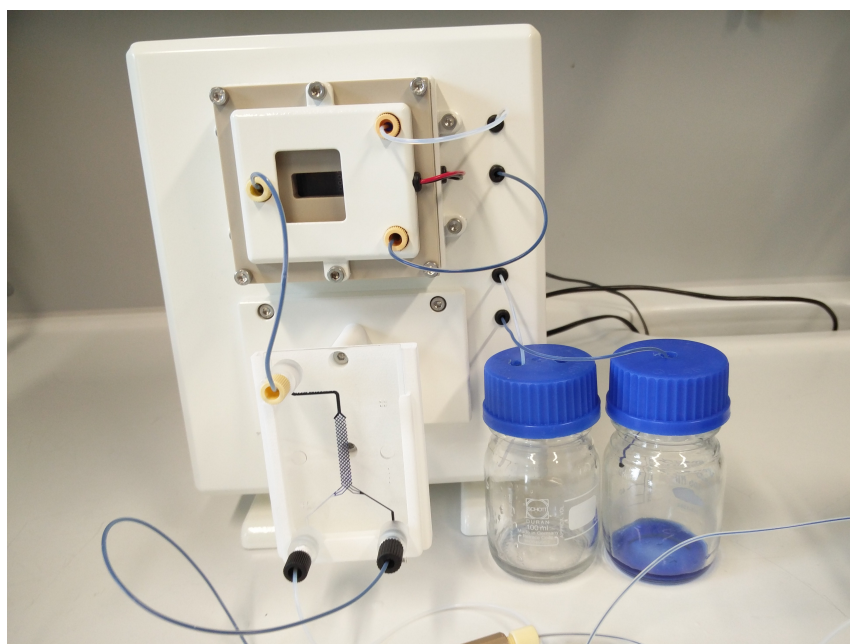


Abbildung 3.27: Frontansicht des Phasentrenners während der Trennung von Wasser (mit Tinte blau angefärbt) und Toluol

3.2.3 Technische Realisierung

Die Bestimmung der Position der Phasengrenze innerhalb der dreieckigen Trennkammer erfolgt durch einen Arduino Uno Mikrocontroller. An vier Positionen in der Vertikalen am Ende der Trennkammer sind Transmissionslichtschranken angebracht, bestehend jeweils aus einer UV-LED¹³ auf der einen Seite der Trennkammer und einem Phototransistor¹⁴ auf

¹³Bivar UV5TZ-390-30, Emissionsmaximum bei $\lambda = 390 \text{ nm}$, Austrittswinkel von 30° , Datenblatt siehe Anhang B

¹⁴Osram SFH 309, Datenblatt siehe Anhang B

der gegenüberliegenden Seite. Der Phototransistor verhält sich wie ein von der Intensität der einfallenden UV-Strahlung abhängiger elektrischer Widerstand, dessen Spannungsänderung durch den Arduino gemessen und verarbeitet wird.

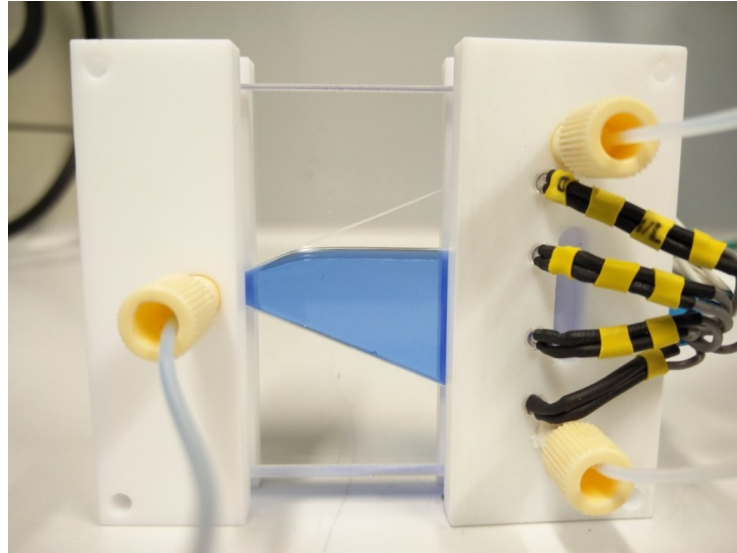


Abbildung 3.28: Trennung von Wasser (mit Tinte blau angefärbt) und Toluol

Ursprünglich wurde zur Messung dieser Spannung jeweils ein analoger Eingang des Arduinos¹⁵ genutzt. Hier zeigten sich jedoch die Grenzen des Mikrocontrollers, da häufiges sogenanntes Übersprechen¹⁶ die Messungen verfälschte und aufwendige Fehlerkorrekturen nötig machte. Auch im Hinblick auf eine Austauschbarkeit des zentralen Mikrocontrollers durch leistungsfähigere Hardware wurde ein speziell für die Umwandlung analoger Signale hergestellter und am Markt verfügbarer Analog-Digital-Wandlerchip¹⁷ mit einer Auflösung von 12 Bit¹⁸ verwendet, der MCP3208¹⁹ von Microchip Technology Inc.. Dieser

¹⁵Der verwendete Atmel ATMEGA328P des Arduino Uno besitzt 6 analoge Eingänge, die mittels integriertem 10-Bit Analog-Digital-Wandler ausgelesen werden können.

¹⁶Der Begriff Übersprechen stammt ursprünglich aus der Telekommunikation, als man am analogen Telefon leise andere Gespräche mithören konnte und bezieht sich auf den Effekt der Beeinflussung analoger Signale untereinander. Nahe beieinander liegende signalführende Adernpaare stellen einen gemeinsamen elektrischen Schwingkreis dar. Die durch die entsprechenden Adern laufenden Signale werden hierdurch auf andere Adern eingekoppelt, was zu einer Veränderung des dort durchlaufenden Signals führt. Da jede Leiterbahn sowohl als Sender als auch als Empfänger fungiert, unterliegen alle Signale einer Möglichen Verfälschung. Um die Datenintegrität sicherzustellen, setzt man neben der Abschirmung der Adern auch auf eine frühzeitige Umwandlung der analogen Signale in digitale Signale und anschließende Übertragung mittels datenintegritätsgesicherten Übertragungsprotokollen.

¹⁷Ein Analog-Digital-Wandlerchip konvertiert eine an seinem analogen Eingang gemessene Spannung in einen digitalen Wert.

¹⁸12 Bit Auflösung entspricht $2^{12} = 4096$ Schritten, in die zwischen der unteren Referenzspannung (meist Masse, 0 V) und der oberen Referenzspannung (3,3 V oder wie hier 5 V) unterteilt gemessen wird.

¹⁹Microchip Technology Inc. MCP3208, Datenblatt siehe Anhang B

Analog-Digital-Wandlerchip sitzt direkt neben den Phototransistoren, um die analogen Signalwege kurz zu halten, ist gegenüber dem Mikrocontrollerboard in einem platzsparenden DIP-16-Gehäuse²⁰ untergebracht und kann mit einer Betriebsspannung zwischen 2,7 V und 5,5 V versorgt werden, sodass neben der Verwendung des Arduino Uno (5 V System) auch ein Arduino Due oder Raspberry Pi (beide 3,3 V System) als Steuerungseinheit in Frage kommt.

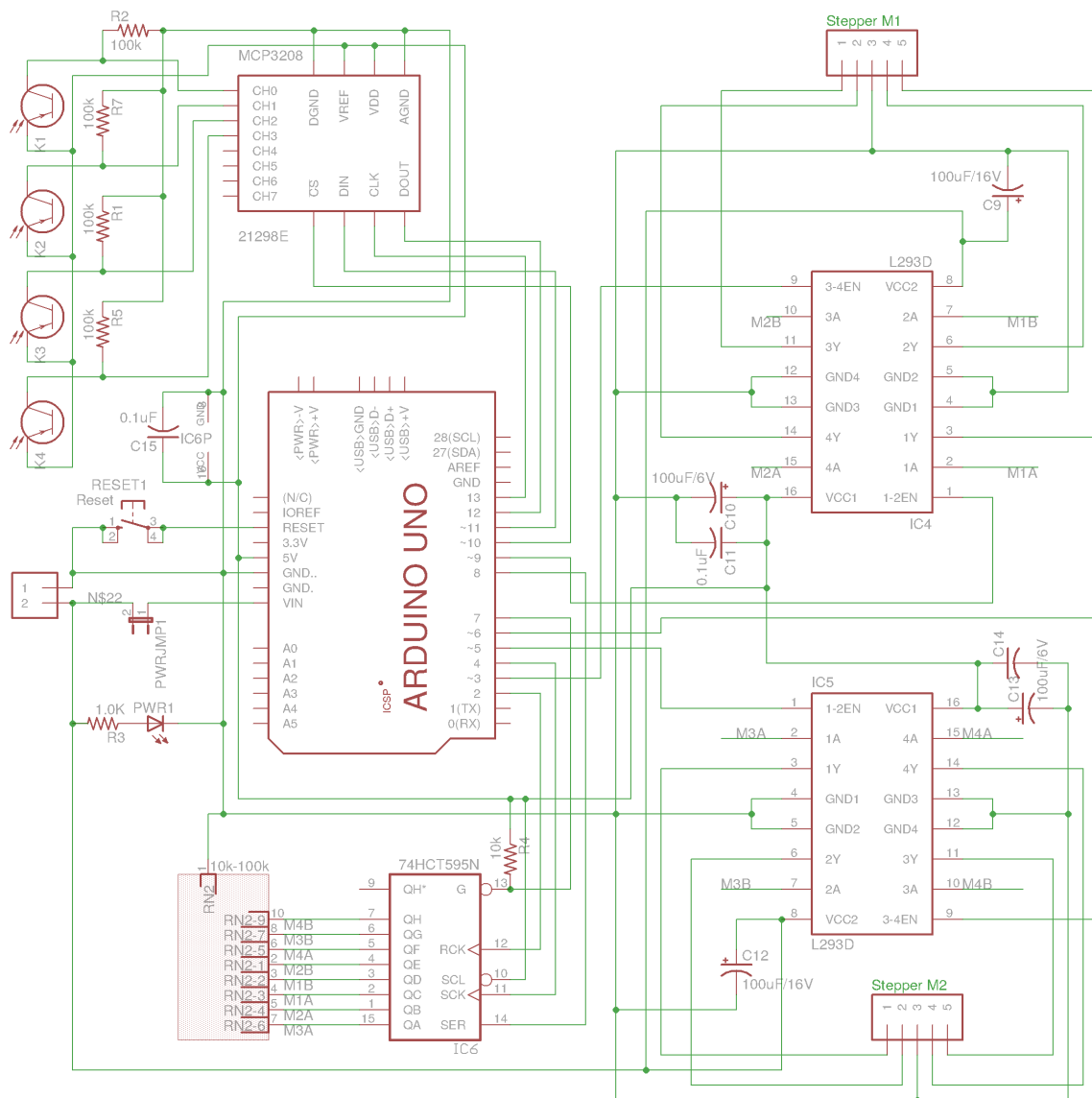


Abbildung 3.29: Schaltplan der Platinen des Phasentrenners mit Phototransistoren

²⁰DIP-16 steht für ein 16-poliges *dual in-line package*, eine Gehäuseform mit zwei Anschlussreihen mit je 8 Kontakten, die zur Durchsteckmontage auf Lochrasterplatinen und in passenden Sockeln geeignet ist.

Der MCP3208 kommuniziert über *SPI*²¹ mit dem Mikrocontroller und übermittelt nach seiner Initialisierung die Messwerte der einzelnen analogen Eingänge. Derzeit werden 4 der 8 analogen Eingänge für die vier Transmissionslichtschranken verwendet - eine Erweiterung der Anzahl der Lichtschranken ist dadurch jedoch möglich²². Auf Anfrage durch den Mikrocontroller liest der MCP3208 die Spannungswerte der einzelnen Lichtschranken aus und wandelt diese in einen Wert zwischen 0 (entspricht keinem Lichteinfall auf den Phototransistor) und 4096 (entspricht dem Maximum der Photoempfindlichkeit des Phototransistors) um, welcher an den Mikrocontroller übermittelt wird. Dieser sammelt jeweils eine vorher festgelegte Anzahl einzelner Messwerte und mittelt über diese, um eventuelle einzelne Messfehler der Phototransistoren auszugleichen. Im Folgenden wird von diesen gemittelten Messwerten der einzelnen Lichtschranken bei der Positionsvorhersage der Phasengrenze ausgegangen.

Da der Arduino Uno nur sehr kleine Ströme an seinen digitalen Ausgängen zulässt, ist er alleine nicht dazu in der Lage, größere Motoren zu betreiben. Dies wird beispielsweise mit Hilfe einer Brückenschaltung realisiert, wie sie gleich vierfach in Form des L293D-Chips²³ von Texas Instruments auf dem hier verwendeten Adafruit MotorShield²⁴ vorhanden ist. Diese Zusatzplatine stellt das zur Ansteuerung von Schrittmotoren nötige Taktsignal und die 12 V Spannung zur Verfügung. Sie nutzt bis auf die Pins D2, D9, D10 und Pin D13 alle digitalen Ein- und Ausgänge, die der Arduino Uno zur Verfügung stellt. Zur Kommunikation mit dem Analog-Digital-Wandlerchip MCP3208 über *SPI* werden jedoch die digitalen Pins D10, D11, D12 und D13 benötigt. Die Leiterbahnen der beiden belegten Pins D11 und D12 wurden auf dem MotorShield aufgetrennt und die eigentlich mit Pin D12 verbundene Leiterbahn mit Pin D2 verbunden und verlötet. So sind alle Pins für die *SPI*-Kommunikation frei bei gleichzeitig uneingeschränkter Funktion des MotorShields für die hier nötige Schrittmotorsteuerung. Im Zuge der Lötarbeiten wurde eine zusätzliche Buchsenleiste zum Anschluss des MCP3208 an die Pins D10 bis D13 gelötet (Abbildung 3.30 Mitte unten).

²¹*SPI* steht für Serial Peripheral Interface und wurde Anfang der 1980er Jahre von Motorola entwickelt. Hierbei handelt es sich um einen hauptsächlich zur geräteinternen Anbindung genutzten seriellen Datenbus, welchem das Master-Slave-Prinzip zu Grunde liegt: die Initiierung von Datentransfers findet immer durch den Master statt, welcher einen Slave explizit unter seiner Adresse abfragt.

²²Die Anzahl von vier Transmissionslichtschranken wurde gewählt, da mehr Lichtschranken eine stärkere Fokussierung der UV-LEDs erfordern: Die verwendeten UV-LEDs haben einen Austrittswinkel von 30°, was bei einer Distanz zum gegenüberliegenden Phototransistor von 7 mm einen Lichtkegel mit dem Durchmesser von 7 mm dort erzeugt. Die Lichtschranken haben einen minimalen Abstand von 10 mm zueinander, um sowohl das direkte Einfallen des Lichts benachbarter UV-LEDs als auch das Einfallen von Streulicht benachbarter UV-LEDs zu verhindern.

²³Texas Instruments L293D, Datenblatt siehe Anhang B

²⁴Es wurde das Adafruit MotorShield[49], Product ID 81, von Adafruit Industries[48] in Version 1.2, Datenblatt siehe Anhang B, eingesetzt (Stand 2017 nicht mehr verfügbar, Nachfolger ist Product ID 1438 bzw. baugleiche Modelle wie das MotorShield von DK Electronics zu sehen in Abbildung 3.30).

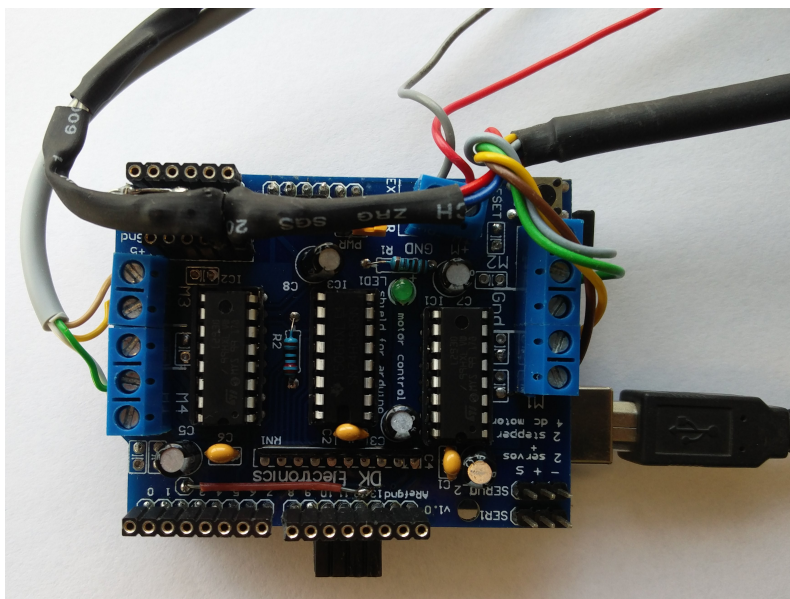


Abbildung 3.30: Modifiziertes MotorShield mit Verbindung der Leiterbahn von D12 zu D2 (horizontales braunes Kabel unten)

3.2.4 Software

Die speziell für den autonomen Phasentrenner entwickelte Software läuft lokal auf dem Arduino Uno, eine Anbindung an einen Computer ist zur Funktionsüberwachung möglich, jedoch nicht erforderlich. Die Software nutzt zur Steuerung der Ventile über die Schrittmotoren eine für das Adafruit MotorShield von Adafruit Industries entwickelte Softwarebibliothek [49]. Neben der oben beschriebenen Hardwaremodifikation des MotorShields zur parallelen Nutzung gemeinsam mit dem MCP3208 wurde die originale Softwarebibliothek (Stand 2012) durch Änderung von Zeile 138 der AFMotor.h, `#define MOTORLATCH 12` in `#define MOTORLATCH 2`, angepasst.

Der spezielle Betriebsmodus der optischen Phasengrenzflächenerkennung erfolgt auf Grund der nötigen Speicher- und Rechenleistung bei der Erkennung des Grenzflächendurchtritts durch eine der Lichtschranken nicht lokal auf dem Arduino. Hierfür wird ein separater Steuerungsrechner zur Auswertung oder ein leistungsstärkerer Ersatz für den Arduino Uno benötigt.

Der Programmablaufplan der autonomen Steuerung des Phasentrenners beginnt mit der Initialisierung der Ventile, indem diese bis zum Erreichen des jeweiligen Endabschalters in Richtung ihrer geschlossenen Position bewegt werden. An diesem Punkt ist das Ventil gerade geschlossen, entspricht dem Ventilzustand „0 Umdrehungen“ seines Datenblatts (Anhang B).

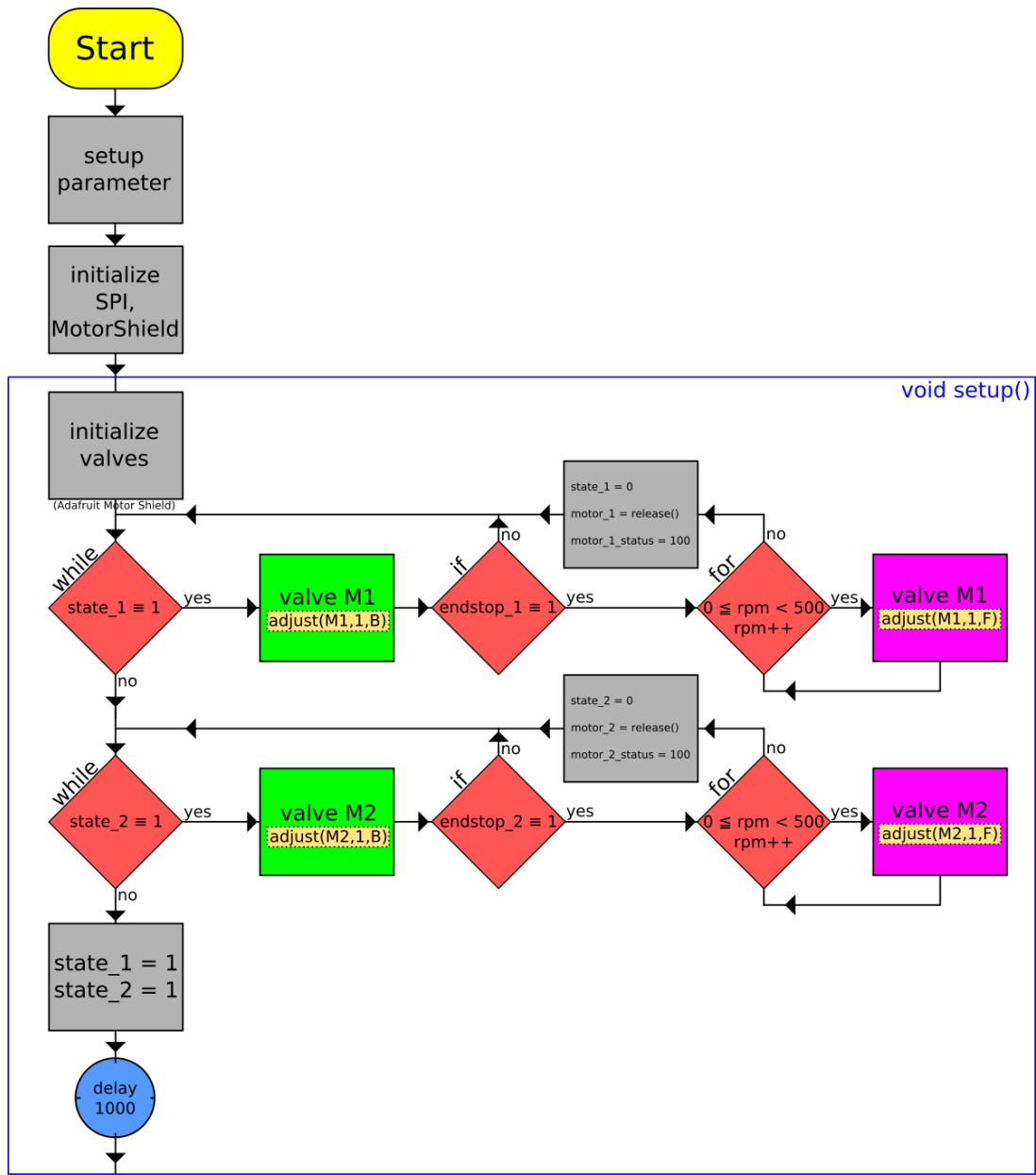


Abbildung 3.31: Programmablaufplan des Phasentrenners, Initialisierungsroutine

Abschließend werden die Ventile um eine vorher festgelegte Anzahl an Umdrehungen, umgerechnet in Motorschritten, geöffnet, um kontrolliert und kalibriert die folgenden Messungen zu beginnen. Die Anzahl der Schritte wird über die Variable `startvalue` im Kopfbereich der Software festgelegt. Hier wird auch die maximale Anzahl an Schritten, die das Ventil durch die Software geöffnet werden darf, festgelegt, um diese nicht zu überdrehen oder mit den Motoren in den Ventilanschlag zu steuern. Die Einhaltung der minimalen (Nullstellung) und der maximalen (`maxOpenValue`) Grenze der Ventilposition, gemessen in Motorschritten, wird ständig durch die Software überwacht, damit es nicht zu einem Druckaufbau innerhalb des Systems durch zu weit geschlossene Ventile kommt.

Listing 3.4: Quellcodeausschnitt: Initialisierungsroutine - Phasentrenner

```
1 // average of numReadings
2 const int numReadings = 100;
3
4 // time between measurements
5 const int seconds = 60;
6
7 // valve calibration on (1) / off (0)
8 const int valveCalibration = 1;
9
10 // valve adjustment on (1) / off (0)
11 const int valveActive = 1;
12
13 // threshold value {denser phase, rarer phase }
14 int sensorValue[4][2] = {
15     { 100, 450 },
16     { 100, 450 },
17     { 100, 450 },
18     { 100, 450 }
19 };
20
21 // modiflicated AdafruitMotorShield-library
22 // see text for details
23 #include <AFMotorMod.h>
24
25 // valveM1 (bottom valve)
26 AF_Stepper motor_1(200, 2);
27
28 // valveM2 (top valve)
29 AF_Stepper motor_2(200, 1);
30
31 // {MotorNumber, State, Status, EndstopPin}
32 int motor_array[2][4] = {
33     {1,1,0,15},
34     {2,1,0,14}
35 };
36
37 // initial steps (200 steps = 1 turn)
38 const int startvalue = 600;
39
40 // maximum steps (200 steps = 1 turn)
41 const int maxOpenValue = 1000;
42
43 long total[8] = { 0, 0, 0, 0, 0, 0, 0, 0 };
44 int average[8] = { 0, 0, 0, 0, 0, 0, 0, 0 };
45 int value_mcp3208 = 0;
46
47
```

```

48
49 // SPI
50 #define SELPIN 10 //Selection PIN
51 #define DATAOUT 11 //MOSI
52 #define DATAIN 12 //MISO
53 #define SPICLOCK 13 //Clock
54 int readvalue;
55
56 void setup() {
57   pinMode(SELPIN, OUTPUT);
58   pinMode(DATAOUT, OUTPUT);
59   pinMode(DATAIN, INPUT);
60   pinMode(SPICLOCK, OUTPUT);
61   digitalWrite(SELPIN,HIGH);
62   digitalWrite(DATAOUT,LOW);
63   digitalWrite(SPICLOCK,LOW);
64   pinMode(17, INPUT_PULLUP);
65   pinMode(motor_array[0][3], INPUT);
66   pinMode(motor_array[1][3], INPUT);
67   motor_1.setSpeed(50);
68   motor_2.setSpeed(50);
69
70   Serial.begin(9600);
71
72   if (valveCalibration == 1) {
73     Serial.println("Ventile in Ausgangsposition bringen.");
74     for (int number = 1; number < ((sizeof(motor_array)/sizeof(
75       motor_array[0]))+1); number++) {
76       while (motor_array[number-1][1] == 1) {
77         MoveMotor(number, 'F');
78         if (digitalRead(motor_array[number-1][3]) == 1 ) {
79           for (int rpm = 0; rpm < startvalue; rpm++) {
80             MoveMotor(number, 'B');
81           }
82           motor_array[number-1][1] = 0;
83           MoveMotor(number, 'R');
84           motor_array[number-1][2] = startvalue;
85           Serial.print("Ventil M");
86           Serial.print(number);
87           Serial.print(" bereit ( ");
88           Serial.print(startvalue);
89           Serial.println(" Schritte).");
90         }
91       }
92       motor_array[number-1][1] = 1;
93     }
94   }
95

```

```

96  else {
97      Serial.println("Ventilkalibrierung deaktiviert!");
98      Serial.println("(Nutzung der Ventile auch deaktiviert)");
99  }
100  Serial.println("Startphase abgeschlossen.");
101  delay(1000);
102  }

```

In der Softwareentwicklung ist es üblich, mehrfach genutzte Teile des Programmcodes in sogenannte Funktionen²⁵ auszulagern, welche wiederum in Klassen²⁶ zusammengefasst werden. Dies ermöglicht neben der besseren Übersicht und leichteren Fehlererkennung und -behebung auch die deutlich einfachere Anpassung der Software an Hardwareänderungen, beispielsweise den Wechsel auf einen Analog-Digital-Wandlerchip eines anderen Herstellers. Hierfür muss der Quellcode nur noch an einer zentralen Stelle editiert werden.

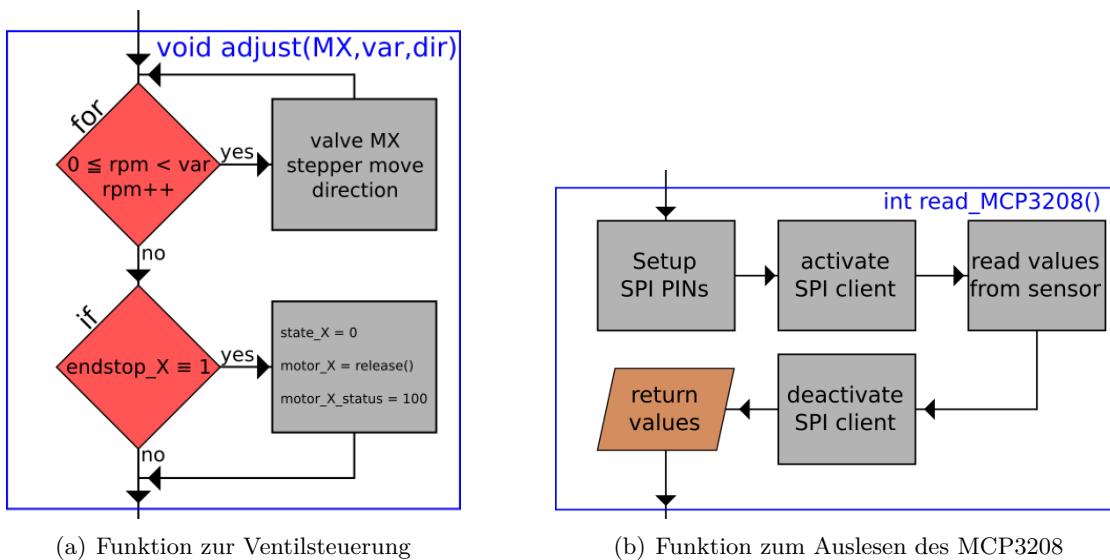


Abbildung 3.32: Programmablaufplan des Phasentrenners, ausgelagerte Funktionen

Auch in der Software des Phasentrenners sind wichtige wiederkehrende Bestandteile, wie die Funktion zum Auslesen des MCP3208, `read_mcp3208()` und auch die Funktion zum Öffnen und Schließen der Ventile, `adjust()`²⁷, in separate Funktionen ausgelagert.

²⁵Durch die Segmentierung von Programmiercode in Funktionen lassen sich modulare Codeteile erstellen, die eine definierte Aufgabe ausführen und dann zu dem Codebereich zurückkehren, von dem die Funktion aus aufgerufen wurde. Der häufigste Fall für das Erstellen einer Funktion ist, wenn die gleiche Aktion mehrmals in einem Programm ausgeführt werden muss.

²⁶Klassen zum Zusammenfassen von Funktionen werden bevorzugt in Software-Bibliotheken eingesetzt, die wiederum direkt in bestehende Softwareprojekte eingebunden werden können. Hier geschehen durch die Einbindung der modifizierten MotorShield-Bibliothek `AFMotorMod.h` durch `#include <AFMotorMod.h>` in Kopfteil des Quelltextes.

²⁷Im Quelltext ist die Funktion `adjust()` zur weiteren Vereinfachung und besseren Lesbarkeit in zwei Funktionen `MoveMotor()` und `adaptValve()` aufgeteilt.

Die Funktion `adjust()` nimmt neben dem anzusteuernenden Ventil, der Anzahl der Schritte²⁸, auch die Drehrichtung als Parameter entgegen. Die Drehrichtung wird für die bessere Lesbarkeit in F für FORWARD, was dem Schließen des Ventils entspricht und B für BACKWARD, was dem Öffnen des Ventils entspricht angegeben. Zusätzlich ermöglicht die Software noch den Status R für RELEASE der Schrittmotoren anzusteuern, was der Freistellung der Schrittmotorachse entspricht²⁹.

Listing 3.5: Quellcodeausschnitt: Motorsteuerung - Phasentrenner

```

1 // function MoveMotor() (1step)
2 int MoveMotor(int number, char direction) {
3     switch (direction) {
4         case 'F': // F = FORWARD
5             switch (number) {
6                 case 1:
7                     motor_1.step(1, FORWARD, DOUBLE); break;
8                 case 2:
9                     motor_2.step(1, FORWARD, DOUBLE); break;
10            }
11            break;
12        case 'B': // B = BACKWARD
13            switch (number) {
14                case 1:
15                    motor_1.step(1, BACKWARD, DOUBLE); break;
16                case 2:
17                    motor_2.step(1, BACKWARD, DOUBLE); break;
18            }
19            break;
20        case 'R': // R = RELEASE
21            switch (number) {
22                case 1:
23                    motor_1.release(); break;
24                case 2:
25                    motor_2.release(); break;
26            }
27            break;
28    }
29 }
30
31

```

²⁸Die hier verwendeten Schrittmotoren arbeiten mit 200 Schritten pro Umdrehung, das entspricht in Verbindung mit den Whitey SS-22RS2(-A) einer Änderung des Durchflusskoeffizienten von $\Delta K_V = 4,64 \cdot 10^{-6} \text{ m}^3 \text{ h}^{-1}$ pro Schritt ($\equiv 4,64 \text{ mL h}^{-1} \equiv 0,077 \text{ mL min}^{-1} \equiv 77 \text{ }\mu\text{L min}^{-1}$).

²⁹Schrittmotoren kennen 4 Betriebszustände: neben der Drehrichtung vorwärts und rückwärts gibt es zwei bewegungslose Zustände; normalerweise wird nach Erreichen einer Position das innere Magnetfeld so aufrecht erhalten, dass die Motorachse festgestellt und unbeweglich ist, eine Art Bremszustand. Will man hingegen eine Freistellung bzw. ein Auslaufen der Schrittmotorachse erreichen, muss man den Motor explizit in den Status *release* versetzen.

```
32 // function adaptValve() - valve adjustment
33 int adaptValve (int ValveToClose, int LimitValveToClose, int
    StepsToClose, int ValveToOpen, int LimitValveToOpen, int
    StepsToOpen, String ErrorMessage) {
34     if (motor_array[ValveToClose][2] > LimitValveToClose) {
35         for (int rpm = 0; rpm < StepsToClose; rpm++) {
36             if (digitalRead(motor_array[ValveToClose][3]) == 1 ) {
37                 motor_array[ValveToClose][1] = 0;
38                 motor_array[ValveToClose][2] = 0;
39             }
40             else {
41                 if (motor_array[ValveToClose][1] == 1) {
42                     MoveMotor(motor_array[ValveToClose][0], 'F');
43                 }
44             }
45         }
46         MoveMotor(motor_array[ValveToClose][0], 'R');
47         motor_array[ValveToClose][2] = motor_array[ValveToClose][2] -
    StepsToClose;
48         Serial.print(ErrorMessage);
49         Serial.print(" - Ventil M");
50         Serial.print(motor_array[ValveToClose][0]);
51         Serial.print(" bei ");
52         Serial.println(motor_array[ValveToClose][2]);
53     }
54     if (motor_array[ValveToOpen][2] < LimitValveToOpen) {
55         for (int rpm = 0; rpm < StepsToOpen; rpm++) {
56             MoveMotor(motor_array[ValveToOpen][0], 'B');
57         }
58         MoveMotor(motor_array[ValveToOpen][0], 'R');
59         motor_array[ValveToOpen][2] = motor_array[ValveToOpen][2]+
    StepsToOpen;
60         Serial.print(ErrorMessage);
61         Serial.print(" - Ventil M");
62         Serial.print(motor_array[ValveToOpen][0]);
63         Serial.print(" bei ");
64         Serial.println(motor_array[ValveToOpen][2]);
65     }
66 }
```

Die Funktion `read_mcp3208()` aktiviert den Analog-Digital-Wandlerchip, indem Pin D10 des Arduino, verbunden mit dem sogenannten *ChipSelect*-Eingang des MCP3208 auf Masse gelegt wird. Nun wird der auszulesende Kanal in einer Bitfolge³⁰ im LSB-Format³¹ codiert und an den Chip gesendet. Dieser benötigt nun zwei Takte für die Messung und antwortet im dritten Takt mit dem Messwert des gewünschten Kanals. Dieser wird nach Beendigung der Verbindung zum MCP3208 der Rückgabewert der Funktion.

Listing 3.6: Quellcodeausschnitt: Auslesefunktion MCP3208 - Phasentrenner

```

1 // function read_MCP3208() - get values from lightbarriers
2 int read_MCP3208(int channel){
3     int mcpvalue = 0;
4     byte commandbits = B11000000;
5     commandbits |= ((channel - 1) << 3);
6
7 // select / activate MCP3208
8 digitalWrite(SELPIN, LOW);
9 for (int i = 7; i >= 3; i--){
10     digitalWrite(DATAOUT, commandbits & 1 << i);
11     digitalWrite(SPICLOCK, HIGH);
12     digitalWrite(SPICLOCK, LOW);
13 }
14
15 // ignore two zero-bits
16 digitalWrite(SPICLOCK, HIGH);
17 digitalWrite(SPICLOCK, LOW);
18 digitalWrite(SPICLOCK, HIGH);
19 digitalWrite(SPICLOCK, LOW);
20
21 // read data from MCP3208
22 for (int i = 11; i >= 0; i--){
23     mcpvalue += digitalRead(DATAIN) << i;
24     digitalWrite(SPICLOCK, HIGH);
25     digitalWrite(SPICLOCK, LOW);
26 }
27
28 // deactivate MCP3208
29 digitalWrite(SELPIN, HIGH);
30
31 // return value read
32 return mcpvalue;
33 }

```

³⁰Die Bitfolge zum Ansprechen des MCP3208 wird ausführlich im zugehörigen Datenblatt beschrieben.

³¹LSB-Format, engl. für *Least Significant Bit*, die Bits werden aufsteigend von rechts nach links gelesen, da das Bit 0 den niedrigsten Stellenwert hat.

Die sich wiederholende zentrale Programmschleife startet mit einer Zeitschleife, da, bedingt durch die meist niedrigen Flussraten, das System eine erhöhte Trägheit aufweist. So findet eine Anpassung der Ausflussmenge durch die Ventile nicht bei jeder Wiederholung der Schleife statt. Das Auslesen der Lichtschranken und die Bildung des Mittelwertes von 100 Messungen dauert circa eine Sekunde. Eine Regelung der Ventile im vorherigen Schleifendurchlauf wird folglich in den direkt folgenden Umläufen keine für das System messbare Änderung zeigen. Bei Flussraten im Bereich von einem Milliliter pro Minute hat sich empirisch ein Intervall von einer Minute zwischen der erneuten Anpassung der Ventile als vernünftig erwiesen. Ist die Bedingung der Zeitschleife erfüllt, beginnt das Auslesen der Lichtschranken in der im Initialisierungsbereich der Software festgelegten Häufigkeit, um daraus einen Mittelwert für jede Lichtschranke zu berechnen.

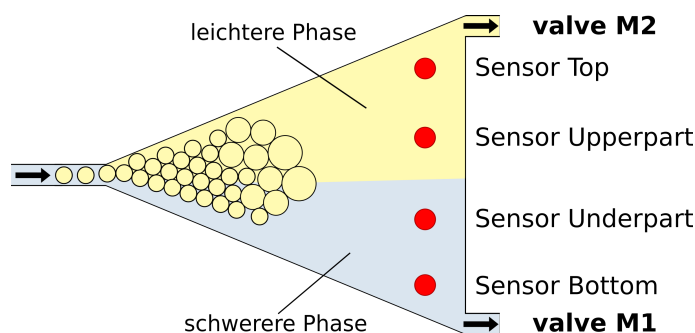


Abbildung 3.33: Benennung der Ventile und Lichtschranken im Programmablaufplan

Wird auf Höhe der untersten Lichtschranke (Sensor Bottom) die leichtere Phase detektiert, prüft die Software, ob das untere Auslassventil (M1) bereits geschlossen ist. Ist dem noch nicht so, wird das untere Auslassventil um 100 Schritte weiter geschlossen und parallel das obere Auslassventil (M2) um 100 Schritte weiter geöffnet. Das explizite Prüfen und Öffnen des anderen Ventils dient neben dem verbesserten Abfluss insbesondere der Verhinderung eines Druckaufbaus innerhalb der Trennkammer. Der dazu invertierte Ablauf findet statt, wenn an der obersten Lichtschranke (Sensor Top) die schwerere Phase gemessen wird. Befindet sich die Phasengrenzfläche dazwischen, beispielsweise ein wenig oberhalb der untersten Lichtschranke (Sensor Bottom), detektiert der zweite Sensor von unten (Sensor Underpart) die leichtere Phase, der unterste Sensor (Sensor Bottom) jedoch wie gewünscht die schwerere Phase. Jetzt findet nur eine geringe Anpassung der Ventile statt: das untere Ventil (M1) wird um 50 Schritte geschlossen, parallel, wenn es nicht schon vollständig geöffnet ist, das obere Ventil um 50 weitere Schritte geöffnet. Nach einer kurzen Wartedauer (delay) beginnt die Schleife erneut mit der Abfrage der Lichtschranken.

Im Anschluss daran sorgt eine Kaskade von Bedingungen für die korrekte Interpretation der Messwerte und die Steuerung der Ventile:

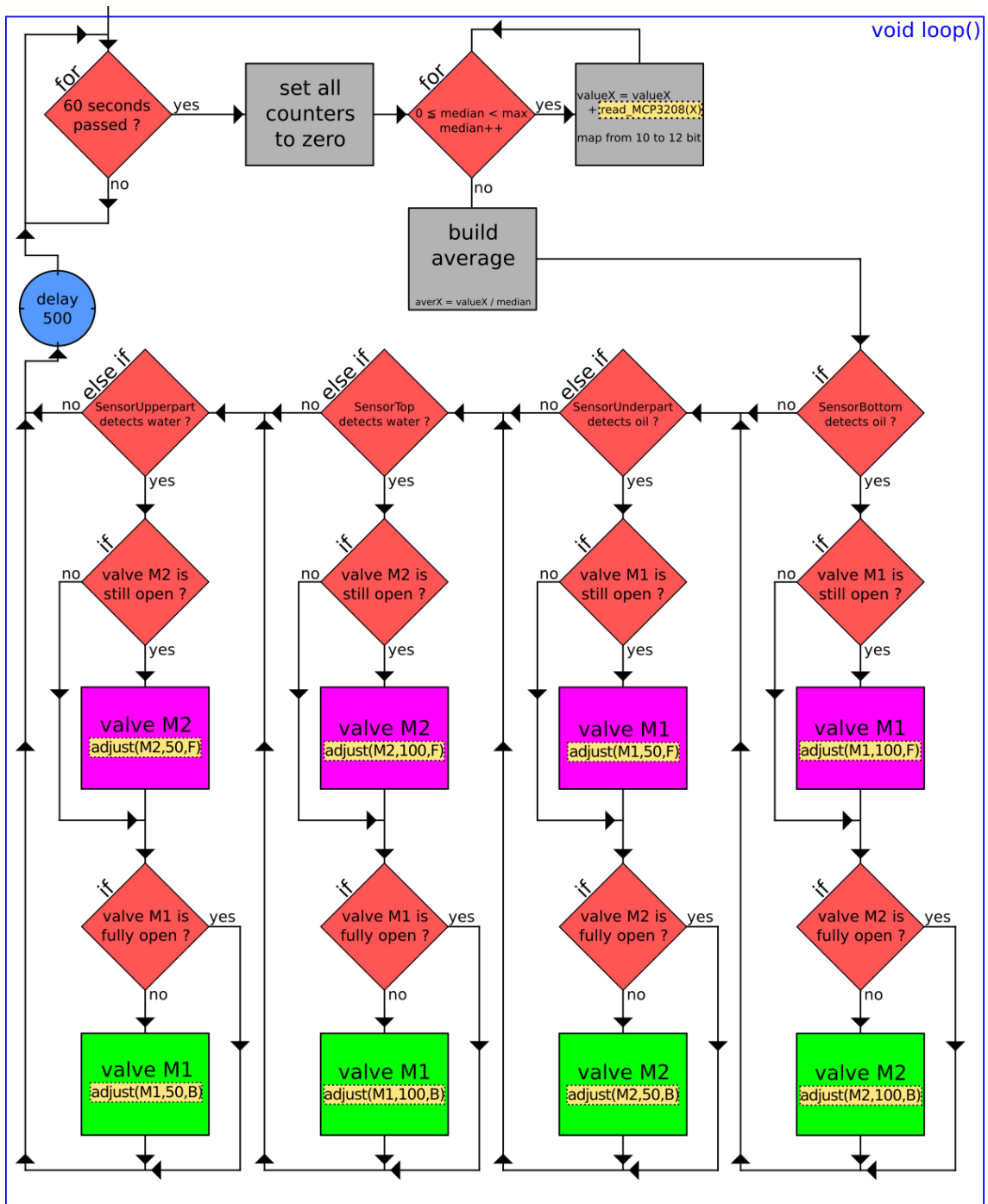


Abbildung 3.34: Programmablaufplan des Phasentrenners, Wiederholungsroutine

Listing 3.7: Quellcodeausschnitt: Wiederholungsroutine - Phasentrenner

```

1 void loop() {
2   uint8_t i;
3
4   for (int count = 0; count < seconds; count++) {
5     // only one measurement within given interval
6     if (count == 0) {
7       Serial.println("Messung gestartet.");
8       memset(total, 0, sizeof(total));
9
10    // read values from MCP3208
11    for (int thisReading = 0; thisReading < numReadings; thisReading
12    +++) {
13      for (i = 0; i < (sizeof(total)/sizeof(long)); i++) {
14        value_MCP3208 = read_MCP3208(i+1);
15        total[i] = total[i] + value_MCP3208;
16      }
17      delay(50);
18    }
19    // build average of readings for every sensor
20    for (i = 0; i < (sizeof(total)/sizeof(long)); i++) {
21      average[i] = total[i] / numReadings;
22    }
23
24    // only move valves when set to active and calibrated
25    if (valveActive == 1 && valveCalibration == 1) {
26
27    // close M1 when detecting rarer phase on bottom-lightbarrier
28    // additionally open M2
29      if (average[6] > sensorValue[3][1]) {
30        adaptValve(0, 99, 100, 1, maxOpenValue, 100, "Phasengrenze
31        viel zu niedrig!");
32      }
33
34    // open M1 when detecting rarer phase on underpart-lightbarrier
35    // additionally close M2
36      else if (average[4] > sensorValue[2][1]) {
37        adaptValve(0, 49, 50, 1, maxOpenValue, 50, "Phasengrenze zu
38        niedrig!");
39      }
40
41    // close M2 when detecting denser phase on top-lightbarrier
42    // additionally open M1
43      else if (average[0] < sensorValue[0][0]) {
44        adaptValve(1, 99, 100, 0, maxOpenValue, 100, "Phasengrenze
45        viel zu hoch!");
46      }
47    }
48  }
49 }

```

```
44
45 // open M2 when detecting denser phase on upperpart-lightbarrier
46 // additionally close M1
47     else if (average[2] < sensorValue[1][0]) {
48         adaptValve (1, 49, 50, 0, maxOpenValue, 50, "Phasengrenze zu
hoch!");
49     }
50 }
51 else {
52     Serial.println("Ventilanpassung deaktiviert!");
53 }
54
55 // data output on serial console
56     Serial.print("Messwerte: \t");
57     for (i = 0; i < (sizeof(total)/sizeof(long)) - 1; i++) {
58         Serial.print(average[i]); Serial.print("\t"); // - \t");
59     }
60     Serial.print(average[(sizeof(total)/sizeof(long)) - 1]);
61     Serial.println();
62 }
63
64 // additional delay for gaining one cycle per second
65     delay(500);
66     Serial.print(".");
67 }
68     Serial.println();
69 }
```

Der gesamte Softwareablauf sorgt für eine autonome Ventilsteuerung des initial kalibrierten Phasentrenners über eine beliebig lange Zeit hinweg. Selbst der thermische Shift der Phototransistoren bei längerer Laufzeit und stärkerer Erwärmung wird innerhalb gewisser Grenzen durch die Software toleriert und verursacht kein Fehlverhalten des Phasentrenners. Selbst eine Änderung des Volumenverhältnisses der zulaufenden Phasen auf 100:0 ist mit der oben vorgestellten Software abbildbar, da nach dem Ausbleiben des Zustromes einer der beiden Komponenten dessen Auslassventil nach kurzer Zeit geschlossen wird, sodass der gesamte Zustrom auch direkt über das noch offene Auslassventil abfließt.

3.2.4.1 Optische Phasenerkennung

Dem Entwurf aus [40] entsprechend, operiert die auf dem Arduino laufende Software so, dass sie die Messwerte der vier Transmissionslichtschranken einzeln mit einem zuvor individuell ermittelten Schwellenwert vergleicht und so die Vorhersage trifft, welche Phase sich zwischen der jeweiligen Lichtschranke befindet. Somit lässt sich daraus die Position der Phasengrenze innerhalb der Trennkammer angeben. Der Durchfluss der Auslassventile oben und unten wird daraufhin abhängig der Position der Phasengrenze geregelt. Sollte gegenüber der vorhergehenden Messung eine andere Position der Phasengrenze ermittelt worden sein, öffnet respektive schließt die Software durch Ansteuerung der mit dem Arduino verbundenen Motorsteuerungsplatine die schrittmotorgetriebenen Nadelventile. Die Kalibrierung der Ventile findet während der Startphase des Phasentrenners statt und wird bei einem Neustart wiederholt.

Die hier beschriebene Ermittlung der Position der Phasengrenze basiert auf dem Unterschied in der optischen Dichte der zu trennenden Phasen und erfordert dazu eine Kalibrierung der Software über den Erwartungswert jeder der beiden Phasen, welchen die Phototransistoren bei der Messung liefern. Der Mittelwert beider Messwerte entspricht dem oben genannten Schwellenwert: liegt die Messung unterhalb dessen, befindet sich zwischen der Lichtschranke die Phase mit der höheren Lichtabsorption bzw. -streuung; liegt der Messwert über dem Schwellenwert, handelt es sich um die Phase mit der geringeren Lichtabsorption bzw. -streuung.

Die Kalibrierung erfolgt entweder vor der Nutzung des Phasentrenners durch Hinterlegen der Schwellenwerte in dem Kopfteil der Software (siehe Quellcode-Listing 3.4) oder durch eine externe Schwellenwertermittlung. Dies geschieht durch die Erweiterung des Phasentrenners um zwei Küvetten identischer Breite und Beschaffenheit wie die Trennkammer des Phasentrenners, beide ausgestattet mit einer eigenen Transmissionslichtschranke und befüllt mit entweder der unteren oder der oberen reinen Phase. Zusätzlich zur einmaligen externen Kalibrierung besteht die Möglichkeit der Inline-Kalibrierung durch Nutzung von Durchflussküvetten identischer Breite und Beschaffenheit wie die Trennkammer des Phasentrenners, angeschlossen an jeweils den oberen bzw. unteren Ausgang des Phasentrenners. So wird selbst bei zeitlich veränderlicher Lichtabsorption der jeweiligen Phase, beispielsweise durch variierende Produktkonzentration, laufend der Schwellenwert angepasst. Hier ist jedoch auch eine initiale Schwellenwertermittlung im Vorfeld (intern oder extern) unabdingbar.

3.2.4.2 Optische Phasengrenzflächenerkennung

Die optische Phasenerkennung versagt jedoch bei der Unterscheidung zweier Phasen mit zu geringen Absorptionsunterschieden. Um dieses Problem zu umgehen, basiert die optische Phasengrenzflächenerkennung auf der Intensitätsveränderung des auf den Phototransistor einfallenden Lichts am Meniskus der Phasengrenze. Abhängig von der Oberflächenspannung der beiden zu trennenden Phasen und deren Hydrophilie (Benetzbarkeit gegenüber der Trennkammer aus Glas) entspricht der Meniskus an der Phasengrenze der Form einer senkrecht halbierten konvexen Linse. Das sorgt während des Durchtritts des Lichtstrahls durch die Phasengrenzfläche für eine Beeinflussung des Strahlengangs der Lichtschranke. Überträgt man die gemessenen Werte in ein Koordinatensystem, ergibt sich ein charakteristisches Bild, aus dem die Richtung und die Geschwindigkeit des Phasengrenzflächendurchtritts ablesbar ist.

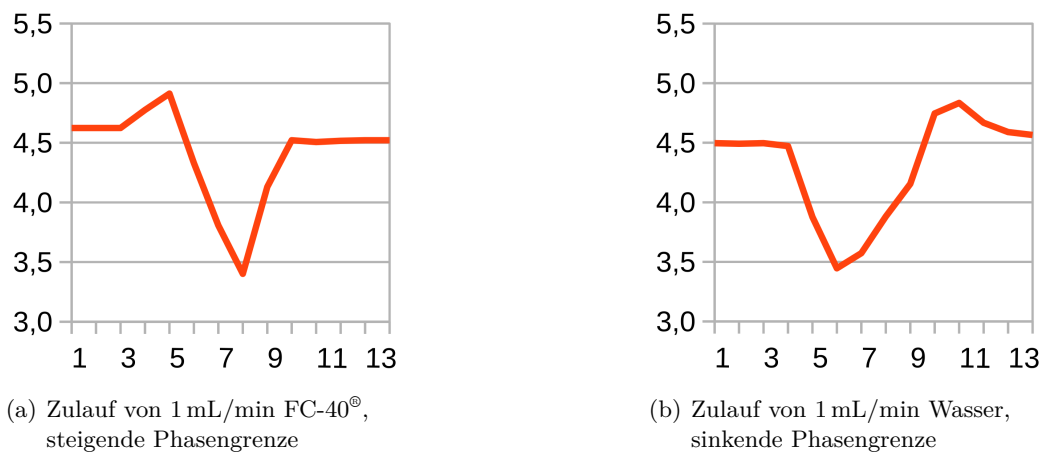


Abbildung 3.35: Zeitlicher Lichtintensitätsverlauf (in Volt) während des Durchlaufs der Phasengrenze durch eine Lichtschranke für ein Zweiphasensystem Wasser/FC-40[®]

Die Messung in Abbildung 3.35 (a) zeigt eine kurze Steigerung der gemessenen Lichtintensität, die höher liegt, als die gemessene Intensität der reinen Phasen. Dies lässt sich durch die Totalreflexion des UV-Lichts am flachen Boden des Meniskus erklären. Abbildung 3.36 (b) zeigt den entsprechenden vereinfachten Strahlengang der UV-LED durch den Meniskus hin zum Phototransistor. Licht aus dem Lichtkegel der UV-LED, welches im spitzen Winkel auf die Phasengrenzfläche auf trifft, wird dort reflektiert und erreicht zusätzlich zum ungestreuten UV-Licht den Phototransistor.

Direkt darauf folgt ein Einbruch der gemessenen Intensität, hervorgerufen wird dieser durch die Brechung und Streuung des einfallenden Lichts durch den Kontaktwinkel der Phasengrenze zu den Trennkammerrändern hin, wie an Hand des vereinfachten Strahlengangs in Abbildung 3.36 (c) dargestellt. Erst wenn der Lichtkegel das Ende des Meniskus erreicht, stellt sich wieder das lineare Durchtrittsbild der Lichtstrahlen ein und die Intensität erreicht einen konstanten Wert, abhängig von der optischen Dichte des Mediums

(Abbildung 3.36 (d)).

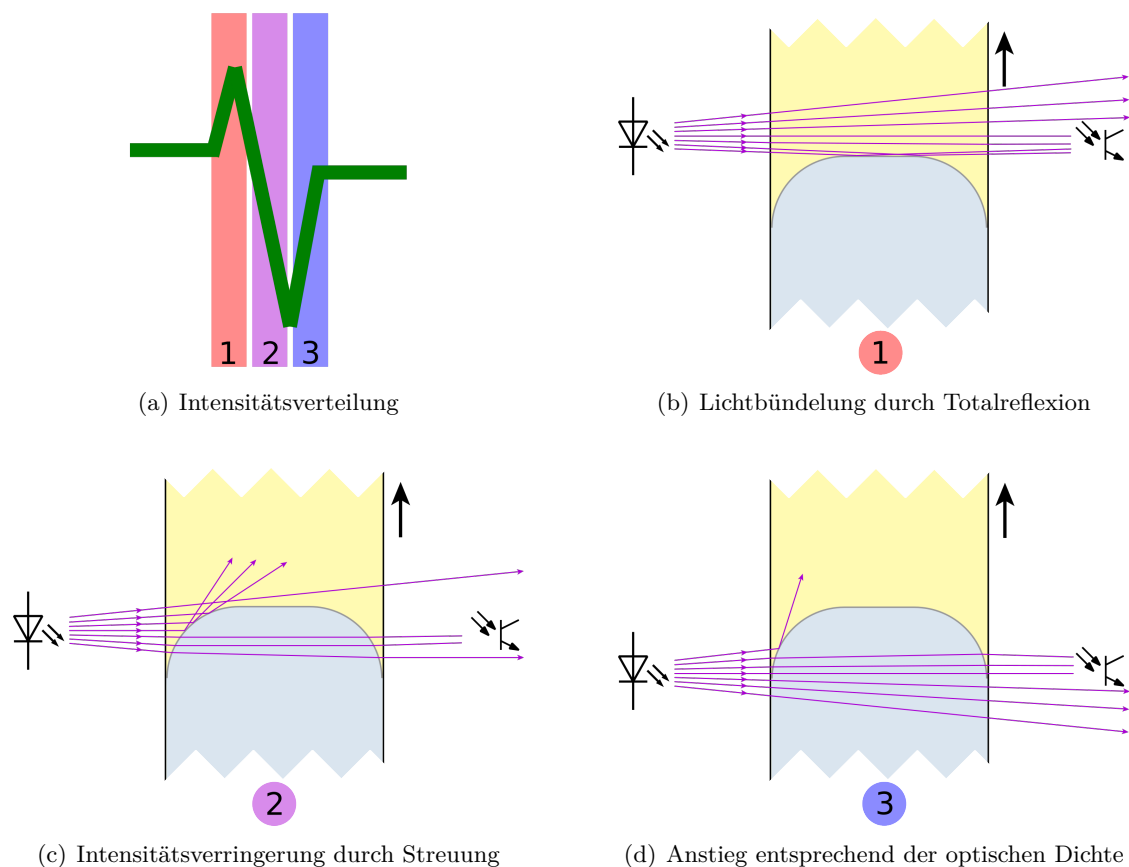


Abbildung 3.36: Intensitätsverteilung durch Reflexion und Streuung während des Lichtdurchtritts durch den Meniskus

Neben der Erkennung des Durchtritts der Phasengrenze durch die Lichtschranke lässt sich mit dieser Methode auch direkt die Durchtrittsrichtung (steigende oder fallende Phasengrenze) innerhalb der Trennkammer ablesen, sofern bekannt ist, ob sich zwischen den zu trennenden Phasen ein konkaver (nach unten gewölbter) oder konvexer (nach oben gewölbter) Meniskus ausbildet³². Abbildung 3.37 zeigt eine Übersicht über die möglichen Figuren, die eine Auftragung der Messung in einem Koordinatensystem ergibt, sofern das obere Medium optisch dichter als das untere Medium ist. Ein Beispiel für den Fall (a) ist das System Wasser - FC-40[®], wobei Wasser als Medium geringerer Dichte die obere Phase darstellt. Das typische Beispiel für Abbildung 3.37 (b) stellt das System Wasser - Toluol dar.

³²Die Ausbildung des Meniskus ist von der Adhäsion der Phasen zu der Wand der Trennkammer abhängig. In dem verwendeten Glaskörper verhält sich die Wasserphase wandadhäsiv, sodass deren Position die Vorhersage des Meniskus erlaubt.

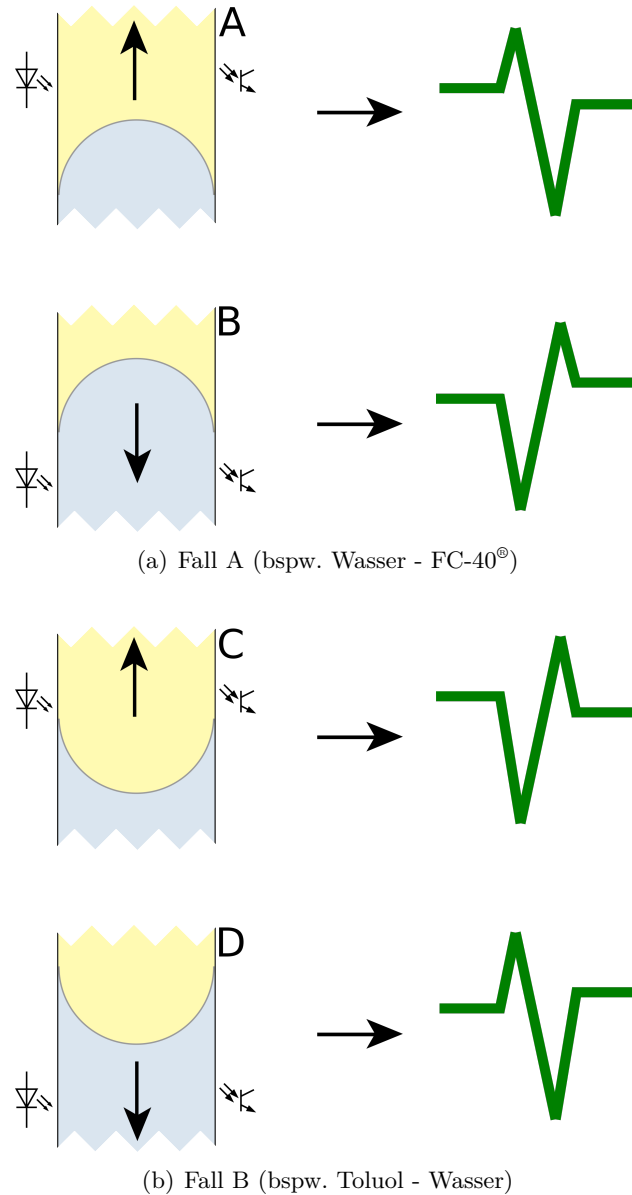


Abbildung 3.37: Übersicht über die vier möglichen Messverläufe, die sich ergeben können. Detaillierte Erläuterungen dazu befinden sich im Text.

Abbildung 3.38 zeigt eine Messung der Spannung einer Lichtschranke im Verlauf der Füllung des Phasentrenners mit unterschiedlichen Flüssigkeiten: vorgelegt im Phasentrenner war FC-40[®], welches mit 1 mL min^{-1} Toluol verdrängt wurde. Nach Befüllung mit Toluol wurde dieses mit 1 mL min^{-1} Wasser aus dem Phasentrenner verdrängt. Die gelbe Linie zeigt die gemittelte Spannung für FC-40[®] (4,63 Volt), die grüne Linie die gemittelte Spannung für Toluol (4,83 Volt) und die blaue Linie die gemittelte Spannung für Wasser (4,65 Volt). Man erkennt deutlich, dass der Spannungsunterschied zwischen Wasser und Toluol ausreichend ist, um die Phasen sowohl durch den signifikanten Unterschied der optischen Dichte leicht voneinander zu unterscheiden, als auch mittels des charakteristischen

Durchtrittsmusters der Phasengrenzfläche diese Unterscheidung zu treffen. Da der gemessene Spannungsunterschied zwischen der Wasserphase und der FC-40[®]-Phase jedoch nur sehr gering ist, ist eine Phasenerkennung über die optische Dichte beider Substanzen im Rahmen der Messungenauigkeit nicht sicher möglich und muss über die Erkennung des Phasengrenzflächendurchtritts erfolgen. Ein weiteres Beispiel hierfür ist die Trennung von Wasser und Octanol, bei denen sich die Messwerte der Lichtabsorption bei den verwendeten UV-LEDs um weniger als 0,5 % voneinander unterscheiden.

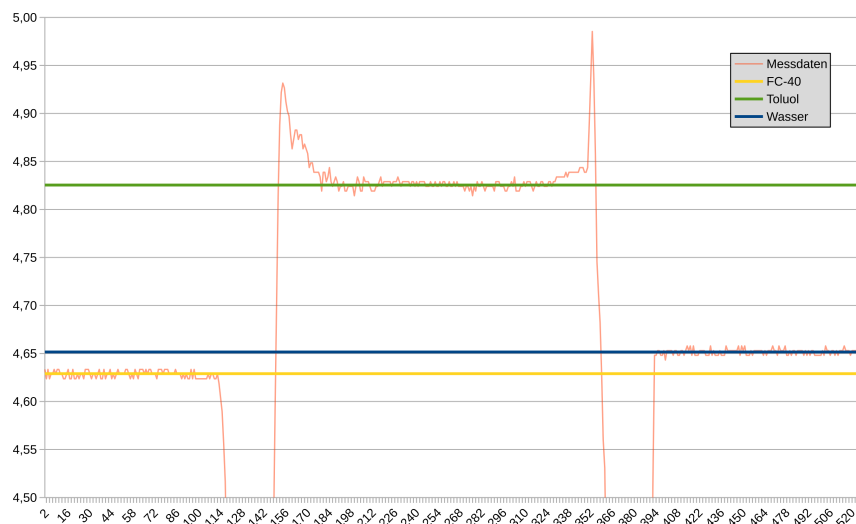


Abbildung 3.38: Vergleich der gemessenen Spannungen (in Volt) für Wasser, Toluol und FC-40[®] anhand einer Messreihe (siehe Text)

Zusammenfassend lässt sich festhalten:

- Die optische Phasenerkennung ermöglicht den einfachen Zugang zur dynamischen Phasenseparation, jedoch lassen sich hiermit nicht alle Begebenheiten abdecken.
- Erst die Methode der optischen Phasengrenzflächenerkennung erlaubt, gerade bei ähnlicher Lichtabsorption beider Phasen im Wellenlängenbereich der verwendeten UV-LEDs, die exakte Erkennung der Position der Phasengrenze. Zusätzlich erhält man noch die wichtige Information, in welche Richtung sich die Phasengrenze gerade bewegt. So können auch Phasen mit geringsten Absorptionsunterschieden zuverlässig unterschieden werden.
- Einzig zur Differenzierung zwischen zwei lichtundurchlässigen Phasen sind beide Erkennungsmethoden gleichermaßen ungeeignet.

3.3 Fraktionierer

Neben der im vorherigen Kapitel beschriebenen Trennung zweier oder mehrerer Phasen ist zusätzlich eine zeitliche Trennung verschiedener Fraktionen eines Reaktionslaufes von Interesse, insbesondere dann, wenn die Reaktionsbedingungen (Temperatur, Konzentrationsverhältnisse, Verweilzeit, etc.) automatisiert zeitlich variiert werden. Auf dem Markt sind unterschiedliche Systeme zur Fraktionssammlung erhältlich. Die meisten Systeme eint, dass diese keine individuelle Anpassung der Intervalldauer einer jeden Fraktion zulassen. In der Mikrofluidik ist es aber unumgänglich, flexible Intervalle beim Sammeln der Proben zu realisieren, da beispielsweise beim Parameterscreening einer Reaktion eine Änderung der Gesamtflussrate um die Hälfte die Dauer zum Sammeln eines vergleichbaren Fraktionsvolumens verdoppelt. Auch wird normalerweise die erste Fraktion nach dem Anfahren bis zur Equilibrierung der Reaktion separiert und verworfen. Gleichsam kann eine Parameteränderung im Lauf der Reaktion stattfinden, was eine Trennung des Übergangs von dem vorherigen Lauf erfordert, bis sich das Reaktionsgleichgewicht wieder eingestellt hat.

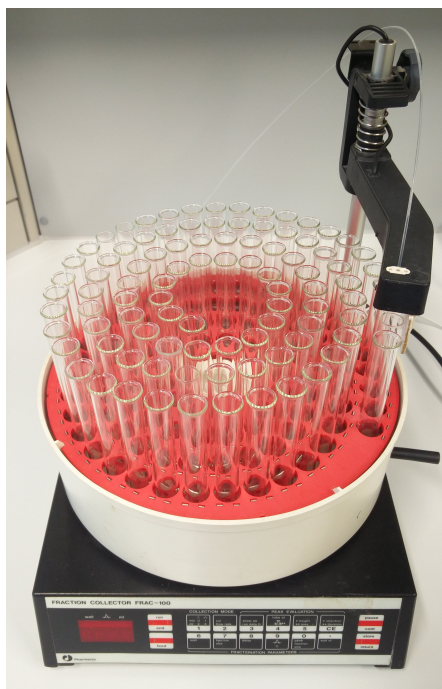


Abbildung 3.39: Modifizierter Säulenautomat FRAC-100

Die häufigste Lösung dieses mikrofluidischen Fraktionierungsproblems besteht im manuellen Austausch des Auffanggefäßes am Ausgang des Reaktionssystems. Um ein System mit möglichst wenig erforderlicher Benutzereinbindung beziehungsweise vollständig autonom laufen zu lassen, ist ein automatisches Fraktionierungssystem notwendig, das direkt durch die zentrale Kontrolleinheit gesteuert wird, welche auch die Reaktionsparameter überwacht.

3.3.1 Funktionsweise

Es wurde ein im Labor vorhandener Säulenautomat³³ um einen Mikrocontroller erweitert, der dessen Steuerung übernimmt und entweder in vorher festgelegten Zeitintervallen oder auf entsprechende Befehle durch die zentrale Steuerungseinheit eine neue Fraktion beginnt. Der Säulenautomat FRAC-100 verfügt über eine TTL³⁴-fähige 15-polige Schnittstelle, die durch den Hersteller vollständig dokumentiert ist[50].

3.3.2 Technische Realisierung

Der verwendete Arduino Nano³⁵ bildet das nötige Gegenstück zu der Schnittstelle des Säulenautomaten und übersetzt die Befehle der zentralen Steuerungseinheit in elektronische Signale. Durch seine kleine Bauform passt er in handelsübliche Gehäuse, welche nicht breiter als der 15-polige Sub-D-Stecker sind.

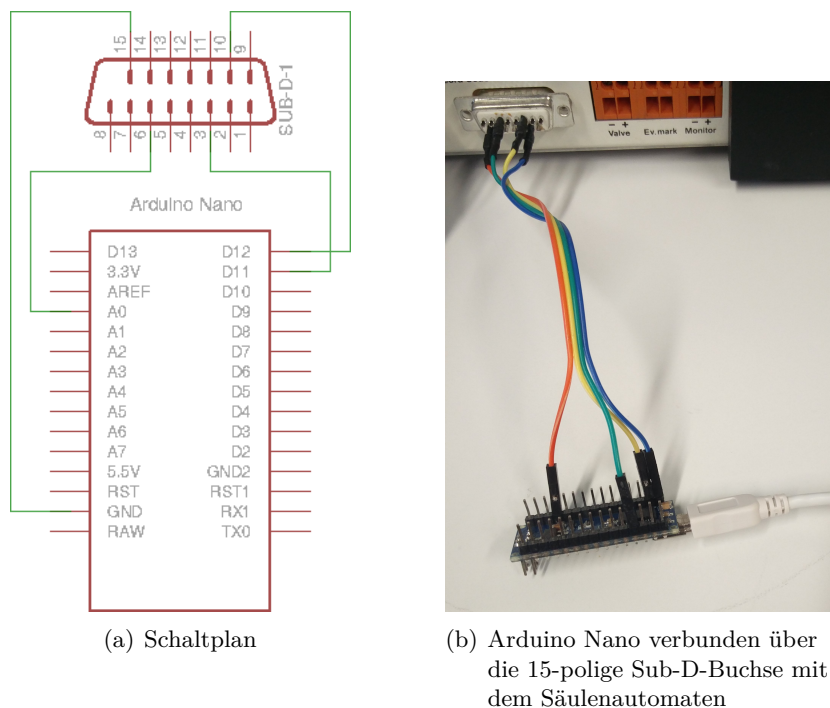


Abbildung 3.40: Schaltplan und Aufbau der Arduino-Steuerungseinheit (ohne Gehäuse)

³³Bei dem verwendeten Säulenautomaten handelt es sich um einen Fraction Collector FRAC-100 von Amersham Biosciences AB, Schweden, Datenblatt siehe Anhang B, der über einen Drehteller bis zu 95 schneckenförmig angeordnete Reagenzgläser (\varnothing 10-18 mm, 50-180 mm Länge) nacheinander befüllt.

³⁴TTL: Transistor-Transistor-Logik; elektrotechnischer Standard für logische Schaltungen in der seriellen Übertragung von *low*- und *high*-Pegeln auf 5 V-Basis.

³⁵Der Arduino Nano verfügt auch über einen Atmel ATMEGA328P vergleichbar dem Arduino Uno, die Platine wurde aber auf eine möglichst kleine Bauform optimiert.

Für die Steuerung des Säulenautomaten sind nur 3 der 15 möglichen Leitungen des Sub-D-Steckers nötig. Neben der unumgänglichen Masseleitung (Ground, Pin 15, orange) handelt es sich zusätzlich noch um den Pin 3 (Feed, gelb), um den Fraktionswechsel zu initiieren und Pin 10 (Operable, blau), der der Säulenautomaten in den Modus der externen Steuerung versetzt. Mittels dem im Folgenden zusätzlich verwendeten, optionalen Pin 6 (Event mark, grün) erfolgt die Rückmeldung des Säulenautomaten und wird durch den Mikrocontroller verarbeitet.

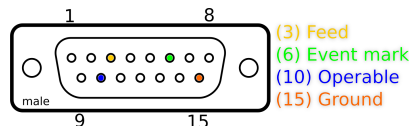


Abbildung 3.41: Steckerbelegung (siehe Text)

Um eine neue Fraktion zu beginnen, muss zuerst Pin 10 mit Masse (logisch *low*) verbunden werden, um den Säulenautomaten für den Empfang externer Steuerungssignale vorzubereiten. Nun wird durch ein 5 V-Signal von mindestens 50 ms Dauer an Pin 3 der Wechsel des Reagenzglases veranlasst. Dies erfolgt mittels eines Pulses an einem der digitalen Ausgänge des Arduino Nano, in diesem Falle Pin D11 (siehe Abbildung 3.40 (a)). Der steuernde Arduino Nano misst fortwährend über seinen analogen Eingang A0 das *Event mark*-Signal des Säulenautomaten. Im Falle des erfolgreichen Reagenzglaswechsels wird der standardmäßige *high*-Pegel des Signals für 200 ms zum *low*-Pegel. Diese Rückmeldung des Säulenautomaten wird entweder vom Arduino Nano direkt oder an einer zentralen Steuerungseinheit verarbeitet oder an einen Computer zur Anzeige weitergeleitet.

3.3.3 Software

Im Folgenden wird die auf dem Arduino Nano laufende Software zur Intervall-Steuerung des Säulenautomaten vorgestellt. Neben der Anzahl der Reagenzgläser (*tube*), die beim einprogrammierten Lauf genutzt werden sollen, wird im Kopfteil des Programms jeweils noch die Zeitspanne (*interval*) in Sekunden angegeben, in der im entsprechenden Reagenzglas eine Fraktion gesammelt wird. Nach Ablauf der Zeit wird das Karussell des Säulenautomaten um genau ein Reagenzglas weiter gedreht und die nächste vorher festgelegte Zeit abgewartet.

Für den Arduino entwickelte Programme gliedern sich in einen `setup()`-Teil und einen `loop()`-Teil. Der `setup()`-Teil wird einmalig beim Start der Software ausgeführt, der `loop()`-Teil, wie der Name schon sagt, dauerhaft bis zu einer expliziten Austrittsbedingung wiederholt. Die Software zur Steuerung des Säulenautomaten benötigt nur den `setup()`-Teil, da nach der Abarbeitung aller Programmschritte die Programmausführung beendet wird.

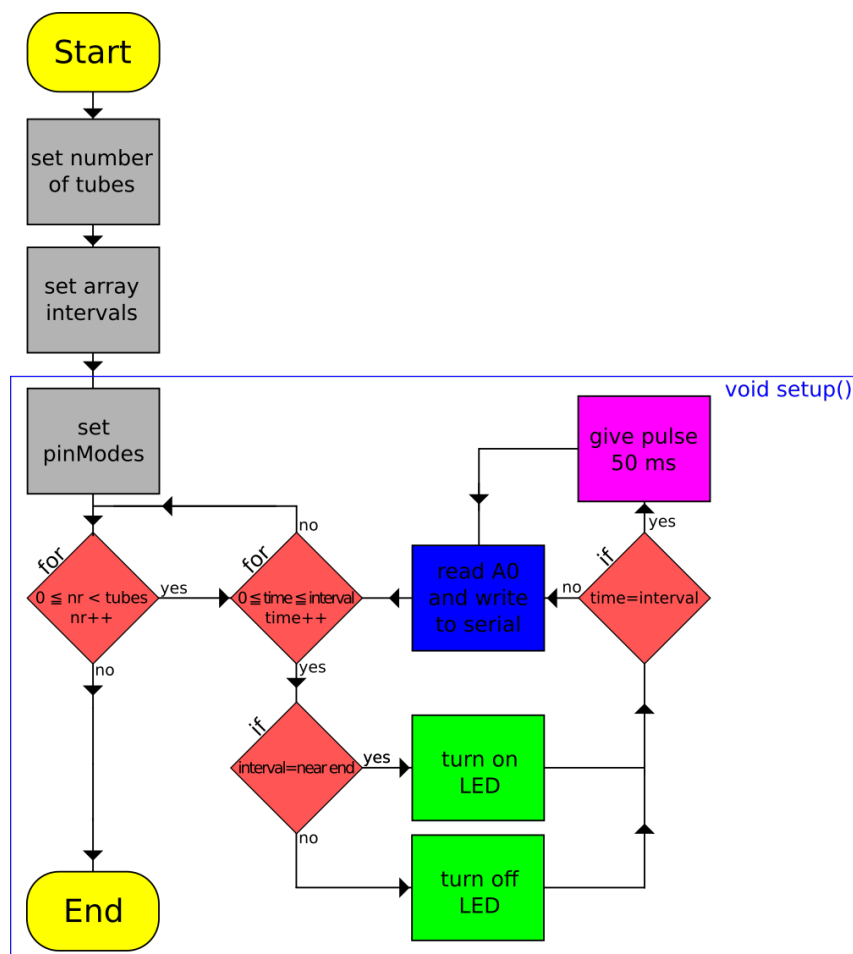


Abbildung 3.42: Programmablaufplan der Software zur Steuerung des Säulenautomaten

Zuerst wird zur Rückmeldung und Programmablaufüberwachung eine serielle Konsole mit 9600 Baud geöffnet. An diese wird im weiteren Verlauf des Programms direkt der Pegel des Pulses und der Pegel des ersten analogen Eingangs A0 mit dem Rückmeldesignal des Säulenautomaten weitergeleitet³⁶. Die eigentliche Softwareroutine prüft zuerst, ob nicht bereits die gewünschte Anzahl Reagenzgläser abgearbeitet wurde. Ist dem nicht so, startet die Zeitschleife für die vorgegebene Zeit. Mit dem Erreichen des Endes des Intervalls wird Pin D11 für 60 ms mit 5 V versorgt (logisch *high*), um das Probenkarussell ein Reagenzglas weiter zu drehen. Zur visuellen Rückmeldung eines Pulses wird einige Takte davor die eingebaute LED eingeschaltet, da die kurze Aktivierung der LED nur für die 60 ms Dauer des Pulses für das menschliche Auge nicht wahrnehmbar ist. Am Fuß der Schleife erfolgt die Rückmeldung über die serielle Schnittstelle.

³⁶Über den in die Arduino IDE integrierten seriellen Plotter erfolgt eine grafische Überwachung der Programmfunktion zur Laufzeit. Sie steht seit Version 1.6.6 der Arduino IDE zur Verfügung.

Listing 3.8: Programmbeispiel zur Ansteuerung des Fraktionierers

```

1 // Number of tubes , maximum 90
2 int tube = 10;
3
4 // Interval in seconds , minimum 5 seconds
5 int interval[90] = { 10,10,10,10,10,10,10,10,10,10,10,
6                     10,10,10,10,10,10,10,10,10,10,10,
7                     10,10,10,10,10,10,10,10,10,10,10,
8                     10,10,10,10,10,10,10,10,10,10,10,
9                     10,10,10,10,10,10,10,10,10,10,10,
10                    10,10,10,10,10,10,10,10,10,10,10,
11                    10,10,10,10,10,10,10,10,10,10,10,
12                    10,10,10,10,10,10,10,10,10,10,10,
13                    10,10,10,10,10,10,10,10,10,10,10 };
14 int return_int = 0;
15 int return_ext = 0;
16
17 void setup() {
18   Serial.begin(9600);
19   pinMode(11, OUTPUT); // FEED-Pin (3)
20   pinMode(12, OUTPUT); // OPERABLE-Pin (10)
21   pinMode(LED_BUILTIN, OUTPUT);
22   digitalWrite(11, LOW);
23   digitalWrite(12, LOW); // keep OPERABLE-Pin active (low)
24   delay(1000);
25   for (int nr = 0; nr < tube; nr++) {
26     for (long time = 0; time <= (interval[nr]*10); time++) {
27       // just for visual feedback turn on LED
28       if (time > ((interval[nr]*10)-3)) {
29         digitalWrite(LED_BUILTIN, HIGH);
30       }
31       else {
32         digitalWrite(LED_BUILTIN, LOW);
33       }
34       // pulse high for 60ms
35       if (time == (interval[nr]*10)) {
36         digitalWrite(11, HIGH);
37         return_int = 1024;
38       }
39       else {
40         digitalWrite(11, LOW);
41         delay(40);
42         return_int = 0;
43       }
44       delay(60);
45
46
47

```

```
48
49     return_ext = analogRead(A0);
50     // write to serial port for serial plotter in Arduino IDE
51     Serial.print(return_int);
52     Serial.print(" ");
53     Serial.println(return_ext);
54 }
55 }
56 exit;
57 }
58 void loop() { }
```

Vergleichbar mit der Software zur Intervallsteuerung des Fraktionierers nimmt die interaktive Software zur individuellen Steuerung des Fraktionierers über die integrierte serielle Schnittstelle des Arduino Nano neben der Ausgabe von Rückmeldewerten auch ein Signal zum Probenwechsel entgegen und verarbeitet es entsprechend. Alternativ, beispielsweise beim Anschluss an andere Mikrocontroller, erfolgt eine Übertragung des Signals auch über die direkte Verbindung zweier Pins der Mikrocontroller. Auf das Auslesen und Verarbeiten von Daten der seriellen Schnittstelle wird dadurch zu Gunsten performanterer in Echtzeit arbeitender Software verzichtet.

Die Erweiterung des FRAC-100 um einen Mikrocontroller öffnet das Feld der flexiblen Probensammlung, in dem nicht nur im Rahmen des Parameterscreenings einer Reaktion die Zeiten zum Sammeln gewünschter Probenvolumina an Spülintervalle oder veränderliche Flussraten angepasst wird, sondern auch erstmals die vollständige Integration der abschließenden Probensammlung in autonome mikrofluidische Systeme wie das Internet of Lab erfolgt.

Kapitel 4

Steuerungssoftware

Neben den bereits in den vorherigen Kapiteln vorgestellten Softwareentwicklungen, welche direkt auf den jeweiligen Arduino Mikrocontrollern lauffähig sind, war die Entwicklung einer zentralen Steuerungssoftware notwendig, welche neben der Steuerung und Überwachung der Aktoren, die von den Sensoren bereitgestellten Informationen ausliest und verarbeitet, sowie die zentrale Steuerung der angeschlossenen Pumpen übernimmt. In diesem Kapitel wird der aktuelle Releasestand einer solchen zentralen Steuerungssoftware, deren überwiegende Aufgabe derzeit noch in der erweiterten Pumpensteuerung liegt, vorgestellt.

4.1 Pumpensteuerung

Um über die gesamte Anlagenlaufzeit gleichbleibende Umsätze und Ausbeuten bei chemischen Reaktionen im kontinuierlichen Fluss zu erhalten, liegt der Fokus neben dem Reaktor, in dem die Reaktion stattfindet, besonders auf der Rohstofflieferkette, die entsprechend einer vorherigen Definition ohne jegliche Abweichung alle zur Reaktion benötigten Edukte anliefern muss. Hierzu finden in der Mikrofluidik im Labormaßstab neben HPLC-Pumpen immer öfter die aus der Medizintechnik bekannten Spritzenpumpen Verwendung, welche mit frei wählbarer

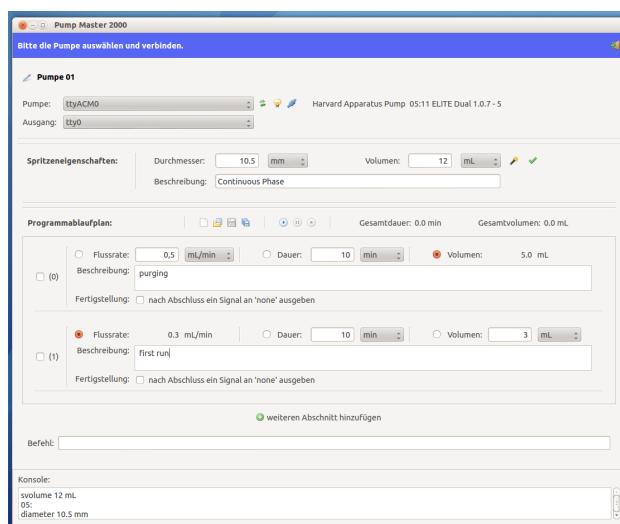


Abbildung 4.1: Frontend der Pumpensteuerung

Flussrate ein bestimmtes Volumen aus einer Spritze befördern. Viele der im Laborbedarf erhältlichen Modelle erlauben neben dem Einsatz spezialisierter Spritzen aus Glas oder

Edelstahl auch die Nutzung von Einmalspritzen aus PP/PE, wie sie in der Medizintechnik verwendet werden und welche in unterschiedlichen Volumina im Handel erhältlich sind.

Für alle in dieser Arbeit durchgeführten Reaktionen und Versuche kamen entweder Spritzenpumpen von Harvard Apparatus¹ oder aus dem Hause IMM² in Kombination mit Einmalspritzen³ zum Einsatz. Beide Typen von Spritzenpumpen erlauben eine externe Steuerung durch einen Computer über den USB-Anschluss und bieten sich damit für einen Einsatz in mikrofluidischen Systemen, die zentral durch einen Computer gesteuert und überwacht werden, an. Die Rohstofflieferkette stellt bei kontinuierlichen Systemen immer den Startpunkt mindestens eines Teils des Systems dar und gehört zu den Komponenten des Gesamtsystems, an denen ohne technischen Umbau der Anlage im laufenden Betrieb Reaktionsparameter verändert werden können. So zählt neben computergesteuerten Ventilen auch die Pumpensteuerung zu den Akteuren eines mikrofluidischen Systems. Gerade bei chemischen Reaktionen, für die im labortechnischen Versuchsaufbau ein Parameterscreening stattfinden soll, um möglichst die Reaktionsparameter⁴ zu ermitteln, bei denen ein Verfahren am effizientesten läuft. Dies sind beispielsweise die Reaktionsparameter, bei denen der maximale Umsatz ohne Nebenreaktionen möglich ist oder die Temperatur, bei der die Reaktion gerade noch stattfindet. Für ein solches Parameterscreening ist es wichtig, dass eben diese direkt beeinflussbaren Reaktionsparameter an zentraler Stelle gesetzt werden und mittels entsprechender Algorithmen ebenda im Laufe des Screenings direkt angepasst werden.

Für diverse Spritzenpumpentypen existiert herstellereigene Software, mit welcher die Spritzenpumpen in engen Grenzen betrieben werden können. Diese Software genügt aber nicht vollumfänglich den für eine zentrale Softwaresteuerung notwendigen Kriterien:

- Programmierbarkeit durch variable Programmablaufpläne
- Möglichkeit, externe Ereignisse auszulösen
- Ansteuerung unterschiedlicher Pumpentypen (Herstellerunabhängigkeit)
- freie Betriebssystemwahl des zentralen Steuerungscomputers
- Einbindung weiterer Sensormesswerte in die Protokolldatei (Datenlogger)
- Client-Server-Architektur, Trennung von Frontend und Backend

¹Harvard Apparatus Pump 11 Elite, Datenblatt siehe Anhang B

²Eigenentwicklung des ehem. Institut für Mikrotechnik Mainz (IMM), heute Fraunhofer IMM

³Injekt@Solo-Einmalspritzen von B.Braun; 2, 5, 10 und 20 mL; zentrischer Luer-Lock-Konus

⁴Zu den wichtigsten direkt beeinflussbaren Reaktionsparametern zählen die Reaktionstemperatur, der Druck, das Verhältnis der eingesetzten Edukte zueinander und die Verweilzeit.

Im Rahmen dieser Arbeit wurde die Programmierung einer Software, die die oben genannten Kriterien erfüllt, begonnen. Als Programmiersprache wurde Python⁵ gewählt, da diese Programmiersprache auf allen gängigen Betriebssystemen (Stand 2018) interpretiert werden kann und ihre volle Funktion auch auf speziellen Kleinstcomputern wie dem Raspberry Pi gewährleistet ist. So läuft auf einem solchen Kleinstcomputer das Backend in Form der zentralen Steuereinheit des mikrofluidischen Reaktionssystems, benutzerseitig wird das Frontend beispielsweise per Webinterface bereitgestellt. Dies ermöglicht eine sogenannte Remotesteuerung, bei der der Bediener nicht mehr zwingend am Ort des Geschehens sein muss, sondern das System von einem beliebigen im gleichen Netzwerk oder mit dem Internet verbundenen Gerät aus steuert.

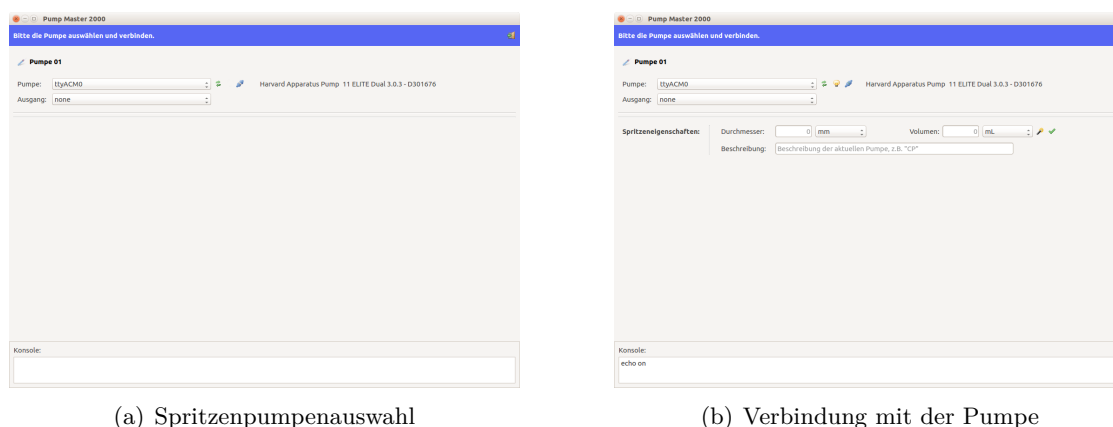
Die hier vorgestellte Software bindet beliebige Spritzenpumpentypen, welche eine Ansteuerung per serieller Schnittstelle ermöglichen, ein, indem in der Konfiguration des Backends im Kopfteil des Backendprozess Quellcodes von der standardmäßig verwendeten Harvard Apparatus Pump 11 Elite abweichende Parameter zur seriellen Steuerung hinterlegt werden können. Zum Ausführen der Software ist die Installation einer Python3-Umgebung erforderlich. Zusätzlich müssen die Python3-Module `numpy`, `serial`, `pyside`, `pyside-qtgui` installiert sein, um die Verbindung zu den Spritzenpumpen via serieller Schnittstelle und die grafische Ausgabe des Frontends zu ermöglichen. Der aktuelle Releasestand der Spritzenpumpensoftware *Pump Master 2000* ist ohne weitere Anpassungen derzeit direkt unter Linux oder einem vergleichbaren unixoiden Betriebssystem⁶ lauffähig, zur Nutzung unter Microsoft Windows muss die Abfrage der seriellen Schnittstelle angepasst werden.

Auf Grund der Komplexität und des Umfangs des gesamten Quellcodes der Pumpensteuerung ist diese vollständig und zusammenhängend im Anhang abgedruckt. Im Folgenden zeigen einige Screenshots die Funktionsweise und den Umfang des aktuellen Releasestands von *Pump Master 2000*. Nach dem Start bietet die Software alle mit dem System verbundenen Spritzenpumpen zur Auswahl. Zusätzlich lässt sich ein Empfänger für Triggersignale⁷ auswählen, sofern entsprechende Geräte am PC angeschlossen sind.

⁵Die Programmiersprache Python wurde ursprünglich in den Niederlanden entwickelt und ist eine interpretierte höhere Programmiersprache, deren Syntax auf Übersichtlichkeit optimiert und die leichte Verständlichkeit hin reduziert ist. Der Name geht auf die englische Komikergruppe Monty Python zurück.

⁶Zu den unixoiden oder unixähnlichen Betriebssystemen gehören alle Betriebssysteme, die die Funktionsweise von UNIX nachahmen und damit grundlegende Systemstrukturen und Befehle implementieren, wie sie mit UNIX seit 1969 eingeführt wurden. Neben Linux mit allen seinen verschiedenen Distributionen gehören auch alle BSD-Varianten und auch das aus der BSD-Linie hervorgegangene macOS von Apple Inc. dazu.

⁷Als Empfänger für Triggersignale dient beispielsweise ein Arduinio, wie in Kapitel 3.3, Seite 91, in Form des Fraktionierers vorgestellt: Bei nach Abschluss eines Pumpzyklus wird dadurch der Fraktionierer zum Wechsel des Auffangbehälters veranlasst.



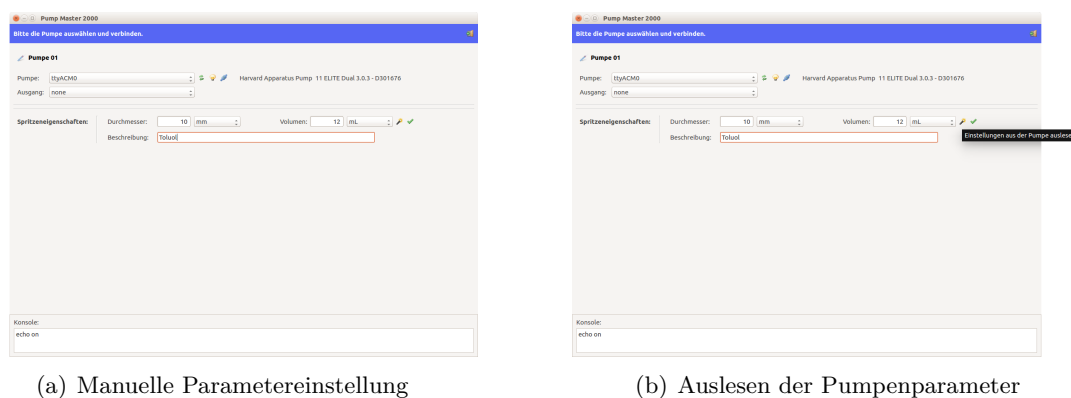
(a) Spritzenpumpenauswahl

(b) Verbindung mit der Pumpe

Abbildung 4.2: Nach dem Start: Auswahl der zu steuernden Spritzenpumpe und Herstellen der Verbindung mit dieser

Wurde die gewünschte Spritzenpumpe ausgewählt, stellt man die serielle Verbindung zu dieser her. Spritzenpumpen von Harvard Apparatus signalisieren die Verbindungsherstellung durch ein kurzes, von *Pump Master 2000* initiiertes, Blinken des Displays der Spritzenpumpe, welches auch durch Klick auf das Glühbirnensymbol erneut erfolgen kann.

Wenn die Verbindung mit der Spritzenpumpe hergestellt ist, müssen die Parameter der verwendeten Spritze der Software mitgeteilt werden. Dies geschieht entweder durch Eingabe der Parameter durch den Anwender oder durch Auslesen aus der Spritzenpumpe (Zauberstab-Symbol), sofern die Parameter bereits in der Spritzenpumpe von der vorherigen Nutzung hinterlegt sind. Zusätzlich lässt sich der Pumpe eine Beschreibung zuteilen, die bei der Ansteuerung mehrerer Spritzenpumpen hilft, die Übersicht zu wahren.



(a) Manuelle Parametereinstellung

(b) Auslesen der Pumpenparameter

Abbildung 4.3: Einstellen der Spritzenparameter

Nach Übernahme der Spritzenparameter ist es möglich, Programmablaufpläne anzulegen. Des Weiteren können bereits angelegte und zuvor gespeicherte Programmablaufpläne an dieser Stelle geladen werden. Da die Programmablaufpläne in einem generischen Format vorliegen, also unabhängig von dem zum Einsatz kommenden Spritzenpumpentyp oder der verwendeten Spritze sind, können auf diesem Wege auch komplexe Programmablaufpläne

auf andere Pumpen-Spritzen-Konstellationen übertragen werden, ohne diese neu entwerfen zu müssen. Diese Kompatibilität wird jedoch durch die Güte der Spritzenpumpen begrenzt: nur wenige Spritzenpumpen sind dazu in der Lage, beispielsweise Flussraten von Nanolitern pro Minute bei Verwendung von 20 mL-Spritzen zu ermöglichen. Entsprechende Grenzen müssen dem Datenblatt der Spritzenpumpe entnommen und separat beachtet werden. Aufgrund der Vielfalt an Spritzenpumpentypen, verbunden mit der Dynamik des Marktes ist eine softwareseitige Prüfung auf eine solche Konsistenz des Programmablaufplans derzeit nicht möglich.

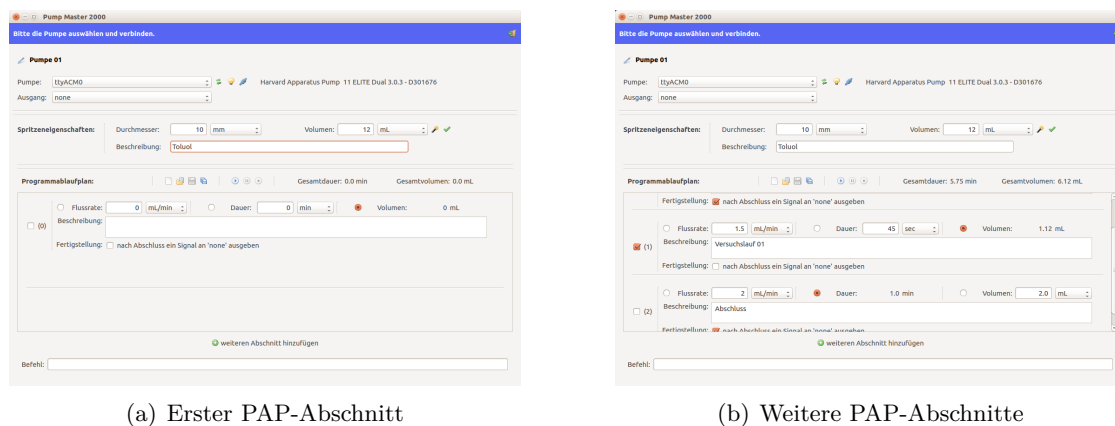
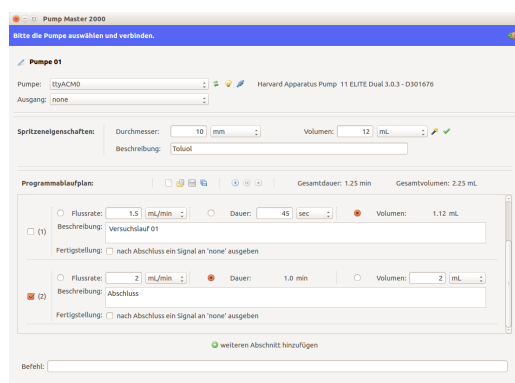
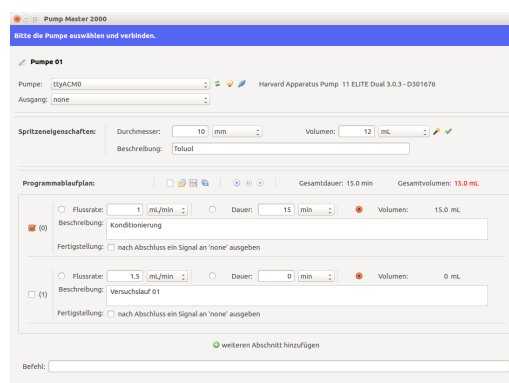


Abbildung 4.4: Erstellen eines Programmablaufplanes

Pump Master 2000 erlaubt das Hinzufügen beliebig vieler Abschnitte innerhalb des Programmablaufplans, welche alle einzeln aktiviert und auch deaktiviert werden können, damit auch umfangreichere Programmablaufpläne weiterhin flexibel eingesetzt werden können. Jeder Abschnitt erwartet die Eingabe von zwei aus drei möglichen Parametern: wahlweise können Flussrate und Eluationsdauer, Eluationsdauer und Eluationsvolumen oder Flussrate und Eluationsvolumen vorgegeben werden. Der entsprechend dritte Parameter wird dynamisch aus den beiden anderen Parametern berechnet. Zusätzlich wird die Eluationsdauer und das Eluationsvolumen aller aktivierten Abschnitte des Programmablaufplans aufaddiert und gezeigt. Sobald entweder das Eluationsvolumen eines Abschnittes oder das gesamte Eluationsvolumen das voreingestellte Gesamtvolumen der Spritze überschreitet, gibt die Software entsprechenden Hinweis aus und färbt die Volumenangaben rot ein. Neben den Eluationsparametern kann jeder Abschnitt optional mit einer Beschreibung versehen werden, um eine bessere Übersicht über den gesamten Programmablaufplan zu behalten. So kann im Beschreibungstext die Nummer des Reagenzglases im Karussell des Fraktionierers hinterlegt werden, um eine spätere schnelle Zuordnung der Einzelfraktionen zu ermöglichen. Darüber hinaus kann für jeden Abschnitt ein Trigger gesetzt werden. Wurde zuvor ein Empfänger für Triggersignale definiert, verschickt die Software nach Beendigung eines Abschnitts ein Triggersignal. So wird beispielsweise der Fraktionierer zum Wechsel der Vorlage aufgefordert.



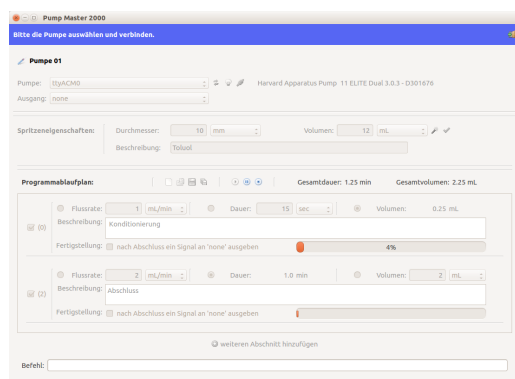
(a) Inaktiver PAP-Abschnitt



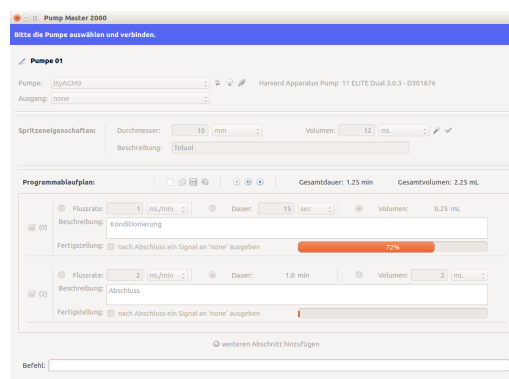
(b) Eluationsvolumen übersteigt Spritzenvolumen

Abbildung 4.5: Fehlerbehandlung im Programmablaufplanes

Wurden alle gewünschten Abschnitte des Programmablaufplans definiert, wird die serielle Abarbeitung aller aktiven Abschnitte durch Anklicken des Play-Symbols gestartet. *Pump Master 2000* arbeitet nun alle aktiven Abschnitte ab, wobei inaktive Abschnitte während der Ausführung ausgeblendet werden, um nur den wirklichen Programmablaufplan zu sehen.



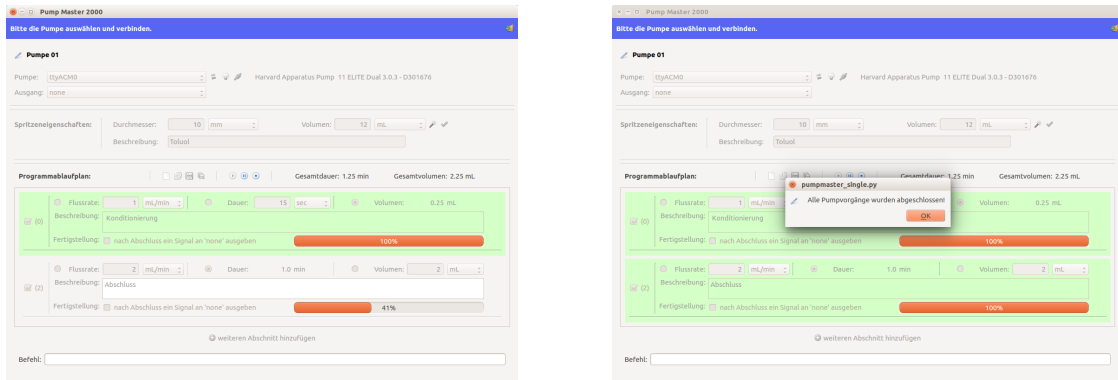
(a) Beginn



(b) Abschnitt 1

Abbildung 4.6: Durchlauf des Programmablaufplanes - Teil 1

In dem Abschnitt, welcher gerade ausgeführt wird, zeigt ein dynamisch wachsender Balken den Prozessfortschritt in Echtzeit an. Bereits erfolgreich abgearbeitete Abschnitte werden mit grünem Hintergrund versehen. Beides trägt dazu bei, dass man auch während des Versuchslaufs stets den Überblick über den aktuellen Fortschritt des Pumpvorgangs behält. Nach Abschluss des gesamten Programmablaufplans signalisiert ein Popup-Fenster die erfolgreiche Beendigung des Pumpvorgangs. Ein Klick auf *OK* führt wieder zurück zum vollständigen, editierbaren Programmablaufplan, wie er von vor dem Start bekannt ist.



(a) Abschnitt 2

(b) Ende

Abbildung 4.7: Durchlauf des Programmablaufplanes - Teil 2

Aufgrund der Nutzung von Multiprozessorfähigkeiten ist eine simultane individuelle Steuerung mehrerer Spritzenpumpen aus einem Frontend heraus realisierbar und für ein späteres Softwarerelease angedacht. Durch die Verwendung von Python3 als Programmiersprache des Backends ist die Implementierung eines Webservers zum einfachen Aufruf eines Webfrontends mittels Webbrowser problemlos möglich und Teil kommender Softwarereleases. Zusätzlich geplant ist, sofern der verwendete Spritzenpumpentyp entsprechende Messung zulässt, eine Anzeige des aktuellen Füllstandes entsprechend des eingestellten Spritzenvolumens im Verhältnis zum bereits eluierten Volumen. Der häufig in anderer Software verwendete idealisierte Füllstand der Spritze unter der Annahme einer vollen Spritze zu Beginn entspricht einer Vermutung ohne Beweis und ist daher ohne Aussagekraft und nur von kosmetischer Natur.

Kapitel 5

Internet of Lab

Die in dieser Arbeit vorgestellten Entwicklungen sind allesamt für sich autarke Module, welche zur Zusammenstellung eines kontinuierlichen mikrofluidischen Systems je nach Bedarf verwendet werden können. Alle Module sind dazu in der Lage, mit einem Steuerungscomputer zu kommunizieren - manche teilen der Steuerungseinheit Messwerte mit, andere warten auf entsprechende Befehle, um die ablaufende Reaktion zu beeinflussen. Eine zentrale Steuerungssoftware, wie in Kapitel 4 ansatzweise vorgestellt, kann die einzelnen Module auslesen und zeit- oder eventgesteuert eine Anpassung von Reaktionsparametern vornehmen. Das System erlaubt nicht nur eine lokale Überwachung und Steuerung durch den Bediener, sondern darüber hinaus einen Zugriff über das Internet, welcher beispielsweise über eine App oder ein Webinterface vonstatten gehen kann. Da dieses mit dem Internet verbundene Netzwerk aus Sensoren und Aktoren, gesteuert durch eine zentrale Steuerungseinheit, allgemein unter dem Begriff *Internet of Things (IoT)* bekannt ist, bietet es sich an, hier von einem **Internet of Lab (IoL)** zu sprechen.

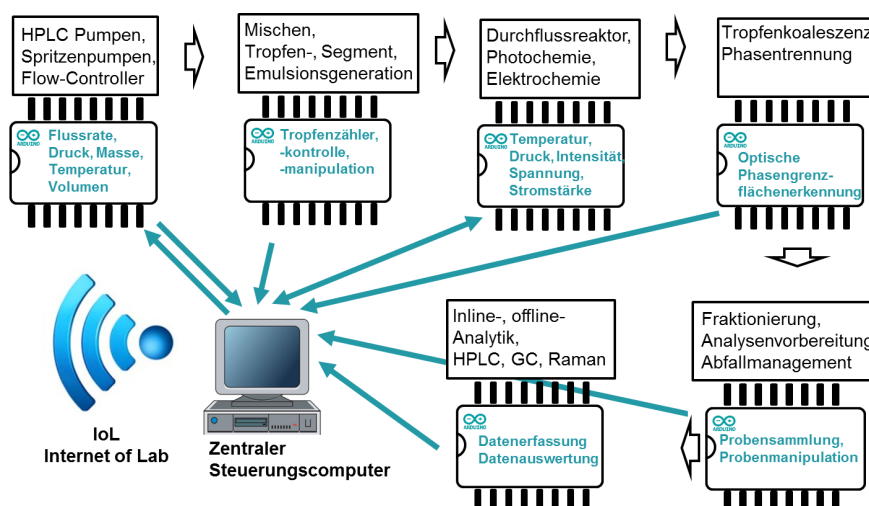


Abbildung 5.1: Schema der zentralen Steuerung des Internet of Lab mit den in dieser Arbeit vorgestellten unterschiedlichen Modulen in einem gemeinsamen System

Das Internet of Lab stellt ein neues, modulares Konzept des Anlagenbaus im Labormaßstab dar: alle Komponenten, die für die Umsetzung einer chemischen Reaktion im kontinuierlichen Fluss benötigt werden, werden wie gehabt als kontinuierliches System verbunden. Zusätzlich findet eine Verbindung über Datenaustauschleitungen, überwiegend via USB, statt. Zentraler Steuerungspunkt ist die Pumpensteuerungssoftware, die neben ihrer Grundfunktionalität, der Pumpensteuerung, auch Signale aus anderen Modulen aufnehmen und verarbeiten kann und zusätzlich weitere Einflussgrößen auf das System variieren kann. Im einfachsten Falle sorgt ein Triggersignal für das Auslösen einer Aktion, beispielsweise den Reagenzglaswechsel am Ende eines Pumpvorgangs.

Die folgende Abbildung zeigt das Anlagenkonzept eines kontinuierlichen zweiphasigen Systems, welches neben der Rückführung der abgetrennten kontinuierlichen Phase auch die optionale Rückgewinnung des Katalysators durch elektrochemische Regeneration erlaubt (9-11 in Abbildung 5.2). Denkbar ist die Oxidation eines Alkohols zu einem Aldehyd unter Verwendung von 2,2,6,6-Tetramethylpiperidinyloxy (TEMPO) und der anschließenden elektrochemischen Regeneration des TEMPO.

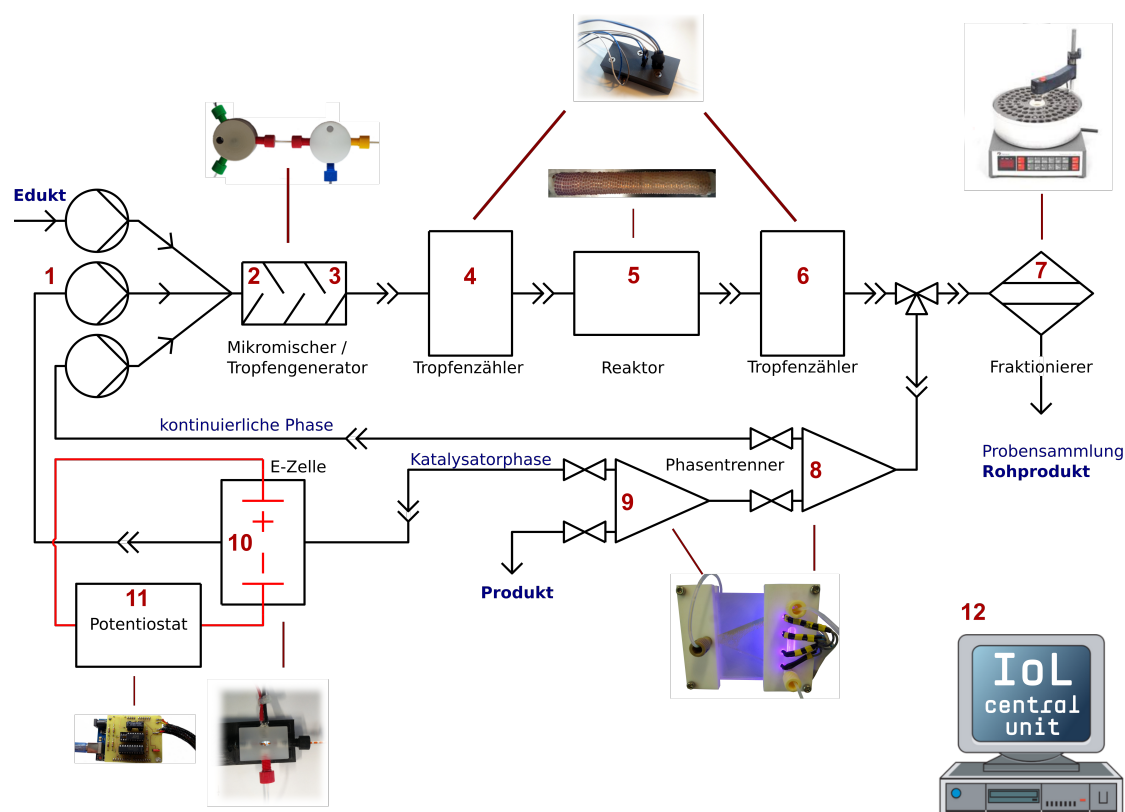


Abbildung 5.2: Konzept für ein kontinuierliches, tropfenbasiertes System mit einer elektrochemischen Katalysatorregeneration innerhalb des Katalysatorkreislaufs (siehe Text)

- 1** Pumpen: Sie versorgen das System mit Edukt/Agens, sorgen für die Zirkulation der kontinuierlichen Phase und des Katalysators und erlauben eine granuläre Flussmen-
genvariation
- 2** Mikromischer: Edukt und Katalysator/Agens werden gemischt (homogene Lösung)
- 3** Tropfengenerator: Hier entstehen Tropfen oder Segmente der Edukt-Katalysator-
Mischung innerhalb der kontinuierlichen Phase
- 4** Tropfenzähler:
 - homogene Lösung: Bestimmung der Lichtabsorption
 - heterogene Lösung: Prüfung der Qualität und Frequenz der Tropfen/Segmente
- 5** Reaktor: Er besteht im einfachsten Falle aus einem Verweilelement (gewickelte Stahl-
oder PTFE-Kapillare oder gefräster Reaktor) und befindet sich innerhalb eines Ther-
mostaten zur Temperatursteuerung.
- 6** Tropfenzähler:
 - homogene Lösung: Vergleiche die Lichtabsorption mit **4** als Indikator für den
Umsatz
 - heterogene Lösung: Prüfung der Qualität und Frequenz der Tropfen/Segmente,
Detektion von Koaleszenz
- 7** Probensammler: Sorgt für ein automatisches Sammeln von Proben des Rohprodukts
gemäß der Festlegung im DoE
- 8** Phasentrenner: Trennung von Rohprodukt und kontinuierlicher Phase, Kreislauffüh-
rung der kontinuierlichen Phase
- 9** Phasentrenner (optional): Trennung von Rohprodukt und verbrauchtem/unverbrauch-
tem Katalysator/Agens
- 10** Elektrochemische Zelle (optional): Zur Regeneration von Katalysator/Agens
- 11** Potentiostat: Elektrochemische Umsetzung
- 12** Iol zentrale Steuerungseinheit mit Zugang zum Internet

Ziel des Systems ist ein in sich geschlossenes mikrofluidisches Laborsystem, welches die gängigsten im Labor veränderbaren Reaktionsparameter autonom rastern kann, also beispielsweise eine bestimmte Reaktion bei unterschiedlichen Temperaturen mit verschiedenen Flussraten durchführt, sodass bei Anbindung eines Inline-Analysengerätes (z.B. Inline-IR, Inline-GC, Inline-Raman) direkt die Umsatz- und Ausbeutenabhängigkeit der veränderten Reaktionsparameter sichtbar wird. So ist der Bediener dazu in der Lage, nach der Vorgabe der zu testenden Reaktionsparameterintervalle, das System autark die Messungen in der gewünschten Granularität durchführen zu lassen und sich am Ende das Ergebnis von unzähligen Einzelmessungen kombiniert und wahlweise auch grafisch aufbereitet ausgeben zu lassen.

Bereits im praktischen Einsatz ist eine Anlage zur Umsetzung von 4-(4-Methoxybenzyl)-triphenylphosphoniumchlorid mit Terephthalaldehyd im Mikroreaktor [51]. Das folgende Schaubild zeigt den Systemaufbau:

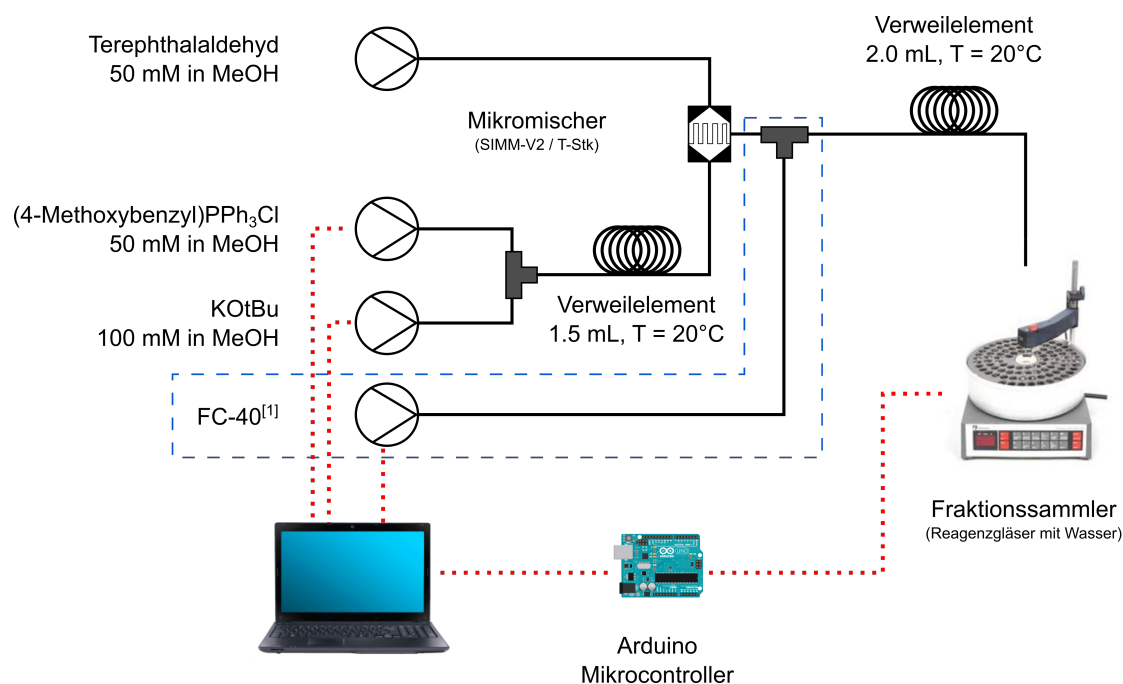


Abbildung 5.3: Anlagenschema der automatisierten Anlage zur Durchführung und Probenahme der Wittig-Reaktionen im kontinuierlichen Fluss unter Verwendung der in dieser Arbeit beschriebenen Pumpensteuerung kombiniert mit dem daraus getriggerten Fraktionssammler.

Quelle: Dissertation D. Karl [51]

^[1]Nur für zweiphasige Versuche eingebaut.

In dieser Anlage konnte nach einmaliger Programmierung der zentralen Steuerungseinheit ohne weitere Interaktionen des Experimentators ein vollständiges Design of Experiment (DoE) für Flussraten¹ zwischen $0,51 \text{ mL min}^{-1}$ und $2,67 \text{ mL min}^{-1}$ abgefahren werden, mitsamt der Abtrennung des Reaktionsvorlaufs und aller Übergänge zwischen einer Flussratenänderung und der Gleichgewichtseinstellung der Reaktion. Die Messung erstreckte sich über 14 unterschiedliche Flussraten, welche für zwei verschiedene Verweilzeiten und dies einmal unter Verwendung eines SIMM-V2-Mischers und einmal unter Verwendung eines T-Stücks ermittelt wurden. Daraus ergeben sich fast 60 Einzelmessungen, denen jeweils ein Reinigungs- und Konditionierabschnitt voraus geht, sodass über 120 Reaktionsabschnitte durchgeführt werden mussten. Die gesamte Messreihe konnte mit Hilfe des Internet of Lab nicht nur an einem Arbeitstag durchgeführt werden, sondern erforderte nach dem Start des Systems keine weitere Interaktion des Experimentators. Dieser führte in der Zwischenzeit die Analytik bereits beendeter Messungen durch.

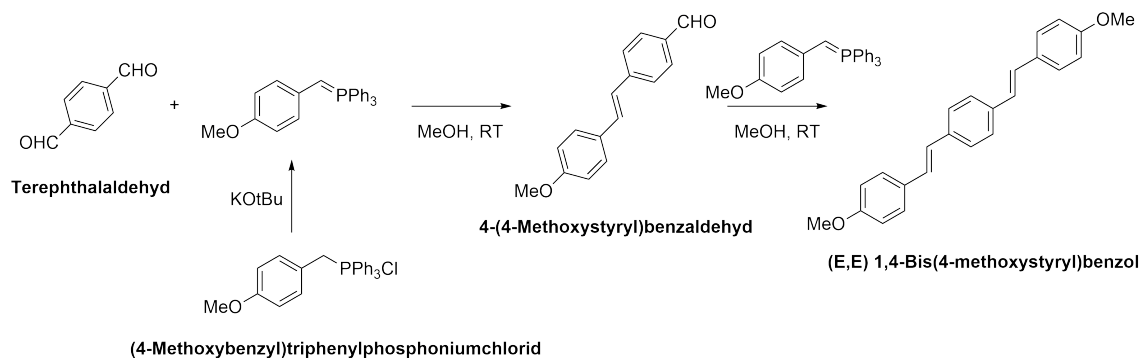


Abbildung 5.4: Reaktionsgleichung der Reaktion von Terephthalaldehyd mit (4-Methoxybenzyl)triphenylphosphoniumchlorid

Die Verbindung der Mikrofluidik mit intelligenter Computertechnologie erlaubt es, ein früher sehr zeit- und arbeitsintensives Rastern von Reaktionsparametern zur Ermittlung optimaler Reaktionsparameter automatisiert durch ein computergesteuertes System durchführen zu lassen und dadurch die menschliche Arbeitskapazität zu schonen und eine Beeinflussung durch menschliche Fehler zu vermeiden. Durch die hier vorgestellte Client-Server-Konzeption ist darüber hinaus eine externe Kontrolle bzw. Einflussnahme möglich, sodass sich das System auch für Versuche mit chemischen Reaktionen, die hochexplosiv, stark mutagen oder auf eine andere Art als stark lebensfeindlich gelten, geeignet sind.

¹Die unterste ($0,51 \text{ mL min}^{-1}$) und oberste ($2,67 \text{ mL min}^{-1}$) Grenze der für die Reaktion möglichen Flussraten war bereits vorher bekannt, sodass eine Ermittlung durch die Anlage nicht benötigt wurde.

Kapitel 6

Ausblick

Das in dieser Arbeit vorgestellte Konzept des *Internet of Lab* mitsamt der dazu bereits entwickelten Komponenten zeigt nur den Anfang der Möglichkeiten, welche die intelligente Vernetzung von Sensor- und Aktor-Komponenten zu einem Gesamtsystem bietet. Die hier gezeigten Komponenten decken nur einen Teil derjenigen Komponenten eines mikrofluidischen Systems ab, die durch elektronische Bauteile zu smarten Komponenten (steuerbar bzw. auslesbar) werden können. So ist beispielsweise unter Zuhilfenahme von Magnetventilen die Entwicklung einer smarten Weiche denkbar, welche in Kombination mit dem hier vorgestellten Tropfenzähler eine bestimmte Anzahl Tropfen bzw. ein bestimmtes Reaktionsvolumen aus dem kontinuierlichen Fluss entnimmt, um dieses während des fortlaufenden Prozesses zu entnehmen. So können in einem laufenden System von definierten Zwischenschritten oder Intermediaten Proben zur Analyse entnommen werden, ohne den kontinuierlichen Fluss zu beeinträchtigen. Auch die Eingliederung weiterer bereits bestehender computerisierter Komponenten, allen voran Inline-Analysegeräte in das bestehende *Internet of Lab* stellt einen wichtigen Schritt für die Zukunft dar.

Neben der Erweiterung der Zahl der Komponenten und der Weiterentwicklung dieser liegt ein besonderes Augenmerk auf dem zentralen Steuerungscomputer, der alle Komponenten verbindet. Dieser verarbeitet derzeit die vorher vom Experimentator festgelegten Programmablaufpläne und steuert die einzelnen Komponenten, sofern diese nicht wie der Phasentrenner autonom sind. Einzig im Fehlerfall ändert die zentrale Steuerung semi-eigenständig den aktuellen Programmablaufplan und wechselt auf den Fehlerstatus, der, wie auch zuvor festgelegt, alle Komponenten stoppt. Zukünftig ist der Einbau einer erweiterten Intelligenz bzw. grundlegenden Eingedenkverantwortlichen Steuerung durch die zentrale Steuereinheit denkbar: Ein Parameterscreening über mehrere Reaktionsparameter stellt mathematisch ein n -dimensionales Problem dar, bei dem n für die Anzahl der veränderten Parameter steht. Möchte man beispielsweise das Ausbeutemaximum für eine Reaktion (Temperaturbereich von circa 4°C bis 90°C) bei unterschiedlichen Eduktzusammensetzungen und verschiedenen Verweilzeiten (Gesamtflussraten) ermitteln, so ergibt sich ein 3-dimensionales

Problem, bei welchem man zu jedem vorher festgelegten Eduktverhältnis für unterschiedliche Verweilzeiten und jeweils jede Temperatur im gewählten Bereich einen eigenen Versuch durchführen muss. Selbst unter Verwendung der hier vorgestellten tropfenbasierten kontinuierlichen Reaktionsverfahren stellt dies einen sehr langwierigen Prozess dar. Hier ist der Ansatzpunkt für intelligente Algorithmen, die, vergleichbar den Näherungsberechnungen von Potentialhyperflächen in der physikalischen Chemie, mit deutlich weniger Messpunkten, also durchgeführten Reaktionen, eine Vorhersage des gesuchten Ausbeutemaximums für eine vorgegebene Reaktion erlauben.

Einen weiteren vielversprechenden Ansatz liefert die Entwicklung von neuronalen Systemen bzw. ganzen neuronalen Netzen [52, 53], welche nach dem Erlernen für diese eine Reaktion wichtigen Grundparameter und durch das bereits vorhandene Wissen über optimale Parameter anderer Reaktionen Voraussagen zur Eingrenzung der zu prüfenden Parameterbereiche treffen, um die Anzahl der notwendigen Screeningreaktionen weiter zu verringern.

Gerade die genannten neuen Entwicklungen zur künstlichen Intelligenz können die Arbeit und den Alltag in chemischen Laboratorien einfacher und sicherer gestalten und lassen hoffen, dass diese durch den derzeit offenen Entwicklungsansatz keine Frage des Laborbudgets sein werden.

Um den freien Gedanken weiter zu geben, stehen auch alle in dieser Arbeit von mir entwickelten Hard- und Software-Komponenten unter der GNU General Public License v3.0 [54], welche die freie Verwendung meiner Arbeit zulässt und ausdrücklich wünscht. Alle Grafiken und Bilder, sofern urheberrechtlich nicht anderes gekennzeichnet, stammen von mir und unterliegen der Creative Commons Lizenz *CC BY-NC-SA* [55].

Anhang A

Quelltexte

A.1 Pyrometer

Die hier gezeigte Bibliothek (`mlx90621.h` und `mlx90621.cpp`) wird neben den Standardbibliotheken `SPI.h` und `TFT.h` zur Ansteuerung des IR-Array-Chips Melexis MLX90621 benötigt.

Listing A.1: Quelltext: Bibliothek `mlx90621.h` - Pyrometer

```
1  /* Quelle: Make 3/2017, Termika Fotilo, F. Pfeifer und F. Schäffer */
2  #ifndef __MLX90621__
3  #define __MLX90621__
4  #include <Wire.h>
5  #include <utility/twi.h>
6
7  #if BUFFER_LENGTH < 64
8      #error "BUFFER_LENGTH in Wire.h nicht auf 64 gesetzt."
9  #endif
10 #if TWI_BUFFER_LENGTH < 64
11     #error "TWI_BUFFER_LENGTH in twi.h nicht auf 64 gesetzt."
12 #endif
13
14 #include <Arduino.h>
15
16 class MLX90621 {
17     private:
18         uint8_t eeprom_dump_address = 0x50;
19         uint8_t chip_address = 0x60;
20         uint16_t configreg;
21         int16_t vcp;
22         int16_t acp;
23         int16_t acommon;
24         int16_t ksta;
25         int8_t bcpee;
26         float alphacp;
```

```

27     int8_t tgc;
28     uint8_t ayscale;
29     uint8_t biscale;
30     uint16_t alpha0;
31     uint8_t alpha0scale;
32     uint8_t deltaalphascale;
33     uint16_t epsilon;
34     uint8_t irpixels [128];
35     float ta;
36     int8_t ks4ee;
37     uint8_t ksscale;
38     uint8_t eepromMLX[256];    // Buffer
39     uint8_t read_eeprom_64 (uint8_t);
40     uint8_t read_eeprom (void);
41     void write_trim (uint8_t);
42     void write_config (uint8_t, uint8_t);
43     int32_t read_config (void);
44     uint8_t test_por (void);
45     int32_t read_ptat (void);
46     int16_t read_compensation (void);
47     uint8_t read_ir (void);
48
49     public:
50         MLX90621 (void);
51         uint8_t init (void);
52         void read_all_irfield (float [16][4]);
53         float get_ptat (void);
54     };
55 #endif

```

Listing A.2: Quellcodeausschnitt: Bibliothek mlx90621.h - Pyrometer

```

1  /* Quelle: Make 3/2017, Termika Fotilo, F. Pfeifer und F. Schäffer */
2  #include "mlx90621.h"
3
4  MLX90621::MLX90621(void) {
5      Wire.begin();
6  }
7
8  uint8_t MLX90621::init (void) {
9      delay(5);
10     if (!read_eeprom())
11         return 0;
12     write_trim (eepromMLX[0xF7]);
13     write_config (eepromMLX[0xF5], eepromMLX[0xF6]);
14     configreg = read_config();
15     ta = get_ptat();
16     if (ta > 300 || ta < -20)
17         return 0;

```

```

18 vcp = read_compensation();
19 acp = (int16_t)( eepromMLX[0xD4] << 8 ) | eepromMLX[0xD3];
20 bcpee = (int8_t)eepromMLX[0xD5];
21 tgc = (int8_t)eepromMLX[0xD8];
22 ayscale = eepromMLX[0xD9] >> 4;
23 biscale = eepromMLX[0xD9] & 0x0F;
24 alpha0 = ( eepromMLX[0xE1] << 8 ) | eepromMLX[0xE0];
25 alpha0scale = eepromMLX[0xE2];
26 deltaalphascale = eepromMLX[0xE3];
27 alphacp = (( eepromMLX[0xD7] << 8 ) | eepromMLX[0xD6]) / (float) (
    pow (2, alpha0scale) * pow (2, 3 - ( configreg >> 4) & 0x03));
28 epsilon = ( eepromMLX[0xE5] << 8 ) | eepromMLX[0xE4] ;
29 acommon = (int16_t)(( eepromMLX[0xD1] << 8 ) | eepromMLX[0xD0]);
30 ksta = (int16_t)(( eepromMLX[0xD7] << 8 ) | eepromMLX[0xD6]);
31 ks4ee = (int8_t)eepromMLX[0xC4];
32 ksscale = eepromMLX[0xC0];
33 return 1;
34 }
35
36 void MLX90621::read_all_irfield (float temperatures[16][4]) {
37     uint8_t x, y, i;
38     int16_t vir;
39     uint8_t deltaai;
40     int8_t bieeprom;
41     float bi;
42     float bcp;
43     uint8_t deltaalpha;
44     float viroffsetcompensated;
45     float virtgccompensated;
46     float vircpoffsetcompensated;
47     float vircompensated;
48     float ai;
49     float alphacomp;
50     float alpha;
51     float ks4;
52     uint64_t tak4;
53     float sx;
54     float to;
55     while (test_por ()) {
56         delay (10);
57         init ();
58     }
59     if (!read_ir ())
60         return;
61     for (i = 0; i < 64; i++) {
62         vir = (int16_t)(irpixels[i * 2 + 1] << 8 | irpixels[i * 2]);
63         deltaai = eepromMLX[i];
64         bi = (int8_t)eepromMLX[0x40 + i];
65         deltaalpha = eepromMLX[0x80 + i];

```

```

66     ai = (acommon + deltaai * pow (2, aiscale)) / pow (2, ( (
        configreg >> 4) & 0x03));
67     bi = bi / (pow (2, biscale) * pow (2, 3 - ( (configreg >> 4) & 0
        x03)));
68     viroffsetcompensated = vir - (ai + bi * (ta - 25.0));
69     bcp = bcpee / (pow (2, biscale) * pow (2, 3 - ( (configreg >> 4)
        & 0x03)));
70     vircpoffsetcompensated = vcp - (acp + bcp * (ta - 25.0) );
71     virtgccompensated = viroffsetcompensated - ( (tgc / 32.0) *
        vircpoffsetcompensated);
72     vircompensated = virtgccompensated / (epsilon / 32768);
73     alpha = ( ( alpha0 / pow (2, alpha0scale) ) + ( deltaalpha / pow
        (2, deltaalphascale) ) ) / (float) pow (2, 3 - ( (configreg >> 4)
        & 0x03)) ;
74     alphacomp = (1 + (ksta/pow (2, 20)) * (ta - 25.0)) * (alpha - tgc
        * alphacp);
75     ks4 = ks4ee / pow (2, ksscale + 8);
76     tak4 = pow ( (ta + 273.15), 4);
77     sx = ks4 * pow ( ( ( pow (alphacomp, 3) * vircompensated ) + (
        pow ( alphacomp, 4 ) * tak4 ) ), (1 / 4.0) );
78     to = pow ( (vircompensated / ( alphacomp * (1 - ks4 * 273.15) +
        sx ) ) + tak4, (1 / 4.0) ) - 273.15;
79     temperatures[i%16][(uint8_t)i/16] = to;
80 }
81 }
82
83 uint8_t MLX90621::read_eeprom_64 (uint8_t start) {
84     uint16_t i;
85     Wire.beginTransmission(eeprom_dump_address);
86     Wire.write (start);
87     Wire.endTransmission(0);
88     if (!Wire.requestFrom(eeprom_dump_address, 64) )
89         return 0;
90     for (i = start; i < (start + 64); i++)
91         eepromMLX[i] = Wire.read();
92     return 1;
93 }
94
95 uint8_t MLX90621::read_eeprom (void) {
96     uint16_t i;
97     if (!read_eeprom_64 (0x00))
98         return 0;
99     if (!read_eeprom_64 (0x40))
100        return 0;
101     if (!read_eeprom_64 (0x80))
102        return 0;
103     if (!read_eeprom_64 (0xC0))
104        return 0;
105     return 1;

```

```
106 }
107
108 void MLX90621::write_trim (uint8_t trimvalue) {
109     Wire.beginTransmission(chip_address);
110     Wire.write (0x04);
111     Wire.write (trimvalue - 0xAA);
112     Wire.write (trimvalue);
113     Wire.write (0x00 - 0xAA);
114     Wire.write (0x00);
115     Wire.endTransmission();
116 }
117
118 void MLX90621::write_config (uint8_t lsb, uint8_t hsb) {
119     Wire.beginTransmission(chip_address);
120     Wire.write (0x03);
121     Wire.write (lsb - 0x55);
122     Wire.write (lsb);
123     Wire.write (hsb - 0x55);
124     Wire.write (hsb);
125     Wire.endTransmission();
126 }
127
128 int32_t MLX90621::read_config (void) {
129     uint16_t configreg;
130     Wire.beginTransmission(chip_address);
131     Wire.write (0x02);
132     Wire.write (0x92);
133     Wire.write (0x00);
134     Wire.write (0x01);
135     Wire.endTransmission(0);
136     if (!Wire.requestFrom(chip_address, 2))
137         return -1;
138     configreg = Wire.read();
139     configreg |= (Wire.read() << 8);
140     return configreg;
141 }
142
143 uint8_t MLX90621::test_por (void) {
144     return (read_config() & 0x400);
145 }
146
147 int32_t MLX90621::read_ptat (void) {
148     int32_t ptat = 0;
149     Wire.beginTransmission(chip_address);
150     Wire.write (0x02);
151     Wire.write (0x40);
152     Wire.write (0x00);
153     Wire.write (0x01);
154     Wire.endTransmission(0);
```

```

155     if (!Wire.requestFrom(chip_address, 2))
156         return -1;
157     ptat = Wire.read();
158     ptat |= Wire.read() << 8;
159     return ptat;
160 }
161
162 float MLX90621::get_ptat (void) {
163     uint8_t exp1, exp2;
164     float kt1, kt2, vth, tmp;
165     int32_t ptat;
166     do {
167         ptat = read_ptat();
168         if (ptat == -1) {
169             delay (1000);
170             init();
171         }
172     } while (ptat == -1);
173     exp2 = ( (configreg >> 4) & 0x03);
174     vth = ( eepromMLX[0xDB] << 8 ) | eepromMLX[0xDA];
175     if (vth > 32767)
176         vth -= 65536;
177     vth = vth / pow (2, 3-exp2);
178     kt1 = (( eepromMLX[0xDD] << 8 ) | eepromMLX[0xDC]);
179     if (kt1 > 32767)
180         kt1 -= 65536;
181     exp1 = ( eepromMLX[0xD2] >> 4);
182     kt1 = kt1 / ( pow (2, exp1) * pow (2, 3-exp2) );
183
184     kt2 = (( eepromMLX[0xDF] << 8 ) | eepromMLX[0xDE]);
185     if (kt2 > 32767)
186         kt2 -= 65536;
187     exp1 = (eepromMLX[0xD2] & 0x0F);
188     kt2 = kt2 / ( pow (2, exp1+10) * pow (2, 3-exp2) );
189     return (((kt1 * -1.0) + sqrt( kt1*kt1 - (4 * kt2) * (vth - ptat) ))
190             / (2 * kt2) ) + 25.0;
191 }
192 int16_t MLX90621::read_compensation (void) {
193     int8_t cp = 0;
194     Wire.beginTransmission(chip_address);
195     Wire.write (0x02);
196     Wire.write (0x41);
197     Wire.write (0x00);
198     Wire.write (0x01);
199     Wire.endTransmission(0);
200     if (!Wire.requestFrom(chip_address, 2))
201         return -1;
202     cp = Wire.read();

```

```
203     return ( (int16_t) Wire.read() << 8 | cp);
204 }
205
206 uint8_t MLX90621::read_ir (void) {
207     uint8_t i;
208     Wire.beginTransaction(chip_address);
209     Wire.write (0x02);
210     Wire.write (0x00);
211     Wire.write (0x04);
212     Wire.write (0x10);
213     Wire.endTransmission(0);
214     if (!Wire.requestFrom(chip_address, 32))
215         return 0;
216     for (i=0; i < 32; i++)
217         irpixels[i] = Wire.read();
218     Wire.beginTransaction(chip_address);
219     Wire.write (0x02);
220     Wire.write (0x01);
221     Wire.write (0x04);
222     Wire.write (0x10);
223     Wire.endTransmission(0);
224     if (!Wire.requestFrom(chip_address, 32))
225         return 0;
226     for (i=0; i < 32; i++)
227         irpixels[i+32] = Wire.read();
228     Wire.beginTransaction(chip_address);
229     Wire.write (0x02);
230     Wire.write (0x02);
231     Wire.write (0x04);
232     Wire.write (0x10);
233     Wire.endTransmission(0);
234     if (!Wire.requestFrom(chip_address, 32))
235         return 0;
236     for (i=0; i < 32; i++)
237         irpixels[i+64] = Wire.read();
238     Wire.beginTransaction(chip_address);
239     Wire.write (0x02);
240     Wire.write (0x03);
241     Wire.write (0x04);
242     Wire.write (0x10);
243     Wire.endTransmission(0);
244     if (!Wire.requestFrom(chip_address, 32))
245         return 0;
246     for (i=0; i < 32; i++)
247         irpixels[i+96] = Wire.read();
248     return 1;
249 }
```

A.2 Pumpensteuerung

Der im Folgenden gezeigte Python3-Quelltext benötigt zusätzlich zu einer Python3-Umgebung auf einem unixoiden Betriebssystem die Installation der Python3-Module `numpy`, `serial`, `pyside` und `pyside-qtgui` inklusive deren Abhängigkeiten. Der Quelltext ist in drei Teile unterteilt, die eigentlich ausführbare Datei `pumpmaster_single.py`, dem Quelltextbereich des Backends (`backend.py`) und dem des QT-Frontends (`frontend.py`).

Listing A.3: Quelltext: pumpmaster2000.py - Pumpensteuerung

```
1 #!/usr/bin/python3
2 # -*- coding: utf-8 -*-
3
4 import os
5 import sys
6 import time
7 import serial
8 import platform
9 import numpy as np
10 from multiprocessing import Process
11 from functools import partial
12 from PySide.QtGui import *
13 from PySide.QtCore import *
14 from PySide.QtCore import Signal as pyqtSignal
15 from PySide.QtCore import Slot as pyqtSlot
16 from backend import Monitor
17 from frontend import PumpMaster
18 if __name__ == "__main__":
19     app = QApplication([])
20     QApplication.setOrganizationName("JULRIC")
21     QApplication.setOrganizationDomain("julric.de")
22     QApplication.setApplicationName("PumpMaster2000")
23     thread = Monitor()
24     thread.sendEvent.this.connect(PumpMaster.receiveEvent)
25     thread.start()
26     window = PumpMaster()
27     app.exec_()
```

Listing A.4: Quelltext: backend.py - Pumpensteuerung

```
1 #!/usr/bin/python3
2 # -*- coding: utf-8 -*-
3
4 import os
5 import sys
6 import time
7 import serial
8 import platform
9 import numpy as np
```

```

10 from multiprocessing import Process
11 from frontend import PumpMaster
12 from functools import partial
13 from PySide.QtGui import *
14 from PySide.QtCore import *
15 global device
16 global interrupt_device
17 global papCounter
18 global status
19 global start_pump
20 global pause_pump
21 global stop_pump
22 global finished_pump
23 global end_threads
24 global can_exit
25 global running_number
26 global running_status
27 global output
28 device = False
29 interrupt_device = False
30 papCounter = 1
31 status = False
32 start_pump = False
33 pause_pump = False
34 stop_pump = False
35 finished_pump = False
36 end_threads = False
37 can_exit = False
38 running_number = 0
39 running_status = 0
40 output = False
41 pap = [[0 for x in range(12)] for x in range(20)]
42 unit = [[ "mL/min" , "mL/sec" , "mL/hour" , "uL/sec" , "uL/min" , "uL/hour" , "nL/
         sec" , "nL/min" , "nL/hour" , "pL/sec" , "pL/min" , "pL/hour" ] ,
43         [ "min" , "sec" , "hour" , 0 , 0 , 0 , 0 , 0 , 0 , 0 , 0 , 0 ] ,
44         [ "mL" , "uL" , "nL" , "pL" , 0 , 0 , 0 , 0 , 0 , 0 , 0 , 0 ] ]
45 Loewe01 = [ "11 ELITE Dual 3.0.3 - Loewe01" , "20.05" , 0 , "20" , 0 ]
46 for number in range(20):#set comment field in all pap
47     pap[number][11] = ' '
48 import frontend
49
50 class connection(QObject):
51     this = Signal(str)
52 class Monitor(QThread):
53     sendEvent = connection()
54     def run(self):
55         # monitor values of pump while running
56         time.sleep(5) #start after initialisation of gui
57     global device

```

```
58     global start_pump
59     global pause_pump
60     global stop_pump
61     global finished_pump
62     global end_threads
63     global can_exit
64     global status
65     global pap
66     global output
67     global running_number
68     while end_threads == False:
69         if start_pump == True and status == 0:#start new pump run
70             if device != False and device != 'Loewe01' and os.path.exists(
              device) == True:
71                 ser = serial.Serial(port=device,baudrate=115200,parity=serial.
              PARITY_NONE,stopbits=serial.STOPBITS_TWO,bytesize=serial.
              EIGHTBITS)
72                 ser.isOpen()
73                 if pap[running_number][0] == 1 and pap[running_number][2] == 0
              and pap[running_number][5] != 0:#pap active and not already
              processed
74                     self.sendEvent.this.emit("15_"+str(running_number).zfill(2))
75                     # clear pap parameter tvolume
76                     ser.write(('ctvolume\r\n').encode('UTF-8'))
77                     output = ''
78                     out = ''
79                     # wait one second and give device time to answer
80                     time.sleep(0.1)
81                     while ser.inWaiting() > 0:
82                         out += ser.read(1).decode('UTF-8')
83                     if out != '':
84                         output = out
85                     # clear pap parameter ivolume
86                     ser.write(('civolume\r\n').encode('UTF-8'))
87                     out = ''
88                     # wait one second and give device time to answer
89                     time.sleep(0.1)
90                     while ser.inWaiting() > 0:
91                         out += ser.read(1).decode('UTF-8')
92                     if out != '':
93                         output = out + '\n' + output
94                     # clear pap parameter time
95                     ser.write(('ctime\r\n').encode('UTF-8'))
96                     out = ''
97                     # wait one second and give device time to answer
98                     time.sleep(0.1)
99                     while ser.inWaiting() > 0:
100                         out += ser.read(1).decode('UTF-8')
101                     if out != '':
```

```

102     output = out + '\n' + output
103     # set pap parameter flowrate
104     ser.write(('irate '+str(pap[running_number][5])+'+'+str(unit
[0][int(pap[running_number][6])])+'\r\n').encode('UTF-8'))
105     out = ''
106     # wait one second and give device time to answer
107     time.sleep(0.1)
108     while ser.inWaiting() > 0:
109         out += ser.read(1).decode('UTF-8')
110         if out != '':
111             output = out + '\n' + output
112             # set pap parameter volume
113             ser.write(('tvolume '+str(pap[running_number][9])+'+'+str(unit
[2][int(pap[running_number][10])])+'\r\n').encode('UTF-8'))
114             out = ''
115             # wait one second and give device time to answer
116             time.sleep(0.1)
117             while ser.inWaiting() > 0:
118                 out += ser.read(1).decode('UTF-8')
119                 if out != '':
120                     output = out + '\n' + output
121             # start run
122             ser.write(('run\r\n').encode('UTF-8'))
123             out = ''
124             # wait one second and give device time to answer
125             time.sleep(0.5)
126             while ser.inWaiting() > 0:
127                 out += ser.read(1).decode('UTF-8')
128                 if out != '':
129                     output = out + '\n' + output
130                     self.sendEvent.this.emit("10")
131             status = 1
132     elif pap[running_number][5] == 0:#pap active but with zero
flowrate
133         if papCounter > running_number:
134             running_number = running_number+1
135         else:
136             start_pump = False
137             pause_pump = False
138             stop_pump = False
139             finished_pump = True
140     elif pap[running_number][0] == 1 and pap[running_number][2] ==
1:#pap active and processed
141         if papCounter > running_number:
142             running_number = running_number+1
143         else:
144             start_pump = False
145             pause_pump = False
146             stop_pump = False

```

```

147     finished_pump = True
148     elif pap[running_number][0] != 1:#pap not active
149         if papCounter > running_number:
150             running_number = running_number+1
151         else:
152             start_pump = False
153             pause_pump = False
154             stop_pump = False
155             finished_pump = True
156     ser.close()
157     self.sendEvent.this.emit("12")
158     else:
159         start_pump = False
160         pause_pump = False
161         stop_pump = True
162         device = False
163         frontend.refresh_clicked()
164     if start_pump == True and status == 1:#do monitoring while running
165         pump_status_full = self.get_pump_status()
166         if len(pump_status_full) > 1:
167             pump_status = pump_status_full[1].split()
168             if len(pump_status) > 3:
169                 if pump_status[3][:1] == "I" or pump_status[3][:1] == "i":
170                     flowrate = float(pump_status[0])/1000000000000*60
171                     volume = float(pump_status[2])/1000000000000
172                     if pump_status[3][-4:-3] == "S":
173                         self.sendEvent.this.emit("17")
174                         status = 0
175                         start_pump = False
176                         pause_pump = False
177                         stop_pump = True
178                     elif pump_status[3][-1:] == ".":
179                         volume_unit=1000 if pap[running_number][10]==1 else 1000000
180                 if pap[running_number][10]==2 else 1000000000 if pap[
181                 running_number][10]==3 else 1
182                 running_status = int(100*(round(volume, 2)/pap[running_number
183                 ][9]*volume_unit))
184                 self.sendEvent.this.emit("11_"+str(running_number).zfill(2)+"
185                 _"+str(running_status))
186                 elif pump_status[3][-1:] == "T":
187                     running_status = 100
188                     self.sendEvent.this.emit("11_"+str(running_number).zfill(2)+"
189                     _"+str(running_status))
190                 pap[running_number][2] = 1
191                 status = 0
192             else:
193                 status = 0
194     if start_pump == True and status == 2:#start paused pump run
195     if device != False and device != 'Loewe01' and os.path.exists(

```

```
device) == True:
191     ser = serial.Serial(port=device, baudrate=115200, parity=serial.
PARITY_NONE, stopbits=serial.STOPBITS_TWO, bytesize=serial.
EIGHTBITS)
192     ser.isOpen()
193     # start run
194     ser.write(('run\r\n').encode('UTF-8'))
195     output = ''
196     out = ''
197     # wait one second and give device time to answer
198     time.sleep(0.1)
199     while ser.inWaiting() > 0:
200         out += ser.read(1).decode('UTF-8')
201         if out != '':
202             output = out
203             self.sendEvent.this.emit("10")
204             status = 1
205             ser.close()
206             self.sendEvent.this.emit("12")
207         else:
208             start_pump = False
209             pause_pump = False
210             stop_pump = True
211             device = False
212             frontend.refresh_clicked()
213     if pause_pump == True and status == 1: #pause running pump
214         if device != False and device != 'Loewe01' and os.path.exists(
device) == True:
215             ser = serial.Serial(port=device, baudrate=115200, parity=serial.
PARITY_NONE, stopbits=serial.STOPBITS_TWO, bytesize=serial.
EIGHTBITS)
216             ser.isOpen()
217             # stop run
218             ser.write(('stp\r\n').encode('UTF-8'))
219             output = ''
220             out = ''
221             # wait one second and give device time to answer
222             time.sleep(0.1)
223             while ser.inWaiting() > 0:
224                 out += ser.read(1).decode('UTF-8')
225                 if out != '':
226                     output = out
227                     self.sendEvent.this.emit("10")
228                     status = 2
229                     ser.close()
230                     self.sendEvent.this.emit("13")
231             else:
232                 start_pump = False
233                 pause_pump = False
```

```
234     stop_pump = True
235     device = False
236     frontend.refresh_clicked()
237     if stop_pump == True:#stop running pump
238         if device != False and device != 'Loewe01' and os.path.exists(
device) == True:
239             ser = serial.Serial(port=device,baudrate=115200,parity=serial.
PARITY_NONE,stopbits=serial.STOPBITS_TWO,bytesize=serial.
EIGHTBITS)
240             ser.isOpen()
241             # stop run
242             ser.write(('stp\r\n').encode('UTF-8'))
243             output = ''
244             out = ''
245             # wait one second and give device time to answer
246             time.sleep(0.1)
247             while ser.inWaiting() > 0:
248                 out += ser.read(1).decode('UTF-8')
249             if out != '':
250                 output = out
251             # clear pap parameter tvolume
252             ser.write(('ctvolume\r\n').encode('UTF-8'))
253             out = ''
254             # wait one second and give device time to answer
255             time.sleep(0.1)
256             while ser.inWaiting() > 0:
257                 out += ser.read(1).decode('UTF-8')
258             if out != '':
259                 output = out + '\n' + output
260             # clear pap parameter ivolume
261             ser.write(('civolume\r\n').encode('UTF-8'))
262             out = ''
263             # wait one second and give device time to answer
264             time.sleep(0.1)
265             while ser.inWaiting() > 0:
266                 out += ser.read(1).decode('UTF-8')
267             if out != '':
268                 output = out + '\n' + output
269             # clear pap parameter time
270             ser.write(('ctime\r\n').encode('UTF-8'))
271             out = ''
272             # wait one second and give device time to answer
273             time.sleep(0.1)
274             while ser.inWaiting() > 0:
275                 out += ser.read(1).decode('UTF-8')
276             if out != '':
277                 output = out + '\n' + output
278                 self.sendEvent.this.emit("10")
279             ser.close()
```

```

280     status = 0
281     self.sendEvent.this.emit("14")
282     for number in range(papCounter):#reset all pap not to be
finished
283         pap[number][2] = 0
284     else:
285         start_pump = False
286         pause_pump = False
287         stop_pump = True
288         device = False
289         frontend.refresh_clicked()
290     stop_pump = False
291     if finished_pump == True:#all jobs finished on pump
292         self.sendEvent.this.emit("16")
293         start_pump = False
294         pause_pump = False
295         stop_pump = True
296         finished_pump = False
297     can_exit = True
298     def get_pump_status(self):
299         # receive/read version and serial from syringe-pump, set pump-
address to zero if necessary
300         global device
301         if device != False and device != 'Loewe01' and os.path.exists(
device) == True:
302             ser_status = serial.Serial(port=device,baudrate=115200,parity=
serial.PARITY_NONE,stopbits=serial.STOPBITS_TWO,bytesize=serial.
EIGHTBITS)
303             ser_status.isOpen()
304             ser_status.write('status\r\n'.encode('UTF-8'))
305             status = ''
306             time.sleep(2)
307             while ser_status.inWaiting() > 0:
308                 status += ser_status.read(1).decode('UTF-8')
309             pump_status_full = status.splitlines()
310             ser_status.close()
311         else:
312             status = "status\n0 0 0 ..... \n:"
313             pump_status_full = status.splitlines()
314         return pump_status_full

```

Listing A.5: Quelltext: frontend.py - Pumpensteuerung

```

1 #!/usr/bin/python3
2 # -*- coding: utf-8 -*-
3
4 import os
5 import sys
6 import time

```

```
7 import serial
8 import platform
9 import numpy as np
10 from multiprocessing import Process
11 from functools import partial
12 from PySide.QtGui import *
13 from PySide.QtCore import *
14 from PySide.QtCore import Signal as pyqtSignal
15 from PySide.QtCore import Slot as pyqtSlot
16 global fname_pap
17 pap_layout = False
18 pap_area = False
19 main_area = False
20 fname_pap = False
21 import backend
22 class PumpMaster(QWidget, object):
23     device_label = None
24     device_edit = None
25     serial_label = None
26     pump_label = None
27     pump_version = None
28     settings_area = None
29     main_area = None
30     def __init__(self):
31         super(PumpMaster, self).__init__()
32         self.setWindowIcon(QIcon(os.path.join('icons', 'syringe.png')))
33         global layout
34         layout = QVBoxLayout(QBoxLayout.TopToBottom)
35         layout.setContentsMargins(0, 0, 0, 0)
36         self.setting_dirty = True
37         global somesignal
38         somesignal = Signal()
39         # Header bar
40         header_bar = QFrame()
41         header_bar.setStyleSheet("QWidget { background: rgb(86, 102, 243);
42             } " +
43             "QLabel { color: white; font-weight: bold; font-size:4em;}" +
44             "QToolTip { color: rgb(255, 255, 255); background-color: rgb
45             (20, 20, 20); " +
46             "border: 1px solid white; }")
47         header_bar.setAutoFillBackground(True)
48         header_bar.setFixedHeight(45)
49         header_bar_layout = QVBoxLayout(QBoxLayout.LeftToRight)
50         header_bar.setLayout(header_bar_layout)
51         layout.addWidget(header_bar)
52         self.create_header_bar(header_bar_layout)
53         header_bar_layout.addStretch()
54         self.create_exit_button(header_bar_layout)
55         # Pump 01 area
```

```
54 global pump_01_area
55 pump_01_area = QFrame()
56 pump_01_area.setStyleSheet("QToolTip { color: rgb(255, 255, 255);
    background-color: rgb(20, 20, 20); padding: 2px; }")
57 pump_01_area_layout = QVBoxLayout(QBoxLayout.TopToBottom)
58 pump_01_area.setLayout(pump_01_area_layout)
59 layout.addWidget(pump_01_area)
60 self.create_pump_01_area(pump_01_area_layout)
61 # Pump 01 Header
62 pump_01_header = QFrame()
63 pump_01_header_layout = QVBoxLayout(QBoxLayout.LeftToRight)
64 pump_01_header.setLayout(pump_01_header_layout)
65 pump_01_area_layout.addWidget(pump_01_header)
66 self.create_pump_01_header(pump_01_header_layout)
67 # Serial Connection area
68 global serial_connection_area
69 serial_connection_area = QFrame()
70 serial_connection_area.setObjectName("serial_connection_area")
71 serial_connection_area_layout = QGridLayout()
72 serial_connection_area_layout.setColumnMinimumWidth(0, 60)
73 serial_connection_area_layout.setColumnMinimumWidth(1, 20)
74 serial_connection_area_layout.setColumnMinimumWidth(2, 20)
75 serial_connection_area_layout.setColumnMinimumWidth(3, 20)
76 serial_connection_area_layout.setColumnMinimumWidth(4, 20)
77 serial_connection_area_layout.setColumnMinimumWidth(5, 20)
78 serial_connection_area_layout.setColumnMinimumWidth(6, 20)
79 serial_connection_area_layout.setColumnMinimumWidth(7, 370)
80 serial_connection_area.setLayout(serial_connection_area_layout)
81 pump_01_area_layout.addWidget(serial_connection_area)
82 self.create_serial_connection_area(serial_connection_area_layout)
83 # horizontal line
84 hline_01 = QFrame()
85 hline_01.setFrameShape(QFrame.HLine)
86 hline_01.setFrameShadow(QFrame.Sunken)
87 pump_01_area_layout.addWidget(hline_01)
88 # horizontal line
89 hline_02 = QFrame()
90 hline_02.setFrameShape(QFrame.HLine)
91 hline_02.setFrameShadow(QFrame.Sunken)
92 pump_01_area_layout.addWidget(hline_02)
93 # Settings area
94 global settings_area
95 settings_area = QFrame()
96 settings_area.setObjectName("settings_area")
97 settings_area_layout = QGridLayout()
98 settings_area_layout.setColumnMinimumWidth(0, 180)
99 settings_area_layout.setColumnMinimumWidth(1, 20)
100 settings_area_layout.setColumnMinimumWidth(4, 40)
101 settings_area_layout.setColumnMinimumWidth(5, 150)
```

```
102 settings_area_layout.setColumnMinimumWidth(7, 40)
103 settings_area_layout.setColumnMinimumWidth(8, 10)
104 settings_area_layout.setColumnMinimumWidth(9, 150)
105 settings_area_layout.setRowMinimumHeight(0, 10)
106 settings_area_layout.setRowMinimumHeight(1, 10)
107 settings_area_layout.setRowStretch(0, 0)
108 settings_area_layout.setRowStretch(1, 0)
109 settings_area_layout.setRowStretch(2, 3) # invisible 3rd row can
    stretch
110 settings_area_layout.setVerticalSpacing(10)
111 settings_area.setLayout(settings_area_layout)
112 pump_01_area_layout.addWidget(settings_area)
113 settings_area.setVisible(False)
114 self.create_settings_area(settings_area_layout)
115 # Widget area
116 global main_area
117 main_area = QFrame()
118 main_layout = QVBoxLayout(QBoxLayout.TopToBottom)
119 main_area.setLayout(main_layout)
120 pump_01_area_layout.addWidget(main_area)
121 main_area.setVisible(False)
122 self.create_main_area(main_layout)
123 # horizontal line
124 hline_03 = QFrame()
125 hline_03.setFrameShape(QFrame.HLine)
126 hline_03.setFrameShadow(QFrame.Sunken)
127 main_layout.addWidget(hline_03)
128 # horizontal line
129 hline_04 = QFrame()
130 hline_04.setFrameShape(QFrame.HLine)
131 hline_04.setFrameShadow(QFrame.Sunken)
132 main_layout.addWidget(hline_04)
133 # Main area header
134 global main_area_header
135 main_area_header = QFrame()
136 main_header_layout = QGridLayout()
137 main_header_layout.setColumnMinimumWidth(0, 100)
138 main_header_layout.setColumnMinimumWidth(1, 20)
139 main_header_layout.setColumnMinimumWidth(5, 36)
140 main_header_layout.setColumnMinimumWidth(6, 20)
141 main_header_layout.setColumnMinimumWidth(9, 36)
142 main_header_layout.setColumnMinimumWidth(10, 20)
143 main_header_layout.setColumnMinimumWidth(11, 120)
144 main_header_layout.setColumnMinimumWidth(12, 100)
145 main_header_layout.setColumnMinimumWidth(13, 120)
146 main_header_layout.setColumnMinimumWidth(14, 100)
147 main_header_layout.setColumnMinimumWidth(15, 20)
148 main_area_header.setLayout(main_header_layout)
149 main_layout.addWidget(main_area_header)
```

```
150 main_area_header.setVisible(True)
151 self.create_main_area_header(main_header_layout)
152 # Program flow chart area
153 global pap_layout
154 global pap_area
155 pap_area = QFrame()
156 pap_layout = QVBoxLayout(QBoxLayout.TopToBottom)
157 pap_area.setLayout(pap_layout)
158 main_layout.addWidget(pap_area)
159 self.create_pap_area(pap_layout)
160 # Build PAP-Items
161 self.build_item_area('0')
162 # PAP scrolling area
163 global pap_sc_area
164 pap_sc_area = QScrollArea()
165 pap_sc_layout = QVBoxLayout(QBoxLayout.TopToBottom)
166 pap_sc_area.setLayout(pap_sc_layout)
167 pap_sc_area.setMinimumHeight(300)
168 pap_sc_area.setHorizontalScrollBarPolicy(Qt.ScrollBarAlwaysOff)
169 pap_sc_area.setVerticalScrollBarPolicy(Qt.ScrollBarAsNeeded)
170 pap_sc_area.addWidget(pap_area)
171 pap_sc_area.setWidgetResizable(True)
172 main_layout.addWidget(pap_sc_area)
173 self.create_pap_sc_area(pap_sc_layout)
174 # Program flow chart area add-button
175 pap_add = QFrame()
176 pap_add_layout = QVBoxLayout(QBoxLayout.TopToBottom)
177 pap_add.setLayout(pap_add_layout)
178 main_layout.addWidget(pap_add)
179 self.create_pap_add(pap_add_layout)
180 # Input area
181 input_area = QFrame()
182 input_layout = QVBoxLayout(QBoxLayout.LeftToRight)
183 input_area.setLayout(input_layout)
184 main_layout.addWidget(input_area)
185 self.create_input_area(input_layout)
186 layout.addStretch()
187 # Output area
188 global output_area
189 output_area = QScrollArea()
190 output_layout = QVBoxLayout(QBoxLayout.TopToBottom)
191 output_area.setHorizontalScrollBarPolicy(Qt.ScrollBarAlwaysOff)
192 output_area.setVerticalScrollBarPolicy(Qt.ScrollBarAsNeeded)
193 output_area.setLayout(output_layout)
194 output_area.setVisible(True)
195 output_area.setMinimumHeight(100)
196 output_area.setMaximumHeight(100)
197 layout.addWidget(output_area)
198 self.create_output_area(output_layout)
```

```
199 # Window layout
200 main_layout.addStretch()
201 pump_01_header_layout.addStretch()
202 self.setLayout(layout)
203 settings = QSettings()
204 size = settings.value("MainWindow/size")
205 if not size:
206     size = QSize(1100, 780)
207 self.resize(size)
208 position = settings.value("MainWindow/pos")
209 if not position:
210     position = QPoint(100, 100)
211 self.move(position)
212 self.setWindowTitle("Pump Master 2000")
213 self.show()
214 def build_item_area(self, number):
215     # Progam flow chart item
216     global item_layout
217     global item_area
218     item_area = QFrame()
219     item_layout = QGridLayout()
220     item_area.setLayout(item_layout)
221     item_area.setObjectName("item_"+number+"_area")
222     item_layout.setColumnMinimumWidth(2, 20)
223     item_layout.setColumnMinimumWidth(3, 50)
224     item_layout.setColumnMinimumWidth(4, 80)
225     item_layout.setColumnMinimumWidth(5, 90)
226     item_layout.setColumnMinimumWidth(6, 30)
227     item_layout.setColumnMinimumWidth(7, 20)
228     item_layout.setColumnMinimumWidth(8, 50)
229     item_layout.setColumnMinimumWidth(9, 80)
230     item_layout.setColumnMinimumWidth(10, 80)
231     item_layout.setColumnMinimumWidth(11, 30)
232     item_layout.setColumnMinimumWidth(12, 20)
233     item_layout.setColumnMinimumWidth(13, 50)
234     item_layout.setColumnMinimumWidth(14, 80)
235     item_layout.setColumnMinimumWidth(15, 80)
236     item_layout.setRowStretch(0, 0)
237     item_layout.setRowStretch(1, 0)
238     item_layout.setRowStretch(2, 0)
239     item_layout.setRowStretch(3, 0)
240     item_layout.setRowStretch(4, 3) # invisible 5th row can stretch
241     pap_layout.addWidget(item_area)
242     self.create_item_area(item_layout, number)
243 # noinspection PyUnresolvedReferences
244 def create_header_bar(self, layout):
245     # Header Line
246     self.headerlabel = QLabel()
247     self.headerlabel.setText("Bitte die Pumpe auswählen und verbinden.")
```

```

    )
248     layout.addWidget(self.headerlabel)
249     # noinspection PyUnresolvedReferences
250     def create_exit_button(self, layout):
251         # Quit-Button
252         self.quit_button = QPushButton()
253         self.quit_button.setIconSize(QSize(16, 16))
254         self.quit_button.setIcon(QIcon(os.path.join("icons", "door_in.png")
    ))
255         self.quit_button.setStyleSheet("border: 0px;")
256         self.quit_button.setToolTip("Beenden")
257         self.quit_button.clicked.connect(self.close)
258         self.quit_button.setVisible(True)
259         layout.addWidget(self.quit_button)
260     # noinspection PyUnresolvedReferences
261     def create_pump_01_area(self, layout):
262         global fname_pap
263     # noinspection PyUnresolvedReferences
264     def create_pump_01_header(self, layout):
265         self.pump_01_icon = QLabel()
266         pixmap = QPixmap('icons/syringe_small.png')
267         self.pump_01_icon.setPixmap(pixmap)
268         layout.addWidget(self.pump_01_icon)
269         self.pump_01_label = QLabel()
270         self.pump_01_label.setStyleSheet("QLabel { color:rgb(0, 0, 0); font
    -weight: bold; }")
271         self.pump_01_label.setText("Pumpe 01")
272         layout.addWidget(self.pump_01_label)
273     # noinspection PyUnresolvedReferences
274     def create_serial_connection_area(self, layout):
275         # List of Serial Ports
276         device_label = QLabel("Pumpe:")
277         self.device_edit = QComboBox()
278         self.device_edit.setEditable(False)
279         self.device_edit.textChanged.connect(self.pump_device_changed)
280         self.device_edit.currentIndexChanged.connect(self.
    pump_device_changed)
281         self.device_edit.setMaximumHeight(28)
282         self.device_edit.setMinimumContentsLength(35)
283         filenames = list(filter(lambda x: x.startswith('ttyACM'), os.
    listdir('/dev/')))
284         if len(filenames) == 0:
285             self.device_edit.addItem("keine Pumpe gefunden, bitte
    aktualisieren")
286             backend.device = False
287         else:
288             for name in filenames:
289                 self.device_edit.addItem(name)
290             backend.device = '/dev/' + filenames[0]

```

```
291     device_label.setBuddy(self.device_edit)
292     layout.addWidget(device_label, 0, 0)
293     layout.addWidget(self.device_edit, 0, 1)
294     # Refresh-Button
295     self.refresh_button = QPushButton()
296     self.refresh_button.setIconSize(QSize(16, 16))
297     self.refresh_button.setIcon(QIcon(os.path.join("icons", "
    arrow_refresh_small.png")))
298     self.refresh_button.setStyleSheet("border: 0px;")
299     self.refresh_button.setToolTip("Verfügbare Pumpen aktualisieren")
300     self.refresh_button.clicked.connect(self.refresh_clicked)
301     self.refresh_button.setVisible(True)
302     layout.addWidget(self.refresh_button, 0, 2)
303     # Identify-Button
304     self.identify_button = QPushButton()
305     self.identify_button.setIconSize(QSize(16, 16))
306     self.identify_button.setIcon(QIcon(os.path.join("icons", "lightbulb
    .png")))
307     self.identify_button.setStyleSheet("border: 0px;")
308     self.identify_button.setToolTip("Ausgewählte Pumpe sichtbar machen")
309     if backend.device == False:
310         self.identify_button.setVisible(False)
311     else:
312         self.identify_button.setVisible(True)
313     self.identify_button.clicked.connect(self.identify_pump)
314     layout.addWidget(self.identify_button, 0, 3)
315     # Connect-Button
316     self.connect_button = QPushButton()
317     self.connect_button.setObjectName("connect_button")
318     self.connect_button.setIconSize(QSize(16, 16))
319     self.connect_button.setIcon(QIcon(os.path.join("icons", "disconnect
    .png")))
320     self.connect_button.setStyleSheet("border: 0px;")
321     self.connect_button.setToolTip("Mit der gewählten Pumpe verbinden")
322     if backend.device == False:
323         self.connect_button.setVisible(False)
324     else:
325         self.connect_button.setVisible(True)
326     self.connect_button.clicked.connect(self.connect_pump)
327     layout.addWidget(self.connect_button, 0, 4)
328     # Disconnect-Button
329     self.disconnect_button = QPushButton()
330     self.disconnect_button.setIconSize(QSize(16, 16))
331     self.disconnect_button.setIcon(QIcon(os.path.join("icons", "connect
    .png")))
332     self.disconnect_button.setStyleSheet("border: 0px;")
333     self.disconnect_button.setToolTip("Verbindung zur Pumpe Trennen")
334     self.disconnect_button.clicked.connect(self.disconnect_pump)
335     self.disconnect_button.setVisible(False)
```

```

336 layout.addWidget(self.disconnect_button, 0, 4)
337 self.pump_label = QLabel("Harvard Apparatus Pump")
338 self.pump_label.setVisible(False)
339 layout.addWidget(self.pump_label, 0, 6)
340 self.pump_version = QLabel("11 ELITE")
341 self.pump_version.setVisible(False)
342 layout.addWidget(self.pump_version, 0, 7)
343 self.get_pump_version()
344
345 # List of Serial Ports
346 interrupt_device_label = QLabel("Ausgang:")
347 self.interrupt_device_edit = QComboBox()
348 self.interrupt_device_edit.setEditable(False)
349 self.interrupt_device_edit.textChanged.connect(self.
    interrupt_device_changed)
350 self.interrupt_device_edit.currentIndexChanged.connect(self.
    interrupt_device_changed)
351 self.interrupt_device_edit.setMaximumHeight(28)
352 self.interrupt_device_edit.setMinimumContentsLength(35)
353 self.interrupt_device_edit.addItem("none")
354 interrupts = list(filter(lambda x: x.startswith('tty'), os.listdir(
    '/dev/')))
355 if len(interrupts) == 0:
356     self.interrupt_device_edit.addItem("none")
357     backend.interrupt_device = False
358 else:
359     for name in interrupts:
360         if backend.device != name:
361             self.interrupt_device_edit.addItem(name)
362             backend.interrupt_device = 'none'
363 interrupt_device_label.setBuddy(self.interrupt_device_edit)
364 layout.addWidget(interrupt_device_label, 1, 0)
365 layout.addWidget(self.interrupt_device_edit, 1, 1)
366 # noinspection PyUnresolvedReferences
367 def create_settings_area(self, layout):
368     self.settingsarealabel = QLabel()
369     self.settingsarealabel.setStyleSheet("QLabel { font-weight: bold; }
    ")
370     self.settingsarealabel.setText("Spritzeigenschaften:")
371     self.settingsarealabel.setAlignment(Qt.AlignLeft | Qt.AlignVCenter)
372     layout.addWidget(self.settingsarealabel, 0, 0)
373     #
374     self.settings_vline_01 = QFrame()
375     self.settings_vline_01.setFrameShape(QFrame.VLine)
376     self.settings_vline_01.setFrameShadow(QFrame.Sunken)
377     layout.addWidget(self.settings_vline_01, 0, 1, 2, 1)
378     #
379     self.settings_diameter_label = QLabel()
380     self.settings_diameter_label.setText("Durchmesser:")

```

```
381 layout.addWidget(self.settings_diameter_label, 0, 2)
382 self.settings_diameter_edit = QLineEdit()
383 self.settings_diameter_edit.setMaximumHeight(28)
384 self.settings_diameter_edit.setFixedWidth(80)
385 self.settings_diameter_edit.setVisible(True)
386 self.settings_diameter_edit.setPlaceholderText("0")
387 self.settings_diameter_edit.setAlignment(Qt.AlignRight | Qt.
    AlignVCenter)
388 self.settings_diameter_label.setBuddy(self.settings_diameter_edit)
389 layout.addWidget(self.settings_diameter_edit, 0, 3)
390 self.settings_diameter_box = QComboBox()
391 self.settings_diameter_box.setEditable(False)
392 self.settings_diameter_box.setMaximumHeight(28)
393 self.settings_diameter_box.setMinimumContentsLength(5)
394 self.settings_diameter_box.addItem("mm")
395 layout.addWidget(self.settings_diameter_box, 0, 4)
396 self.settings_volume_label = QLabel()
397 self.settings_volume_label.setText("Volumen:")
398 self.settings_volume_label.setAlignment(Qt.AlignRight | Qt.
    AlignVCenter)
399 layout.addWidget(self.settings_volume_label, 0, 5)
400 self.settings_volume_edit = QLineEdit()
401 self.settings_volume_edit.setObjectName("settings_volume_edit")
402 self.settings_volume_edit.setMaximumHeight(28)
403 self.settings_volume_edit.setFixedWidth(80)
404 self.settings_volume_edit.setVisible(True)
405 self.settings_volume_edit.setPlaceholderText("0")
406 self.settings_volume_edit.setAlignment(Qt.AlignRight | Qt.
    AlignVCenter)
407 self.settings_volume_label.setBuddy(self.settings_volume_edit)
408 layout.addWidget(self.settings_volume_edit, 0, 6)
409 self.settings_volume_box = QComboBox()
410 self.settings_volume_box.setObjectName("settings_volume_unit")
411 self.settings_volume_box.setEditable(False)
412 self.settings_volume_box.setMaximumHeight(28)
413 self.settings_volume_box.setMinimumContentsLength(5)
414 self.settings_volume_box.addItem("mL")
415 self.settings_volume_box.addItem("uL")
416 self.settings_volume_box.addItem("nL")
417 self.settings_volume_box.addItem("pL")
418 self.settings_volume_box.addItem("fL")
419 layout.addWidget(self.settings_volume_box, 0, 7)
420 # Readsettings-Button
421 self.read_settings_button = QPushButton()
422 self.read_settings_button.setIconSize(QSize(16, 16))
423 self.read_settings_button.setIcon(QIcon(os.path.join("icons", "wand
    .png")))
424 self.read_settings_button.setStyleSheet("border: 0px;")
425 self.read_settings_button.setToolTip("Einstellungen aus der Pumpe
```

```

    auslesen")
426 self.read_settings_button.clicked.connect(self.get_pump_settings)
427 layout.addWidget(self.read_settings_button, 0, 8)
428 # Acceptsettings-Button
429 self.accept_settings_button = QPushButton()
430 self.accept_settings_button.setIconSize(QSize(16, 16))
431 self.accept_settings_button.setIcon(QIcon(os.path.join("icons", "
    tick.png")))
432 self.accept_settings_button.setStyleSheet("border: 0px;")
433 self.accept_settings_button.setToolTip("Eingegebene Werte ü
    bernehmen")
434 self.accept_settings_button.clicked.connect(self.set_pump_settings)
435 layout.addWidget(self.accept_settings_button, 0, 9)
436 # Comment-Button
437 self.settings_comment_label = QLabel()
438 self.settings_comment_label.setText("Beschreibung:")
439 self.settings_comment_label.setToolTip("Freifeld zur Beschreibung
    der aktuellen Pumpe, z.B. \"CP\")
440 layout.addWidget(self.settings_comment_label, 1, 2)
441 self.settings_comment_edit = QLineEdit("")
442 self.settings_comment_edit.setObjectName("settings_comment")
443 self.settings_comment_edit.setToolTip("Freifeld zur Beschreibung
    der aktuellen Pumpe, z.B. \"CP\")
444 self.settings_comment_edit.setPlaceholderText("Beschreibung der
    aktuellen Pumpe, z.B. \"CP\")
445 self.settings_comment_edit.setMaximumHeight(28)
446 self.settings_comment_edit.setFixedWidth(513)
447 self.settings_comment_edit.setVisible(True)
448 self.settings_comment_label.setBuddy(self.settings_comment_edit)
449 layout.addWidget(self.settings_comment_edit, 1, 3, 1, 5)
450 # noinspection PyUnresolvedReferences
451 def create_main_area(self, layout):
452     global fname_pap
453     # noinspection PyUnresolvedReferences
454     def create_main_area_header(self, layout):
455         self.main_label = QLabel()
456         self.main_label.setStyleSheet("QLabel { font-weight: bold; }")
457         self.main_label.setText("Programmablaufplan:")
458         layout.addWidget(self.main_label, 0, 0)
459     #
460     self.main_vline_01 = QFrame()
461     self.main_vline_01.setFrameShape(QFrame.VLine)
462     self.main_vline_01.setFrameShadow(QFrame.Sunken)
463     layout.addWidget(self.main_vline_01, 0, 1)
464     #
465     # NewPAP-Button
466     self.new_button = QPushButton()
467     self.new_button.setIconSize(QSize(16, 16))
468     self.new_button.setIcon(QIcon(os.path.join("icons", "page_white.png

```

```
    ))))
469     self.new_button.setStyleSheet("border: 0px;")
470     self.new_button.setObjectName("new_button")
471     self.new_button.setToolTip("Programmablaufplan leeren")
472     self.new_button.setVisible(True)
473     self.new_button.clicked.connect(self.new_pap)
474     layout.addWidget(self.new_button, 0, 2)
475     # OpenPAP-Button
476     self.open_button = QPushButton()
477     self.open_button.setIconSize(QSize(16, 16))
478     self.open_button.setIcon(QIcon(os.path.join("icons", "folder_page.
        png")))
479     self.open_button.setStyleSheet("border: 0px;")
480     self.open_button.setObjectName("open_button")
481     self.open_button.setToolTip("Programmablaufplan öffnen")
482     self.open_button.setVisible(True)
483     self.open_button.clicked.connect(self.open_pap)
484     layout.addWidget(self.open_button, 0, 3)
485     # SavePAP-Button
486     self.save_button = QPushButton()
487     self.save_button.setIconSize(QSize(16, 16))
488     self.save_button.setIcon(QIcon(os.path.join("icons", "disk.png")))
489     self.save_button.setStyleSheet("border: 0px;")
490     self.save_button.setObjectName("save_button")
491     self.save_button.setToolTip("Programmablaufplan speichern")
492     self.save_button.setVisible(True)
493     self.save_button.setEnabled(False)
494     self.save_button.clicked.connect(self.save_pap)
495     layout.addWidget(self.save_button, 0, 4)
496     # SaveToPAP-Button
497     self.saveto_button = QPushButton()
498     self.saveto_button.setIconSize(QSize(16, 16))
499     self.saveto_button.setIcon(QIcon(os.path.join("icons", "
        disk_multiple.png")))
500     self.saveto_button.setStyleSheet("border: 0px;")
501     self.saveto_button.setObjectName("saveto_button")
502     self.saveto_button.setToolTip("Programmablaufplan speichern unter")
503     self.saveto_button.setVisible(True)
504     self.saveto_button.clicked.connect(self.saveto_pap)
505     layout.addWidget(self.saveto_button, 0, 5)
506     #
507     self.main_vline_02 = QFrame()
508     self.main_vline_02.setFrameShape(QFrame.VLine)
509     self.main_vline_02.setFrameShadow(QFrame.Sunken)
510     layout.addWidget(self.main_vline_02, 0, 6)
511     #
512     # StartPAP-Button
513     self.start_button = QPushButton()
514     self.start_button.setIconSize(QSize(16, 16))
```

```

515 self.start_button.setIcon(QIcon(os.path.join("icons", "
    control_play_blue.png")))
516 self.start_button.setStyleSheet("border: 0px;")
517 self.start_button.setObjectName("start_button")
518 self.start_button.setToolTip("Starten")
519 self.start_button.setVisible(True)
520 self.start_button.clicked.connect(self.pap_start)
521 layout.addWidget(self.start_button, 0, 7)
522 # PausePAP-Button
523 self.pause_button = QPushButton()
524 self.pause_button.setIconSize(QSize(16, 16))
525 self.pause_button.setIcon(QIcon(os.path.join("icons", "
    control_pause_blue.png")))
526 self.pause_button.setStyleSheet("border: 0px;")
527 self.pause_button.setObjectName("pause_button")
528 self.pause_button.setToolTip("Pausieren")
529 self.pause_button.setVisible(True)
530 self.pause_button.setEnabled(False)
531 self.pause_button.clicked.connect(self.pap_pause)
532 layout.addWidget(self.pause_button, 0, 8)
533 # StopPAP-Button
534 self.stop_button = QPushButton()
535 self.stop_button.setIconSize(QSize(16, 16))
536 self.stop_button.setIcon(QIcon(os.path.join("icons", "
    control_stop_blue.png")))
537 self.stop_button.setStyleSheet("border: 0px;")
538 self.stop_button.setObjectName("stop_button")
539 self.stop_button.setToolTip("Stoppen")
540 self.stop_button.setVisible(True)
541 self.stop_button.setEnabled(False)
542 self.stop_button.clicked.connect(self.pap_stop)
543 layout.addWidget(self.stop_button, 0, 9)
544 #
545 self.main_vline_03 = QFrame()
546 self.main_vline_03 setFrameShape(QFrame.VLine)
547 self.main_vline_03 setFrameShadow(QFrame.Sunken)
548 layout.addWidget(self.main_vline_03, 0, 10)
549 #
550 self.total_duration_name = QLabel("Gesamtdauer:")
551 self.total_duration_name.setMaximumHeight(28)
552 self.total_duration_name.setFixedWidth(120)
553 self.total_duration_name.setVisible(True)
554 self.total_duration_name.setAlignment(Qt.AlignRight | Qt.
    AlignVCenter)
555 layout.addWidget(self.total_duration_name, 0, 11)
556 self.total_duration_view = QLabel()
557 self.total_duration_view.setObjectName("total_duration_view")
558 self.total_duration_view.setMaximumHeight(28)
559 self.total_duration_view.setFixedWidth(100)

```

```

560     self.total_duration_view.setVisible(True)
561     self.total_duration_view.setAlignment(Qt.AlignLeft | Qt.
        AlignVCenter)
562     self.total_duration_view.setText("0.0 min")
563     layout.addWidget(self.total_duration_view, 0, 12)
564     self.total_volume_name = QLabel("Gesamtvolumen:")
565     self.total_volume_name.setMaximumHeight(28)
566     self.total_volume_name.setFixedWidth(120)
567     self.total_volume_name.setVisible(True)
568     self.total_volume_name.setAlignment(Qt.AlignRight | Qt.AlignVCenter
        )
569     layout.addWidget(self.total_volume_name, 0, 13)
570     self.total_volume_view = QLabel()
571     self.total_volume_view.setObjectName("total_volume_view")
572     self.total_volume_view.setToolTip("Addiertes Volumen aller
        Abschnitte – Volumen in <font color=red>roter Schrift</font>
        bedeutet eine Überschreitung des eingestellten Spritzenvolumens!"
        )
573     self.total_volume_view.setMaximumHeight(28)
574     self.total_volume_view.setFixedWidth(100)
575     self.total_volume_view.setVisible(True)
576     self.total_volume_view.setAlignment(Qt.AlignLeft | Qt.AlignVCenter)
577     self.total_volume_view.setText("0.0 mL")
578     layout.addWidget(self.total_volume_view, 0, 14)
579     # noinspection PyUnresolvedReferences
580     def create_pap_area(self, layout):
581         global fname_pap
582         # noinspection PyUnresolvedReferences
583         def create_pap_sc_area(self, layout):
584             global fname_pap
585             # noinspection PyUnresolvedReferences
586             def create_pap_add(self, layout):
587                 self.pap_addbutton = QPushButton()
588                 self.pap_addbutton.setObjectName("pap_addbutton")
589                 self.pap_addbutton.setStyleSheet("QPushButton#addButton {
                    background-color:red; border-style:outset; }")
590                 self.pap_addbutton.setText("weiteren Abschnitt hinzufügen")
591                 self.pap_addbutton.setIconSize(QSize(16, 16))
592                 self.pap_addbutton.setIcon(QIcon(os.path.join("icons", "add.png")))
593                 self.pap_addbutton.setStyleSheet("border: 0px;")
594                 self.pap_addbutton.setToolTip("weiteren Abschnitt hinzufügen (
                    maximal 20 Abschnitte)")
595                 self.pap_addbutton.clicked.connect(self.add_pap)
596                 self.pap_addbutton.setVisible(True)
597                 layout.addWidget(self.pap_addbutton)
598             # noinspection PyUnresolvedReferences
599             def create_item_area(self, layout, number):
600                 self.itemarea_label = QCheckBox("(" + number + ")")
601                 self.itemarea_label.setObjectName("pap_" + number + "_active")

```

```

602 if str(backend.pap[int(number)][0]) != "0":
603     self.itemarea_label.setCheckState(Qt.Checked)
604 else:
605     self.itemarea_label.setCheckState(Qt.Unchecked)
606 layout.addWidget(self.itemarea_label, 0, 0, 3, 1)
607 #
608 self.itemarea_vline_01 = QFrame()
609 self.itemarea_vline_01.setFrameShape(QFrame.VLine)
610 self.itemarea_vline_01.setFrameShadow(QFrame.Sunken)
611 layout.addWidget(self.itemarea_vline_01, 0, 1, 3, 1)
612 #
613 self.itemarea_flowrate_button = QPushButton(self)
614 self.itemarea_flowrate_button.setObjectName("pap_"+number+"
        _flowrate_ro")
615 self.itemarea_flowrate_button.setToolTip("Flussrate automatisch
        berechnen")
616 layout.addWidget(self.itemarea_flowrate_button, 0, 2)
617 self.itemarea_flowrate_label = QLabel()
618 self.itemarea_flowrate_label.setText("Flussrate:")
619 layout.addWidget(self.itemarea_flowrate_label, 0, 3)
620 self.itemarea_flowrate_edit = QLineEdit()
621 self.itemarea_flowrate_edit.setObjectName("pap_"+number+"
        _flowrate_value_edit")
622 self.itemarea_flowrate_edit.setMaximumHeight(28)
623 self.itemarea_flowrate_edit.setFixedWidth(80)
624 self.itemarea_flowrate_edit.setVisible(True)
625 self.itemarea_flowrate_edit.setAlignment(Qt.AlignRight | Qt.
        AlignVCenter)
626 self.itemarea_flowrate_edit.setText(str(backend.pap[int(number)
        ][5]))
627 self.itemarea_flowrate_label.setBuddy(self.itemarea_flowrate_edit)
628 layout.addWidget(self.itemarea_flowrate_edit, 0, 4)
629 self.itemarea_flowrate_view = QLabel()
630 self.itemarea_flowrate_view.setObjectName("pap_"+number+"
        _flowrate_value_view")
631 self.itemarea_flowrate_view.setMaximumHeight(28)
632 self.itemarea_flowrate_view.setFixedWidth(80)
633 self.itemarea_flowrate_view.setVisible(False)
634 self.itemarea_flowrate_view.setAlignment(Qt.AlignRight | Qt.
        AlignVCenter)
635 self.itemarea_flowrate_view.setText(str(backend.pap[int(number)
        ][5]))
636 layout.addWidget(self.itemarea_flowrate_view, 0, 4)
637 self.itemarea_flowrate_box = QComboBox()
638 self.itemarea_flowrate_box.setObjectName("pap_"+number+"
        _flowrate_unit_edit")
639 self.itemarea_flowrate_box.setEditable(False)
640 self.itemarea_flowrate_box.setMaximumHeight(28)
641 self.itemarea_flowrate_box.setMinimumContentsLength(6)

```

```

642     self.itemarea_flowrate_box.setCurrentIndex(int(backend.pap[int(
        number)][6]))
643     layout.addWidget(self.itemarea_flowrate_box, 0, 5)
644     self.itemarea_flowrate_view_unit = QLabel()
645     self.itemarea_flowrate_view_unit.setObjectName("pap_"+number+"
        _flowrate_unit_view")
646     self.itemarea_flowrate_view_unit.setMaximumHeight(28)
647     self.itemarea_flowrate_view_unit.setVisible(False)
648     self.itemarea_flowrate_view_unit.setText(backend.unit[0][int(
        backend.pap[int(number)][6])])
649     layout.addWidget(self.itemarea_flowrate_view_unit, 0, 5)
650     #
651     self.itemarea_vline_02 = QFrame()
652     self.itemarea_vline_02.setFrameShape(QFrame.VLine)
653     self.itemarea_vline_02.setFrameShadow(QFrame.Sunken)
654     layout.addWidget(self.itemarea_vline_02, 0, 6)
655     #
656     self.itemarea_duration_button = QRadioButton(self)
657     self.itemarea_duration_button.setObjectName("pap_"+number+"
        _duration_ro")
658     self.itemarea_duration_button.setToolTip("Programmdauer automatisch
        berechnen")
659     layout.addWidget(self.itemarea_duration_button, 0, 7)
660     self.itemarea_duration_label = QLabel()
661     self.itemarea_duration_label.setText("Dauer:")
662     layout.addWidget(self.itemarea_duration_label, 0, 8)
663     self.itemarea_duration_edit = QLineEdit()
664     self.itemarea_duration_edit.setObjectName("pap_"+number+"
        _duration_value_edit")
665     self.itemarea_duration_edit.setMaximumHeight(28)
666     self.itemarea_duration_edit.setFixedWidth(80)
667     self.itemarea_duration_edit.setVisible(True)
668     self.itemarea_duration_edit.setAlignment(Qt.AlignRight | Qt.
        AlignVCenter)
669     self.itemarea_duration_edit.setText(str(backend.pap[int(number)
        ][7]))
670     self.itemarea_duration_label.setBuddy(self.itemarea_duration_edit)
671     layout.addWidget(self.itemarea_duration_edit, 0, 9)
672     self.itemarea_duration_view = QLabel()
673     self.itemarea_duration_view.setObjectName("pap_"+number+"
        _duration_value_view")
674     self.itemarea_duration_view.setMaximumHeight(28)
675     self.itemarea_duration_view.setFixedWidth(80)
676     self.itemarea_duration_view.setVisible(False)
677     self.itemarea_duration_view.setAlignment(Qt.AlignRight | Qt.
        AlignVCenter)
678     self.itemarea_duration_view.setText(str(backend.pap[int(number)
        ][7]))
679     layout.addWidget(self.itemarea_duration_view, 0, 9)

```

```

680 self.itemarea_duration_box = QComboBox()
681 self.itemarea_duration_box.setObjectName("pap_"+number+"
    _duration_unit_edit")
682 self.itemarea_duration_box.setEditable(False)
683 self.itemarea_duration_box.setMaximumHeight(28)
684 self.itemarea_duration_box.setMinimumContentsLength(5)
685 self.itemarea_duration_box.setCurrentIndex(int(backend.pap[int(
    number)][8]))
686 layout.addWidget(self.itemarea_duration_box, 0, 10)
687 self.itemarea_duration_view_unit = QLabel()
688 self.itemarea_duration_view_unit.setObjectName("pap_"+number+"
    _duration_unit_view")
689 self.itemarea_duration_view_unit.setMaximumHeight(28)
690 self.itemarea_duration_view_unit.setVisible(False)
691 self.itemarea_duration_view_unit.setText(backend.unit[1][int(
    backend.pap[int(number)][8])])
692 layout.addWidget(self.itemarea_duration_view_unit, 0, 10)
693 #
694 self.itemarea_vline_03 = QFrame()
695 self.itemarea_vline_03.setFrameShape(QFrame.VLine)
696 self.itemarea_vline_03.setFrameShadow(QFrame.Sunken)
697 layout.addWidget(self.itemarea_vline_03, 0, 11)
698 #
699 self.itemarea_volume_button = QRadioButton(self)
700 self.itemarea_volume_button.setObjectName("pap_"+number+"_volume_ro
    ")
701 self.itemarea_volume_button.setToolTip("Volumen automatisch
    berechnen")
702 self.itemarea_volume_button.setChecked(True)
703 layout.addWidget(self.itemarea_volume_button, 0, 12)
704 self.itemarea_volume_label = QLabel()
705 self.itemarea_volume_label.setText("Volumen:")
706 layout.addWidget(self.itemarea_volume_label, 0, 13)
707 self.itemarea_volume_edit = QLineEdit()
708 self.itemarea_volume_edit.setObjectName("pap_"+number+"
    _volume_value_edit")
709 self.itemarea_volume_edit.setMaximumHeight(28)
710 self.itemarea_volume_edit.setFixedWidth(80)
711 self.itemarea_volume_edit.setVisible(False)
712 self.itemarea_volume_edit.setAlignment(Qt.AlignRight | Qt.
    AlignVCenter)
713 self.itemarea_volume_edit.setText(str(backend.pap[int(number)][9]))
714 self.itemarea_volume_label.setBuddy(self.itemarea_volume_edit)
715 layout.addWidget(self.itemarea_volume_edit, 0, 14)
716 self.itemarea_volume_view = QLabel()
717 self.itemarea_volume_view.setObjectName("pap_"+number+"
    _volume_value_view")
718 self.itemarea_volume_view.setMaximumHeight(28)
719 self.itemarea_volume_view.setFixedWidth(80)

```

```
720 self.itemarea_volume_view.setVisible(True)
721 self.itemarea_volume_view.setAlignment(Qt.AlignRight | Qt.
    AlignVCenter)
722 self.itemarea_volume_view.setText(str(backend.pap[int(number)][9]))
723 layout.addWidget(self.itemarea_volume_view, 0, 14)
724 self.itemarea_volume_box = QComboBox()
725 self.itemarea_volume_box.setObjectName("pap_"+number+"
    _volume_unit_edit")
726 self.itemarea_volume_box.setEditable(False)
727 self.itemarea_volume_box.setMaximumHeight(28)
728 self.itemarea_volume_box.setVisible(False)
729 self.itemarea_volume_box.setMinimumContentsLength(5)
730 self.itemarea_volume_box.setCurrentIndex(int(backend.pap[int(number)
    ])[10])
731 layout.addWidget(self.itemarea_volume_box, 0, 15)
732 self.itemarea_volume_view_unit = QLabel()
733 self.itemarea_volume_view_unit.setObjectName("pap_"+number+"
    _volume_unit_view")
734 self.itemarea_volume_view_unit.setMaximumHeight(28)
735 self.itemarea_volume_view_unit.setVisible(True)
736 self.itemarea_volume_view_unit.setText(backend.unit[2][int(backend.
    pap[int(number)][10])])
737 layout.addWidget(self.itemarea_volume_view_unit, 0, 15)
738 #
739 self.itemarea_comment_label = QLabel()
740 self.itemarea_comment_label.setText("Beschreibung:")
741 self.itemarea_comment_label.setToolTip("Freifeld zur Beschreibung
    des Programmablaufplans, z.B. \"Spülen\")
742 self.itemarea_comment_label.setAlignment(Qt.AlignRight | Qt.
    AlignTop)
743 layout.addWidget(self.itemarea_comment_label, 1, 2, 1, 2)
744 self.itemarea_comment_edit = QTextEdit("")
745 self.itemarea_comment_edit.setObjectName("pap_"+number+"_comment")
746 self.itemarea_comment_edit.setToolTip("Freifeld zur Beschreibung
    des Programmablaufplans, z.B. \"Spülen\")
747 self.itemarea_comment_edit.setMaximumHeight(45)
748 self.itemarea_comment_edit.setFixedWidth(820)
749 self.itemarea_comment_edit.setVisible(True)
750 if str(backend.pap[int(number)][11]) != "0":
751     self.itemarea_comment_edit.setText(backend.pap[int(number)][11])
752     self.itemarea_comment_label.setBuddy(self.itemarea_comment_edit)
753 layout.addWidget(self.itemarea_comment_edit, 1, 4, 1, 12)
754 #
755 self.itemarea_interrupt_label = QLabel()
756 self.itemarea_interrupt_label.setText("Fertigstellung:")
757 self.itemarea_interrupt_label.setToolTip(" ")
758 self.itemarea_interrupt_label.setAlignment(Qt.AlignRight | Qt.
    AlignTop)
759 layout.addWidget(self.itemarea_interrupt_label, 2, 2, 1, 2)
```

```

760 self.itemarea_interrupt_box = QCheckBox("nach Abschluss ein Signal
      an '+backend.interrupt_device+' ausgeben")
761 self.itemarea_interrupt_box.setObjectName("pap_"+number+"_signal")
762 if str(backend.pap[int(number)][1]) != "0":
763     self.itemarea_interrupt_box.setCheckState(Qt.Checked)
764 else:
765     self.itemarea_interrupt_box.setCheckState(Qt.Unchecked)
766 layout.addWidget(self.itemarea_interrupt_box, 2, 4, 1, 6)
767 self.itemarea_progressbar = QProgressBar()
768 self.itemarea_progressbar.setObjectName("pap_"+number+"_progressbar
      ")
769 self.itemarea_progressbar.setMinimum(0)
770 self.itemarea_progressbar.setMaximum(100)
771 self.itemarea_progressbar.setVisible(False)
772 self.itemarea_progressbar.setOrientation(Qt.Horizontal)
773 layout.addWidget(self.itemarea_progressbar, 2, 10, 1, 6)
774 #
775 for i in range(len(backend.unit)):
776     for j in range(len(backend.unit[0])):
777         if i == 0 and backend.unit[i][j] != 0:
778             userData = '6'+number
779             self.itemarea_flowrate_box.addItem(backend.unit[i][j], userData)
780         elif i == 1 and backend.unit[i][j] != 0:
781             userData = '8'+number
782             self.itemarea_duration_box.addItem(backend.unit[i][j], userData)
783         elif i == 2 and backend.unit[i][j] != 0:
784             userData = '10'+number
785             self.itemarea_volume_box.addItem(backend.unit[i][j], userData)
786 self.itemarea_label_callback = partial(self.
      itemarea_parameter_changed_line, '0', number)
787 self.itemarea_label.stateChanged.connect(self.
      itemarea_label_callback)
788 self.itemarea_interrupt_box_callback = partial(self.
      itemarea_parameter_changed_line, '1', number, )
789 self.itemarea_interrupt_box.stateChanged.connect(self.
      itemarea_interrupt_box_callback)
790 self.itemarea_flowrate_edit_callback = partial(self.
      itemarea_parameter_changed_line, '5', number)
791 self.itemarea_flowrate_edit.textEdited.connect(self.
      itemarea_flowrate_edit_callback)
792 self.itemarea_flowrate_box.activated.connect(self.
      itemarea_parameter_changed_box)
793 self.itemarea_flowrate_button_callback = partial(self.
      itemarea_parameter_changed_radio_flowrate, '5', number)
794 self.itemarea_flowrate_button.clicked.connect(self.
      itemarea_flowrate_button_callback)
795 self.itemarea_duration_edit_callback = partial(self.
      itemarea_parameter_changed_line, '7', number)
796 self.itemarea_duration_edit.textEdited.connect(self.

```

```

    itemarea_duration_edit_callback)
797 self.itemarea_duration_box.activated.connect(self.
    itemarea_parameter_changed_box)
798 self.itemarea_duration_button_callback = partial(self.
    itemarea_parameter_changed_radio_duration, '7', number)
799 self.itemarea_duration_button.clicked.connect(self.
    itemarea_duration_button_callback)
800 self.itemarea_volume_edit_callback = partial(self.
    itemarea_parameter_changed_line, '9', number, )
801 self.itemarea_volume_edit.textEdited.connect(self.
    itemarea_volume_edit_callback)
802 self.itemarea_volume_box.activated.connect(self.
    itemarea_parameter_changed_box)
803 self.itemarea_volume_button_callback = partial(self.
    itemarea_parameter_changed_radio_volume, '9', number)
804 self.itemarea_volume_button.clicked.connect(self.
    itemarea_volume_button_callback)
805 self.itemarea_comment_edit_callback = partial(self.
    itemarea_parameter_changed_line, '11', number, )
806 self.itemarea_comment_edit.textChanged.connect(self.
    itemarea_comment_edit_callback)
807 self.itemarea_hline_01 = QFrame()
808 self.itemarea_hline_01.setFrameShape(QFrame.HLine)
809 self.itemarea_hline_01.setFrameShadow(QFrame.Sunken)
810 layout.addWidget(self.itemarea_hline_01, 3, 0, 3, 20)
811 # noinspection PyUnresolvedReferences
812 def create_input_area(self, layout):
813     # Input-Field
814     self.input_label = QLabel("Befehl:")
815     self.input_edit = QLineEdit()
816     self.input_edit.returnPressed.connect(self.input_changed)
817     self.input_edit.setMaximumHeight(28)
818     self.input_label.setBuddy(self.input_edit)
819     layout.addWidget(self.input_label)
820     layout.addWidget(self.input_edit)
821 # noinspection PyUnresolvedReferences
822 def create_output_area(self, layout):
823     self.output_label = QLabel("Konsole:")
824     self.output_label.setBuddy(self.serial_label)
825     layout.addWidget(self.output_label)
826     self.serial_label = QTextEdit()
827     self.serial_label.setObjectName("serial_label")
828     layout.addWidget(self.serial_label)
829 def refresh_clicked(self):
830     # refresh the list of available devices in /dev - if none there,
    show Loewe01-device
831     global settings_area
832     global main_area
833     self.device_edit.clear()

```

```
834 self.interrupt_device_edit.clear()
835 filenames = list(filter(lambda x: x.startswith('ttyACM'), os.
    listdir('/dev/')))
836 if len(filenames) == 0 and not backend.device == 'Loewe01':
837     self.device_edit.addItem("keine Pumpe gefunden, bitte
        aktualisieren")
838     self.device_edit.addItem("Loewe01")
839     backend.device = False
840     self.interrupt_device_edit.addItem("none")
841     backend.interrupt_device = False
842     self.connect_button.setVisible(False)
843     self.identify_button.setVisible(False)
844     self.pump_label.setVisible(False)
845     self.pump_version.setVisible(False)
846     self.disconnect_button.setVisible(False)
847     settings_area.setVisible(False)
848     main_area.setVisible(False)
849 else:
850     index=0
851     for name in filenames:
852         self.device_edit.addItem(filenames[index])
853         if index > 0:
854             self.interrupt_device_edit.addItem(filenames[index])
855             index += 1
856     backend.device = '/dev/' + filenames[0]
857     backend.interrupt_device = 'none'
858     self.connect_button.setVisible(True)
859     self.identify_button.setVisible(True)
860     self.get_pump_version()
861 def pump_device_changed(self):
862     # get information from pump if user changed device
863     if len(self.device_edit.currentText()) > 1 and not self.device_edit
        .currentText() == 'keine Pumpe gefunden, bitte aktualisieren':
864         if os.path.exists('/dev/' + self.device_edit.currentText()) ==
            True:
865             backend.device = '/dev/' + self.device_edit.currentText()
866             if backend.device == backend.interrupt_device:
867                 backend.interrupt_device = 'none'
868             elif self.device_edit.currentText() == 'Loewe01':
869                 backend.device = 'Loewe01'
870                 backend.interrupt_device = 'none'
871                 self.connect_button.setVisible(True)
872             else:
873                 self.refresh_clicked()
874         else:
875             backend.device = False
876             backend.interrupt_device = False
877             self.get_pump_version()
878 def interrupt_device_changed(self):
```

```

879 # get information from pump if user changed device
880 global main_area
881 if len(self.interrupt_device_edit.currentText()) > 1 and not self.
    interrupt_device_edit.currentText() == 'none':
882     if os.path.exists('/dev/' + self.interrupt_device_edit.currentText
        ()) == True:
883         backend.interrupt_device = '/dev/' + self.interrupt_device_edit.
            currentText()
884         if backend.interrupt_device == device:
885             backend.interrupt_device = 'none'
886     else:
887         backend.interrupt_device = 'none'
888 else:
889     backend.interrupt_device = 'none'
890 if main_area:
891     for number in range(backend.papCounter):
892         if main_area.findChild(QCheckBox, "pap_"+str(number)+"_signal"):
893             main_area.findChild(QCheckBox, "pap_"+str(number)+"_signal").
                setText("nach Abschluss ein Signal an '"+backend.interrupt_device
                    +" ' ausgeben")
894 def identify_pump(self):
895     # use dimming of pump display to make choosen pump visible
896     if backend.device != False and backend.device != 'Loewe01' and os.
        path.exists(backend.device) == True:
897         ser_identify = serial.Serial(port=backend.device, baudrate=115200,
            parity=serial.PARITY_NONE, stopbits=serial.STOPBITS_TWO, bytesize=
                serial.EIGHTBITS)
898         ser_identify.isOpen()
899         n = 10
900         for i in range(1,n):
901             ser_identify.write('dim 0\r\n'.encode('UTF-8'))
902             time.sleep(0.15)
903             ser_identify.write('dim 100\r\n'.encode('UTF-8'))
904             time.sleep(0.15)
905             ser_identify.close()
906     elif backend.device == 'Loewe01':
907         print('on-off-on-off')
908     else:
909         self.refresh_clicked()
910 def connect_pump(self):
911     # check if serial connection available, then show settings_area
        and main_area
912     global settings_area
913     global main_area
914     global output_area
915     if backend.device != False and backend.device != 'Loewe01' and os.
        path.exists(backend.device) == True:
916         # set pump to echo on
917         ser = serial.Serial(port=backend.device, baudrate=115200, parity=

```

```
        serial.PARITY_NONE, stopbits=serial.STOPBITS_TWO, bytesize=serial.
        EIGHTBITS)
918    ser.isOpen()
919    ser.write(('echo on\r\n').encode('UTF-8'))
920    out = ''
921    output = ''
922    # wait one second and give device time to answer
923    time.sleep(1)
924    while ser.inWaiting() > 0:
925        out += ser.read(1).decode('UTF-8')
926    if out != '':
927        output = out + '\n' + self.serial_label.toPlainText()
928        self.serial_label.clear()
929        self.serial_label.setText(output)
930    ser.close()
931    self.connect_button.setVisible(False)
932    self.disconnect_button.setVisible(True)
933    settings_area.setVisible(True)
934    main_area.setVisible(False)
935    elif backend.device == 'Loewe01':
936        time.sleep(0.1)
937        output = 'echo on\n' + self.serial_label.toPlainText()
938        self.serial_label.clear()
939        self.serial_label.setText(output)
940        self.connect_button.setVisible(False)
941        self.disconnect_button.setVisible(True)
942        settings_area.setVisible(True)
943        main_area.setVisible(False)
944    else:
945        self.refresh_clicked()
946    def disconnect_pump(self):
947        # check if serial connection still open, then close and hide
        settings_area and main_area
948    global settings_area
949    global main_area
950    global output_area
951    self.disconnect_button.setVisible(False)
952    self.connect_button.setVisible(True)
953    self.serial_label.clear()
954    settings_area.setVisible(False)
955    main_area.setVisible(False)
956    def input_changed(self):
957        # send command to syringe-pump, show output in console
958        if backend.device != False and backend.device != 'Loewe01' and os.
        path.exists(backend.device) == True:
959            ser = serial.Serial(port=backend.device, baudrate=115200, parity=
            serial.PARITY_NONE, stopbits=serial.STOPBITS_TWO, bytesize=serial.
            EIGHTBITS)
960            ser.isOpen()
```

```

961     userInput = self.input_edit.text()
962     self.input_edit.clear()
963     ser.write((userInput+'\r\n').encode('UTF-8'))
964     out = ''
965     output = ''
966     # wait one second and give device time to answer
967     time.sleep(1)
968     while ser.inWaiting() > 0:
969         out += ser.read(1).decode('UTF-8')
970         if out != '':
971             output = out + '\n' + self.serial_label.toPlainText()
972             self.serial_label.clear()
973             self.serial_label.setText(output)
974         elif backend.device == 'Loewe01':
975             userInput = self.input_edit.text()
976             self.input_edit.clear()
977             time.sleep(1)
978             output = userInput + '\n' + self.serial_label.toPlainText()
979             self.serial_label.clear()
980             self.serial_label.setText(output)
981
982     def get_pump_version(self):
983         # receive/read version and serial from syringe-pump, set pump-
984         # address to zero if necessary
985         if backend.device != False and backend.device != 'Loewe01' and os.
986             path.exists(backend.device) == True:
987             ser_getver = serial.Serial(port=backend.device, baudrate=115200,
988                 parity=serial.PARITY_NONE, stopbits=serial.STOPBITS_TWO, bytesize=
989                 serial.EIGHTBITS)
990             ser_getver.isOpen()
991             ser_getver.write('ver\r\n'.encode('UTF-8'))
992             getver = ''
993             time.sleep(0.1)
994             while ser_getver.inWaiting() > 0:
995                 getver += ser_getver.read(1).decode('UTF-8')
996             pump_ver = getver.splitlines()
997             getver = ''
998             ser_getver.write('version\r\n'.encode('UTF-8'))
999             getver = ''
1000             time.sleep(0.1)
1001             while ser_getver.inWaiting() > 0:
1002                 getver += ser_getver.read(1).decode('UTF-8')
1003             pump_serial_full = getver.splitlines()
1004             pump_serial = pump_serial_full[3].split()
1005             if "PHD" in pump_ver[1]:# special case for old models of syringe
1006                 pumps
1007                 if int(pump_serial[2]) != 0:# set address to zero, if not already
1008                     zero
1009                     pump_ver[1] = "11 Elite"+pump_ver[1][6:]

```

```

1004     ser_getver.write('address 0\r\n'.encode('UTF-8'))
1005     time.sleep(0.1)
1006     while ser_getver.inWaiting() > 0:
1007         getver += ser_getver.read(1).decode('UTF-8')
1008         getver = ''
1009         pump_serial[2] = "(altes Modell)"
1010     else:
1011         pump_ver[1] = "11 Elite"+pump_ver[1][3:]
1012         pump_serial[2] = "(altes Modell)"
1013     if self.pump_version:
1014         self.pump_version.clear()
1015         self.pump_version.setText(pump_ver[1] + ' - ' + pump_serial[2])
1016         getver = ''
1017         self.pump_label.setVisible(True)
1018         self.pump_version.setVisible(True)
1019         ser_getver.close()
1020     elif backend.device == 'Loewe01':
1021         self.pump_version.clear()
1022         self.pump_version.setText(backend.Loewe01[0])
1023         self.pump_label.setVisible(True)
1024         self.pump_version.setVisible(True)
1025     def get_pump_settings(self):
1026         # receive/read diameter and volume of syringe from syringe-pump
1027         global main_area
1028         if backend.device != False and backend.device != 'Loewe01' and os.
            path.exists(backend.device) == True:
1029             ser_getset = serial.Serial(port=backend.device, baudrate=115200,
                parity=serial.PARITY_NONE, stopbits=serial.STOPBITS_TWO, bytesize=
                serial.EIGHTBITS)
1030             ser_getset.isOpen()
1031             ser_getset.write('diameter\r\n'.encode('UTF-8'))
1032             time.sleep(0.1)
1033             getset = ''
1034             output = ''
1035             while ser_getset.inWaiting() > 0:
1036                 getset += ser_getset.read(1).decode('UTF-8')
1037             if getset != '':
1038                 output = getset + '\n' + self.serial_label.toPlainText()
1039                 self.serial_label.clear()
1040                 self.serial_label.setText(output)
1041                 pump_syringe_diameter = getset.splitlines()
1042                 getset = ''
1043                 ser_getset.write('svolume\r\n'.encode('UTF-8'))
1044                 time.sleep(0.1)
1045                 getset = ''
1046                 output = ''
1047                 while ser_getset.inWaiting() > 0:
1048                     getset += ser_getset.read(1).decode('UTF-8')
1049                 if getset != '':

```

```

1050     output = getset + '\n' + self.serial_label.toPlainText()
1051     self.serial_label.clear()
1052     self.serial_label.setText(output)
1053     pump_syringe_volume = getset.splitlines()
1054     pump_diameter = pump_syringe_diameter[1].split()
1055     pump_volume = pump_syringe_volume[1].split()
1056     diameter_unit = 0 if pump_volume[1]=="mm" else 0
1057     volume_unit = 0 if pump_volume[1]=="ml" else 1 if pump_volume[1]=="pl
    " else 2 if pump_volume[1]=="nl" else 3 if pump_volume[1]=="pl
    " else 4 if pump_volume[1]=="fl" else 0
1058     self.settings_diameter_edit.setText(str(round(float(pump_diameter
    [0]), 2)))
1059     self.settings_volume_edit.setText(str(round(float(pump_volume[0]),
    2)))
1060     self.settings_diameter_box.setCurrentIndex(diameter_unit)
1061     self.settings_volume_box.setCurrentIndex(volume_unit)
1062     ser_getset.close()
1063     main_area.setVisible(True)
1064     elif backend.device == 'Loewe01':
1065         self.settings_diameter_edit.setText(backend.Loewe01[1])
1066         self.settings_diameter_box.setCurrentIndex(backend.Loewe01[2])
1067         self.settings_volume_edit.setText(backend.Loewe01[3])
1068         self.settings_volume_box.setCurrentIndex(backend.Loewe01[4])
1069         output = str('svolume '+self.settings_volume_edit.text()+ ' '+self.
    settings_volume_box.currentText()) + '\n' + str('diameter '+self.
    settings_diameter_edit.text()+ ' '+self.settings_diameter_box.
    currentText()) + '\n' + self.serial_label.toPlainText()
1070     self.serial_label.clear()
1071     self.serial_label.setText(output)
1072     main_area.setVisible(True)
1073     def set_pump_settings(self):
1074         # transmit/send diameter and volume of syringe to syringe-pump
1075         global main_area
1076         if backend.device != False and backend.device != 'Loewe01' and os.
    path.exists(backend.device) == True:
1077             ser_setset = serial.Serial(port=backend.device, baudrate=115200,
    parity=serial.PARITY_NONE, stopbits=serial.STOPBITS_TWO, bytesize=
    serial.EIGHTBITS)
1078             ser_setset.isOpen()
1079             diameter_value = self.settings_diameter_edit.text().replace(',','.')
    )
1080             volume_value = self.settings_volume_edit.text().replace(',','.')
1081             if diameter_value != self.settings_diameter_edit.text():
1082                 self.settings_diameter_edit.setText(diameter_value)
1083             elif volume_value != self.settings_volume_edit.text():
1084                 self.settings_volume_edit.setText(volume_value)
1085             if float(diameter_value) != 0 and float(volume_value) != 0:
1086                 ser_setset.write(str('diameter '+diameter_value+ ' '+self.
    settings_diameter_box.currentText()+'\r\n').encode('UTF-8'))

```

```

1087     time.sleep(0.1)
1088     out = ''
1089     output = ''
1090     while ser_setset.inWaiting() > 0:
1091         out += ser_setset.read(1).decode('UTF-8')
1092         if out != '':
1093             output = out + '\n' + self.serial_label.toPlainText()
1094             self.serial_label.clear()
1095             self.serial_label.setText(output)
1096             ser_setset.write(str('svolume '+volume_value+' '+self.
settings_volume_box.currentText()+'\r\n').encode('UTF-8'))
1097         time.sleep(0.1)
1098         out = ''
1099         output = ''
1100         while ser_setset.inWaiting() > 0:
1101             out += ser_setset.read(1).decode('UTF-8')
1102             if out != '':
1103                 output = out + '\n' + self.serial_label.toPlainText()
1104                 self.serial_label.clear()
1105                 self.serial_label.setText(output)
1106             ser_setset.close()
1107             main_area.setVisible(True)
1108         elif backend.device == 'Loewe01':
1109             diameter_value = self.settings_diameter_edit.text().replace(',','.')
1110             volume_value = self.settings_volume_edit.text().replace(',','.')
1111             backend.Loewe01[1] = diameter_value
1112             backend.Loewe01[2] = self.settings_diameter_box.currentIndex()
1113             backend.Loewe01[3] = volume_value
1114             backend.Loewe01[4] = self.settings_volume_box.currentIndex()
1115             if diameter_value != self.settings_diameter_edit.text():
1116                 self.settings_diameter_edit.setText(diameter_value)
1117             elif volume_value != self.settings_volume_edit.text():
1118                 self.settings_volume_edit.setText(volume_value)
1119             output = str('svolume '+volume_value+' '+self.settings_volume_box.
currentText()) + '\n' + str('diameter '+diameter_value+' '+self.
settings_diameter_box.currentText()) + '\n' + self.serial_label.
toPlainText()
1120             self.serial_label.clear()
1121             self.serial_label.setText(output)
1122             main_area.setVisible(True)
1123         def save_pap(self):
1124             # quicksave, if pap-array already saved to file or opened from a
file
1125             global fname_pap
1126             if fname_pap:
1127                 np.savetxt(fname_pap, backend.pap, delimiter="\t", fmt="%s")
1128         def saveto_pap(self):
1129             # save pap-array to new file, store filename for quicksave

```

```

1130     global fname_pap
1131     fname_pap_new, _ = QFileDialog.getSaveFileName(self, 'Datei
        speichern unter', '.', "PAP Files (*.pap)")
1132     if fname_pap_new:
1133         np.savetxt(fname_pap_new, backend.pap, delimiter="\t", fmt="%s")
1134         fname_pap = fname_pap_new
1135         self.save_button.setEnabled(True)
1136     def new_pap(self):
1137         # clear pap-array and refresh all cells (does not remove unused pap
        -areas)
1138     global main_area
1139     for i in range(len(backend.pap)):
1140         for j in range(12):
1141             if j in (0,1,2,6,8,10):
1142                 backend.pap[i][j] = 0
1143             elif j in (5,7,9):
1144                 backend.pap[i][j] = 0.0
1145             else:
1146                 backend.pap[i][j] = ""
1147         if main_area.findChild(QLineEdit, "pap_"+str(i)+"
            _flowrate_value_edit"):
1148             main_area.findChild(QCheckBox, "pap_"+str(i)+"_active").
                setChecked(False)
1149             main_area.findChild(QCheckBox, "pap_"+str(i)+"_signal").
                setChecked(False)
1150             main_area.findChild(QLineEdit, "pap_"+str(i)+"
            _flowrate_value_edit").setText(str(backend.pap[i][5]))
1151             main_area.findChild(QLabel, "pap_"+str(i)+"_flowrate_value_view")
                .setText(str(backend.pap[i][5]))
1152             main_area.findChild(QComboBox, "pap_"+str(i)+"_flowrate_unit_edit
            ").setCurrentIndex(int(backend.pap[i][6]))
1153             main_area.findChild(QLabel, "pap_"+str(i)+"_flowrate_unit_view").
                setText(str(backend.unit[0][int(backend.pap[i][6])]))
1154             main_area.findChild(QLineEdit, "pap_"+str(i)+"
            _duration_value_edit").setText(str(backend.pap[i][7]))
1155             main_area.findChild(QLabel, "pap_"+str(i)+"_duration_value_view")
                .setText(str(backend.pap[i][7]))
1156             main_area.findChild(QComboBox, "pap_"+str(i)+"_duration_unit_edit
            ").setCurrentIndex(int(backend.pap[i][8]))
1157             main_area.findChild(QLabel, "pap_"+str(i)+"_duration_unit_view").
                setText(str(backend.unit[0][int(backend.pap[i][8])]))
1158             main_area.findChild(QLineEdit, "pap_"+str(i)+"_volume_value_edit"
            ).setText(str(backend.pap[i][9]))
1159             main_area.findChild(QLabel, "pap_"+str(i)+"_volume_value_view").
                setText(str(backend.pap[i][9]))
1160             main_area.findChild(QComboBox, "pap_"+str(i)+"_volume_unit_edit")
                .setCurrentIndex(int(backend.pap[i][10]))
1161             main_area.findChild(QLabel, "pap_"+str(i)+"_volume_unit_view").
                setText(str(backend.unit[0][int(backend.pap[i][10])]))

```

```

1162     main_area.findChild(QTextEdit, "pap_"+str(i)+"_comment").setText(
1163         str(backend.pap[i][11].replace('<br />', '\n')))
1164     fname_pap = False
1165     self.save_button.setEnabled(False)
1166     self.refresh_total_duration()
1167     self.refresh_total_volume()
1168     def open_pap(self):
1169         # open saved pap from file and store in pap-array and refresh all
1170         # cells, store filename for quicksave
1171         global fname_pap
1172         global main_area
1173         fname_pap_open, _ = QFileDialog.getOpenFileName(self, 'Datei öffnen
1174             ', '.', "PAP Files (*.pap)")
1175         if fname_pap_open:
1176             pop = np.genfromtxt(fname_pap_open, delimiter="\t", dtype="str",
1177                 usemask=True)
1178             fname_pap = fname_pap_open
1179             self.save_button.setEnabled(True)
1180             for i in range(len(backend.pap)):
1181                 pap_in_use = 0
1182                 for j in range(12):
1183                     if j in (0,1,2,6,8,10):
1184                         backend.pap[i][j] = int(float(pop[i][j]))
1185                     elif j in (5,7,9):
1186                         backend.pap[i][j] = float(pop[i][j])
1187                     pap_in_use += backend.pap[i][j]# count all values to see if PAP
1188                     empty or not
1189                 else:
1190                     if len(str(pop[i][j])) < 5 and str(pop[i][j]) != '0':
1191                         backend.pap[i][j] = ''
1192                     else:
1193                         backend.pap[i][j] = str(pop[i][j])
1194             if main_area.findChild(QLineEdit, "pap_"+str(i)+"
1195                 _flowrate_value_edit"):
1196                 if backend.pap[i][0] == 1:# set the status of every PAP
1197                     main_area.findChild(QCheckBox, "pap_"+str(i)+"_active").
1198                     setChecked(True)
1199                 else:
1200                     main_area.findChild(QCheckBox, "pap_"+str(i)+"_active").
1201                     setChecked(False)
1202                 if backend.pap[i][1] == 1:# set the interrupt-status of every PAP
1203                     main_area.findChild(QCheckBox, "pap_"+str(i)+"_signal").
1204                     setChecked(True)
1205                 else:
1206                     main_area.findChild(QCheckBox, "pap_"+str(i)+"_signal").
1207                     setChecked(False)
1208                 main_area.findChild(QLineEdit, "pap_"+str(i)+"
1209                     _flowrate_value_edit").setText(str(backend.pap[i][5]))
1210                 main_area.findChild(QLabel, "pap_"+str(i)+"_flowrate_value_view")

```

```

    .setText(str(backend.pap[i][5]))
1200 main_area.findChild(QComboBox, "pap_"+str(i)+"_flowrate_unit_edit
    ").setCurrentIndex(int(backend.pap[i][6]))
1201 main_area.findChild(QLabel, "pap_"+str(i)+"_flowrate_unit_view").
    setText(str(backend.unit[0][int(backend.pap[i][6])]))
1202 main_area.findChild(QLineEdit, "pap_"+str(i)+"
    _duration_value_edit").setText(str(backend.pap[i][7]))
1203 main_area.findChild(QLabel, "pap_"+str(i)+"_duration_value_view")
    .setText(str(backend.pap[i][7]))
1204 main_area.findChild(QComboBox, "pap_"+str(i)+"_duration_unit_edit
    ").setCurrentIndex(int(backend.pap[i][8]))
1205 main_area.findChild(QLabel, "pap_"+str(i)+"_duration_unit_view").
    setText(str(backend.unit[0][int(backend.pap[i][8])]))
1206 main_area.findChild(QLineEdit, "pap_"+str(i)+"_volume_value_edit"
    ).setText(str(backend.pap[i][9]))
1207 main_area.findChild(QLabel, "pap_"+str(i)+"_volume_value_view").
    setText(str(backend.pap[i][9]))
1208 main_area.findChild(QComboBox, "pap_"+str(i)+"_volume_unit_edit")
    .setCurrentIndex(int(backend.pap[i][10]))
1209 main_area.findChild(QLabel, "pap_"+str(i)+"_volume_unit_view").
    setText(str(backend.unit[0][int(backend.pap[i][10])]))
1210 main_area.findChild(QTextEdit, "pap_"+str(i)+"_comment").setText(
    str(backend.pap[i][11].replace('<br />', '\n')))
1211 if int(pap_in_use) > 0:# show all PAPs already filled with values
1212     while backend.papCounter <= i:
1213         self.build_item_area(str(backend.papCounter))
1214         backend.papCounter = backend.papCounter+1
1215 self.refresh_total_duration()
1216 self.refresh_total_volume()
1217 def refresh_total_volume(self):
1218     # calculate total volume from values in pap-array
1219     global settings_area
1220     global main_area_header
1221     total_volume = 0.0
1222     for i in range(len(backend.pap)):
1223         factor = 1 if backend.pap[i][10] == 0 else 1/1000 if backend.pap[i
            ][10] == 1 else 1/1000000 if backend.pap[i][10] == 2 else
            1/1000000000 if backend.pap[i][10] == 3 else 0
1224         if backend.pap[i][0] == 1 and backend.pap[i][5] > 0:
1225             total_volume += (backend.pap[i][9]*factor)
1226     max_volume = float(settings_area.findChild(QLineEdit, "
        settings_volume_edit").text())
1227     max_volume_unit = 1/(10**(3*int(settings_area.findChild(QComboBox,
            "settings_volume_unit").currentIndex()))))
1228     if (max_volume*max_volume_unit) < total_volume:# red output, when
        volume higher than syringe volume
1229     main_area_header.findChild(QLabel, "total_volume_view").setText("<
        font color=red>"+str(round(total_volume, 2))+ " mL</font>")
1230     else:

```

```

1231     main_area_header.findChild(QLabel, "total_volume_view").setText(
1232         str(round(total_volume, 2))+ " mL")
1232 def refresh_total_duration(self):
1233     # calculate total duration from values in pap-array
1234     global main_area_header
1235     total_duration = 0.0
1236     for i in range(len(backend.pap)):
1237         factor = 1 if backend.pap[i][8] == 0 else 1/60 if backend.pap[i]
1238             ][8] == 1 else 60 if backend.pap[i][8] == 2 else 0
1239         if backend.pap[i][0] == 1 and backend.pap[i][5] > 0:
1240             total_duration += (backend.pap[i][7]*factor)
1240     main_area_header.findChild(QLabel, "total_duration_view").setText(
1241         str(round(total_duration, 2))+ " min")
1241 def itemarea_parameter_changed_line(self, name='name', number=999,
1242     item=999):
1243     # one of the values changed, recalculate values or set activation/
1244     comment
1243     global main_area
1244     number = int(number)
1245     name = int(name)
1246     if name == 0: #PAP activation
1247         backend.pap[number][name] = 1 if main_area.findChild(QCheckBox, "
1248             pap_"+str(number)+"_active").isChecked() else 0
1249         self.refresh_total_duration()
1250         self.refresh_total_volume()
1250     elif name == 1: #PAP interrupt activation
1251         backend.pap[number][name] = 1 if main_area.findChild(QCheckBox, "
1252             pap_"+str(number)+"_signal").isChecked() else 0
1252     elif name == 11: #PAP comment
1253         backend.pap[number][name] = main_area.findChild(QTextEdit, "pap_"+
1254             str(number)+"_comment").toPlainText()
1254         backend.pap[number][name] = backend.pap[number][name].replace('\n'
1255             , '<br />')
1255     else:
1256         item = item.replace(',','.')
1257         if len(item) > 0:
1258             backend.pap[number][name] = float(item)
1259             self.calc_parameter(number, backend.pap[number][5], backend.pap[
1260                 number][6], backend.pap[number][7], backend.pap[number][8], backend.
1261                 pap[number][9], backend.pap[number][10])
1260             self.set_parameter(number)
1261             self.refresh_total_duration()
1262             self.refresh_total_volume()
1263 def itemarea_parameter_changed_box(self, index):
1264     # one of the units changed, recalculate values
1265     source = self.sender().itemData(index)
1266     number = int(source[1:])
1267     name = int(source[0])
1268     backend.pap[number][name] = int(index)

```

```
1269     self.calc_parameter(number, backend.pap[number][5], backend.pap[
1270         number][6], backend.pap[number][7], backend.pap[number][8], backend.
1271         pap[number][9], backend.pap[number][10])
1272     self.set_parameter(number)
1273     self.refresh_total_duration()
1274     self.refresh_total_volume()
1275     def itemarea_parameter_changed_radio_flowrate(self, name='name',
1276         number=999):
1277         # flowrate set to be readonly
1278         global main_area
1279         number = int(number)
1280         name = int(name)
1281         self.set_parameter(number)
1282         main_area.findChild(QLineEdit, "pap_"+str(number)+"
1283             _flowrate_value_edit").setVisible(False)
1284         main_area.findChild(QComboBox, "pap_"+str(number)+"
1285             _flowrate_unit_edit").setVisible(False)
1286         main_area.findChild(QLineEdit, "pap_"+str(number)+"
1287             _duration_value_edit").setVisible(True)
1288         main_area.findChild(QComboBox, "pap_"+str(number)+"
1289             _duration_unit_edit").setVisible(True)
1290         main_area.findChild(QLineEdit, "pap_"+str(number)+"
1291             _volume_value_edit").setVisible(True)
1292         main_area.findChild(QComboBox, "pap_"+str(number)+"
1293             _volume_unit_edit").setVisible(True)
1294         main_area.findChild(QLabel, "pap_"+str(number)+"
1295             _flowrate_value_view").setVisible(True)
1296         main_area.findChild(QLabel, "pap_"+str(number)+"_flowrate_unit_view
1297             ").setVisible(True)
1298         main_area.findChild(QLabel, "pap_"+str(number)+"
1299             _duration_value_view").setVisible(False)
1300         main_area.findChild(QLabel, "pap_"+str(number)+"_duration_unit_view
1301             ").setVisible(False)
1302         main_area.findChild(QLabel, "pap_"+str(number)+"_volume_value_view"
1303             ).setVisible(False)
1304         main_area.findChild(QLabel, "pap_"+str(number)+"_volume_unit_view"
1305             ).setVisible(False)
1306     def itemarea_parameter_changed_radio_duration(self, name='name',
1307         number=999):
1308         # duration set to be readonly
1309         global main_area
1310         number = int(number)
1311         name = int(name)
1312         self.set_parameter(number)
1313         main_area.findChild(QLineEdit, "pap_"+str(number)+"
1314             _flowrate_value_edit").setVisible(True)
1315         main_area.findChild(QComboBox, "pap_"+str(number)+"
1316             _flowrate_unit_edit").setVisible(True)
1317         main_area.findChild(QLineEdit, "pap_"+str(number)+"
```

```

    _duration_value_edit").setVisible(False)
1300 main_area.findChild(QComboBox, "pap_"+str(number)+"
    _duration_unit_edit").setVisible(False)
1301 main_area.findChild(QLineEdit, "pap_"+str(number)+"
    _volume_value_edit").setVisible(True)
1302 main_area.findChild(QComboBox, "pap_"+str(number)+"
    _volume_unit_edit").setVisible(True)
1303 main_area.findChild(QLabel, "pap_"+str(number)+"
    _flowrate_value_view").setVisible(False)
1304 main_area.findChild(QLabel, "pap_"+str(number)+"_flowrate_unit_view
    ").setVisible(False)
1305 main_area.findChild(QLabel, "pap_"+str(number)+"
    _duration_value_view").setVisible(True)
1306 main_area.findChild(QLabel, "pap_"+str(number)+"_duration_unit_view
    ").setVisible(True)
1307 main_area.findChild(QLabel, "pap_"+str(number)+"_volume_value_view"
    ).setVisible(False)
1308 main_area.findChild(QLabel, "pap_"+str(number)+"_volume_unit_view")
    .setVisible(False)
1309 def itemarea_parameter_changed_radio_volume(self, name='name',
    number=999):
1310     # volume set to be readonly
1311     global main_area
1312     number = int(number)
1313     name = int(name)
1314     self.set_parameter(number)
1315     main_area.findChild(QLineEdit, "pap_"+str(number)+"
    _flowrate_value_edit").setVisible(True)
1316     main_area.findChild(QComboBox, "pap_"+str(number)+"
    _flowrate_unit_edit").setVisible(True)
1317     main_area.findChild(QLineEdit, "pap_"+str(number)+"
    _duration_value_edit").setVisible(True)
1318     main_area.findChild(QComboBox, "pap_"+str(number)+"
    _duration_unit_edit").setVisible(True)
1319     main_area.findChild(QLineEdit, "pap_"+str(number)+"
    _volume_value_edit").setVisible(False)
1320     main_area.findChild(QComboBox, "pap_"+str(number)+"
    _volume_unit_edit").setVisible(False)
1321     main_area.findChild(QLabel, "pap_"+str(number)+"
    _flowrate_value_view").setVisible(False)
1322     main_area.findChild(QLabel, "pap_"+str(number)+"_flowrate_unit_view
    ").setVisible(False)
1323     main_area.findChild(QLabel, "pap_"+str(number)+"
    _duration_value_view").setVisible(False)
1324     main_area.findChild(QLabel, "pap_"+str(number)+"_duration_unit_view
    ").setVisible(False)
1325     main_area.findChild(QLabel, "pap_"+str(number)+"_volume_value_view"
    ).setVisible(True)
1326     main_area.findChild(QLabel, "pap_"+str(number)+"_volume_unit_view")

```

```

    .setVisible(True)
1327 def set_parameter(self, number):
1328     # refresh flowrate-duration-volume (e.g. after calculation)
1329     global main_area
1330     if main_area.findChild(QRadioButton, "pap_"+str(number)+"
        _flowrate_ro").isChecked(): #auto flowrate
1331         objectname = "pap_"+str(number)+"_flowrate"
1332         main_area.findChild(QLineEdit, objectname+"_value_edit").setText(
            str(backend.pap[number][5]))
1333         main_area.findChild(QLabel, objectname+"_value_view").setText(str(
            backend.pap[number][5]))
1334         main_area.findChild(QComboBox, objectname+"_unit_edit").
            setCurrentIndex(int(backend.pap[number][6]))
1335         main_area.findChild(QLabel, objectname+"_unit_view").setText(str(
            backend.unit[0][int(backend.pap[number][6])]))
1336     elif main_area.findChild(QRadioButton, "pap_"+str(number)+"
        _duration_ro").isChecked(): #auto duration
1337         objectname = "pap_"+str(number)+"_duration"
1338         main_area.findChild(QLineEdit, objectname+"_value_edit").setText(
            str(backend.pap[number][7]))
1339         main_area.findChild(QLabel, objectname+"_value_view").setText(str(
            backend.pap[number][7]))
1340         main_area.findChild(QComboBox, objectname+"_unit_edit").
            setCurrentIndex(int(backend.pap[number][8]))
1341         main_area.findChild(QLabel, objectname+"_unit_view").setText(str(
            backend.unit[1][int(backend.pap[number][8])]))
1342     elif main_area.findChild(QRadioButton, "pap_"+str(number)+"
        _volume_ro").isChecked(): #auto volume
1343         objectname = "pap_"+str(number)+"_volume"
1344         main_area.findChild(QLineEdit, objectname+"_value_edit").setText(
            str(backend.pap[number][9]))
1345         main_area.findChild(QLabel, objectname+"_value_view").setText(str(
            backend.pap[number][9]))
1346         main_area.findChild(QComboBox, objectname+"_unit_edit").
            setCurrentIndex(int(backend.pap[number][10]))
1347         main_area.findChild(QLabel, objectname+"_unit_view").setText(str(
            backend.unit[2][int(backend.pap[number][10])]))
1348     def calc_parameter(self, number, flowrate=0, flowrate_unit=0,
        duration=0, duration_unit=0, volume=0, volume_unit=0):
1349         # calculate flowrate-duration-volume in pap-area
1350         global main_area
1351         if main_area.findChild(QRadioButton, "pap_"+str(number)+"
            _flowrate_ro").isChecked(): #calculate flowrate
1352             flowrate = 0
1353             if int(duration) != 0:
1354                 flowrate = volume/duration
1355                 if volume_unit == 0:
1356                     flowrate_unit=0 if duration_unit==0 else 1 if duration_unit==1
            else 2 if duration_unit==2 else 0

```

```

1357     elif volume_unit == 1:
1358         flowrate_unit=4 if duration_unit==0 else 3 if duration_unit==1
           else 5 if duration_unit==2 else 0
1359     elif volume_unit == 2:
1360         flowrate_unit=7 if duration_unit==0 else 6 if duration_unit==1
           else 8 if duration_unit==2 else 0
1361     elif volume_unit == 3:
1362         flowrate_unit=10 if duration_unit==0 else 9 if duration_unit==1
           else 11 if duration_unit==2 else 0
1363     backend.pap[number][6] = flowrate_unit
1364     backend.pap[number][5] = round(flowrate, 2)
1365 elif main_area.findChild(QRadioButton, "pap_"+str(number)+"
           _volume_ro").isChecked(): #calculate volume
1366     volume = 0
1367     if flowrate != 0 and duration != 0:
1368         # flowrate in xL/min, duration in min
1369         if flowrate_unit == 0 or flowrate_unit == 4 or flowrate_unit == 7
           or flowrate_unit == 10:
1370             if duration_unit == 0:
1371                 volume = flowrate*duration
1372             elif duration_unit == 1:
1373                 volume = flowrate*duration/60
1374             elif duration_unit == 2:
1375                 volume = flowrate*duration*60
1376         volume_unit=0 if flowrate_unit==0 else 1 if flowrate_unit==4
           else 2 if flowrate_unit==7 else 3 if flowrate_unit==10 else 0
1377         # flowrate in xL/sec, duration in sec
1378         elif flowrate_unit == 1 or flowrate_unit == 3 or flowrate_unit ==
           6 or flowrate_unit == 9:
1379             if duration_unit == 0:
1380                 volume = flowrate*duration*60
1381             elif duration_unit == 1:
1382                 volume = flowrate*duration
1383             elif duration_unit == 2:
1384                 volume = flowrate*duration*3600
1385         volume_unit=0 if flowrate_unit==1 else 1 if flowrate_unit==3
           else 2 if flowrate_unit==6 else 3 if flowrate_unit==9 else 0
1386         # flowrate in xL/hour, duration in hour
1387         elif flowrate_unit == 2 or flowrate_unit == 5 or flowrate_unit ==
           8 or flowrate_unit == 11:
1388             if duration_unit == 0:
1389                 volume = flowrate*duration/60
1390             elif duration_unit == 1:
1391                 volume = flowrate*duration/3600
1392             elif duration_unit == 2:
1393                 volume = flowrate*duration
1394         volume_unit=0 if flowrate_unit==2 else 1 if flowrate_unit==5
           else 2 if flowrate_unit==8 else 3 if flowrate_unit==11 else 0
1395     backend.pap[number][10] = volume_unit

```

```
1396 backend.pap[number][9] = round(volume, 2)
1397 elif main_area.findChild(QRadioButton, "pap_"+str(number)+"
    _duration_ro").isChecked(): #calculate duration
1398 duration = 0
1399 if flowrate != 0 and volume != 0:
1400     # flowrate in mL/*, volume in mL
1401     if flowrate_unit == 0 or flowrate_unit == 1 or flowrate_unit ==
    2:
1402         if volume_unit == 1:
1403             volume = volume/1000
1404         elif volume_unit == 2:
1405             volume = volume/1000000
1406         elif volume_unit == 3:
1407             volume = volume/1000000000
1408         duration = volume/flowrate
1409         duration_unit=0 if flowrate_unit==0 else 1 if flowrate_unit==1
    else 2 if flowrate_unit==2 else 0
1410     # flowrate in uL/*, volume in uL
1411     elif flowrate_unit == 3 or flowrate_unit == 4 or flowrate_unit ==
    5:
1412         if volume_unit == 0:
1413             volume = volume*1000
1414         elif volume_unit == 2:
1415             volume = volume/1000
1416         elif volume_unit == 3:
1417             volume = volume/1000000
1418         duration = volume/flowrate
1419         duration_unit=0 if flowrate_unit==0 else 1 if flowrate_unit==1
    else 2 if flowrate_unit==2 else 0
1420     # flowrate in nL/*, volume in nL
1421     elif flowrate_unit == 6 or flowrate_unit == 7 or flowrate_unit ==
    8:
1422         if volume_unit == 0:
1423             volume = volume*1000000
1424         elif volume_unit == 1:
1425             volume = volume*1000
1426         elif volume_unit == 3:
1427             volume = volume/1000
1428         duration = volume/flowrate
1429         duration_unit=0 if flowrate_unit==0 else 1 if flowrate_unit==1
    else 2 if flowrate_unit==2 else 0
1430     # flowrate in xL/min, volume in pL
1431     elif flowrate_unit == 9 or flowrate_unit == 10 or flowrate_unit
    == 11:
1432         if volume_unit == 0:
1433             volume = volume*1000000000
1434         elif volume_unit == 1:
1435             volume = volume*1000000
1436         elif volume_unit == 2:
```

```

1437     volume = volume*1000
1438     duration = volume/flowrate
1439     duration_unit=0 if flowrate_unit==0 else 1 if flowrate_unit==1
        else 2 if flowrate_unit==2 else 0
1440     backend.pap[number][8] = duration_unit
1441     backend.pap[number][7] = round(duration, 2)
1442 def add_pap(self):
1443     # add another pap-area (up to 20)
1444     if backend.papCounter < 20:
1445         self.build_item_area(str(backend.papCounter))
1446     backend.papCounter = backend.papCounter+1
1447 def pap_set_colors(self):
1448     global pump_01_area
1449     global main_area
1450     if backend.start_pump == True:# program running
1451         if pump_01_area.findChild(QFrame, "serial_connection_area"):
1452             pump_01_area.findChild(QFrame, "serial_connection_area").
                setEnabled(False)
1453         if pump_01_area.findChild(QFrame, "settings_area"):
1454             pump_01_area.findChild(QFrame, "settings_area").setEnabled(False)
1455         for number in range(backend.papCounter):
1456             # set the background-color of every processed pap to light green
1457             if backend.pap[int(number)][0] == 1 and backend.pap[int(number)
                ][2] == 1:
1458                 if main_area.findChild(QCheckBox, "pap_"+str(number)+"_active"):
1459                     main_area.findChild(QFrame, "item_"+str(number)+"_area").
                        setStyleSheet("QFrame { background-color: rgb(212, 255, 199); }")
1460             # set the background-color of the active running pap to light red
1461             elif backend.pap[int(number)][0] == 1 and backend.pap[int(number)
                ][2] == 2:
1462                 if main_area.findChild(QCheckBox, "pap_"+str(number)+"_active"):
1463                     main_area.findChild(QFrame, "item_"+str(number)+"_area").
                        setStyleSheet("QFrame { background-color: rgb(252, 243, 156); }")
1464             # set the background-color of the active running pap to light blue
1465             elif backend.pap[int(number)][0] == 1 and backend.pap[int(number)
                ][2] == 0:
1466                 test = "test"
1467             else:
1468                 if main_area.findChild(QCheckBox, "pap_"+str(number)+"_active"):
1469                     main_area.findChild(QFrame, "item_"+str(number)+"_area").
                        setVisible(False)
1470                 main_area.findChild(QFrame, "item_"+str(number)+"_area").
                        setEnabled(False)
1471         elif backend.pause_pump == True:# program paused
1472             if pump_01_area.findChild(QFrame, "serial_connection_area"):
1473                 pump_01_area.findChild(QFrame, "serial_connection_area").
                        setEnabled(False)
1474             if pump_01_area.findChild(QFrame, "settings_area"):
1475                 pump_01_area.findChild(QFrame, "settings_area").setEnabled(False)

```

```

1476     for number in range(backend.papCounter):
1477         # set the background-color of every processed pap to light green
1478         if backend.pap[int(number)][0] == 1 and backend.pap[int(number)
1479             ][2] == 1:
1480             if main_area.findChild(QCheckBox, "pap_"+str(number)+"_active"):
1481                 main_area.findChild(QFrame, "item_"+str(number)+"_area").
1482                 setStyleSheet("QFrame { background-color: rgb(212, 255, 199); }")
1481         # set the background-color of the active running pap to light red
1482         elif backend.pap[int(number)][0] == 1 and backend.pap[int(number)
1483             ][2] == 2:
1484             if main_area.findChild(QCheckBox, "pap_"+str(number)+"_active"):
1485                 main_area.findChild(QFrame, "item_"+str(number)+"_area").
1486                 setStyleSheet("QFrame { background-color: rgb(255, 194, 156); }")
1485         # set the background-color of the active running pap to light blue
1486         elif backend.pap[int(number)][0] == 1 and backend.pap[int(number)
1487             ][2] == 0:
1488             test = "test"
1488         else:
1489             if main_area.findChild(QCheckBox, "pap_"+str(number)+"_active"):
1490                 main_area.findChild(QFrame, "item_"+str(number)+"_area").
1491                 setVisible(False)
1492                 main_area.findChild(QFrame, "item_"+str(number)+"_area").
1493                 setEnabled(False)
1492         else:
1493             if pump_01_area.findChild(QFrame, "serial_connection_area"):
1494                 pump_01_area.findChild(QFrame, "serial_connection_area").
1495                 setEnabled(True)
1495             if pump_01_area.findChild(QFrame, "settings_area"):
1496                 pump_01_area.findChild(QFrame, "settings_area").setEnabled(True)
1497         for number in range(backend.papCounter):
1498             main_area.findChild(QFrame, "item_"+str(number)+"_area").
1499             setStyleSheet("QFrame { background-color: rgb(246, 244, 242); }"
1500                 +
1501                 "QTextEdit { background-color: rgb(255, 255,
1502                 255); }")
1500             main_area.findChild(QFrame, "item_"+str(number)+"_area").
1501             setVisible(True)
1501             main_area.findChild(QFrame, "item_"+str(number)+"_area").
1502             setEnabled(True)
1502         def pap_start(self):
1503             if backend.status == 0:
1504                 backend.start_pump = True
1505                 backend.pause_pump = False
1506                 backend.stop_pump = False
1507             elif backend.status == 2:
1508                 backend.start_pump = True
1509                 backend.pause_pump = False
1510                 backend.stop_pump = False
1511         def pap_pause(self):

```

```

1512     if backend.status == 1:
1513         backend.pause_pump = True
1514         backend.start_pump = False
1515         backend.stop_pump = False
1516     def pap_stop(self):
1517         backend.start_pump = False
1518         backend.pause_pump = False
1519         backend.stop_pump = True
1520     @Slot(str)
1521     def receiveEvent(event):
1522         global output_area
1523         global main_area
1524         global pap_sc_area
1525         global pump_01_area
1526         if int(event[0:2]) == 10:#print output to console
1527             output = ''
1528             output = backend.output + '\n' + output_area.findChild(QTextEdit,
1529                 "serial_label").toPlainText()
1530             output_area.findChild(QTextEdit, "serial_label").clear()
1531             output_area.findChild(QTextEdit, "serial_label").setText(output)
1532         if int(event[0:2]) == 11:#update progressbar
1533             main_area.findChild(QProgressBar, "pap_"+str(int(event[3:5]))+"
1534                 _progressbar").setValue(int(event[6:]))
1535         elif int(event[0:2]) == 12:#modify ui when started
1536             main_area.findChild(QToolButton, "new_button").setEnabled(False)
1537             main_area.findChild(QToolButton, "open_button").setEnabled(False)
1538             main_area.findChild(QToolButton, "save_button").setEnabled(False)
1539             main_area.findChild(QToolButton, "saveto_button").setEnabled(False)
1540             main_area.findChild(QToolButton, "start_button").setEnabled(False)
1541             main_area.findChild(QToolButton, "pause_button").setEnabled(True)
1542             main_area.findChild(QToolButton, "stop_button").setEnabled(True)
1543             main_area.findChild(QPushButton, "pap_addbutton").setEnabled(False)
1544         if pump_01_area.findChild(QFrame, "serial_connection_area"):
1545             pump_01_area.findChild(QFrame, "serial_connection_area").
1546                 setEnabled(False)
1547         if pump_01_area.findChild(QFrame, "settings_area"):
1548             pump_01_area.findChild(QFrame, "settings_area").setEnabled(False)
1549         for number in range(backend.papCounter):
1550             # set the background-color of every processed pap to light green
1551             if backend.pap[int(number)][0] == 1 and backend.pap[int(number)
1552                 ][2] == 1:
1553                 if main_area.findChild(QCheckBox, "pap_"+str(number)+"_active"):
1554                     main_area.findChild(QFrame, "item_"+str(number)+"_area").
1555                         setStyleSheet("QFrame { background-color: rgb(212, 255, 199); }")
1556             # set the background-color of the active running pap to light red
1557             elif backend.pap[int(number)][0] == 1 and backend.pap[int(number)
1558                 ][2] == 2:

```

```

1553     if main_area.findChild(QCheckBox, "pap_"+str(number)+"_active"):
1554         main_area.findChild(QFrame, "item_"+str(number)+"_area").
           stylesheet("QFrame { background-color: rgb(252, 243, 156); }")
1555     # set the background-color of the active running pap to light blue
1556     elif backend.pap[int(number)][0] == 1 and backend.pap[int(number)
           ][2] == 0:
1557         test = "test"
1558     else:
1559         if main_area.findChild(QCheckBox, "pap_"+str(number)+"_active"):
1560             main_area.findChild(QFrame, "item_"+str(number)+"_area").
           setVisible(False)
1561             main_area.findChild(QFrame, "item_"+str(number)+"_area").
           setEnabled(False)
1562             main_area.findChild(QProgressBar, "pap_"+str(number)+"
           _progressbar").setVisible(True)
1563     elif int(event[0:2]) == 13:#modify ui when paused
1564         main_area.findChild(QToolButton, "new_button").setEnabled(False)
1565         main_area.findChild(QToolButton, "open_button").setEnabled(False)
1566         main_area.findChild(QToolButton, "save_button").setEnabled(False)
1567         main_area.findChild(QToolButton, "saveto_button").setEnabled(False)
           )
1568         main_area.findChild(QToolButton, "start_button").setEnabled(True)
1569         main_area.findChild(QToolButton, "pause_button").setEnabled(False)
1570         main_area.findChild(QToolButton, "stop_button").setEnabled(True)
1571         main_area.findChild(QPushButton, "pap_addbutton").setEnabled(False)
           )
1572     if pump_01_area.findChild(QFrame, "serial_connection_area"):
1573         pump_01_area.findChild(QFrame, "serial_connection_area").
           setEnabled(False)
1574     if pump_01_area.findChild(QFrame, "settings_area"):
1575         pump_01_area.findChild(QFrame, "settings_area").setEnabled(False)
1576     for number in range(backend.papCounter):
1577         # set the background-color of every processed pap to light green
1578         if backend.pap[int(number)][0] == 1 and backend.pap[int(number)
           ][2] == 1:
1579             if main_area.findChild(QCheckBox, "pap_"+str(number)+"_active"):
1580                 main_area.findChild(QFrame, "item_"+str(number)+"_area").
           stylesheet("QFrame { background-color: rgb(212, 255, 199); }")
1581         # set the background-color of the active running pap to light red
1582         elif backend.pap[int(number)][0] == 1 and backend.pap[int(number)
           ][2] == 2:
1583             if main_area.findChild(QCheckBox, "pap_"+str(number)+"_active"):
1584                 main_area.findChild(QFrame, "item_"+str(number)+"_area").
           stylesheet("QFrame { background-color: rgb(255, 194, 156); }")
1585         # set the background-color of the active running pap to light blue
1586         elif backend.pap[int(number)][0] == 1 and backend.pap[int(number)
           ][2] == 0:
1587             test = "test"
1588     else:

```

```

1589     if main_area.findChild(QCheckBox, "pap_"+str(number)+"_active"):
1590         main_area.findChild(QFrame, "item_"+str(number)+"_area").
setVisible(False)
1591     main_area.findChild(QFrame, "item_"+str(number)+"_area").
setEnabled(False)
1592     main_area.findChild(QProgressBar, "pap_"+str(number)+"
_progressbar").setVisible(True)
1593 elif int(event[0:2]) == 14:#modify ui when stopped
1594     main_area.findChild(QToolButton, "new_button").setEnabled(True)
1595     main_area.findChild(QToolButton, "open_button").setEnabled(True)
1596     main_area.findChild(QToolButton, "save_button").setEnabled(True)
1597     main_area.findChild(QToolButton, "saveto_button").setEnabled(True)
1598     main_area.findChild(QToolButton, "start_button").setEnabled(True)
1599     main_area.findChild(QToolButton, "pause_button").setEnabled(False)
1600     main_area.findChild(QToolButton, "stop_button").setEnabled(False)
1601     main_area.findChild(QPushButton, "pap_addbutton").setEnabled(True)
1602     if pump_01_area.findChild(QFrame, "serial_connection_area"):
1603         pump_01_area.findChild(QFrame, "serial_connection_area").
setEnabled(True)
1604     if pump_01_area.findChild(QFrame, "settings_area"):
1605         pump_01_area.findChild(QFrame, "settings_area").setEnabled(True)
1606     for number in range(backend.papCounter):
1607         main_area.findChild(QFrame, "item_"+str(number)+"_area").
setStyleSheet("QFrame { background-color: rgb(246, 244, 242); }"
+
1608             "QTextEdit { background-color: rgb(255, 255,
255); }")
1609         main_area.findChild(QFrame, "item_"+str(number)+"_area").
setVisible(True)
1610         main_area.findChild(QFrame, "item_"+str(number)+"_area").
setEnabled(True)
1611         main_area.findChild(QProgressBar, "pap_"+str(number)+"
_progressbar").reset()
1612         main_area.findChild(QProgressBar, "pap_"+str(number)+"
_progressbar").setVisible(False)
1613 elif int(event[0:2]) == 15:#focus on current pap
1614     pap_sc_area.ensureWidgetVisible(main_area.findChild(QCheckBox, "
pap_"+str(int(event[3:5]))+"_active"))
1615 elif int(event[0:2]) == 16:#display finished dialog
1616     finished_msg = QMessageBox()
1617     finished_msg.setText("Alle Pumpvorgänge wurden abgeschlossen!")
1618     finished_msg.setIconPixmap(os.path.join('icons', 'syringe_small.
png'))
1619     finished_msg.exec_()
1620 elif int(event[0:2]) == 17:#display stalled dialog
1621     stalled_msg = QMessageBox()
1622     stalled_msg.setText("Maximale Kraft erreicht, Pumpe blockiert!")
1623     stalled_msg.setIcon(QMessageBox.Critical)
1624     stalled_msg.exec_()

```

```
1625 def closeEvent(self, event):
1626     # stop all threads
1627     backend.end_threads = True
1628     time.sleep(0.2)
1629     if backend.can_exit:
1630         event.accept() # let the window close
1631     else:
1632         event.ignore()
```

Anhang B

Datenblätter

Stand 01.08.2018

- Datenblatt Arduino Uno
<https://www.farnell.com/datasheets/1682209.pdf>
- Datenblatt Dallas DS18S20
<https://datasheets.maximintegrated.com/en/ds/DS18S20.pdf>
- Datenblatt Everlight ITR8307
<http://www.everlight.com/file/ProductFile/ITR8307.pdf>
- Datenblatt Everlight ITR9904
<http://www.everlight.com/file/ProductFile/ITR9904.pdf>
- Datenblatt Microchip MCP3008
<http://ww1.microchip.com/downloads/en/DeviceDoc/21295C.pdf>
- Datenblatt Microchip MCP3208
<http://ww1.microchip.com/downloads/en/DeviceDoc/21298c.pdf>
- Datenblatt Meder Electronic DIP05-1C90-51L
<http://www.farnell.com/datasheets/91165.pdf>
- Datenblatt Microchip MCP4261
<http://ww1.microchip.com/downloads/en/DeviceDoc/22059b.pdf>
- Datenblatt Maxim MAX5250AEEP
<https://datasheets.maximintegrated.com/en/ds/MAX5250.pdf>
- Datenblatt Kel-F®
<http://www.laminatedplastics.com/kel-f.pdf>

- Datenblatt FC-40®
<http://multimedia.3m.com/mws/media/648880/fluorinert-electronic-liquid-fc-40.pdf>
- Datenblatt Gluetec EPOT5.S25
<https://gluetec-industrieklebstoffe.de/sites/default/files/field/file/tdb/epoxy-transparent-5-min-tdb.pdf>
- Datenblatt Melexis MLX90621
<https://www.melexis.com/-/media/files/documents/datasheets/mlx90621-datasheet-melexis.pdf>
- Datenblatt Adafruit Schrittmotor (ID 324)
<https://cdn-shop.adafruit.com/product-files/324/C140-A+datasheet.jpg>
<https://www.adafruit.com/product/324>
- Datenblatt Bivar UV5TZ-390-30
<https://www.bivar.com/portals/0/products/UV5TZ-XXX-XX.pdf>
- Datenblatt Osram SFH 309
https://www.osram.com/media/resource/hires/osram-dam-2495962/SFH_309.pdf
- Datenblatt Adafruit MotorShield (ID 81)
<https://www.adafruit.com/product/81>
- Datenblatt Texas Instruments L293D
<http://www.ti.com/lit/ds/symlink/l293.pdf>
- Datenblatt FRAC100
https://www.gelifesciences.co.jp/tech_support/manual/pdf/56104677a1.pdf
- Datenblatt Harvard Apparatus Pump 11 Elite
https://www.harvardapparatus.com/media/manuals/Product_Manuals/11_Elite_Manual_5420-002REV1.0.pdf
- Datenblatt B.Braun Injekt® Solo Einmalspritzen
<https://www.bbraun.de/de/products/b0/injekt-solo.html>

Literaturverzeichnis

- [1] A. I. Stankiewicz, J. A. Moulijn, Process intensification: Transforming chemical engineering (vol 96, pg 22, 2000), *Chem. Eng. Prog.*, **2000**, 96, 2.
- [2] V. Hessel, H. Löwe, Organische Synthese mit mikrostrukturierten Reaktoren, *Chemie Ingenieur Technik*, **2004**, 76, 5, 535–554.
- [3] V. Hessel, S. Hardt, H. Löwe, *Chemical Micro Process Engineering: Fundamentals, Modelling and Reactions*, Wiley, **2006**. ISBN: 978-3-52760-537-8.
- [4] N.-T. Nguyen, Z. Wu, Micromixers—a review, *Journal of Micromechanics and Microengineering*, **2005**, 15, 2, R1.
- [5] V. Hessel, A. Renken, J. Schouten, J. Yoshida, *Micro process engineering : a comprehensive handbook*, Wiley-VCH Verlag, Germany, **2009**. ISBN: 978-3-52731-550-5.
- [6] H. Löwe, V. Hessel, A. Mueller, Microreactors. Prospects already achieved and possible misuse, *Pure and applied chemistry*, **2002**, 74, 12, 2271–2276.
- [7] V. Taly, B. T. Kelly, A. D. Griffiths, Droplets as microreactors for high-throughput biology, *ChemBioChem*, **2007**, 8, 3, 263–272.
- [8] H. Pennemann, V. Hessel, H. Löwe, Chemical microprocess technology—from laboratory-scale to production, *Chemical Engineering Science*, **2004**, 59, 22, 4789 – 4794. ISCRE18.
- [9] A. M. Foudeh, T. F. Didar, T. Veres, M. Tabrizian, Microfluidic designs and techniques using lab-on-a-chip devices for pathogen detection for point-of-care diagnostics, *Lab on a Chip*, **2012**, 12, 18, 3249–3266.
- [10] D. Kirschneck, G. Tekautz, Integration of a microreactor in an existing production plant, *Chemical Engineering & Technology: Industrial Chemistry-Plant Equipment-Process Engineering-Biotechnology*, **2007**, 30, 3, 305–308.
- [11] A. Knauer, J. M. Köhler, *Micro-Segmented Flow*, Springer, **2014**, 149–200.
- [12] Y. H. Ghallab, W. Badawy, *Lab-on-a-chip: techniques, circuits, and biomedical applications*, Artech House, **2010**. ISBN: 978-1-59693-418-4.

- [13] E. Kumacheva, P. Garstecki, *Microfluidic reactors for polymer particles*, John Wiley & Sons, **2011**. ISBN: 978-0-47005-773-5.
- [14] K. Jähnisch, V. Hessel, H. Löwe, M. Baerns, Chemie in Mikrostrukturreaktoren, *Angewandte Chemie*, **2004**, *116*, 4, 410–451.
- [15] T. Illg, P. Löb, V. Hessel, Flow chemistry using milli-and microstructured reactors—from conventional to novel process windows, *Bioorganic & medicinal chemistry*, **2010**, *18*, 11, 3707–3719.
- [16] T. Razzaq, C. O. Kappe, Continuous flow organic synthesis under high-temperature/pressure conditions, *Chemistry—An Asian Journal*, **2010**, *5*, 6, 1274–1289.
- [17] Y. Voloshin, R. Halder, A. Lawal, Kinetics of hydrogen peroxide synthesis by direct combination of H₂ and O₂ in a microreactor, *Catalysis Today*, **2007**, *125*, 1-2, 40–47.
- [18] J.-i. Yoshida, *Flash chemistry: fast organic synthesis in microsystems*, John Wiley & Sons, **2008**. ISBN: 978-0-47003-586-3.
- [19] D. Bošković, *Experimentelle Bestimmung und Modellierung des Verweilzeitverhaltens mikrofluidischer Strukturen*, Fraunhofer-Verlag, **2010**. ISBN: 978-3-83960-263-8.
- [20] V. Misuk, *Tropfenbasierte Multiphasen – Mikroreaktionstechnologie in organisch-chemischer Synthese*, Dissertation, Johannes Gutenberg-Universität Mainz, **2014**.
- [21] V. Misuk, A. Mai, Y. Zhao, J. Heinrich, D. Rauber, K. Giannopoulos, H. Löwe, Active Mixing Inside Double Emulsion Segments in Continuous Flow, *Journal of Flow Chemistry*, **2015**, *5*, 2, 101–109.
- [22] V. Misuk, A. Mai, K. Giannopoulos, D. Karl, J. Heinrich, D. Rauber, H. Löwe, Palladium-Catalyzed Carbon–Carbon Cross-Coupling Reactions in Thermomorphous Double Emulsions, *Journal of Flow Chemistry*, **2015**, *5*, 1, 43–47.
- [23] V. Misuk, A. Mai, K. Giannopoulos, F. Alobaid, B. Epple, H. Loewe, Micro magnetofluidics: droplet manipulation of double emulsions based on paramagnetic ionic liquids, *Lab on a Chip*, **2013**, *13*, 23, 4542–4548.
- [24] T. Nisisako, T. Torii, Formation of Biphasic Janus Droplets in a Microfabricated Channel for the Synthesis of Shape-Controlled Polymer Microparticles, *Advanced materials*, **2007**, *19*, 11, 1489–1493.
- [25] E. Bormashenko, Y. Bormashenko, R. Pogreb, O. Gendelman, Janus droplets: liquid marbles coated with dielectric/semiconductor particles, *Langmuir*, **2010**, *27*, 1, 7–10.

- [26] T. Nisisako, Recent advances in microfluidic production of Janus droplets and particles, *Current Opinion in Colloid & Interface Science*, **2016**, *25*, 1–12.
- [27] J. Jeong, A. Gross, W.-S. Wei, F. Tu, D. Lee, P. J. Collings, A. Yodh, Liquid crystal Janus emulsion droplets: preparation, tumbling, and swimming, *Soft Matter*, **2015**, *11*, 34, 6747–6754.
- [28] N. Prasad, J. Perumal, C.-H. Choi, C.-S. Lee, D.-P. Kim, Generation of monodisperse inorganic–organic janus microspheres in a microfluidic device, *Advanced Functional Materials*, **2009**, *19*, 10, 1656–1662.
- [29] M. Banzi, Arduino Mikrocontroller, <https://www.arduino.cc>, abgerufen am 01.08.2018.
- [30] M. Banzi, *Getting Started with Arduino*, O’Reilly, **2009**. ISBN: 978-0-59615-552-0.
- [31] M. Schmidt, *Arduino Ein schneller Einstieg in die Microcontroller-Entwicklung*, dpunkt, Heidelberg, **2011**. ISBN: 978-3-89864-764-9.
- [32] U. Sommer, *Arduino: Mikrocontroller-Programmierung mit Arduino, Freeduino*, Franzis, Poing, **2010**. ISBN: 978-3-64565-034-2.
- [33] G. Spanner, *Arduino: Schaltungsprojekte für Profis*, Elektor, Aachen, **2012**. ISBN: 978-3-89576-257-4.
- [34] H. Timmis, *Arduino in der Praxis*, Franzis, Haar, **2012**. ISBN: 978-3-64565-132-5.
- [35] D. Mellis, M. Banzi, D. Cuartielles, T. Igoe, Arduino: An Open Electronics Prototyping Platform. alt. chi section of the CHI 2007conference in San Jose (CA), *Im Erscheinen*, **2007**, Vol. 2007.
- [36] J. Nguyen, Direct-to-digital temperature sensor, **2001**. US Patent 6,215,635.
- [37] F. Pfeifer, F. Schäffer, Termika Fotilo, *Make*, **2017**, *3*, 16 – 25.
- [38] R. Axinte, *Wärmeaustausch in Heat Pipe-kontrollierten mikrostrukturierten Reaktoren und Darstellung von magnetischen Flüssigkeiten*, Diplomarbeit, Johannes Gutenberg-Universität Mainz, **2009**.
- [39] B. Fry, C. Reas, Processing Entwicklungsumgebung, <https://www.processing.org>, abgerufen am 01.08.2018.
- [40] J. Heinrich, *Entwicklung eines aktiven Phasentrenners für mikrofluidische Systeme*, Diplomarbeit, Johannes Gutenberg-Universität Mainz, **2014**.
- [41] L. Pohlmann, *Elektrochemische Messmethoden: Mikroelektroden*, Freie Universität Berlin, **2008**.

- [42] D. A. Steingart, Princeton Lab for Electrochemical Engineering Systems Research, <https://steingart.princeton.edu/ardustat>, abgerufen am 01.08.2018.
- [43] D. A. Steingart, Ardustat Softwarerepository bei Github <https://github.com/dansteingart/Ardustat>, abgerufen am 01.08.2018.
- [44] J. R. Burns, C. Ramshaw, Development of a Microreactor for Chemical Production, *Trans. Inst. Chem. Eng.*, **1998**, *77*, 206.
- [45] E. Kolehmainen, I. Turunen, Micro-Scale Liquid-Liquid Separation in a Plate-Type Coalescer, *Chemical Engineering and Processing*, **2007**, *46*, 834–839.
- [46] J. G. Kralj, H. R. Sahoo, K. F. Jensen, Integrated continuous microfluidic liquid–liquid extraction, *Lab Chip*, **2007**, *7*, 256–263.
- [47] A. Adamo, P. L. Heider, N. Weeranoppanant, K. F. Jensen, Membrane-Based, Liquid-Liquid Separator with Integrated Pressure Control, *Ind. Eng. Chem. Res.*, **2013**, *52*, 10802–10808.
- [48] L. „Ladyada“ Fried, Adafruit Industries, <https://www.adafruit.com>, abgerufen am 01.08.2018.
- [49] L. „Ladyada“ Fried, Adafruit MotorShield for Arduino, <https://learn.adafruit.com/adafruit-motor-shield/overview>, abgerufen am 01.08.2018.
- [50] Bedienungsanleitung, *Fraction Collector FRAC-100 and FRAC-200*, Amersham Biosciences AB, **2002**.
- [51] D. Karl, *Physikochemische Optimierung von Cycloadditionen und Olefinierungen an bifunktionellen Aldehyden in Mikroreaktoren*, Dissertation, Johannes Gutenberg-Universität Mainz, **2017**.
- [52] J. Bager, Die KI-Revolution - Vom Siegeszug der lernenden Software, *c't*, **2016**, *6*, 124 – 129.
- [53] A. Trinkwalder, Die Mathematik der neuronalen Netze: einfache Mechanismen, komplexe Konstruktion, *c't*, **2016**, *6*, 130 – 135.
- [54] F. S. Foundation, GNU General Public License v. 3.0, <https://www.gnu.org/licenses/gpl-3.0>, abgerufen am 01.08.2018.
- [55] C. Commons, Namensnennung - Nicht-kommerziell - Weitergabe unter gleichen Bedingungen 3.0 Deutschland, <https://creativecommons.org/licenses/by-nc-sa/3.0/de/>, abgerufen am 01.08.2018.